



Service départemental d'archéologie du Morbihan  
Direction adjointe du patrimoine et des archives  
Direction de la culture  
Département du Morbihan

# Morbihan, Baden «Nautiparc 2»

---

Rapport final d'opération/diagnostic  
Arrêté de prescription : **2020-357**  
**OA 5968**  
CODE INSEE : Baden 56008

**Astrid Suaud-Préault**

avec la collaboration de

**Gwénaëlle Hamon  
Nancy Marcoux  
Aurélie Crowch  
Capucine Grosjean  
Jules Coulin**

Terrain : 6 – 28 mai 2021  
Rapport : novembre 2021



### **AVIS AU LECTEUR**

*Le présent rapport présente les résultats d'une opération de diagnostic d'archéologie préventive.*

*Les rapports constituent des documents administratifs communicables au public, après remise au Service Régional de l'Archéologie, suivant les dispositions de la loi modifiée n° 78-753 du 17 juillet 1978, relative à l'amélioration des relations entre l'administration et le public.*

*Aux termes de la circulaire du 26 mars 1993, prise pour application, ils pourront donc être consultés en respect des droits de propriété littéraire et artistique possédés par les auteurs et des contraintes qui en résultent. Les prises de notes et les photocopies sont autorisées pour un usage exclusivement privé et non destiné à une utilisation collective (article L 122-5 du code de la propriété intellectuelle).*

*Toute reproduction du texte, accompagnée ou non de photographies, cartes ou schémas, n'est possible que dans le cadre du droit de courte citation, avec les références exactes et complètes du ou des auteur(s) et de l'ouvrage.*

*Par ailleurs, l'exercice du droit à la communication exclut, pour ses bénéficiaires ou pour les tiers, la possibilité de reproduire, de diffuser ou d'utiliser à des fins commerciales les documents communiqués (loi n° 78-753 du 17 juillet 1978, art. 10). Le non-respect de ces règles constitue un délit de contrefaçon puni par l'article 425 du code pénal.*

# SOMMAIRE :

	1
<b>SECTION 1 : DONNEES ADMINISTRATIVES, SCIENTIFIQUES ET TECHNIQUES</b>	<b>7</b>
<b>FICHE SIGNALETIQUE</b>	<b>8</b>
Identité du site	8
1.1. Mots clés du thésaurus	9
1.2. Générique de l'opération	10
1.3. Notice scientifique	11
1.4. État du site	11
<b>ARRÊTÉ DE PRESCRIPTION</b>	<b>12</b>
<b>ARRÊTÉ DE DÉSIGNATION DU RESPONSABLE SCIENTIFIQUE</b>	<b>18</b>
<b>SECTION 2 : PRESENTATION DES RESULTATS</b>	<b>19</b>
<b>1. PRÉSENTATION DE L'OPÉRATION</b>	<b>21</b>
1.1. Circonstances de l'intervention	21
1.2. Méthodologie	21
1.3. Contexte géographique, topographique et géologique	22
1.4. Contexte archéologique	24
<b>2. RÉSULTATS DU DIAGNOSTIC ARCHÉOLOGIQUE</b>	<b>25</b>
2.1. Stratigraphie générale et apparition des vestiges	25
2.2. Les vestiges archéologiques	26
<b>2.2.1. Observations générales</b>	<b>26</b>
<b>2.2.2. Les vestiges de l'âge du Bronze</b>	<b>28</b>
2.2.2.1. Deux zones de concentrations de céramique	29
2.2.2.2. Un vaste système fossoyé et la fosse F126	29
2.2.2.3. Un ensemble de structures excavées du Bronze final dans la tranchée Tr 08	35
2.2.2.4. Un enclos, dans la tranchée Tr11	37
2.2.2.5. Les autres vestiges de l'Âge du Bronze	40
<b>2.2.3. Les vestiges antiques</b>	<b>42</b>
2.2.3.1. Les structures de combustion du secteur ouest	42
2.2.3.2. Les structures de combustion du secteur sud-est	44

<b>2.2.4.</b>	<b><i>Un fossé du haut Moyen-Âge</i></b>	<b>46</b>
<b>2.2.5.</b>	<b><i>Le réseau viaire et parcellaire récent</i></b>	<b>49</b>
2.2.5.1.	Le chemin F19	50
2.2.5.2.	Les fossés bordiers F13 et F14	52
2.2.5.3.	Les fossés parcellaires apparaissant sur le cadastre de 1852	53
2.2.5.4.	Le muret de talus F151 (C. Grosjean)	54
<b>2.2.6.</b>	<b><i>Les vestiges non datés</i></b>	<b>57</b>
2.2.6.1.	La structure empierrée F152 (C. Grosjean)	58
2.2.6.2.	Les structures des tranchées Tr 04 et Tr 05	58
<b>3.</b>	<b>LES ÉTUDES SPECIALISÉES</b>	<b>60</b>
3.1.	Étude du mobilier céramique (Gwénaëlle Hamon)	60
3.1.1.	<i>Présentation générale</i>	60
3.1.2.	<i>Étude céramologique par tranchées et faits</i>	62
3.1.3.	<i>Synthèse des ensembles céramiques de l'âge du Bronze ancien 1 et de l'âge du Bronze final</i>	
	<b>3A</b>	<b>71</b>
3.2.	Étude du mobilier lithique (Aurélie Crowch)	72
3.3.	Rapport anthracologique (Nancy Marcoux)	75
3.3.1.	<i>Matériel et méthode</i>	76
3.3.2.	<i>Résultats</i>	76
3.3.3.	<i>Conclusion</i>	76
<b>4.</b>	<b>SYNTHESE</b>	<b>77</b>
	<b>RÉFÉRENCES BIBLIOGRAPHIQUES</b>	<b>80</b>
	<b>LISTE DES FIGURES</b>	<b>82</b>
	<b>ANNEXES</b>	<b>84</b>
	<b>SECTION 3 : INVENTAIRES TECHNIQUES</b>	<b>100</b>
	<b>Inventaire des tranchées</b>	<b>101</b>
	<b>Inventaire des Faits</b>	<b>102</b>
	<b>Inventaire des US</b>	<b>106</b>
	<b>Inventaire des documents graphiques</b>	<b>110</b>
	<b>Inventaire du mobilier</b>	<b>110</b>
	<b>Inventaire des photographies</b>	<b>119</b>



# Section 1 : Données administratives, scientifiques et techniques

## Conditions d'utilisation des documents

Les rapports d'opération archéologique (diagnostic, fouille, document final de synthèse, sondage, sauvetage...) sont des documents administratifs communicables au public, en application de la loi n° 78-753 du 17 juillet 1978 modifiée et portant diverses mesures d'amélioration des relations entre l'administration et le public. L'accès à ces documents administratifs s'exerce auprès des administrations qui les ont élaborés ou qui les détiennent, au choix du demandeur et dans la limite de leurs conditions d'accueil. La mise en ligne des rapports **par le SRA Bretagne** a pour objectif de faciliter cette consultation.

La consultation et l'utilisation de ces rapports s'effectuent dans le respect des dispositions du code de la propriété intellectuelle relatives aux droits des auteurs. Notamment en application de l'article L.122-5 du code de la propriété intellectuelle, cela implique que :

- 1) les prises de notes et les copies ou autres formes de reproduction sont autorisées dans la mesure où elles sont strictement réservées à l'usage privé du copiste et non destinées à une utilisation collective;
- 2) toute reproduction du texte, accompagnée ou non de photographies, cartes ou schémas, n'est possible que dans le cadre de courtes citations qui doivent être justifiées, par exemple par le caractère scientifique de l'œuvre à laquelle elles sont incorporées, et sous réserve de l'indication claire du nom de l'auteur et de la source (références exactes et complètes de l'auteur, de son organisme d'appartenance et du rapport);
- 3) la représentation ou la reproduction d'extraits est possible à des fins exclusives d'illustration dans le cadre de l'enseignement et de la recherche, dès lors que le public auquel elle est destinée est majoritairement composé d'élèves, d'étudiants, d'enseignants ou de chercheurs directement concernés, et que son utilisation ne donne lieu à aucune exploitation commerciale.

Le non-respect de ces règles constitue le délit de contrefaçon prévu et sanctionné par les articles L.335-2, L.335-3 et suivants du code de la propriété intellectuelle.

Renseignement :

DRAC Bretagne : <http://www.culture.gouv.fr/Regions/Drac-Bretagne>

Service Régional de l'Archéologie - Centre de documentation archéologique

Campus universitaire de Beaulieu - Avenue Charles Foulon - 35700 Rennes



## FICHE SIGNALÉTIQUE

## Identité du site

Région :	Bretagne	Commune :	Baden
Département :	Morbihan	Code INSEE :	56008
Lieu-dit :	rue de l'île de la jument	Code postal :	56870
Cadastre, année :	2021	Sections et Parcelles :	ZE / 0473,0128, 0694
Coordonnées :	X : 1256300 / Y : 7175000	Altitude :	32 à 36 m NGF
Propriétaire(s) du terrain :	Golfe du Morbihan - Vannes agglomération		

## Opération archéologique

Arrêté de prescription :	2020-357
Arrêté de désignation :	2021-203
Responsable d'opération :	Astrid Suaud-Préault
Organisme de rattachement :	Conseil départemental du Morbihan
Maîtrise d'ouvrage des travaux :	Golfe du Morbihan, Vannes Agglomération
Nature de l'aménagement :	Extension zone d'activité (demande anticipée de prescription archéologique préventive)
Dates d'intervention sur le terrain :	Du 6 mai 2021 au 28 mai 2021

## Résultats

Niveau d'apparition des vestiges :	20 à 40 cm sous le sol actuel
Chronologie :	Âge du Bronze, Antiquité, haut Moyen Âge
Nature des vestiges immobiliers :	Fosses, fossés, trous de poteau, structures de combustion, muret, chemin
Nature des vestiges mobiliers :	Céramique, lithique, macro-outillage
Lieu de dépôt du matériel archéologique :	Service départemental d'archéologie du Morbihan - impasse Joseph Loth - Vannes
Etat du site :	À l'issue de l'intervention les sondages ont été entièrement rebouchés

## Rapport final d'opération

Nombre de volumes :	1
Nombre de pages :	143
Nombre de figures :	68
Nombre d'inventaires :	6

## 1.1. Mots clés du thésaurus

### CHRONOLOGIE

#### Paléolithique

- Paléolithique inférieur
- Paléolithique moyen
- Paléolithique supérieur

#### Mésolithique et Epipaléolithique

#### Néolithique

- Néolithique ancien
- Néolithique moyen
- Néolithique récent
- Néolithique final/ Chalcolithique

#### ■ Protohistoire

- Age du Bronze
  - Bronze ancien
  - Bronze moyen
  - Bronze final

#### Age du fer

- Hallstatt ou premier âge du Fer
- La Tène ou deuxième âge du Fer

#### ■ Antiquité romaine (Gallo-romain)

- République romaine
- Empire romain
  - Haut Empire (jusqu'en 284)
  - Bas Empire (de 285 à 476)

#### ■ Époque médiévale

- Haut Moyen Age
- Moyen Âge central
- Bas Moyen Age

#### ■ Temps modernes

#### ■ Époque contemporaine

### SUJETS ET THÈMES

- Édifice public
- Édifice religieux
- Édifice militaire
- Bâtiment commercial
- Structure funéraire
- Voirie
- Hydraulique
- Habitat rural
- Villa
- Bâtiment agricole
- Structure agraire
- Urbanisme
- Maison
- Structure urbaine
- Foyer
- Fosse
- Sépulture
- Grotte
- Abri
- Mégalithe
- Artisanat alimentaire
- Argile : atelier
- Atelier métallurgique
- Artisanat
- Autre
- Paléo-chenal

#### MOBILIER

- Industrie lithique
- Industrie osseuse
- Céramique
- Restes végétaux
- Faune
- Flore
- Objet métallique
- Arme
- Outil
- Parure
- Habillement
- Trésor
- Monnaie
- Verre
- Mosaïque
- Peinture
- Sculpture
- Inscription
- Autre

#### ÉTUDES ANNEXES

- Géologie / pédologie
- Datation
- Anthropologie
- Paléontologie
- Zoologie
- Botanique/Anthracologie
- Palynologie
- Macrorestes malacofaune
- Analyse de céramiques
- Analyse de métaux
- Acquisition des données
- Numismatique
- Conservation / restauration
- Autre

## 1.2. Générique de l'opération

### Suivi scientifique de l'opération

Direction Régionale des Affaires Culturelles de Bretagne / Service Régional de l'Archéologie

**MÉNEZ Yves**, Conservateur régional de l'archéologie

**KAYSER Olivier**, Adjoint au Conservateur régional de l'archéologie

**BOUJOT Christine**, Ingénieure de recherches, chargée de la gestion du Morbihan, secteur mégalithes Unesco- expertise Néolithique

Avenue Charles Foulon 35700 Rennes

Tel. : 02 99 84 59 00 - Fax : 02 99 84 59 01 E - mail : [contact@culture.gouv.fr](mailto:contact@culture.gouv.fr)

### Suivi administratif

Service Départemental d'archéologie du Morbihan, Conseil départemental du Morbihan :

**SÉBAG Déborah**, Cheffe du Service départemental d'archéologie du Morbihan

**OGER Hélène**, Coordinatrice administrative

2 rue de Saint-Tropez – CS82400 – 56009 Vannes Cedex

Tel. : 02 97 69 50 75 Fax : 02 97 47 68 47 / email : [sdam@morbihan.fr](mailto:sdam@morbihan.fr)

### Équipe de fouille

**SUAUD-PRÉAULT Astrid** - Responsable scientifique – prises de vues aériennes par drone

**GROSJEAN Capucine** - Technicienne de fouille

**COULIN Jules** - Technicien de fouille

**MÉLIN Muriel** - Renfort ponctuel

**PRISES DE VUES AERIENNES** : Astrid SUAUD-PRÉAULT

**PELLE MECANIQUE** : Entreprise Beaussire

**TOPOGRAPHIE**: Géobretagne Sud

### Équipe de post-fouille

**SUAUD-PRÉAULT Astrid** – Responsable scientifique

**GROSJEAN Capucine** – Lavage- tamisage- DAO, rédaction

**COULIN Jules** – Lavage- tamisage-inventaires- DAO, rédaction

**CROWCH Aurélie** – Étude du mobilier lithique

**HAMON Gwénaëlle** - Étude du mobilier céramique

**MARCOUX Nancy** - Anthracologie

### Datation radiocarbone

Beta Analytic Inc.- 4985 S.W. 74th Court, Miami, FL 33155, USA

### 1.3. Notice scientifique

Le diagnostic archéologique réalisé à Baden préalablement à l'extension de la ZAC « Nautiparc » a permis de mettre en évidence une occupation diachronique sur l'emprise prescrite. Treize tranchées ont été réalisées sur les parcelles cadastrées ZE 0473, 0128, 0694, couvrant une superficie de 46 000 m<sup>2</sup>.

Un système parcellaire et viaire récent se retrouve sur l'ensemble de la surface diagnostiquée, témoignant d'un paysage bocager présent sur le site avant le remembrement.

Partiellement hors emprise, au nord, se développe un enclos dont le fossé présente un profil en « V » de deux mètres de large pour environ un mètre d'épaisseur. Une datation par le radiocarbone, du comblement de ce fossé donne une date calibrée qui présente un intervalle compris entre 702 et 892 de notre ère, soit une utilisation durant le Haut Moyen-Âge.

La période antique est sporadiquement perçue sur le site par la présence de deux petits ensembles de structures de combustion. Trois d'entre-elles, circulaires, se situent dans la partie sud-est de l'emprise, en bas de pente. La datation radiocarbone d'une de ces structures permet d'attribuer cet ensemble au Bas Empire, tandis que la date obtenue sur une des deux fosses oblongues du secteur nord-ouest la place dans un intervalle compris entre 50 avant et 120 après notre ère. Aucune autre structure n'a pu être rattachée à ces deux petits ensembles, même si les quelques segments de fossés non datés dans les tranchées les plus à l'ouest du site pourraient appartenir à cet ensemble du Haut Empire.

La période la plus représentée est incontestablement l'Âge du Bronze à travers deux zones à forte concentration en mobilier céramique et des structures en creux qui se développent une grande partie de la surface emprise. Sur les treize tranchées ouvertes, seules deux n'ont pas livré de mobilier céramique attribué à l'Âge du Bronze. Un grand enclos, à l'intérieur duquel se trouve un ensemble de trous de poteau appartenant à un ou plusieurs bâtiments et plusieurs autres structures fossoyées attestent d'une occupation du site durant les étapes ancienne et finale de l'Âge du Bronze. Un enclos curviligne (dont l'attribution chronologique n'est pas assurée) pourrait également fonctionner avec ces structures protohistoriques.

### 1.4. État du site

Sur l'emprise prescrite de 4,6 ha, treize13 tranchées ont été ouvertes pour une surface totale de 4452 m<sup>2</sup>, soient environ 9,7 %.

## ARRÊTÉ DE PRESCRIPTION



DIRECTION DE L'AGRICULTURE  
TERRITORIALE ET DE LA CULTURE  
17 DEC. 2020

Direction Régionale  
des Affaires Culturelles

Rennes, le 14 décembre 2020

SERVICE DÉPARTEMENTAL D'ARCHÉOLOGIE  
DU MORBIHAN  
67  
18 DEC. 2020

Département du Morbihan  
Service départemental d'archéologie  
2 rue de Saint-Tropez – BP 400  
56009 VANNES Cedex

Service régional de l'archéologie

Affaire suivie par  
Christine BOUJOT  
Poste : 02 99 84.59.00  
christine.boujot@culture.gouv.fr  
Réf. : 2020/CB/VC/410

**Objet :** prescription de diagnostic archéologique

**Réf :** BADEN (56) zone d'activités économiques « Nautiparc 2 »

**PJ :** arrêté n° 2020-357

Je vous prie de trouver ci-joint l'arrêté portant prescription de diagnostic archéologique relatif à l'opération rappelée ci-dessus en référence.

Conformément à l'article R.523-26 du code du patrimoine, vous disposez de quatorze jours à compter de la réception du présent arrêté pour faire connaître votre décision de réaliser le diagnostic. A défaut de notification de votre décision avant l'expiration de ce délai, vous serez réputé avoir renoncé à le réaliser.

Pour le Préfet de la région Bretagne  
et par subdélégation,  
le Conservateur régional de l'archéologie

Yves MENEZ



Direction régionale  
des affaires culturelles

**Arrêté n° 2020-357 du 14 décembre 2020**

Service régional de  
l'archéologie

**ARRÊTÉ n° 2020-357 portant prescription de diagnostic archéologique**

**Le Préfet de la région Bretagne  
Préfet d'Ille-et-Vilaine**

**VU** le code du patrimoine, notamment son livre V ;

**VU** l'arrêté du 16 septembre 2004 portant définition des normes d'identification, d'inventaire, de classement et de conditionnement de la documentation scientifique et du mobilier issu des diagnostics et des fouilles archéologiques ;

**VU** l'arrêté du 27 septembre 2004 portant définition des normes de contenu et de présentation des rapports d'opérations archéologiques ;

**VU** le décret du 28 octobre 2020 nommant M. Emmanuel BERTHIER, préfet de la région Bretagne, préfet de la zone défense et de sécurité Ouest, préfet d'Ille-et-Vilaine ;

**VU** l'arrêté préfectoral n° 2020 DRAC/DSG en date du 16 novembre 2020 portant délégation de signature à Mme Isabelle CHARDONNIER, Directrice régionale des affaires culturelles de Bretagne ;

**VU** l'arrêté préfectoral en date du 18 novembre 2020 portant subdélégation de signature ;

**VU** le dossier de demande anticipée de prescription archéologique préventive en date du 1<sup>er</sup> décembre 2020 présentée par Golfe du Morbihan-Vannes Agglomération relatif au projet d'extension de la zone d'activités économiques « Nautiparc 2 » sur un terrain situé à Baden, reçue par la Direction régionale des affaires culturelles de Bretagne, Service régional de l'archéologie le 04 décembre 2020 ;

**CONSIDÉRANT** que, en raison de leur localisation et de leur superficie (4,6 hectares), les travaux envisagés sont susceptibles d'affecter des éléments du patrimoine archéologique. En effet, les aménagements sont projetés dans un secteur environné de sites archéologiques avec, au nord, le dolmen de Cosquer/Crafel et, au sud, les enclos antiques (Toulbroc'h/Mane Huirol) et de l'âge du Fer (Mane Kercadio) ;

**CONSIDÉRANT** qu'il est nécessaire de mettre en évidence et de caractériser la nature, l'étendue et le degré de conservation des vestiges archéologiques éventuellement présents afin de déterminer le type de mesures dont ils doivent faire l'objet ;

## ARRÊTE

**Article 1<sup>er</sup>** : Un diagnostic archéologique sera réalisé sur le terrain faisant l'objet des aménagements, ouvrages ou travaux susvisés, sis en :

Région : Bretagne

Département : Morbihan

Commune : BADEN

Lieu-dit : ZAC « Nautiparc2 »

Cadastre : section : ZE parcelles : 0473, 0128, 0694

L'emprise soumise au diagnostic, d'une superficie de 4,6 ha, est figurée sur le document annexé au présent arrêté.

Le diagnostic archéologique comprend, outre une phase d'exploration du terrain, une phase d'étude qui s'achève par la remise du rapport sur les résultats obtenus.

**Article 2** : Le diagnostic sera réalisé sous la maîtrise d'ouvrage de l'opérateur d'archéologie préventive retenu. Les conditions de sa réalisation seront fixées contractuellement en application des articles R. 523-30 à R. 523-38 du Code du patrimoine susvisé.

Il sera exécuté conformément au projet d'opération élaboré par cet opérateur sur la base des prescriptions annexées au présent arrêté.

**Article 3** : Le mobilier archéologique recueilli au cours de l'opération de diagnostic est conservé par l'opérateur d'archéologie préventive retenu le temps nécessaire à son étude qui, en tout état de cause, ne peut excéder cinq ans à compter de la date de fin de la phase terrain du diagnostic.

**Article 4** : La Directrice régionale des affaires culturelles est chargée de l'exécution du présent arrêté, qui sera notifié à Golfe du Morbihan-Vannes Agglomération, Parc d'Innovation Bretagne Sud II, 30 rue Alfred Kastler-CS 70206, 56006 Vannes cedex, au Service Départemental d'Archéologie du Morbihan et à l'Institut national de recherches archéologiques préventives.

Fait à Rennes, le 14 décembre 2020

Pour le Préfet de la région Bretagne  
et par subdélégation,  
le Conservateur régional de l'archéologie



Yves MENEZ

Destinataires :  
Golfe du Morbihan-Vannes Agglomération  
CD 56  
INRAP  
Copie :  
Commune de Baden  
Préfecture du Morbihan



**PRÉFET  
DE LA RÉGION  
BRETAGNE**

*Liberté  
Égalité  
Fraternité*

**Cahier des charges  
annexé à l'arrêté n° 2020-357  
portant prescription de diagnostic archéologique**

**Le Préfet de la région Bretagne  
Préfet d'Ille-et-Vilaine**

région :	Bretagne
département :	Morbihan
commune :	Baden
lieu-dit :	ZAC « Nautiparc2 »
cadastre :	section : ZE                      parcelles : 0473, 0128, 0694
pétitionnaire :	Golfe du Morbihan-Vannes Agglomération

**Emprise du diagnostic archéologique : 46 000 m<sup>2</sup>**

**Objectifs :**

Tout comme les communes environnantes, la commune de Baden offre un important patrimoine archéologique d'un fort intérêt patrimonial, comprenant aujourd'hui 46 sites ou indices de sites répertoriés à l'inventaire de la carte archéologique nationale. Ce patrimoine témoigne de l'ancienneté de l'occupation humaine du territoire, depuis les plus anciennes industries du paléolithique (pointe de Locmiquel), les réalisations mégalithiques du Néolithique, jusqu'aux traces d'activités humaines des âges du Bronze, des périodes gauloise, gallo-romaine et médiévale. A cet égard, les aménagements projetés sont situés sur un secteur compris :

- à moins de 100 m des vestiges d'un monument mégalithique répertorié en 1898 sous le nom de dolmen de Craffen (lieu dit Crafel aujourd'hui) ;
- à quelques centaines de mètres, plus au sud, des vestiges d'un enclos (talus) attribué à la période antique (Toulbroc'h/Mane Huirel) et des vestiges d'un site de l'âge du Fer autrefois répertoriés sous forme d'importants talus (arasés aujourd'hui).

Compte-tenu de cet environnement archéologique, l'opération de diagnostic archéologique par sondages permettra de vérifier la présence ou l'absence de vestiges archéologiques sur l'emprise du projet et le cas échéant de les caractériser comme participant à l'une ou l'autre de ces occupations précédemment citées et/ou comme appartenant à d'autres périodes.

**Principes méthodologiques :**

Le projet d'extension de la zone d'activités économiques s'étend sur une superficie de 46 000 m<sup>2</sup>. Le diagnostic archéologique sera à réaliser sur l'emprise du projet, conformément au plan annexé, selon un mode opératoire adapté. Outre les tranchées de sondages réalisées au moyen d'une pelle mécanique équipée d'un godet lisse travaillant en mode rétro, de plus larges fenêtres pourront être ouvertes en tant que de besoin afin de favoriser l'identification, la lecture et la datation d'éventuels niveaux de sols ou traces d'activités plus ténues. Au total, au moins 10 % de l'emprise devront être



sondés. Des décapages manuels pourront être réalisés au niveau des faits archéologiques mis au jour et des sondages également manuels pourront être effectués pour préciser la puissance et la complexité stratigraphique sur la base d'un échantillonnage raisonné. Dans la mesure du possible, des observations paléoenvironnementales mais également sédimentaires (géomorphologie, micromorphologie) pourront être effectuées afin que le service régional de l'archéologie puisse disposer de tous les éléments nécessaires afin de décider des mesures les plus adaptées pour la suite du dossier.

Le service régional de l'archéologie devra être informé du démarrage du chantier, ainsi que des découvertes significatives.

Les sondages, comme les fenêtres complémentaires, seront replacés sur un plan général. Ils devront faire l'objet de relevés comportant les altitudes des ouvertures et des fonds de fouilles, ainsi que des coupes stratigraphiques (avec cotes altimétriques) et des photographies.

Le site sera replacé dans son contexte topographique, archéologique, historique et géographique (cadastres et plans anciens notamment).

Le rapport de diagnostic comportera une version en format pdf destinée à un versement dans la bibliothèque numérique de la D.R.A.C. Bretagne et consultable en ligne, ainsi qu'un plan d'emprise de l'opération de diagnostic figurant les zones ouvertes (sondages, fenêtres, zones éventuellement décapées) et les structures mises au jour, en format shape.

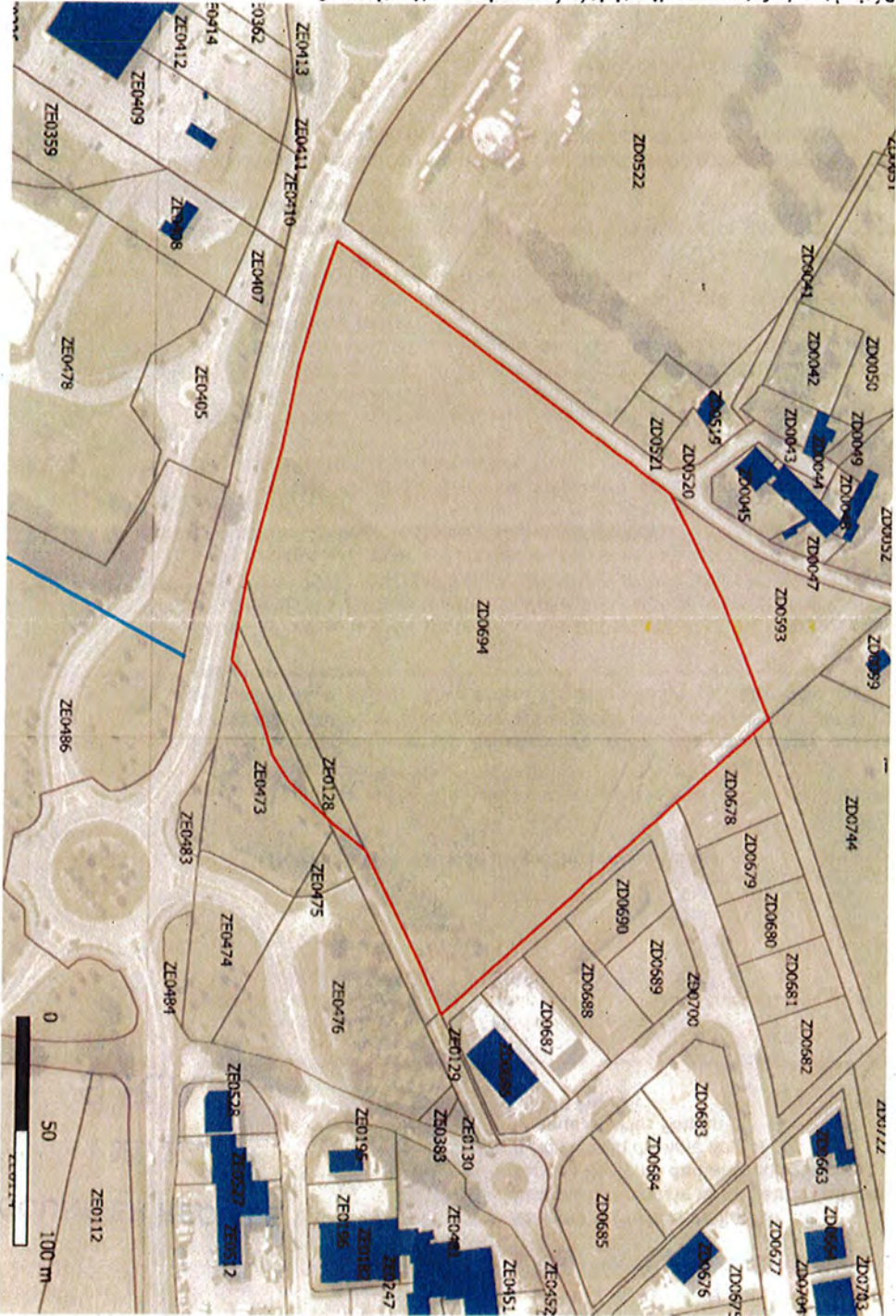
Fait à Rennes, le 14 décembre 2020

Pour le Préfet de région Bretagne  
et par subdélégation  
le Conservateur régional de l'archéologie



Yves MENEZ

Perimètre du futur parc d'activités économiques - Nautiparc 2



## ARRÊTÉ DE DÉSIGNATION DU RESPONSABLE SCIENTIFIQUE



**PRÉFET  
DE LA RÉGION  
BRETAGNE**

*Liberté  
Égalité  
Fraternité*

Direction régionale  
des affaires culturelles

Service régional de l'archéologie

**Arrêté n° 2021-203 du 4 mai 2021**

### **Arrêté n° 2021-203 portant désignation du responsable scientifique de l'opération d'archéologie préventive prescrite par arrêté n° 2020-357**

**Le Préfet de la région Bretagne  
Préfet d'Ille-et-Vilaine**

**VU** le code du patrimoine, notamment son livre V - articles R 522-1 et R 523-22 ;

**VU** le décret du 28 octobre 2020 nommant M. Emmanuel BERTHIER, préfet de la région Bretagne, préfet de la zone défense et de sécurité Ouest, préfet d'Ille-et-Vilaine ;

**VU** l'arrêté préfectoral n° 2020 DRAC/DSG en date du 16 novembre 2020 portant délégation de signature à Mme Isabelle CHARDONNIER, Directrice régionale des affaires culturelles de Bretagne ;

**VU** l'arrêté préfectoral en date du 18 novembre 2020 portant subdélégation de signature ;

**VU** l'arrêté n° 2020-357 du 14 décembre 2020 portant prescription d'un diagnostic archéologique à réaliser à BADEN, zone d'activités économiques « Nautiparc 2 » (56) ;

**CONSIDÉRANT** que le responsable d'opération n'a pas été désigné par l'arrêté susvisé ;

### **ARRÊTE**

**Article 1<sup>er</sup>** : Mme Astrid SUAUD-PRÉAULT – Département du Morbihan, Service départemental d'archéologie - est désignée responsable scientifique du diagnostic prescrit par l'arrêté n°2020-357, n° opération : 5968.

**Article 2** : La Directrice régionale des affaires culturelles est chargée de l'exécution du présent arrêté, qui sera notifié à Mme Astrid SUAUD-PRÉAULT.

Fait à Rennes, le 4 mai 2021

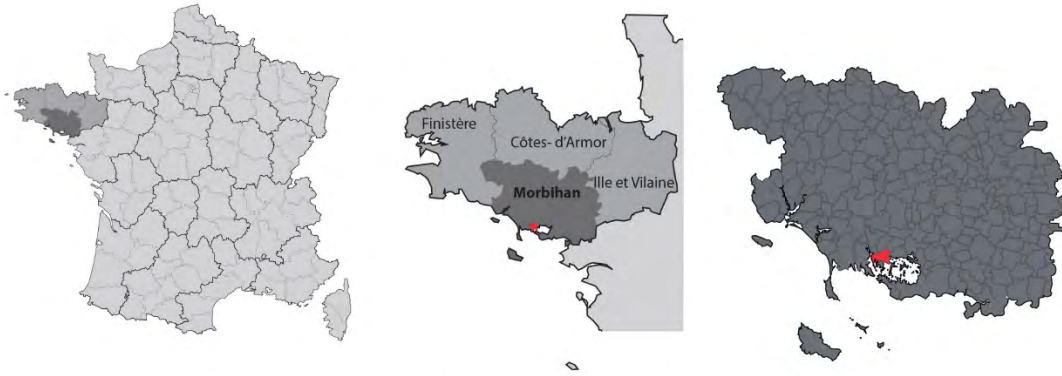
Pour le Préfet de la région Bretagne  
et par subdélégation,  
le Conservateur régional de l'archéologie

Yves MENEZ

Destinataire :  
Mme Astrid SUAUD-PRÉAULT

Copie :  
Commune de Baden

## Section 2 : Présentation des résultats



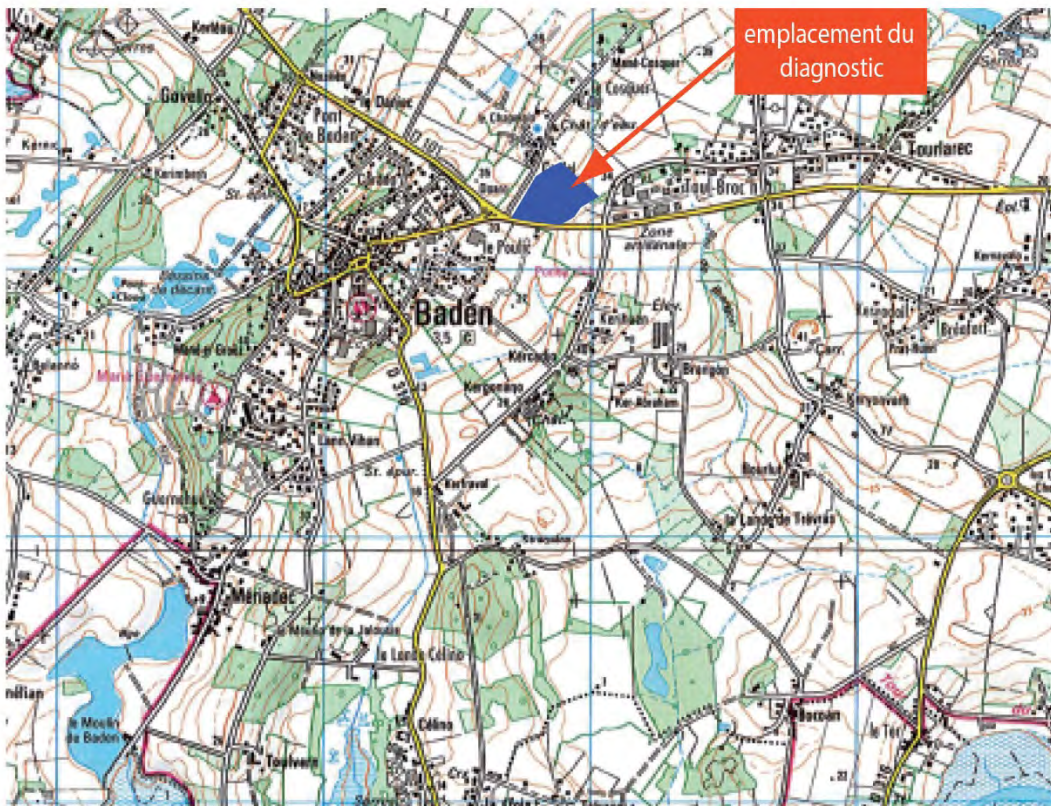
Bretagne  
Morbihan  
Baden  
Zac Nautiparc 2

Parcelle(s)  
ZE 0473, 0128, 0694.

X=1256300  
Y=7175000



Echelle 1/250 000, IGN



Echelle 1/25 000, IGN

Figure 1 : Situation géographique de l'emprise du projet d'extension de la ZAC « Nautiparc 2 »

## 1. PRÉSENTATION DE L'OPÉRATION

### 1.1. Circonstances de l'intervention

Dans le cadre du projet d'extension de la zone d'activités économiques « Nautiparc 2 » à Baden (Morbihan), l'intercommunalité Golfe du Morbihan-Vannes Agglomération a effectué une demande anticipée de prescription archéologique préventive auprès de la DRAC Bretagne. Celle-ci a conduit le service régional d'archéologie (SRA) de Bretagne à prescrire une opération de diagnostic archéologique qui couvre une superficie de 46 000 m<sup>2</sup>, sur les parcelles cadastrées ZE 0473, 0128, 0694 (fig.1).

### 1.2. Méthodologie

L'intervention s'est déroulée du 6 au 28 mai 2021. Elle a mobilisé trois personnes du service avec le renfort ponctuel d'un quatrième agent.

Le diagnostic a consisté à effectuer des tranchées à la pelle mécanique 20T, munie d'un godet lisse de 3 mètres, jusqu'au niveau d'apparition des vestiges archéologiques, ou du substrat géologique. L'implantation des 13 tranchées a tenu compte de la topographie du terrain. Trois longues tranchées (TR1, 2 et 3) ont été positionnées sur le replat en partie haute de l'emprise, selon un axe nord-est / sud-ouest, suivant la pente côté sud-ouest ; les dix autres tranchées se développent vers le sud de la parcelle en partie basse (fig. 2).



Figure 2 : Implantation des tranchées du diagnostic sur le plan cadastral

Les 13 tranchées avec leurs extensions représentent une surface ouverte totale de 4452 m<sup>2</sup>, soit environ 9.7 % de la surface prescrite.

La profondeur des tranchées a été conditionnée par l'apparition de vestiges ou du substrat composé d'arène granitique ou de granite et ponctuellement de schiste (dans la tranchée Tr 03).

Toutes les tranchées ont fait l'objet d'une « Fiche de tranchée » remplie sur le terrain et comportant un croquis et une description de la nature du substrat et des faits rencontrés.

Les anomalies pédologiques identifiées ont été numérotés sur le terrain avec un nom comportant la lettre F pour fait, puis le numéro de 1 à 160 indépendamment du numéro de tranchée. Les unités stratigraphiques (US) ont été numérotées de 1 à n, soit de l'US01 à l'US121. L'US00 désigne la terre végétale. Les faits testés ont été relevés au 1/20<sup>e</sup> sur les minutes de terrain. Une couverture photographique numérique a été réalisée tout au long de l'intervention, complétée par des prises de vues en drone.

Les relevés topographiques ont été assurés au GPS par le cabinet Géobretagne Sud.

### 1.3. Contexte géographique, topographique et géologique

Le site de « Nautiparc 2 » est situé au nord est du bourg de Baden», Il est limité au nord-est par l'actuel « Nautiparc » au lieu-dit « Toulbroche », au sud par la route départementale RD101 (fig. 3) et à l'ouest par la « route du château d'eau » menant du village de « Crafen » au « Mané Cosquer ».



Figure 3 : Vue drone vue de l'opération de diagnostic vers le sud-ouest, en arrière-plan, le bourg de Baden

Les parcelles diagnostiquées présentent un double pendage depuis le nord-est vers le sud-ouest et depuis le nord-ouest vers le sud-est, avec une pente jusqu'à 16%. Leur altitude est comprise entre 37 et 31 m NGF. La partie nord de l'emprise se situe sur un léger replat, présentant localement une légère cuvette (fig.4).

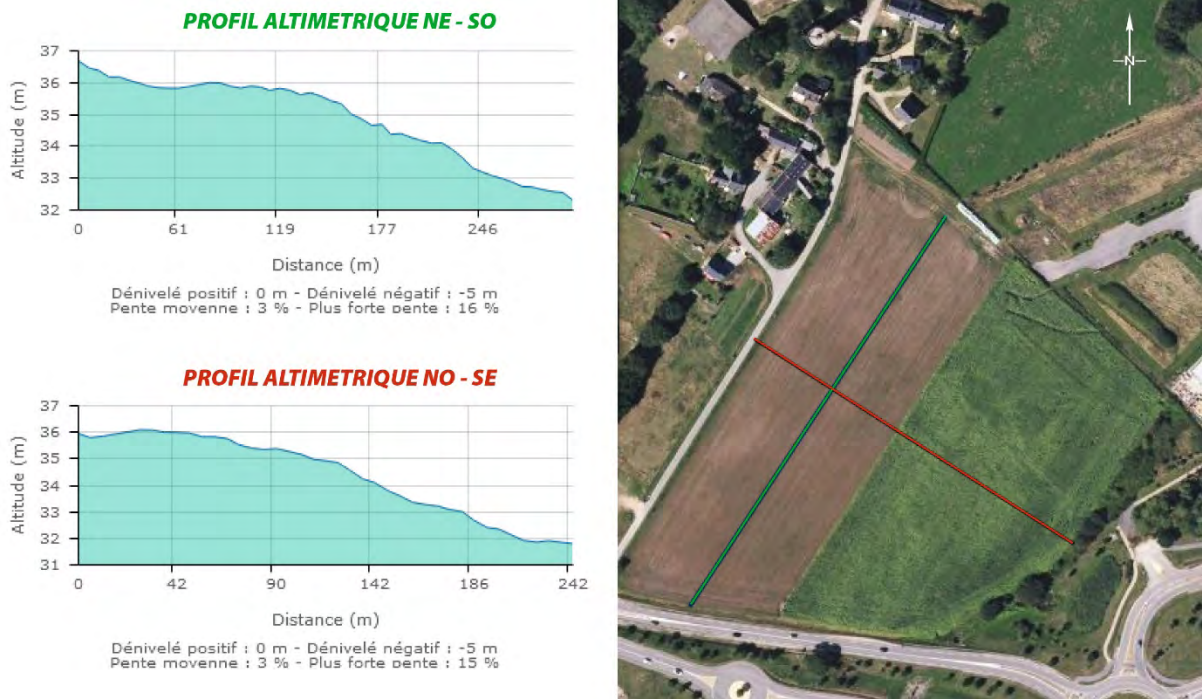
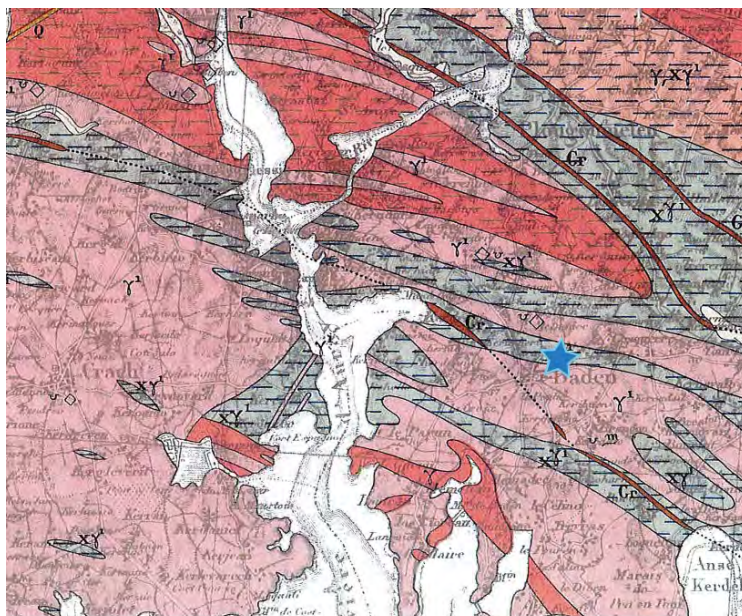
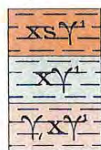


Figure 4 : Profils altimétriques des parcelles comprises dans l'emprise du diagnostic

D'après la carte géologique du BRGM, le substrat local est formé par un socle granitique (granite porphyroïde gneissique), traversé de bandes de schiste, micashiste et gneiss granulitiques (fig. 5).



II. Sédiments métamorphisés par la granulite :



$XSY$  Schistes micacés de Bains.  
 $XY$  Schistes micacés et feldspathisés, schistes à minéraux, micashistes et gneiss granulitiques (Paragneiss).  
 $YXY$  Gneiss granulitiques.

III. Granites :



Granite porphyroïde gneissique.



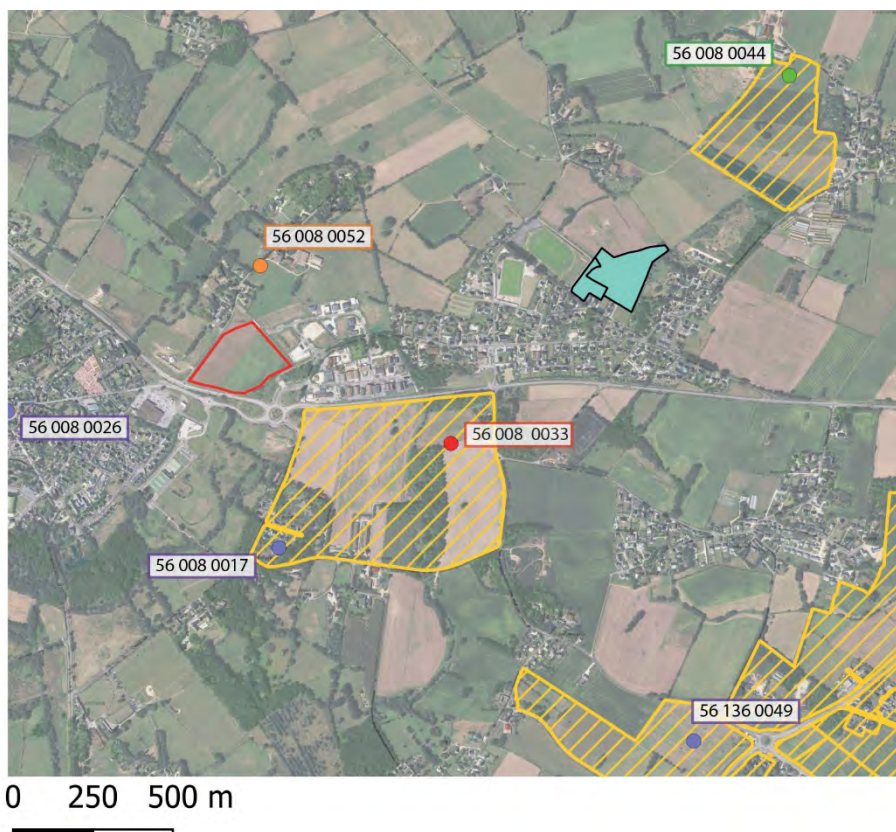
emplacement du diagnostic

Figure 5 : Extrait de la carte géologique, feuille de Vannes au 1/80 000 (©BRGM)



## 1.4. Contexte archéologique

La commune de Baden (Morbihan) possède un patrimoine archéologique conséquent. 46 sites ou indices de sites sont répertoriés à l'inventaire de la carte archéologique nationale, du Paléolithique à l'époque médiévale. Le cahier des charges annexé à l'arrêté 2021-357 rappelle l'importance du patrimoine archéologique de ce secteur, et en particulier la présence de vestiges d'un monument mégalithique repéré à la fin du XIX<sup>ème</sup> siècle à une centaine de mètres au nord de l'emprise (Dolmen de Craffen ou Crafel), mentionné dans le *Dictionnaire archéologique de la Gaule* (1875). Dans un environnement moins proche, on peut également citer à environ deux kilomètres au nord-est de l'emprise un tumulus pouvant correspondre à une réalisation du Néolithique ou de l'âge du Bronze (EA 560080008) repéré par image Lidar en 2016 et une stèle de l'âge du fer au niveau de l'église de Baden (fig. 6).



● Indéterminé ● Néolithique / Age du Bronze ● Age du Fer ● Antiquité

56 008 0052	COSQUER /CRAFEL	Dolmen
56 008 0044	LOZEN	Tumulus
56 008 0017	MANE KERCADIO	Occupation - talus
56 008 0026	EGLISE	Stèle
56 136 0049	QUATRE CHEMINS	Habitat - parcellaire
56 008 0033	TOULBROC'H / MANE HUIREL	Occupation



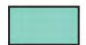
-  Emplacement du diagnostic 2020-357
-  ZPPA
-  Diagnostics archéologiques effectués en 2018 (V. Brissoto-INRAP)

Figure 6 : Environnement archéologique, d'après la carte archéologique nationale. Source Géobretagne ©, DRAC Bretagne

## 2. RÉSULTATS DU DIAGNOSTIC ARCHÉOLOGIQUE

### 2.1. Stratigraphie générale et apparition des vestiges

La stratigraphie observée diffère sensiblement sur la surface de l'emprise (fig. 7). Localement le socle rocheux granitique apparaît directement sous le niveau de terre végétale (US00), dans les tranchées Tr 2 Tr 3 et Tr 10 notamment. Sur la majeure partie du terrain diagnostiqué, les niveaux d'altération arénacés du substrat rocheux (US-02-04-10-03) apparaissent sous un limon brun à cailloutis de 20 à 40 cm d'épaisseur qui constitue la terre végétale. Au sud de l'emprise (Tr 12) ces niveaux sont plus hydromorphes (US 20-21) et peuvent contenir des dreikanter de 10 à 20 cm (US 10).

Les vestiges apparaissent entre 30 et 60 cm de profondeur à une altitude comprise entre 31.31 et 36.96 m NGF

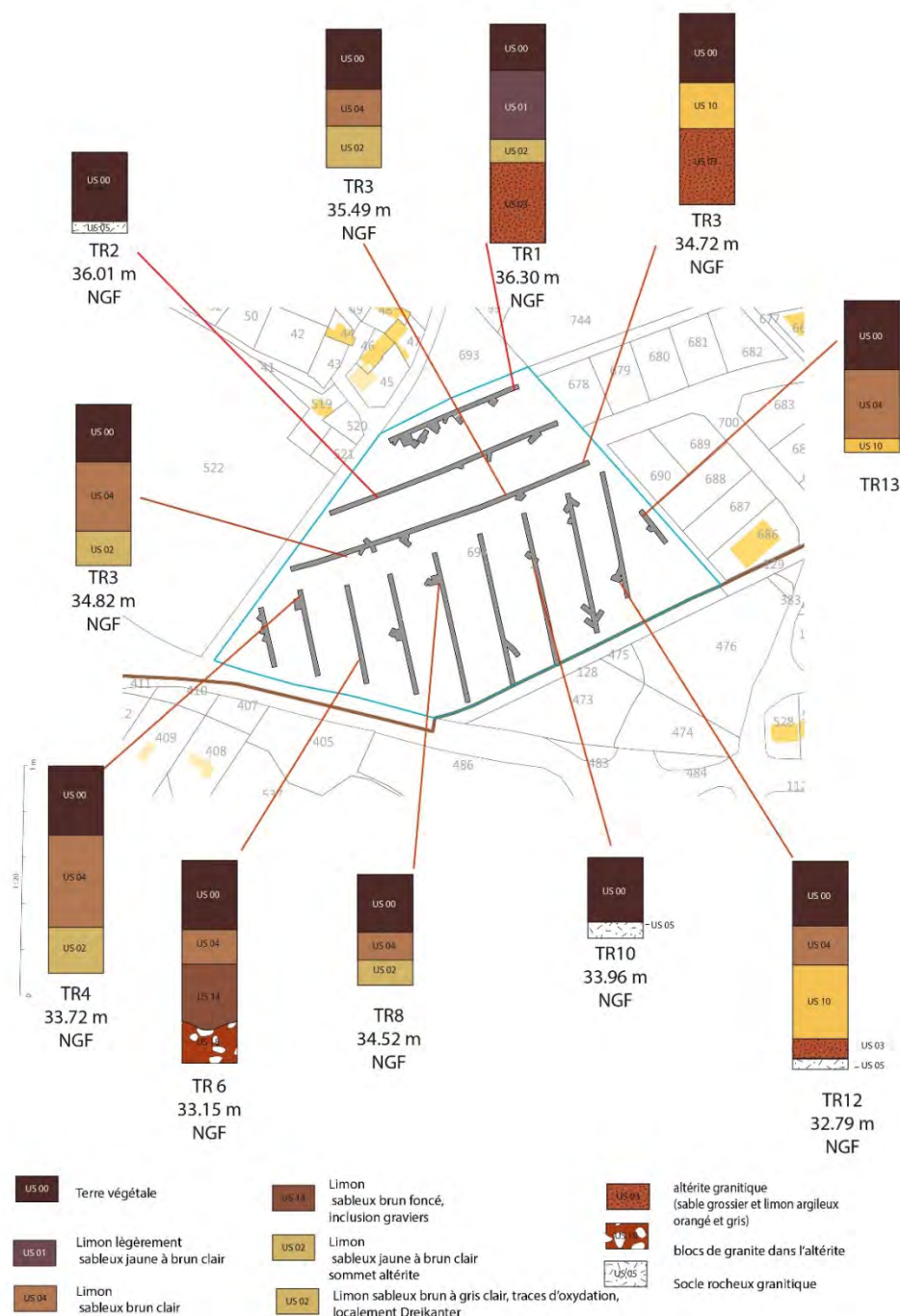


Figure 7 : Illustration de quelques séquences stratigraphiques à travers des LOG des tranchées 1,2,3,4,6,8,10,12 et 13

## 2.2. Les vestiges archéologiques

### 2.2.1. Observations générales

Type d'anomalie	Nombre
Fossé	33
Trou de Poteau	43
Fosse	18
Structure de combustion	4
Chemin	1 (3 segments)
Maçonnerie	2
Sablière (?)	4
Drain	6
Fosse de plantation	9
Total	120
Chablis	5
Anomalie naturelle	44
Total	169

Les anomalies pédologiques identifiées ont été numérotés sur le terrain F1 à F160 indépendamment du numéro de tranchée. Neuf fosses de plantations d'arbres ont été repérées au décapage, elles sont géoréférencées mais non numérotées. Quarante-neuf anomalies testées ou non se sont avérées être d'origine naturelle (dépressions dans le substrat, chablis, racines) (fig. 8). Parmi les anomalies non testées quelques-unes interprétées comme des trous de poteau sont possiblement aussi d'origine naturelle.

Les vestiges sont principalement concentrés dans trois zones de l'emprise ; Au nord, au centre-ouest et au sud-est. Dans le secteur sud, plus hydromorphe les vestiges sont lisibles à une profondeur plus importante que sur le plateau au nord-est de l'emprise.

Figure 8 : Tableau récapitulatifs du nombre anomalies pédologiques d'origine anthropique ou naturelle repérées lors du diagnostic.

La surimposition du plan avec le cadastre napoléonien permet de mettre en évidence le parcellaire et réseau viaire moderne ou contemporain, avant le remembrement (fig.09). Ces vestiges seront traités dans un second temps (§ 2.2.5., p.49).

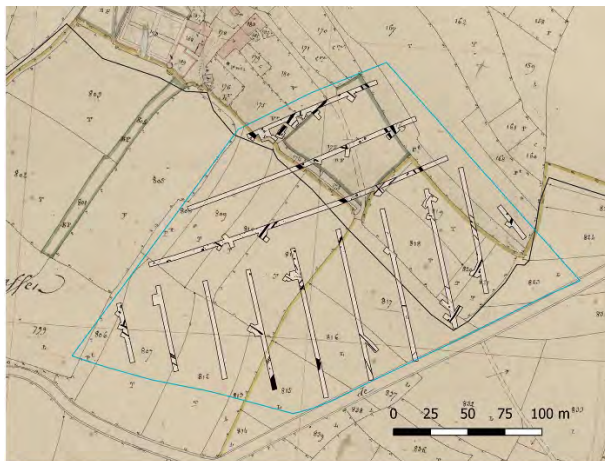
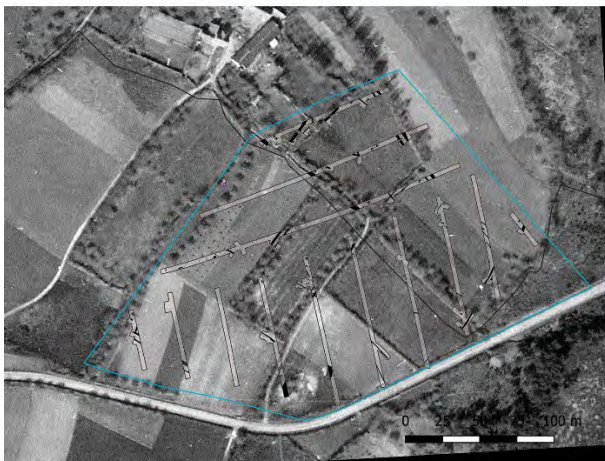


Figure 9 : Plan général des tranchées de diagnostic et des vestiges archéologiques sur fond de cadastre napoléonien de 1852 et sur photo aérienne de 1960



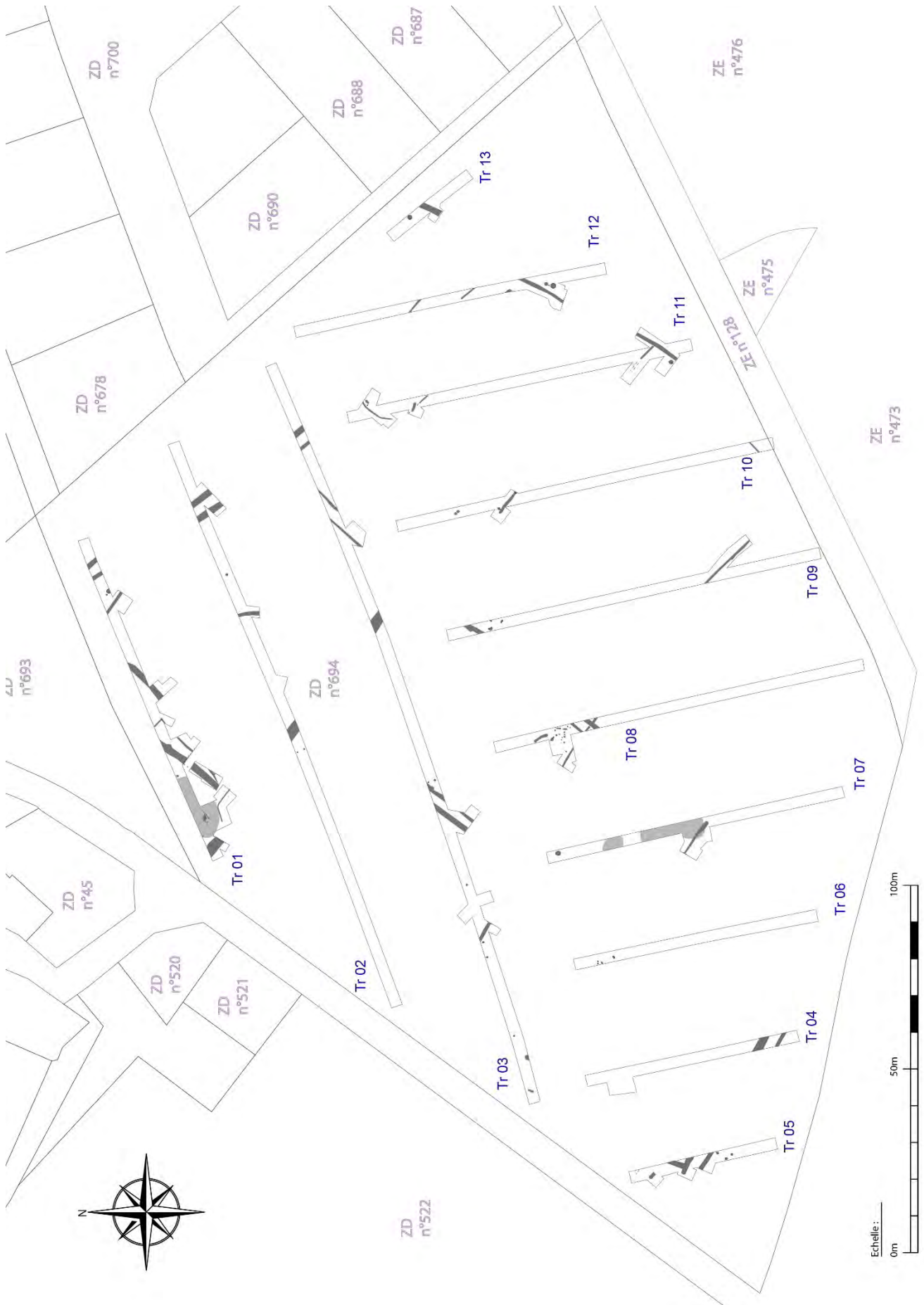


Figure 10 : Plan général des vestiges et de l'ensemble des anomalies géoréférencées.

Outre les fossés et un chemin récent, six tronçons de drains réalisés par l'exploitant de la parcelle dans les années 70-80 ont été repérés, ainsi qu'une zone en bas de pente ayant servi de décharge (Tr 07 et Tr 08), du côté ouest de l'emprise (fig.11).



a. Tranchée Tr 02, vue vers le nord, à droite le drain (F21) recoupe le fossé parcellaire récent (F22)



b. Tranchée Tr 09, vue vers le sud, drain «tapissé» de bâche plastique



c. Tranchée Tr 07, vue vers le sud, zone de décharge

Figure 11 : Exemples de structures contemporaines, drains et zone de décharges, de la fin du XXème siècle.

### 2.2.2. Les vestiges de l'âge du Bronze

Sur les 299 tessons de céramiques ramassés au diagnostic, 280 ont été attribués à l'âge du Bronze ancien ou final (§ 3.1.1., p.60, fig. 59), soit plus de 93.6 %. Les 19 autres tessons sont attribués aux périodes modernes et contemporaines.

Les vestiges céramiques et structures archéologiques attribués à l'âge du Bronze sont répartis sur l'ensemble de la surface diagnostiquée, dans toutes les tranchées hormis les tranchées Tr 05 et Tr 10 qui comportent des vestiges dont l'attribution chronologique n'est pas assurée.

### 2.2.2.1. Deux zones de concentrations de céramique

Dans les tranchées Tr 01 et Tr 07, et localement dans les tranchées Tr 06 et Tr 04, l'occupation de l'Âge du Bronze est caractérisée par un « nappage » de céramiques dans l'US01 pour la tranchée Tr 01 et dans les US04 et 15 pour les tranchées Tr 07, Tr 06 et Tr 04.

Dans la tranchée Tr 01, les tessons apparaissent entre 36.13 et 36.05 m NGF, dans la tranchée Tr 07 ils apparaissent entre 33.65 m NGF et 33,05 m NGF, depuis le nord vers le sud, dans le sens de la pente, sur un vingtaine de centimètres d'épaisseur (fig. 13).

Le mobilier céramique de ces deux tranchées (01 et 07) est constitué de tessons, plus ou moins roulés, qui ne sont pas rattachés à des faits archéologiques.

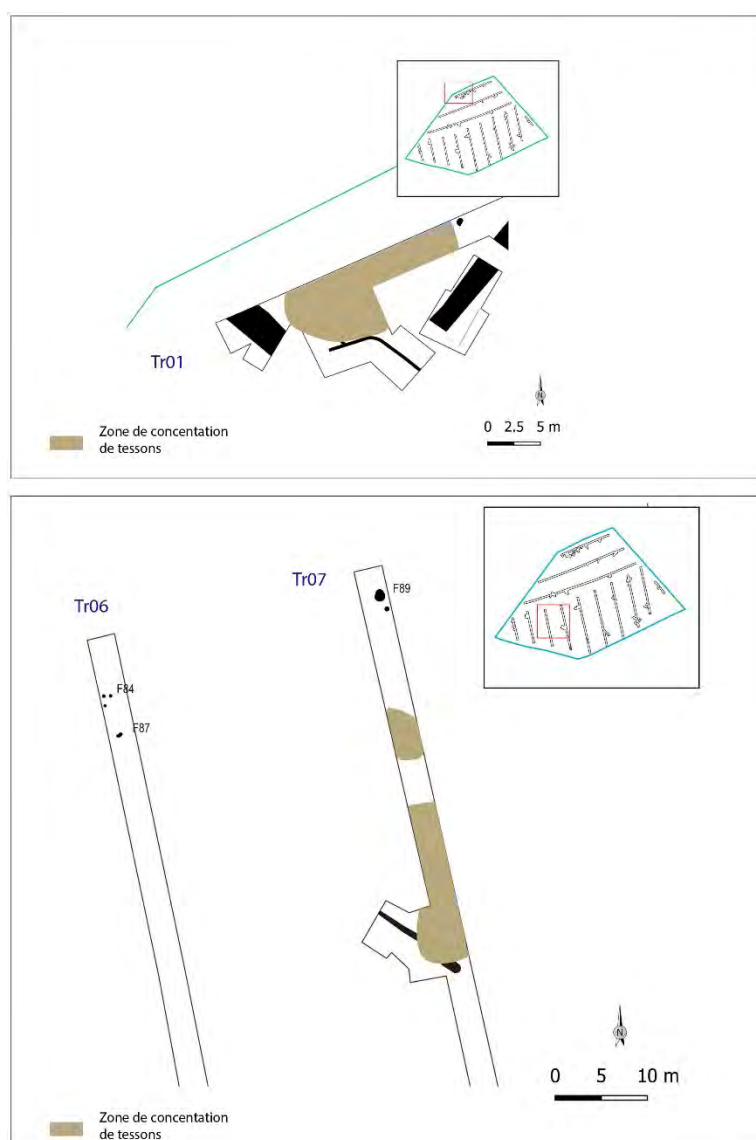


Figure 12 : Localisations des zones de concentration en céramique dans les tranchées Tr01 et Tr07

Ces tessons « à pâte montrant une bonne résistance, principalement façonnés à partir d'argile d'altération du granite de Carnac, à inclusions très fines à fines ou très fines à moyennes de quartz, feldspath, muscovite souvent en « plaquettes », biotite et fragments de roches granitoïdes », correspondent à de la céramique rattachée à l'Âge du Bronze final (cf. § 3.1.2. Étude céramologique)

### 2.2.2.2. Un vaste système fossoyé et la fosse F126

L'occupation protohistorique du site est largement caractérisée par un ensemble de fossés pouvant appartenir à deux enclos ou un système fossoyé de réseau parcellaire (fig. 13).

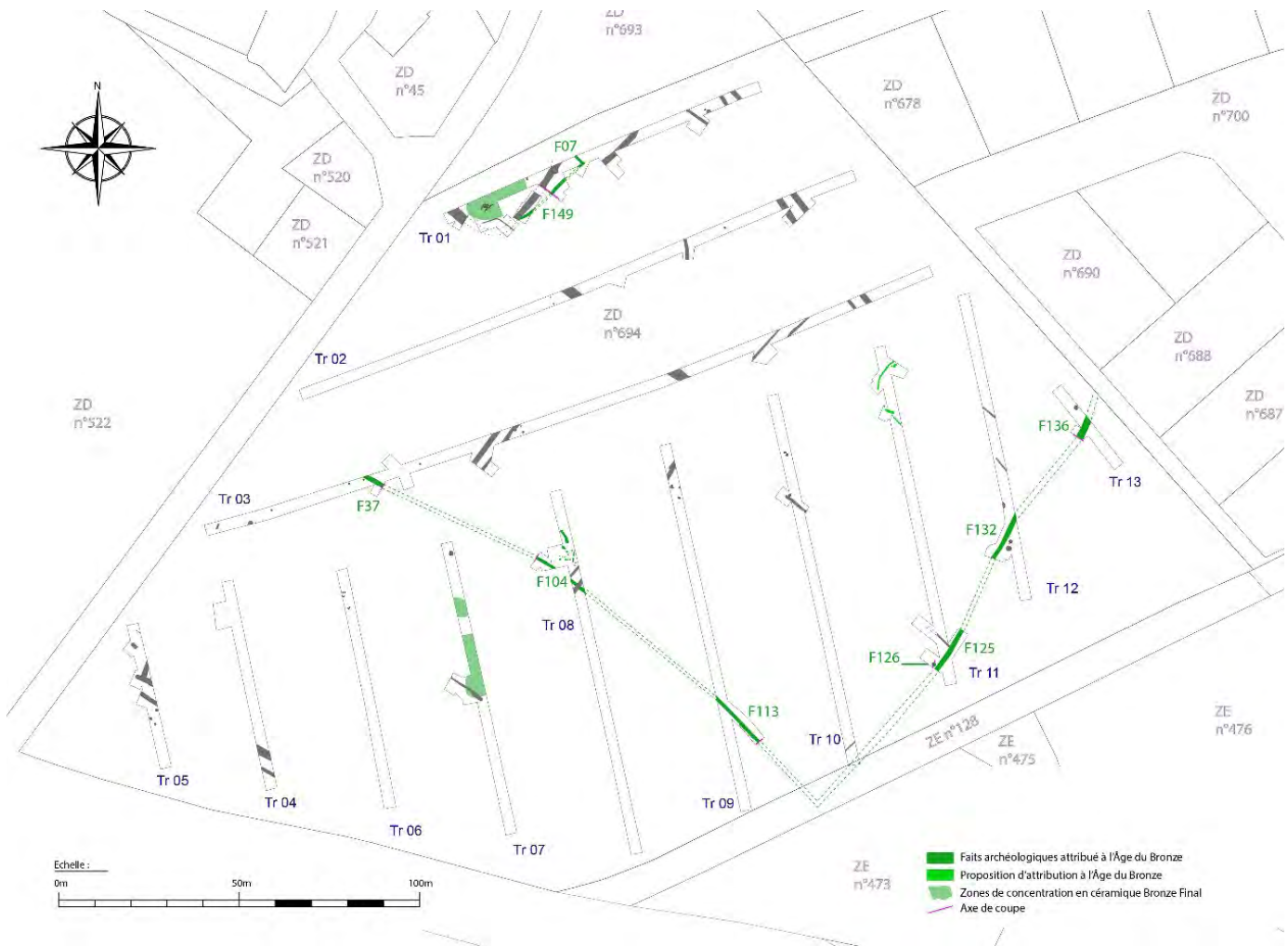


Figure 13 : Plan de localisation des structures archéologiques de l'Âge du Bronze

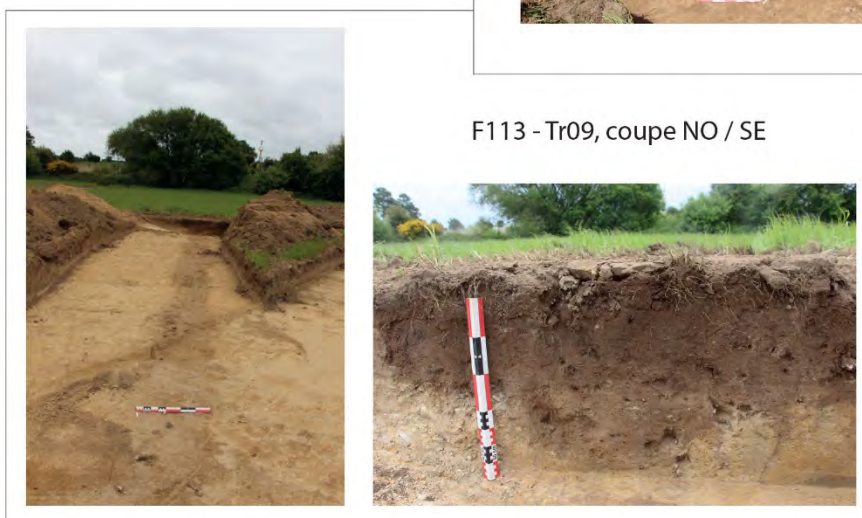
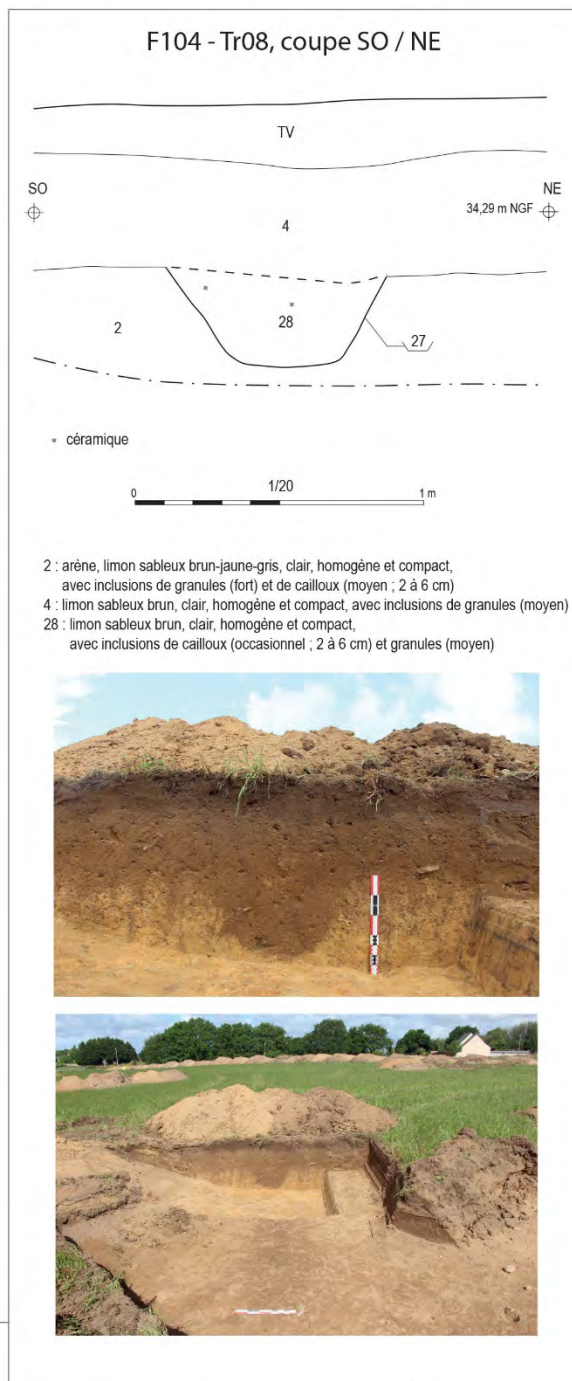
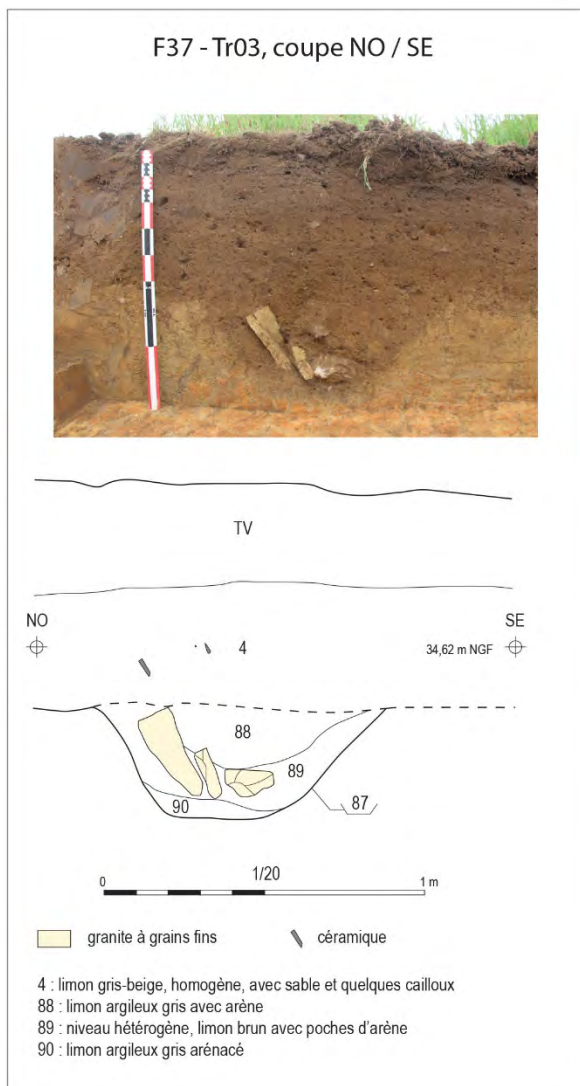
### • Le fossé orienté nord-ouest / sud-est

Les tronçons de fossé F37, F104 et F113, sont respectivement situés dans les tranchées Tr 03 Tr 08 et Tr 09. Ils appartiennent à un même fossé qui suit un axe nord-ouest / sud-est.

La portion F37 apparaît dans l'US02, sous l'US04, à une altitude de 34,40 m NGF, tandis que la portion F104 apparaît à une altitude de 34,10 m NGF, et au sud de la tranchée Tr 09 F113 apparaît à 31,50 m NGF.

Le fossé observé dans ces trois tranchées (F37) mesure de 70 à 90 cm de large pour une profondeur de 30 à 35 cm. Il présente un profil aux parois évasées, avec un fond relativement plat.

Dans la tranchée Tr08, on observe un comblement unique, composé d'un limon brun, clair, homogène et compact, avec inclusions de cailloux et graviers (US28). Dans la tranchée Tr 03, en revanche, le remplissage du fossé comporte trois niveaux de comblement distincts (fig.14). Le mobilier céramique de ces segments de fossé est composé d'une trentaine de tessons qui se rapportent à l'Âge du Bronze ancien et au Bronze final.



F113 - Tr09, coupe NO / SE

Figure 14 : Vues des différentes coupes du fossé F37 (=F104=F113) et relevés des coupes dans les tranchées Tr 03 et Tr 08



- Le fossé orienté sud-ouest / nord est

Les portions de fossé F125, F132 et F136, localisées dans les tranchées Tr 11, Tr 12 et Tr 13, appartiennent à un même fossé orienté sud-ouest/nord-est, perpendiculairement au précédent. L'angle de l'espace potentiellement enclos par ces deux grands fossés n'a pas été perçu au diagnostic.

Dans cette partie basse de l'emprise, la lecture des structures est plus complexe dans le substrat plus hydromorphe. Dans la tranchée Tr 12, le fossé F132 se confond partiellement avec un fossé parcellaire récent. Au décapage, deux fossés distincts ont été perçus, mais cette distinction n'apparaît pas en coupe (fig.15, F132).

La coupe réalisée dans le segment F136, dans la tranchée Tr 13 montre un profil irrégulier. Le bord sud-ouest est assez abrupt tandis que le bord nord-ouest est évasé. Le fond est plat. Le fossé apparaît sous l'US04. Il mesure 60 cm de profondeur pour une largeur maximale d'environ 1,50 m. Le comblement présente plusieurs niveaux distincts. Le comblement supérieur (US120 et 121) est composé de limon argileux gris clair, meuble et homogène, avec traces d'oxydation et présence de cailloux. Le comblement inférieur est constitué d'argile grise, hydromorphe avec des cailloux et des blocs de granite et quartz éolisé (US 118). À l'interface, on remarque en coupe des traces charbonneuses et des lentilles de terre rubéfiée (US 119).

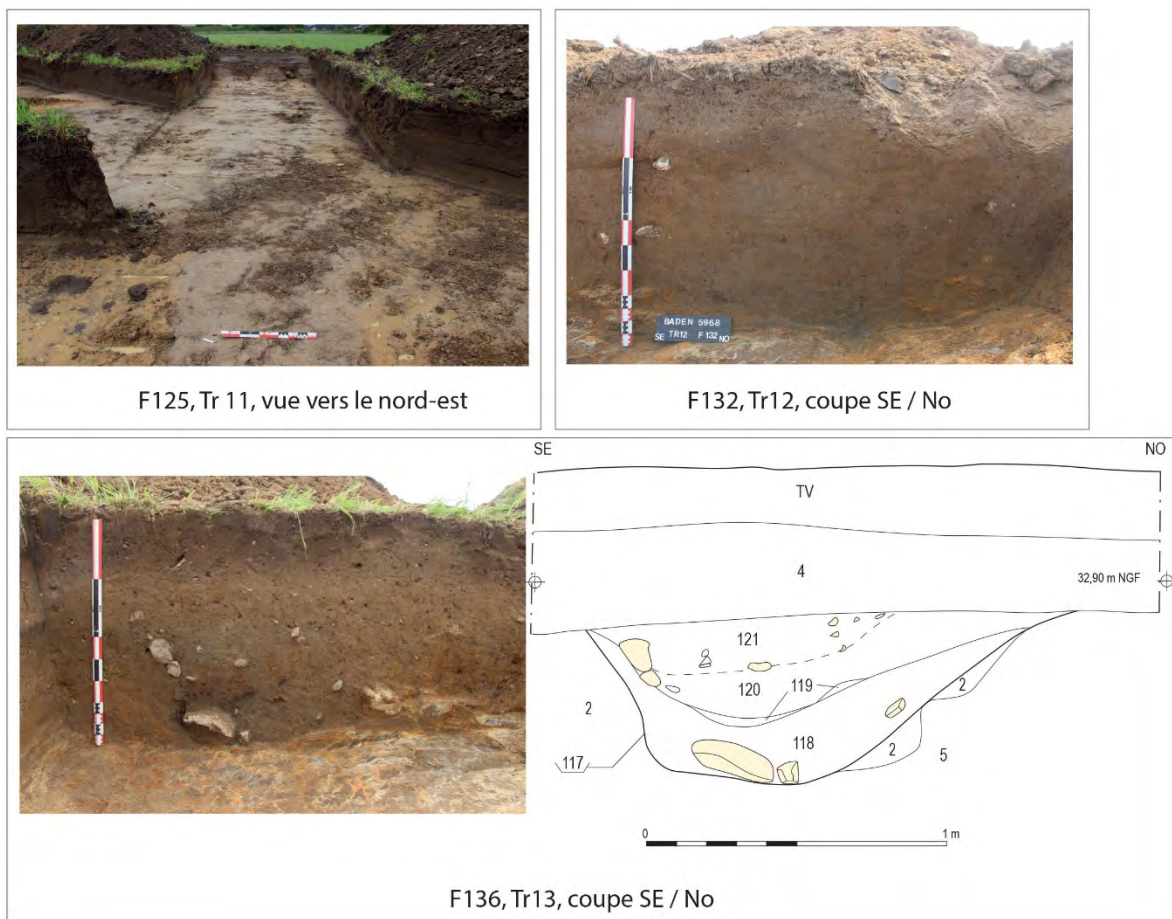


Figure 15 : F136, Tr13, coupe SE / NO

Dix-sept tessons attribués à l'Âge du Bronze ancien ont été mis au jour au niveau du segment F125. Deux tessons ont été trouvés en surface du tronçon F132. Le premier est daté de l'Âge du Bronze, le second de l'époque moderne.

Bien qu'il n'ait pas été mis en évidence d'angle formé par ces deux fossés, qui pourrait se situer hors emprise, l'hypothèse de fossés appartenant à un même enclos peut être proposée. La longueur visible au diagnostic de ces deux fossés (F37 et F126), s'il s'agit effectivement d'un enclos délimite un espace de plus 190 m de long pour plus de 150 m de large, soit au minimum 19 500 m<sup>2</sup>. A titre de comparaison l'enclos 1 du site de Leslouc'h à Plouedern (Finistère), du Bronze Moyen, couvre une surface de 13 000 m<sup>2</sup> (Blanchet 2013) (fig.16).



Figure 16 : extrait du RFO de la fouille Leslouc'h à Plouedern (29) (Fouille S. Blanchet INRAP 2008) « Phasage chronologique des fossés » © Inrap, Stéphane Jean. En violet au centre l'enclos 1.

• La fosse F126.

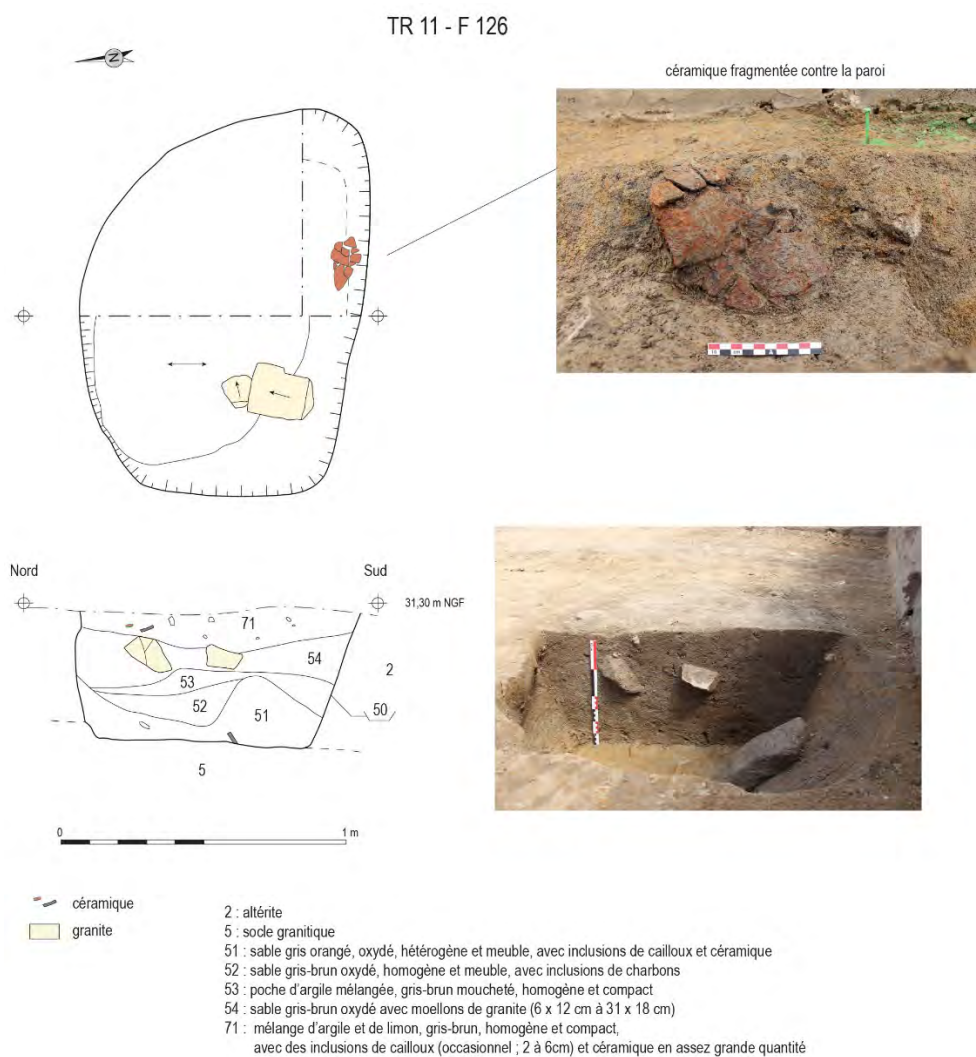


Figure 17 : F126, Tranchée Tr13, relevés en plan et coupe ; détail de la céramique de l'US71 ; vue de la coupe nord-sud

A proximité immédiate du fossé F125, au nord (fig.13), une fosse au contour ovalaire a été mise en évidence. Elle apparaît à une altitude de 31,30 m NGF. La fosse mesure 1 m de large pour 1,30 m de long. La fosse présente un creusement assez régulier, aux parois légèrement évasées qui entament l'altérite granitique (US02) avec un fond plat qui s'arrête sur l'apparition du socle rocheux. Le niveau de comblement supérieur (US71) a livré 43 tessons de céramique attribués à l'étape la plus ancienne de l'âge du Bronze (§ 3.1.3.), dont un fond de vase apparu en surface (003-CER-015) (fig.17). Une datation radiocarbone réalisée sur un charbon de cette fosse a donné un intervalle compris entre 2115 et 1886 cal BC, qui confirme l'attribution chronologique du mobilier céramique.

- Les Fossés F07 et F149 de la tranchée Tr01

Deux fossés formant un angle droit ont également été mis au jour dans la tranchée Tr 01. Ils suivent la même orientation que les autres fossés mis au jour au diagnostic. Le fossé F07 orienté nord-ouest /sud-est perpendiculaire au fossé F149 (fig.18).

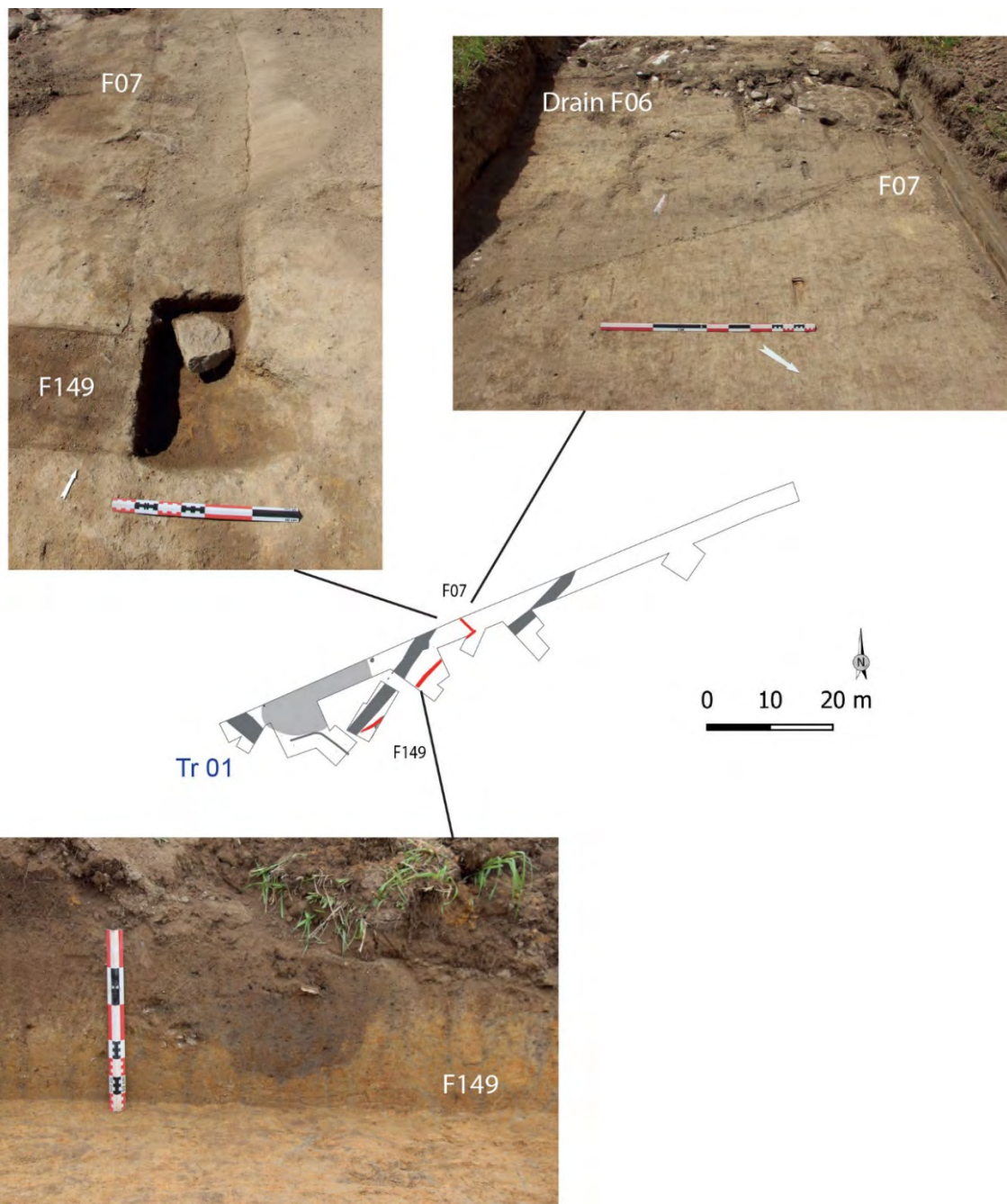


Figure 18 : Localisation des fossés F07 et F149, dans la tranchée Tr01

Ces fossés mesurent entre 60 et 80 cm de large. Ils présentent un profil en cuvette, avec comblement similaire de limon argileux brun assez meuble comprenant quelques blocs de granite, sur une profondeur d'une vingtaine de centimètres. Le décapage de l'angle a fait sauter un bloc de granite important, un nettoyage de coupe à cet emplacement a cependant mis en évidence qu'aucune relation d'antériorité n'est visible. Ces deux fossés fonctionnent ensemble et forment un angle d'enclos qui sort de l'emprise du diagnostic, au nord de la tranchée Tr01. F149 a livré un tesson de céramique attribué à l'Âge du Bronze (86-CER-46).

### 2.2.2.3. Un ensemble de structures excavées du Bronze final dans la tranchée Tr 08

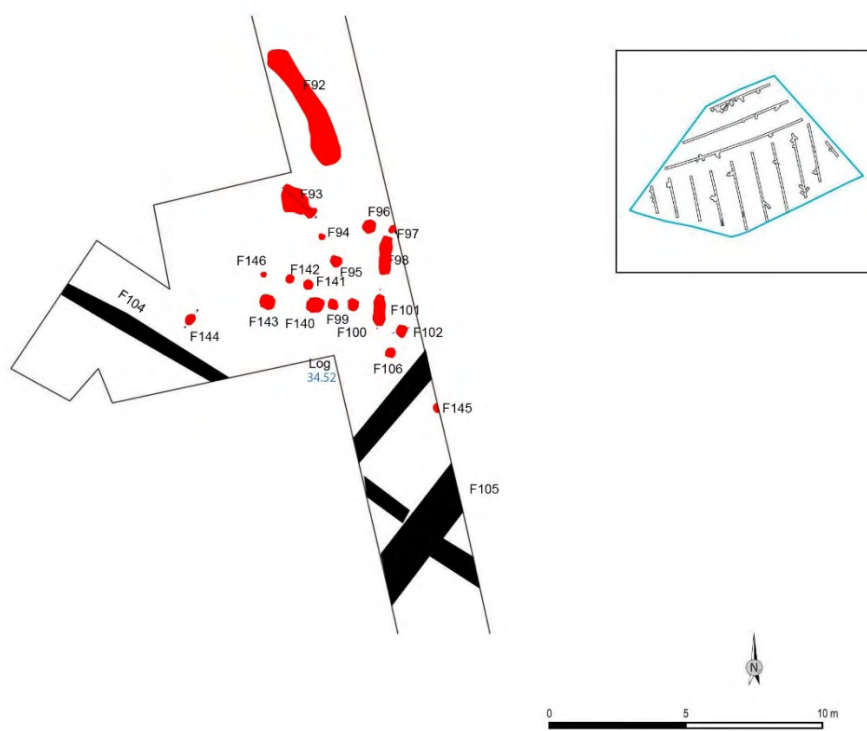


Figure 19 : Tranchée 8, localisation des structures excavées et vue aérienne de la zone

Le nord de la tranchée Tr 08 présente une forte concentration de structures en creux, situées à l'est du fossé F104 (fig.19). Parmi elles on dénombre quinze trous de poteaux et quatre fossés dont trois fossés oblongues (F92, F98 et F101). Les structures F93, F101, F102 et F144, ont été testé sur une moitié.

### F93

La fosse F93 présente un plan très irrégulier. La longueur maximale de cette structure est de 1,15 m pour une largeur maximale de 0,90 m. Elle est conservée sur une profondeur maximum de 20 cm.

Le comblement argilo-limoneux, de la moitié sud-ouest compte 18 tessons de céramique attribués à l'Âge du Bronze final.

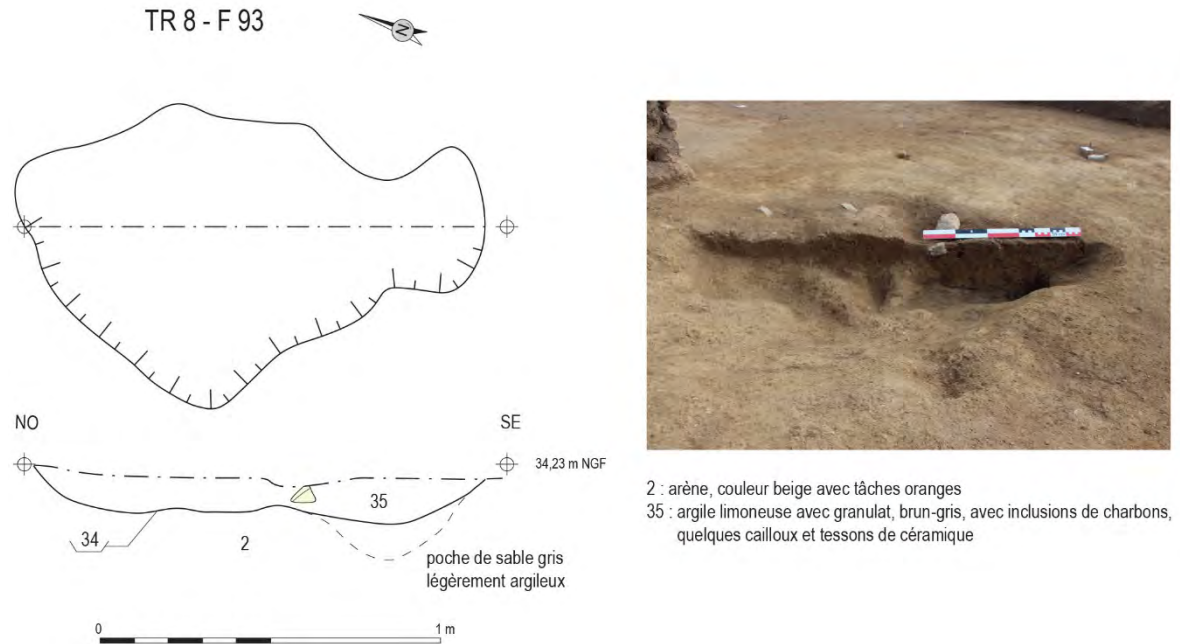


Figure 20 : F93, Tr08 coupe et plan, vue de la coupe nord-ouest / sud-est

### F101 :

#### TR 8 - F 101



- 16 : limon sableux jaune - brun clair, homogène et compact, avec inclusions de cailloux (occasionnel ; 6 à 12 cm)
- 32 : creusement
- 33 : limon sableux brun, homogène et meuble, avec inclusions de granules (moyen) et de cailloux (occasionnel ; < 2 cm)

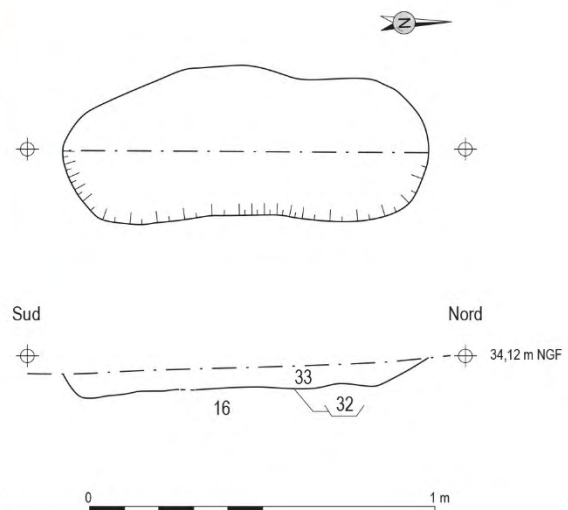


Figure 21 : F101, Tr08, vue de la coupe sud / nord, coupe et plan

La structure F101 de forme oblongue (1,05 m de long pour 0,45 m de large), n'est conservée que sur quelques centimètres d'épaisseur. Le comblement de limon sableux brun (US33) ne comprenait pas de mobilier archéologique. Cette petite structure excavée est morphologiquement assez similaire à F98 (fig.20) n'a pas été testée.

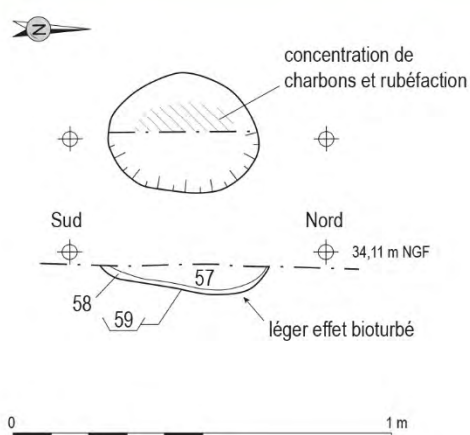
## Les trous de poteau F102 et F144

Parmi l'ensemble de structures interprétées comme des trous de poteaux, deux ont été fouillés sur une moitié.



Figure 22 : F102 vue de la coupe, vers le nord

TR 8 - F 144



- 57 : limon brun grisâtre, hétérogène, assez meuble, avec nombreux charbons et tâches nombreuses de rubéfaction  
 58 : limon mêlé d'arène granitique, rares charbons, sans rubéfaction

Figure 23 : F144, vue vers l'ouest et plan et coupe nord / sud.

Cet ensemble de trous de poteau, au nord de la tranchée Tr 08, n'est pas totalement circonscrit, mais se situe à l'intérieur du potentiel enclos délimité par les fossés F37 et F125.

Aucun plan de bâtiment n'est apparu de manière évidente lors du décapage. Les structures F101 et F98 pourrait cependant correspondre à des fonds de sablière fonctionnant avec plusieurs des trous de poteaux mis au jour dans la tranchée. L'hypothèse d'un bâtiment circulaire, du type de ceux mis au jour sur le site de Caudan « Lenn Sech » dans le Morbihan (Levan 2016), qui se développerait hors de la tranchée (vers l'est) est envisageable. On peut également citer, pour la période, les exemples de Lamballe « la Tourelle » (Blanchet 2010) ou de Plédéliac « Nord du Bourg » (Nicolas 2011) (côtes de d'Armor), dont les datations et dimensions peuvent coïncider, bien que dans le cas de Baden, la proposition de bâtiment de plan circulaire reste très hypothétique.

### 2.2.2.4. Un enclos, dans la tranchée Tr11

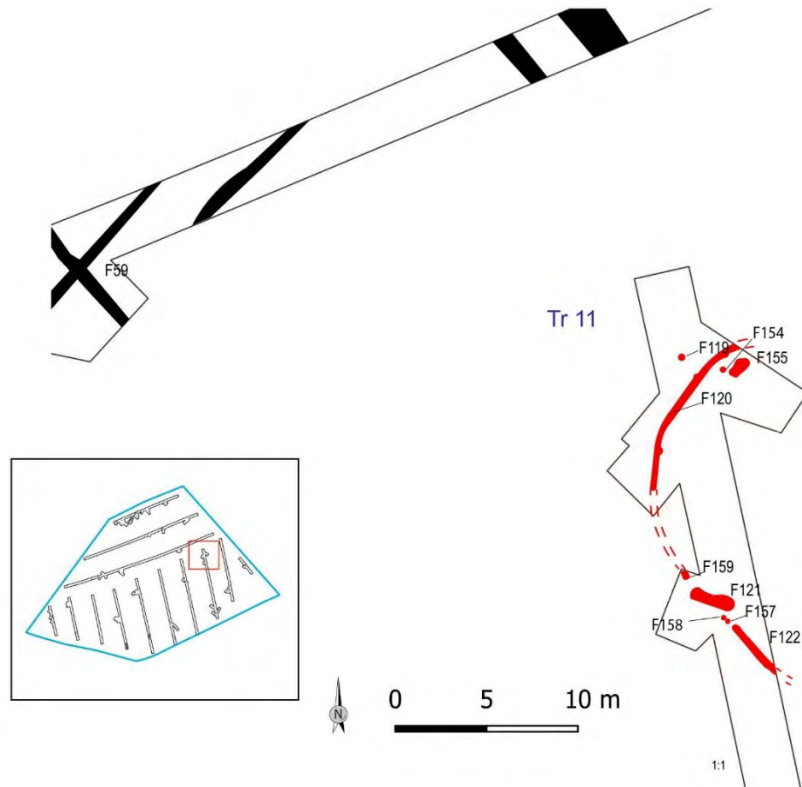


Figure 24 : Tranchée 11, localisation des structures et du fossé d'enclos en arc de cercle et vue aérienne de la zone

À la fin de l'opération, au nord de la tranchée Tr 11, la coupe mécanique prévue dans le fossé F120 a permis de mettre en évidence un fossé en arc de cercle ainsi que quelques structures en creux associées. La coupe du fossé a finalement été faite manuellement afin de préserver l'intégrité des structures voisines.

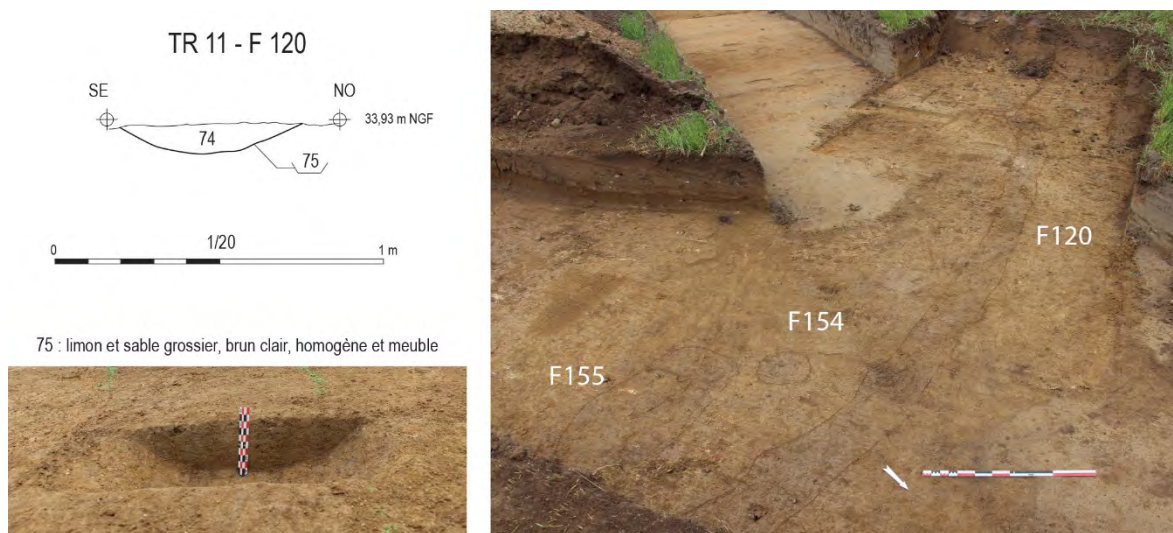


Figure 25 : Fossé F120 coupe sud-est / nord-est et vue vers le sud-ouest des structures F155, F154 et F120

**F 120** est une portion de fossé aciforme qui se situe au nord de la tranchée Tr 11. La portion observée enclose un espace de plus de 10 m de large. La coupe dans ce fossé montre un creusement aux parois évasées, avec un fond plat et un comblement très proche de l'encaissant, composé d'un mélange de limon et de sable grossier brun clair (US74).



Figure 26 : F159, vue vers le nord-ouest.

**F 159** a été mis au jour à la faveur du second décapage du secteur (fig.24). Le comblement est identique à celui de F120. Il s'agit probablement de la fin du fossé F120, qui s'interrompt dans sa partie sud-ouest. Le fossé numéroté **F122**, semble, quant à lui être la suite de ses deux portions de fossé, qui au-delà de cette interruption, se poursuivent vers l'est, en dehors de la tranchée.

La structure **F154**, située à l'intérieur de l'espace enclos par ce fossé, a également été testée. Il s'agit d'un trou de poteau de 36 cm de diamètre, conservé sur une dizaine de centimètres d'épaisseur. L'ensemble de ces vestiges apparaît à une altitude comprise entre 33,95 et 33,60 m NGF.

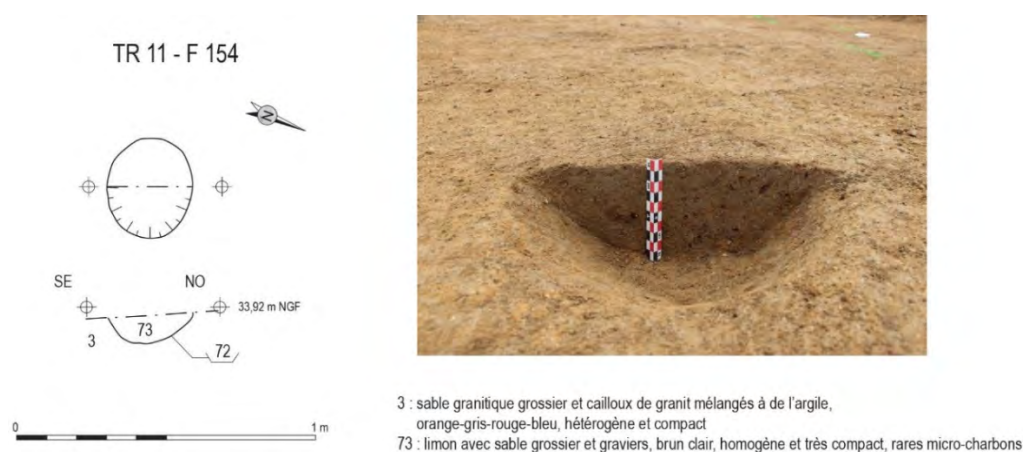


Figure 27 : F154, plan et coupe sud-est / nord-ouest



Aucun élément céramique ou organique ne permet de dater cet ensemble. Le choix de proposer une attribution de cet enclos à l'Âge du Bronze tient à la proximité de structures et mobilier possiblement contemporain dans la tranchée Tr 12, ainsi que dans le sud de la tranchée Tr 11, avec le fossé F125 et la fosse F126.

### 2.2.2.5. Les autres vestiges de l'Âge du Bronze

Dans la tranchée Tr 02,



Figure 28 : Vues des Faits F17 et F18, dans la tranchée Tr02

Dans la tranchée Tr 02, plusieurs anomalies testées ont été annulées. Les anomalies **F17** et **F18**, n'ont pas été annulées et sont interprétées comme des trous de poteau. F17 présentait dans son comblement deux fragments de céramique de très petite taille, rattachés au corpus de l'Âge du Bronze.

Dans la tranchée Tr03,

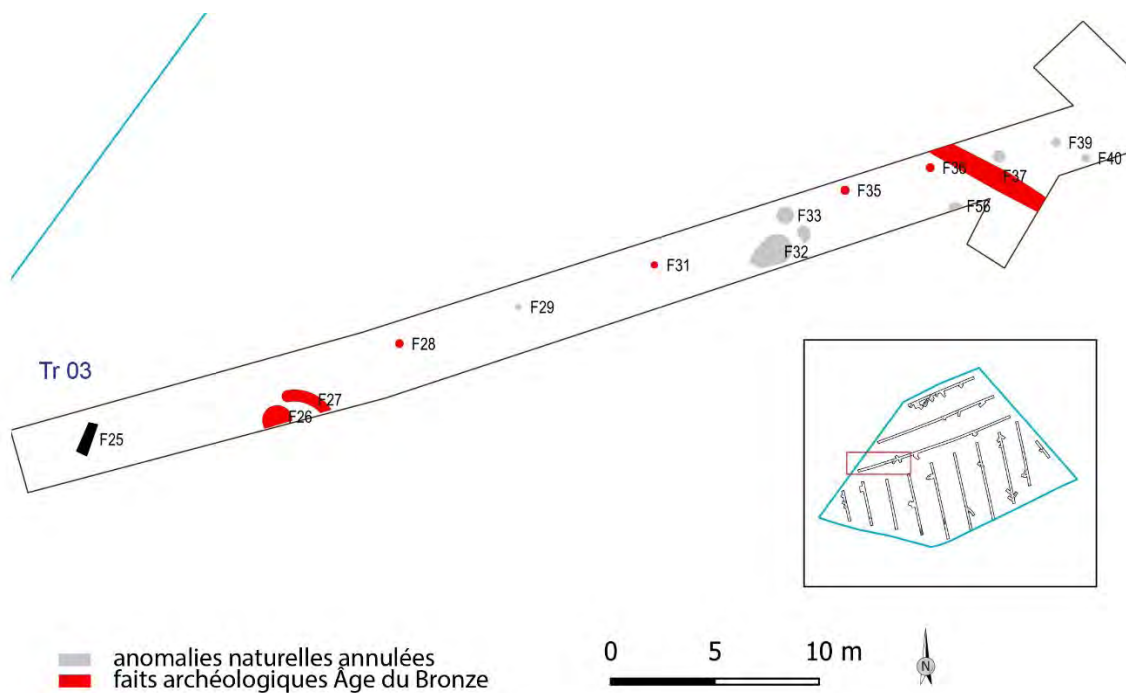


Figure 29 : localisation des vestiges attribués à l'âge du Bronze, dans la tranchée Tr 03

#### F26 et F27

La fosse F26 et la structure F27, apparaissent à une altitude de 33.60 m NGF, à l'ouest de la tranchée Tr 03. La structure **F27** s'apparente à une extrémité de fossé en arc de cercle ; elle n'a pas été testée. **F26** se trouve en partie hors de la tranchée, côté sud-est. Le contour et le profil sont irréguliers (fig.30). Elle présente deux niveaux de comblement distincts. Le comblement inférieur est composé d'un limon argileux gris, légèrement hydromorphe (US31). Le niveau supérieur constitué de limon argileux brun clair (US30) a livré un élément érodé de fond plat (030-CER-032 ; fig. 60, n° 8, p.59).

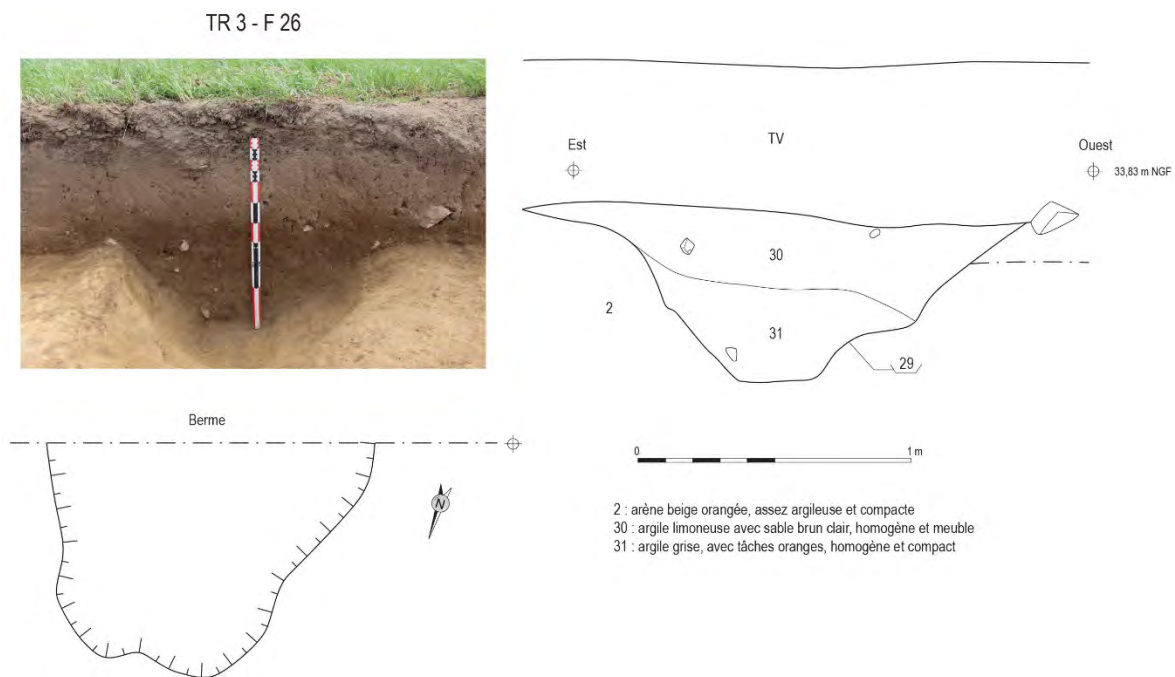


Figure 30 : F26, Tr 03 vue de la coupe et relevés en coupe (est-ouest) et en plan

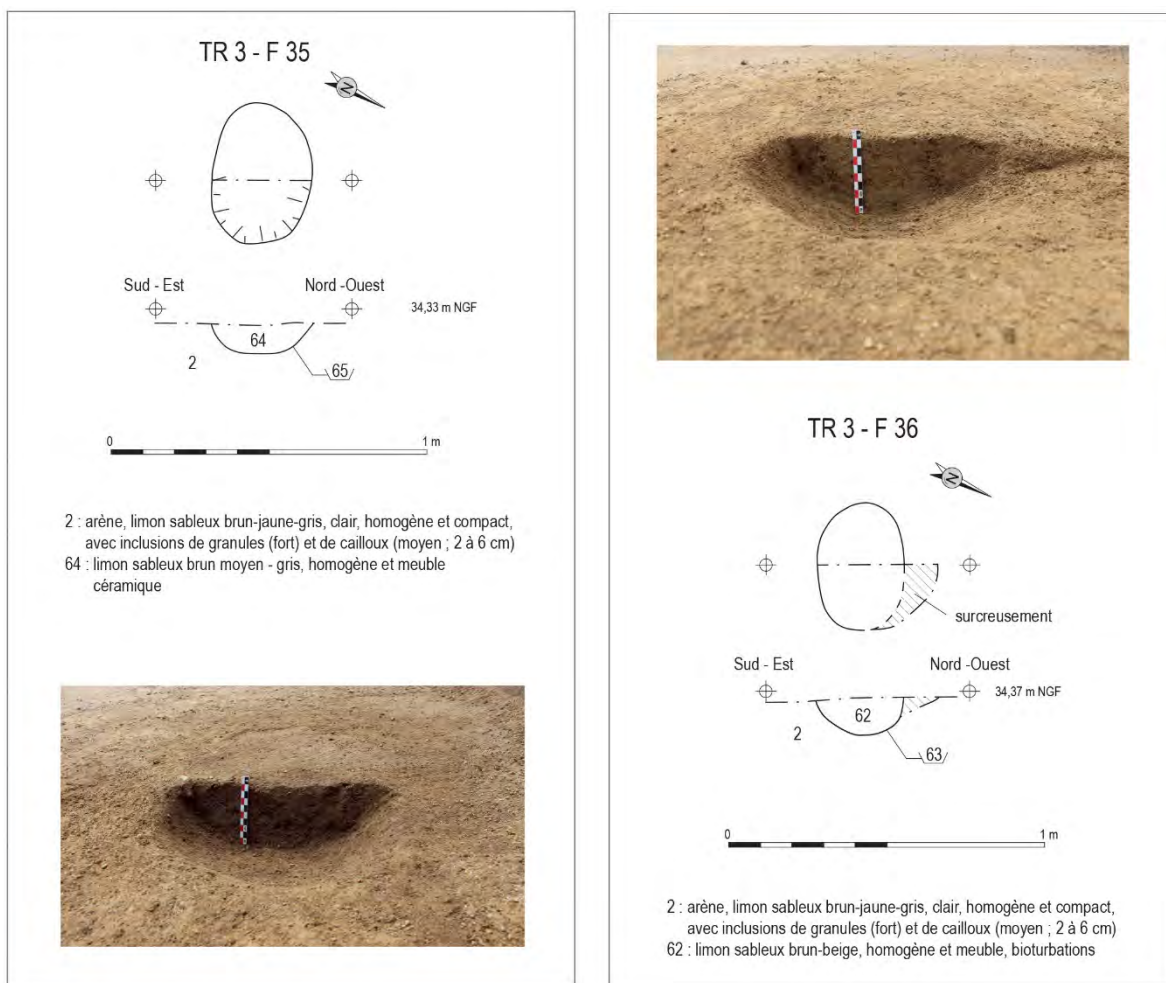


Figure 31 : Tranchée Tr 03, F35 et F36 relevés de coupes et plan et vues des coupes sud-est / nord-ouest

Situés à l'ouest du fossé F37, les structures F35 et F36 ont été testées manuellement sur une moitié. Il s'agit de deux trous de poteau. Le comblement de F35 comprenait un fragment de lèvre aplanie (064-CER-039) rattachée au corpus céramique de l'Âge du Bronze.

### 2.2.3. Les vestiges antiques

#### 2.2.3.1. Les structures de combustion du secteur ouest

##### F 25 (Jules Coulin)

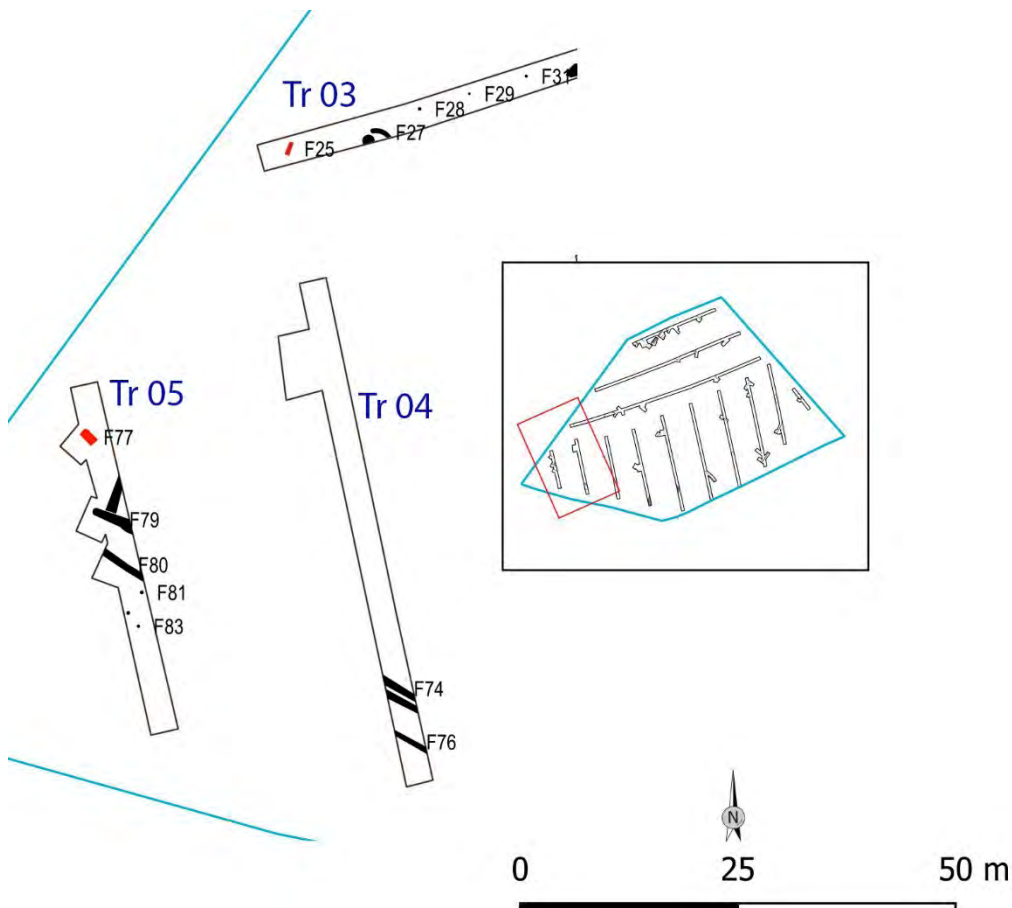


Figure 32 : Localisation des fosses F25 et F77

La structure F25 a été mise au jour à l'extrémité ouest de la tranchée Tr 03 (fig.32), 50 cm sous le niveau de sol actuel, à une altitude de 33,45 m NGF. Elle se présente sous la forme d'une fosse rectangulaire aux angles arrondis de 1,60 m par 0,60 m, orientée NE-SO. Le substrat accueillant le creusement est composé d'un limon sableux aux teintes jaunes, brunes et grises, mêlé à une arène granitique et quelques cailloux.

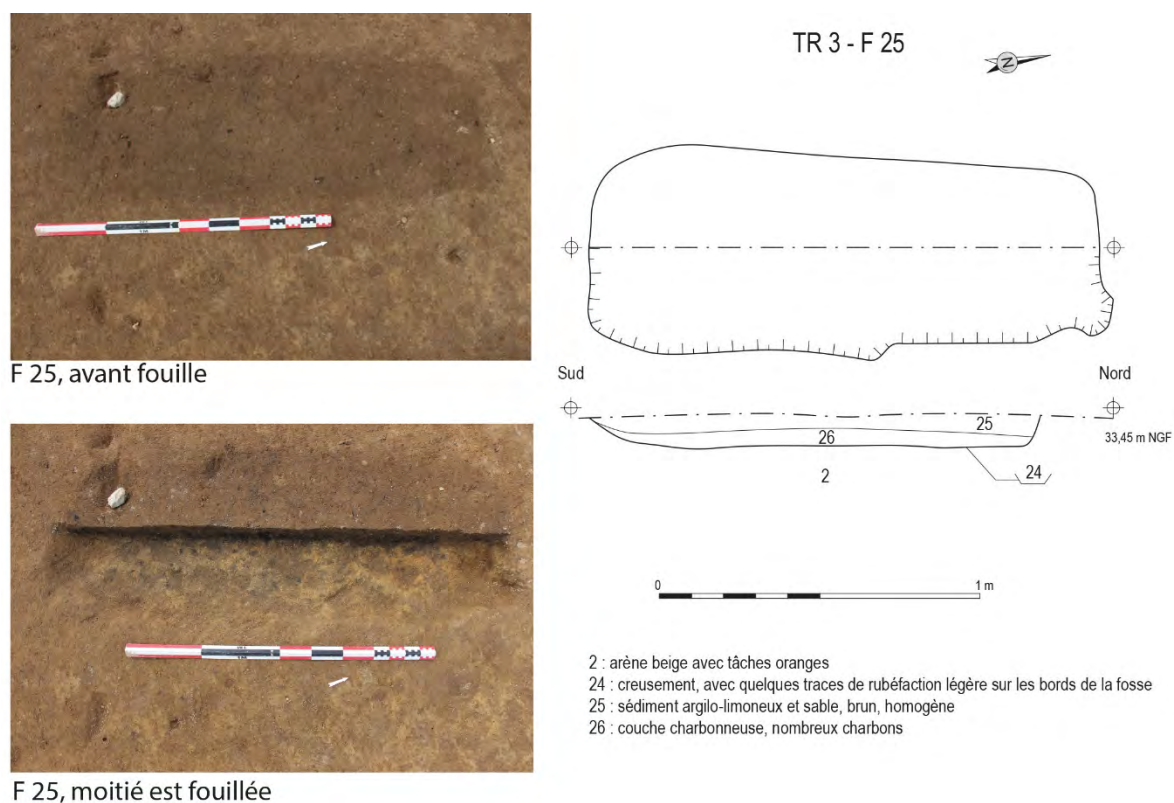


Figure 33 : Coupe et plan de la fosse F25

Après avoir été fouillée à moitié, F25 s'avère mesurer 10 cm de profondeur maximale et son profil se distingue par un fond plat et des parois légèrement évasées. On observe une légère rubéfaction de ces parois sur une bonne partie de la fosse. Le comblement supérieur de la fosse (US 25) est composé d'argile limoneuse sablonneuse, brun moyen, pour une texture meuble. Le comblement inférieur, se compose lui presque exclusivement de charbons de section diverses mêlés à de l'argile. La fosse ne contenait aucun mobilier.

Un charbon extrait de la fosse a été envoyé pour datation radiocarbone au laboratoire Beta-Analytic. Le résultat obtenu place l'échantillon à 95.4% de probabilité dans un intervalle compris entre 50 avant et 120 après notre ère (annexe 1).

## F 77

Cette structure de combustion se situe au nord de la tranchée 4 (fig.32) dans la pente vers l'ouest de la parcelle. Elle apparaît à une altitude de 32,42 m NGF. Elle n'a pas été testée mais a fait l'objet d'un nettoyage de surface fin qui a permis de mettre en évidence sa forme mixte. La partie de la structure est quadrangulaire tandis que le reste est oblongue (fig.34). La structure mesure 2,08 m de long pour une largeur d'un mètre environ. Le comblement supérieur de limon argileux beige est souligné par un liseré noirci, rubéfié et induré marquant la chauffe des parois de la structure. Celle-ci comme la fosse F25 est interprétée comme une structure de combustion, sans plus de précision sur sa destination exacte.

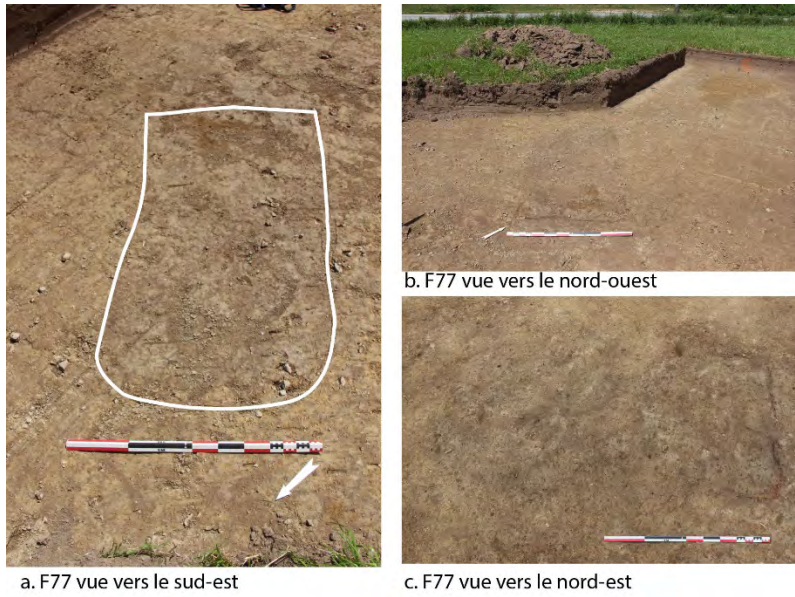


Figure 34 : Vues de la fosse F77, tranchée05

La proposition de datation tient à sa localisation à proximité de la structure F25 et à sa nature de structure de combustion, mais reste néanmoins hypothétique.

### 2.2.3.2. Les structures de combustion du secteur sud-est

#### F 135

La Fosse F 135, se situe dans la tranchée Tr 13, au sud-ouest de l'emprise du diagnostic, au nord du fossé F136 (fig.35). Le comblement en surface est assez similaire à l'encaissant, hormis la présence de rares charbons. L'identification de la structure a été facilitée par la présence d'une couronne de terre rubéfiée.

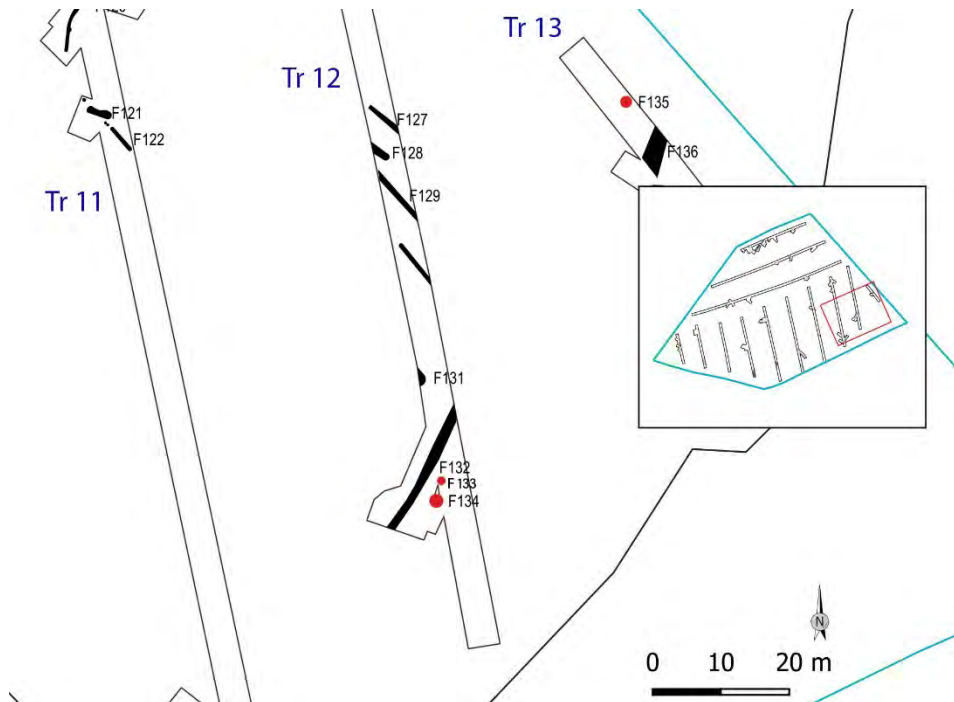


Figure 35 : Localisation des structures de combustion F133, F134 et F135

La fosse mesure environ 1,10 m de diamètre. Elle apparaît à une altitude de 33,01 m NGF, soit environ 55 cm sous le niveau de sol actuel, dans un niveau de limon argileux beige-gris, comprenant des dreikanTERS.



F 135, vue zénithale



F135, la moitié sud en cours de fouille

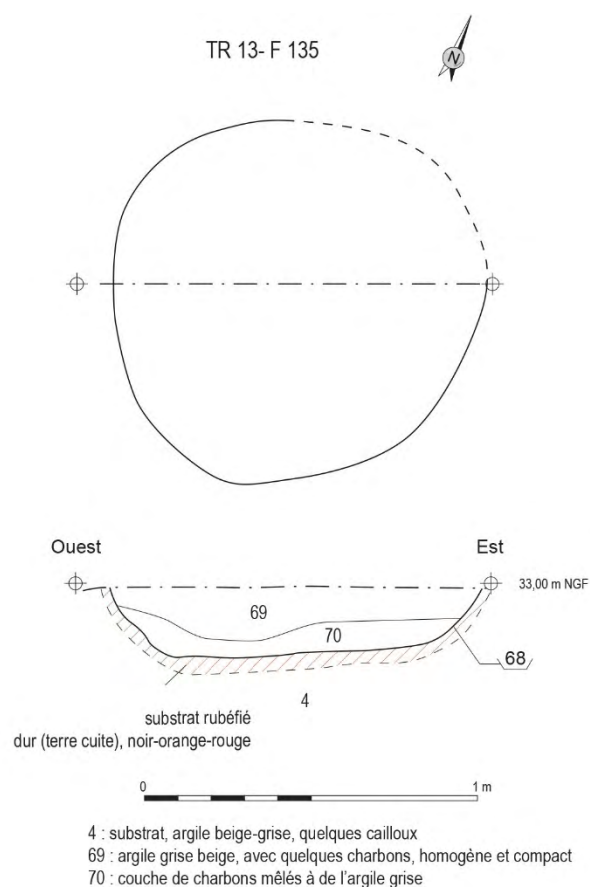


Figure 36 : F135, Tranchée Tr13, vue avant fouille et de l'arrêt sur le niveau de charbon ; relevés en coupe et en plan

La moitié sud de la fosse a été fouillée. La coupe de la structure présente un profil au fond plat et parois évasées. Le niveau supérieur (US 69) est constitué d'un limon argileux gris-beige comprenant quelques charbons. Le comblement inférieur (US 70) est principalement composé de charbons de bois, pris dans une matrice argileuse (fig.36).

Cette structure n'a pas livré de mobilier céramique. Elle a fait l'objet d'une datation par le radiocarbone par le laboratoire Beta-Analytic, après tamisage de l'ensemble du sédiment et analyse des taxons et sélection par Nancy Marcoux (§ 3.3. rapport anthracologique, p.73).

Le charbon sélectionné est un charbon d'aubier d'une petite branche de chêne ; essence qui représente la quasi-totalité des charbons du prélèvement. Néanmoins, l'âge radiocarbone calibré en années calendaires donne un intervalle de compris entre 250 et 410 de notre ère, une fourchette large, autour de la période du Bas-Empire (cf. Annexes 1).

### F133 et F134

Deux structures non testées (F133 et F134), au sud de la tranchée Tr 12 sont morphologiquement similaires à F135. Elles présentent en surface une couronne rubéfiée et un comblement supérieur semblable. La fosse F 133 « entamée » par le godet de la pelle mécanique, présente cependant une épaisseur conservée moins importante (de 4 à 5 cm) (fig.37).



Figure 37 : F133 La partie nord-est a été entamée lors de la coupe du fossé F132

La fosse F134, n'a pas été fouillée. Comme pour F133 et F135, les bords sont rubéfiés et indurés. Son diamètre, de 1,35 m, est sensiblement plus grand que les deux fosses précédentes (1,07 à 1,10 m pour F135 et F133) (fig.38). Elle a toutefois été raccordée à ce petit ensemble de structures de combustion attribuées à la période antique.



Figure 38 : F134, fosse aux parois rubéfiées similaire à F133 et F135

#### 2.2.4. Un fossé du haut Moyen-Âge

Le fossé F153 a été observé dans la tranchée Tr 01, au nord de l'emprise. Cette partie de la tranchée a fait l'objet de deux décapages. Le premier décapage s'est arrêté sur un niveau livrant assez haut des isolats (céramique, restes fauniques) et certains faits (empierrement F05, ainsi qu'un chemin moderne F19). Elle a été redécapée après que les vestiges superficiels ont été traités. Le second décapage a permis de mettre en évidence les deux sections d'un même fossé. Mais la recherche de l'angle de l'enclos a mis au jour un talus parementé (F151), dont l'intégrité a été préservée. La morphologie de l'angle du fossé reste donc inconnue ; la proposition de forme curviligne n'est donc qu'hypothétique (fig. 39).

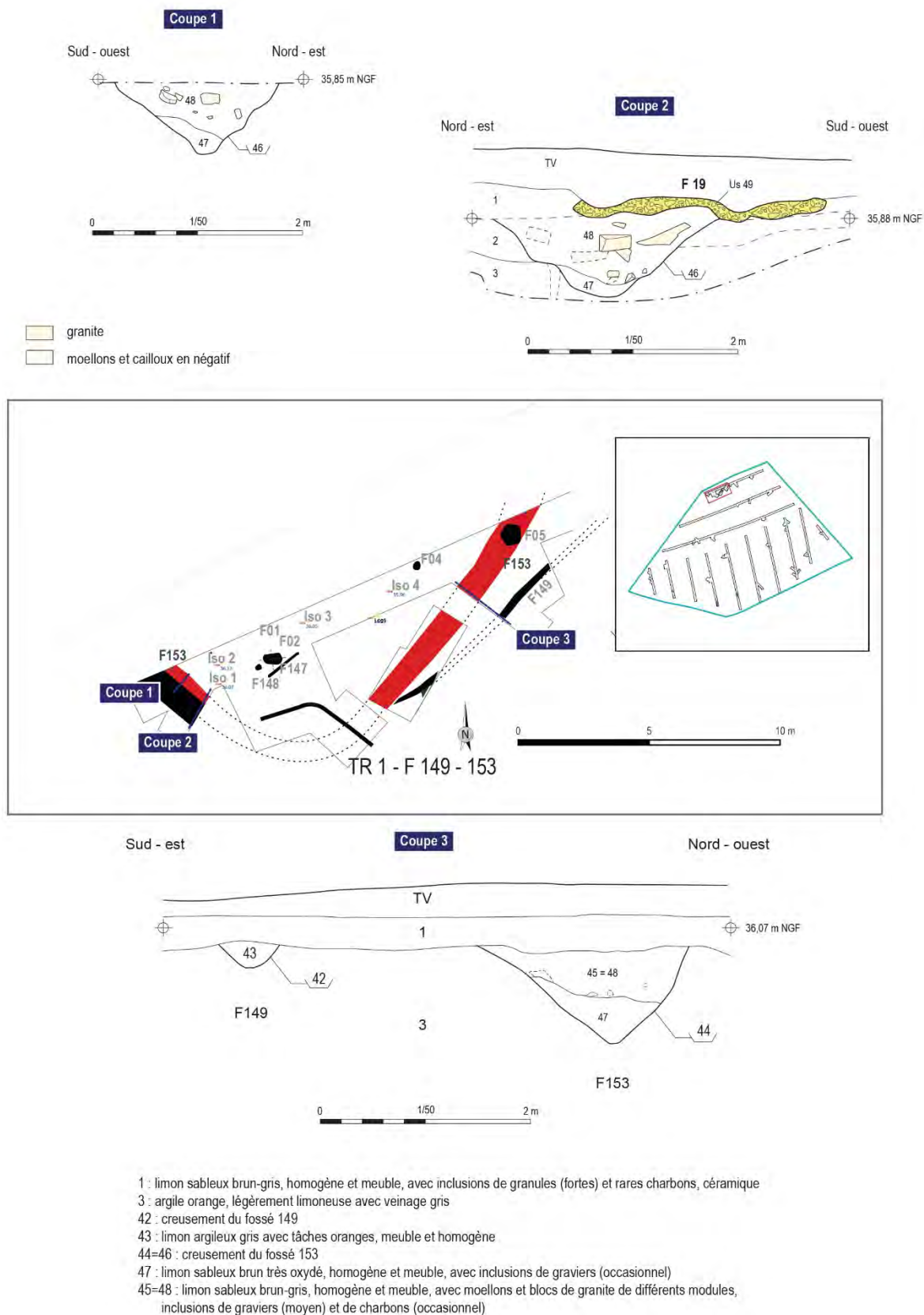


Figure 39 : Localisation du Fossé F153, de l'emplacement des coupes mécaniques et relevés des trois coupes.

Le fossé est installé sur le haut du versant, à l'angle nord-ouest de la parcelle. Il s'agit d'un fossé d'enclos qui se développe au nord de l'emprise diagnostiquée.



Le fossé a été coupé en deux endroits. Un sondage dans sa portion ouest (coupe 1 et coupe 2) et un second dans la portion nord-est (coupe 3).



Figure 40 : F153, coupe mécanique n°2 en cours

Le fossé F153 mesure environ 2 m de large, pour 0,95 m de profondeur. Deux portions ont été observées ; la première d'axe nord-est / sud-ouest a pu être observée sur 5 à 10 m, la seconde d'axe nord-ouest / sud-est a été observée sous le chemin F19 sur un peu plus de 3 m de long (fig.41).



Figure 41 : Vues des trois coupes pratiquées dans le fossé F153

Les trois coupes montrent un profil et des comblements assez similaires. Le profil est en « V », régulier. Le profil sensiblement plus évasé et arrondi de la coupe 2 (fig.42) tient au fait qu'il apparaît à cet endroit légèrement de biais.

Le comblement supérieur du fossé apparaît sous l'US 01 à une soixantaine de centimètres sous le sol actuel (36,16 m NGF). Le creusement atteint une hauteur comprise entre 0,80 et 0,95 m (fig.39). Le comblement supérieur (US 45 et 48) est constitué d'un limon sableux brun-gris, homogène et meuble, avec blocs de granite de différents modules, quelques graviers et de rares charbons. Le comblement inférieur est constitué d'un limon sableux brun très oxydé, homogène et meuble, avec inclusions de graviers (US 47).

On observe un léger pendage des blocs du sud-ouest vers le nord-est pour les coupes 1 et 2 et du sud-est vers le nord-ouest pour la coupe 3 (fig 42), soit depuis l'extérieur de l'espace enclos vers l'intérieur. Ce pendage des unités stratigraphiques, observé dans chacune des coupes, permet d'émettre l'hypothèse d'un talus à l'extérieur de l'enclos.

La céramique provenant de la surface ou du comblement du fossé compte 20 petits tessons dont dix érodés et huit très érodés (§ 3.1. étude du mobilier céramique) et un très petit fragment. Les éléments identifiables sont

attribués au Bronze ancien et au Bronze final. Deux datations par le radiocarbone ont été effectuées sur des charbons provenant du fossé. Le premier échantillon (Baden 2020-357\_47PRE03) a été prélevé tout au fond du fossé (dans la coupe opposée à la coupe 3, non relevée), le second échantillon (Baden 2020-357\_45PRE02), envoyé *a posteriori*, est une graine carbonisée prélevée à mi-hauteur dans le comblement du fossé, au niveau de la coupe 3, dans l'US 45. La première date calibrée qui donne un intervalle compris entre 6933 et 6733 BP n'a pas été retenue. La seconde comprise entre 702 et 892 de notre ère donne une utilisation du fossé durant le Haut Moyen-Âge. Il pourrait alors être à rapprocher d'enclos curvilignes, irréguliers comme celui fouillé sur le site de Beauregard à Moréac (Peter 2019, Crowch 2016), l'enclos de la Bourdonnaye à Lanouée (56) (Brissoto 2009) ou encore pour le département de l'Ille et Vilaine l'enclos altomédiéval de la Touche Belle à La Guerche de Bretagne (Rio 2016)

Le Fossé F153, de Baden recèle un peu de mobilier protohistorique, issu du niveau de « nappage » de céramique dans lequel est installé l'enclos (US01).

Le fait F05 correspond à un empièchement repéré lors du premier décapage. Il mesure un peu plus de 2 m de diamètre et apparaît à une altitude de 36,05 m NGF. La proximité du dolmen de Craffel et l'environnement de la commune incitait à une vigilance particulière sur l'éventualité d'une structure à pierres chauffées ou tombe pré ou protohistorique (Sicard 2015, Toron 2017). Elle a fait l'objet d'un nettoyage en plan préalablement à un test sur un quart de sa surface (fig.40). Celui-ci a permis de mettre en évidence la bordure nord du fossé F153 sous-jacent. L'empièchement semble plus vraisemblablement correspondre à un dernier état de comblement du fossé ou une étape ultérieure (épierrage, etc.).



Figure 42 : Vues des différentes étapes de nettoyage et de fouille de F05

### 2.2.5. Le réseau viaire et parcellaire récent

Avant les années 70, l'emprise actuelle du diagnostic comptait de nombreuses parcelles laniérées comprenant deux directions principales, l'une du nord-est au sud-ouest et l'autre du nord-ouest au sud-est. Ce réseau parcellaire, témoin du paysage bocager alors en place, a largement été perçu lors du diagnostic à travers la

mise au jour de trois portions de chemin et vingt et un tronçons de fossés (appartenant à une douzaine de fossés) présents sur l'ensemble de l'emprise du diagnostic (fig.42).  
Les tronçons ont été numérotés par tranchées lors de l'intervention de terrain, mais pour faciliter la lecture seul un numéro (le premier donné sur le terrain) a été gardé en post fouille.

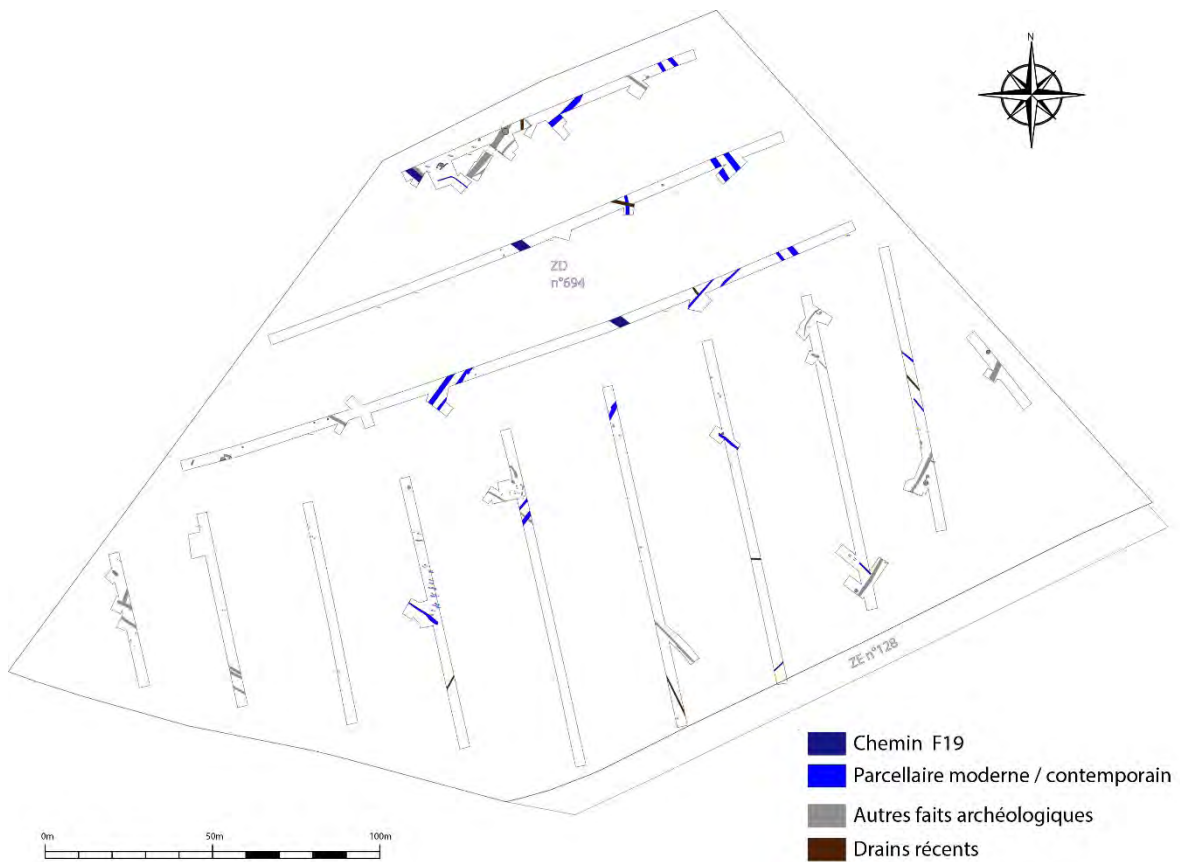


Figure 43 : Plan général du site, le réseau viaire et parcellaire récent apparaît en bleu  
2.2.5.1. Le chemin F19

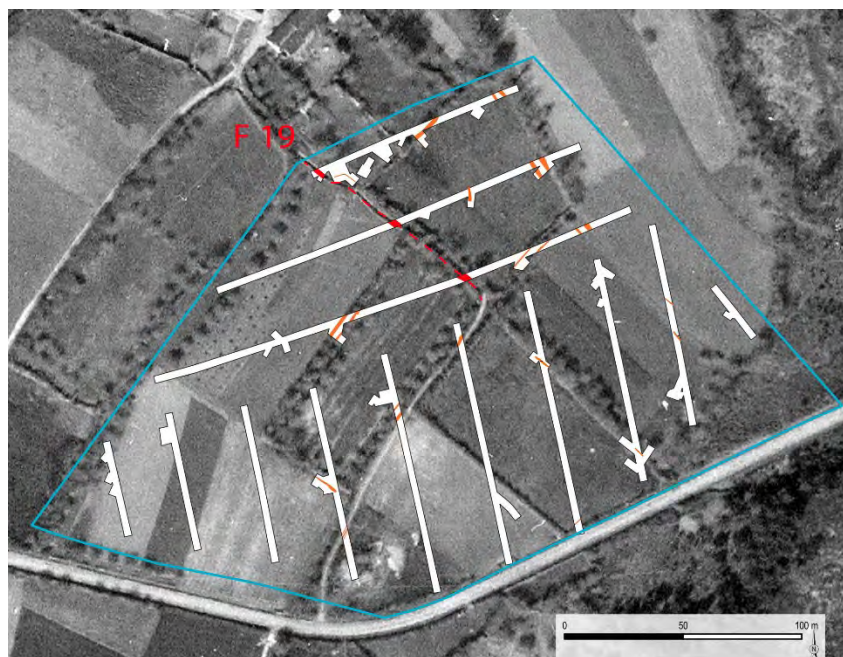


Figure 44 : Localisation du chemin F19 sur fond de lever cadastral de 1852



F19, Tranchée Tr 02, vue vers le sud-est,



Tr 01, coupe 2 : le chemin F19 et le fossé F 153.

Le chemin F19 été observé dans les tranchées Tr 01, Tr 02 et Tr 03. Un unique numéro lui a été attribué

Il apparait sous le niveau de terre végétale, à une altitude de 36 m NGF dans la tranchée Tr 01 et 35.32 m NGF dans la tranchée Tr 03.

Le chemin F19, de direction nord-ouest / sud-est est visible sur le cadastre napoléonien de 1852. Il est encore visible sur les photos aériennes anciennes, avant le remembrement des années soixante-dix (fig.44).

La chaussée empierrée mesure un peu plus de deux mètres cinquante de large. Dans la coupe 2, de la tranchée Tr 01 elle est visible sur trentaine de centimètres d'épaisseur (fig.45).

Figure 45 : Vue du chemin F19 empierré, en plan dans la tranchée Tr02 et en coupe dans la tranchée TR02

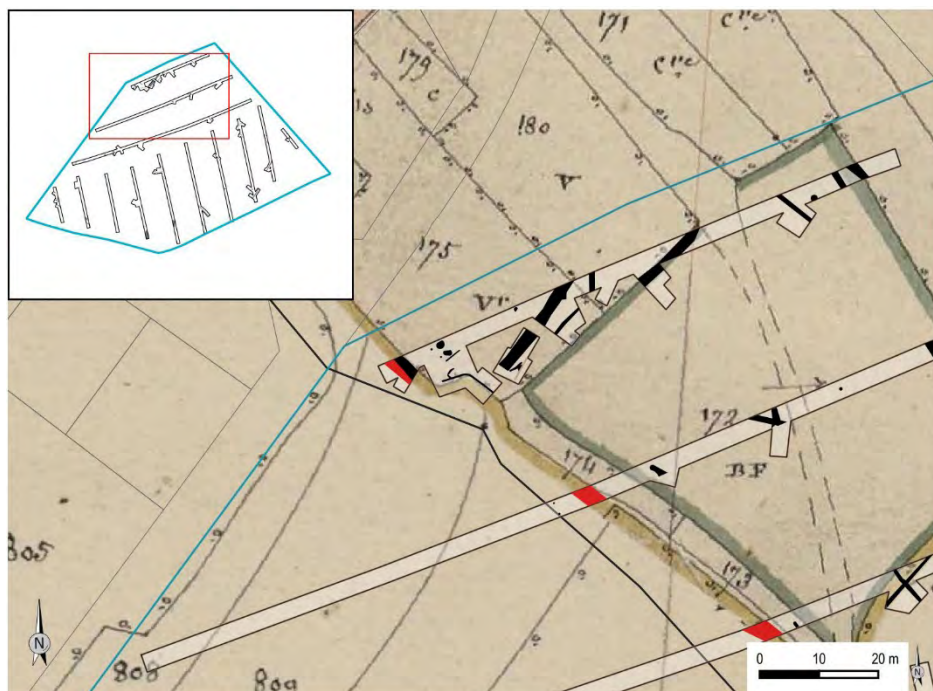


Figure 46 : Superposition de levers du diagnostic et du plan cadastral de 1852, avec le chemin F19 en rouge

### 2.2.5.2. Les fossés bordiers F13 et F14

A l'est de l'emprise, les tronçons de fossés F13 et F14 repérés dans la tranchée Tr 01, se poursuivent dans les tranchées Tr 02 et Tr 03. Ils sont également encore visibles sur le cliché des années 60 (fig.46).

Ces deux fossés parallèles distant de 2,30 à 2,80 m mètres sont les fossés bordiers d'un chemin orienté nord-nord-ouest / sud-sud-est à l'est de l'emprise. F13 et F14 mesurent respectivement 1,15 m et 1,75 m de large.

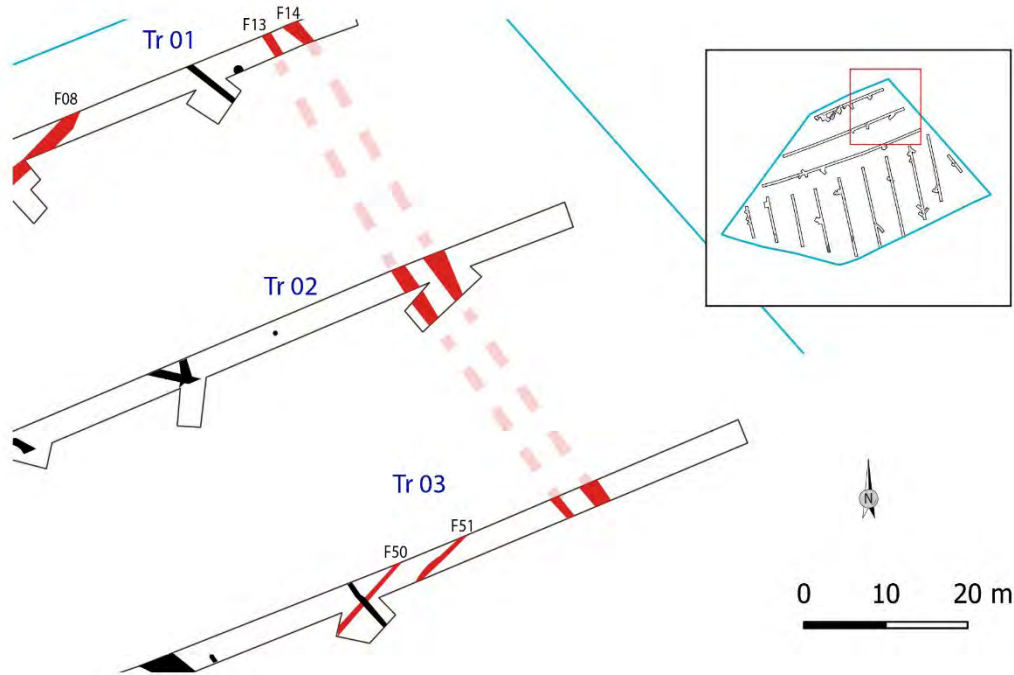


Figure 47 : Localisation des faits F08 F13, F14, F50 et F51

F13 et F14 présentent un comblement supérieur brun clair, constitué d'un limon argileux avec nombreux cailloux de granite. Le comblement de F14, comprend un liseré de bloc en surface, qui semble indiquer la présence, à l'est d'un talus parementé (fig.47).



Figure 48 : Vues vers l'est des fossés F13 et F14. Le fossé F14, est bordé de blocs côté est.

### 2.2.5.3. Les fossés parceliaires apparaissant sur le cadastre de 1852

Les fossés F50 et F51 sont parallèles. D'orientation sud-ouest / nord-est, ils ont été repérés et coupés mécaniquement dans la tranchée Tr 03 (fig.48). Ils apparaissent à une altitude de 35 m NGF dans l'us 02 et entament légèrement l'US 03.

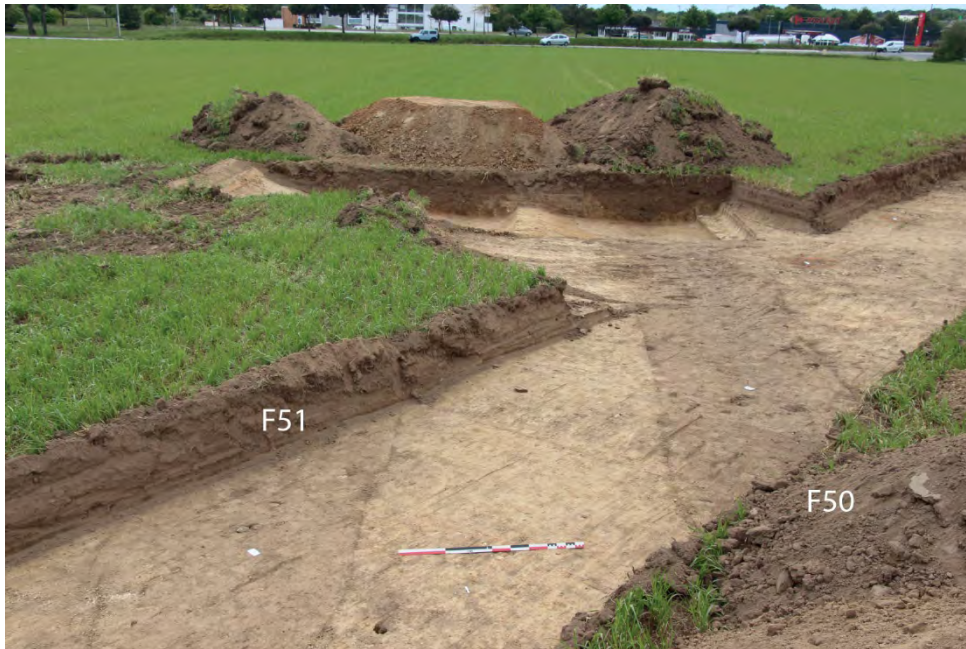


Figure 49 : Les Fossés F50 et F51, vue vers le sud-ouest

**F50** mesure 0,90 à 1,30 m de large pour une profondeur de 46 cm. Il présente un profil en cuvette. Le comblement unique (US 06) est similaire au comblement de F 51 (US 08). Il est constitué d'un limon brun clair, homogène, comprenant quelques graviers et de petits blocs de granite et de quartz. Il comprenait des fragments d'ardoise et de céramique glaçurée orange : fragments de bol quimpérois du 19<sup>ème</sup> siècle (identification Sébastien Daré).

**F51** mesure 1,40 m de large a également un creusement au profil en cuvette, mais la percolation importante rend les contours plus difficilement lisibles. La profondeur observée dans la coupe est de 40 centimètres. Le comblement comprend également quelques fragments d'ardoise.

Les autres fossés parcellaires récents ont été numérotés et photographiés lors du diagnostic mais n'ont pas fait l'objet d'un développement détaillé dans ce rapport, leurs dimensions sont reportées dans le tableau d'inventaires des structures (partie 3).

#### *2.2.5.4. Le muret de talus F151 (C. Grosjean)*

Le muret F 151 a été mis au jour lors de l'ouverture d'une extension au sud-ouest de la tranchée 1. Il est apparu à 30 cm sous le niveau de sol actuel, directement sous la terre végétale. Orienté sud-ouest – nord-est, il s'étend sur 3,80 m avant de former une courbe et de filer vers le sud-est. Cette partie a été suivie à la pelle mécanique sur 5,40 m de longueur.

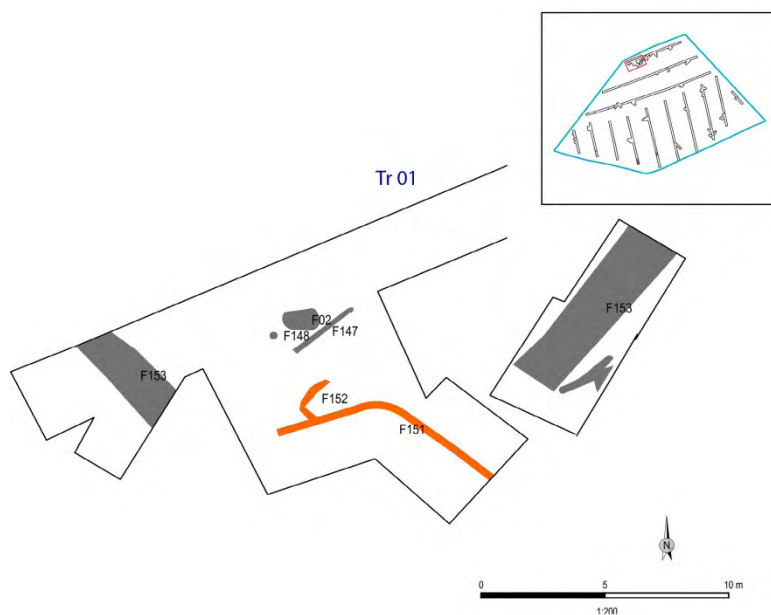


Figure 50 : Vue générale F151 et F152 vue vers l'est



Figure 51 : Vue de détail de l'angle de F151, vue vers le sud est

Mesurant 30 à 40 cm de largeur maximum, le F 151 est construit à l'aide de moellons de granite de différents modules (5 x 8 cm, 30 x 36 cm, 20 x 64 cm), non taillés et disposés sans liant. Ils forment un parement sommaire côté sud. Côté nord, les moellons sont bourrés sans organisation particulière, si ce n'est au niveau de la courbure du mur. Celle-ci est constituée de moellons disposés en oblique, contre lesquels s'appuie une grande pierre plate de parement (fig.51).

Afin de compléter les observations effectuées sur l'arase de la maçonnerie, un petit sondage a été effectué manuellement contre le parement sud. Ce sondage a été ouvert sur 1m de longueur vers le sud et 50 cm de largeur. Il a permis d'observer le mur F 151 sur 26 cm de hauteur, révélant 4 assises de construction irrégulières (fig.52).





Figure 52 : Vue du sondage au sud de F151



Figure 53 : Détail du sondage au sud de F151

Différentes unités stratigraphiques ont par ailleurs été mises en évidence, dont l'US 39 qui s'étendait le long du mur. Composée de limon brun, homogène et meuble, avec des inclusions de cailloux (moyennes ; 6 à 12 cm), elle présentait des traces charbonneuses en surface avec des poches de limon sableux jaune. Cette couche a livré du mobilier, notamment un fragment de brique, un goulot en verre, ainsi qu'une cuillère en alliage ferreux (fig.53), permettant de dater cette couche de l'époque contemporaine.

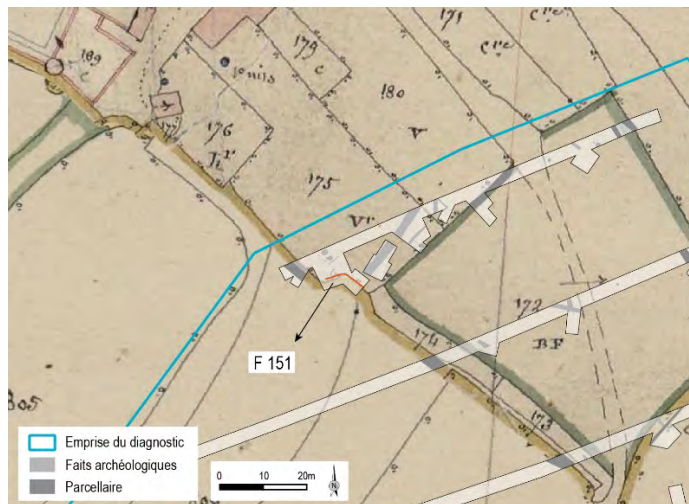


Figure 54 : Localisation de F151 sur le cadastre napoléonien de 1852

Au sud du sondage, un niveau (US 76) constitué de cailloutis de 5 à 10 cm et de moellons pris dans du limon brun a été distingué. Sa morphologie correspond à celle du chemin F 19, enregistré à l'extrémité de la tranchée et que l'on retrouve dans les tranchées 2 et 3.

La technique de construction du mur 151, ainsi que le mobilier contemporain associé, laissent penser qu'il s'agit d'un mur soutenant un talus, associé à un fossé bordant le chemin. L'US 39 correspondrait alors au comblement du fossé bordier. Le tracé de la maçonnerie se retrouve d'ailleurs sur le cadastre napoléonien de 1852, où il se superpose à une limite parcellaire.

## 2.2.6. Les vestiges non datés

## Les trous de poteau des tranchées Tr 09 et Tr 10

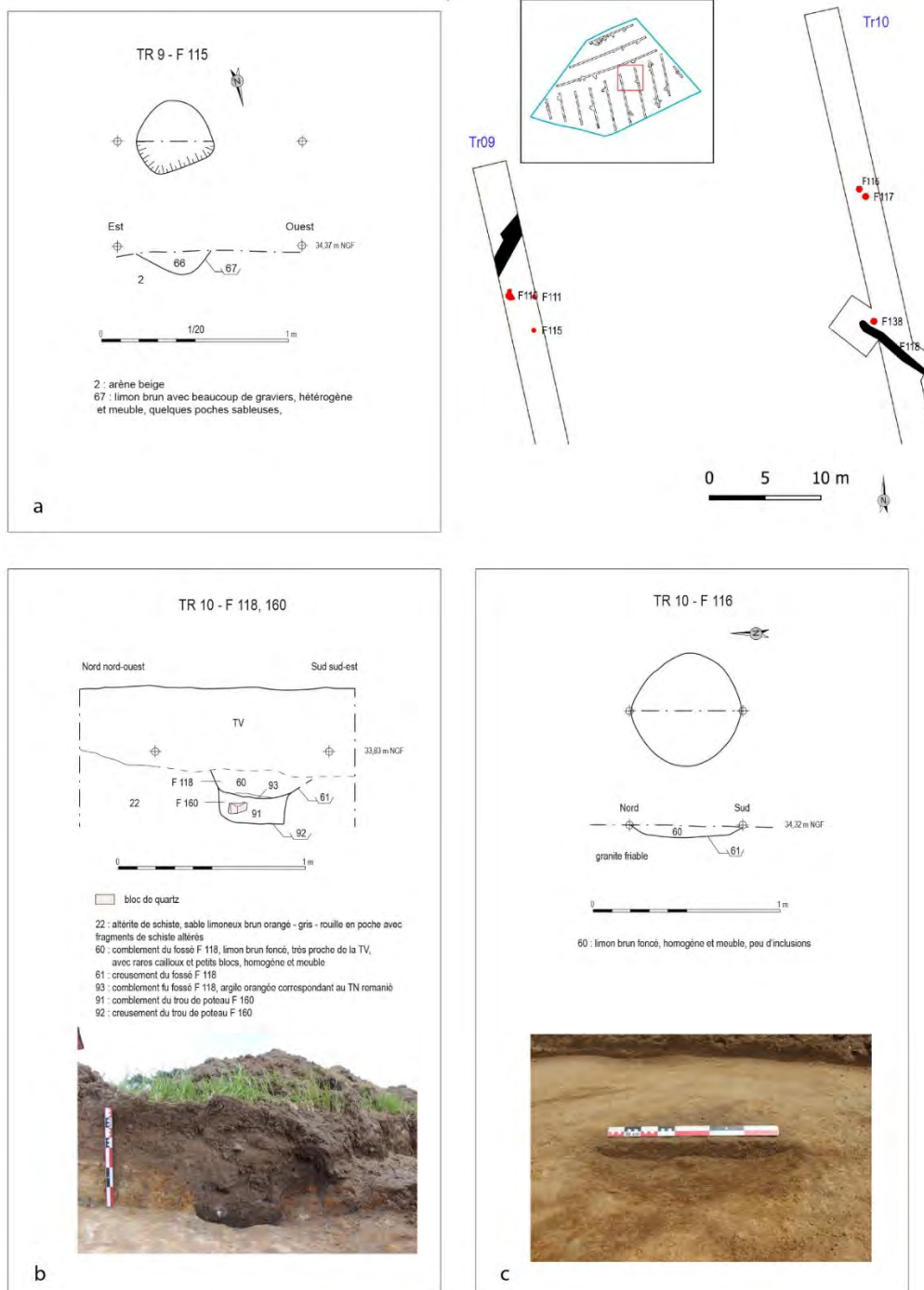


Figure 55 : Trou de poteau F115, tranchée:Tr 09 plan et coupe et trous de poteau F160 et F116, Tranchée Tr 10

Plusieurs trous de poteau ont été mis en évidence au nord des tranchées Tr 09 et Tr 10. Dans la tranchée Tr 10, le fait F160 apparaît sous le creusement du fossé parcellaire F118. Il est conservé sur une épaisseur de treize cm et présente un comblement limoneux brun comprenant un petit bloc de quartz (US 91). La structure F116, n'est quant à elle conservée que sur quelques centimètres d'épaisseur (fig.55). Ces structures n'ont pas livré de mobilier datant. Vu leur environnement proche on peut néanmoins supposer qu'elles appartiennent à l'ensemble de structures attribuables à l'Âge du Bronze.

### 2.2.6.1. La structure empierrée F152 (C. Grosjean)

Juste au nord du F151, une structure empierrée, F152, a également été mise au jour.



Figure 56 : F152, vue générale vers l'ouest et vue rapprochée vers le nord-ouest

Bien qu'altéré, cet ensemble paraît former un angle, conservé sur 70 cm du nord-ouest au sud-est et 1,55 m du sud-ouest au nord-est. Cette maçonnerie se caractérise par des moellons et blocs de granite alignés, de différents modules (10 x 12 cm, 28 x 30 cm, 32 x 36 cm), pour la plupart bruts. Deux blocs présentent des traces de taille, avec chacun une face taillée constituant un parement côté sud.

Dans l'espace interne de la structure, a été distinguée l'Us 38, composée de limon sableux brun, avec des moellons de granite, des poches charbonneuses et des poches de limon sableux jaunâtre, dont la limite se poursuit dans l'alignement des blocs nord-est – sud-ouest. Cette couche, notamment par la disposition et le pendage des moellons observés, semble correspondre au niveau d'abandon du F152.

Les poches de limon sableux jaune et les poches charbonneuses observées à la fois dans l'Us 38 et en surface de l'Us 39, au sud du F151, pourrait correspondre à une même phase d'abandon. Néanmoins la relation chronologique du F 152 avec le F 151 reste incertaine, bien que sa situation et son orientation par rapport à ce dernier pourraient suggérer qu'il est antérieur. Contrairement au mur F151, la maçonnerie F152 n'apparaît pas sur le cadastre napoléonien et sa nature et sa fonction restent indéterminées.

### 2.2.6.2. Les structures des tranchées Tr 04 et Tr 05

Un réseau de fossés repéré dans les tranchées Tr 04 et Tr 05 à l'est de l'emprise n'a pas livré de mobilier datant et reste sans attribution chronologique. Il s'agit des tronçons de fossés F74, F75, F76, F78, F79 et F80 (fig. 57).

Les tronçons F80 et F76 appartiennent à un même fossé orienté nord-ouest / sud-est. Il mesure environ 0,75 m de large et présente en surface un comblement de limon argileux brun clair, assez homogène.

Les fossés F74 et F75, observés dans la tranchée Tr 05, présentent un comblement similaire et mesurent respectivement 0,95 m et 0,75 m de large. Orientés nord-ouest / sud-est, ils se rejoignent dans la tranchée Tr 04 en F79, en une extrémité de fossé légèrement arrondie.

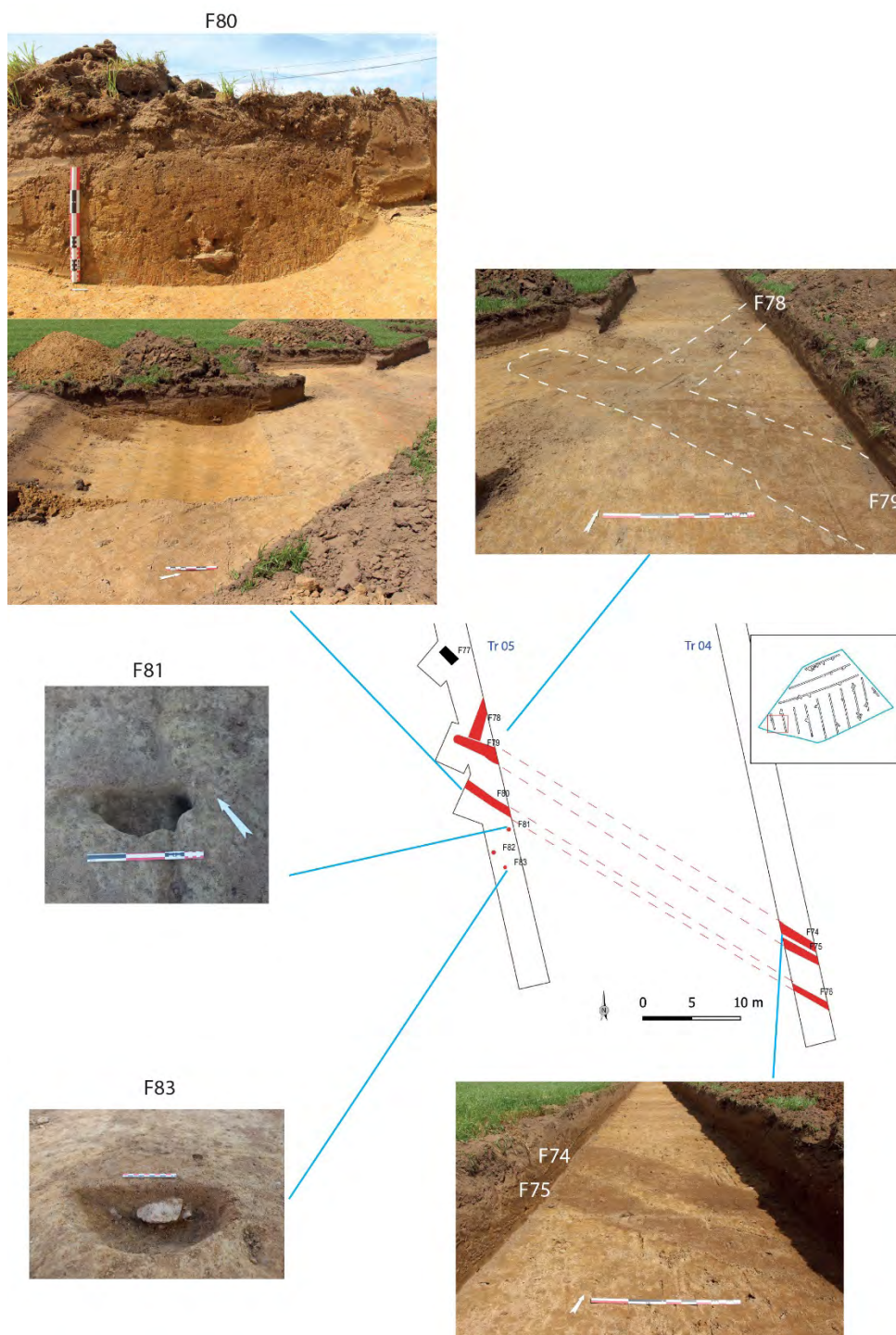


Figure 57 : Localisations des faits non datés des tranchées Tr 04 et Tr 05

Les F81, F82 et F83 ont été enregistrés comme trous de poteaux. F81 et F83 ont été testés sur leur moitié sud. Si F83 s'avère effectivement être un fond de trou de poteau, présentant un comblement limoneux brun argileux avec inclusions de cailloux (US 78), le comblement très proche de l'encaissant (US80) et la morphologie de F81 tendent à y voir une anomalie naturelle (fig.58).

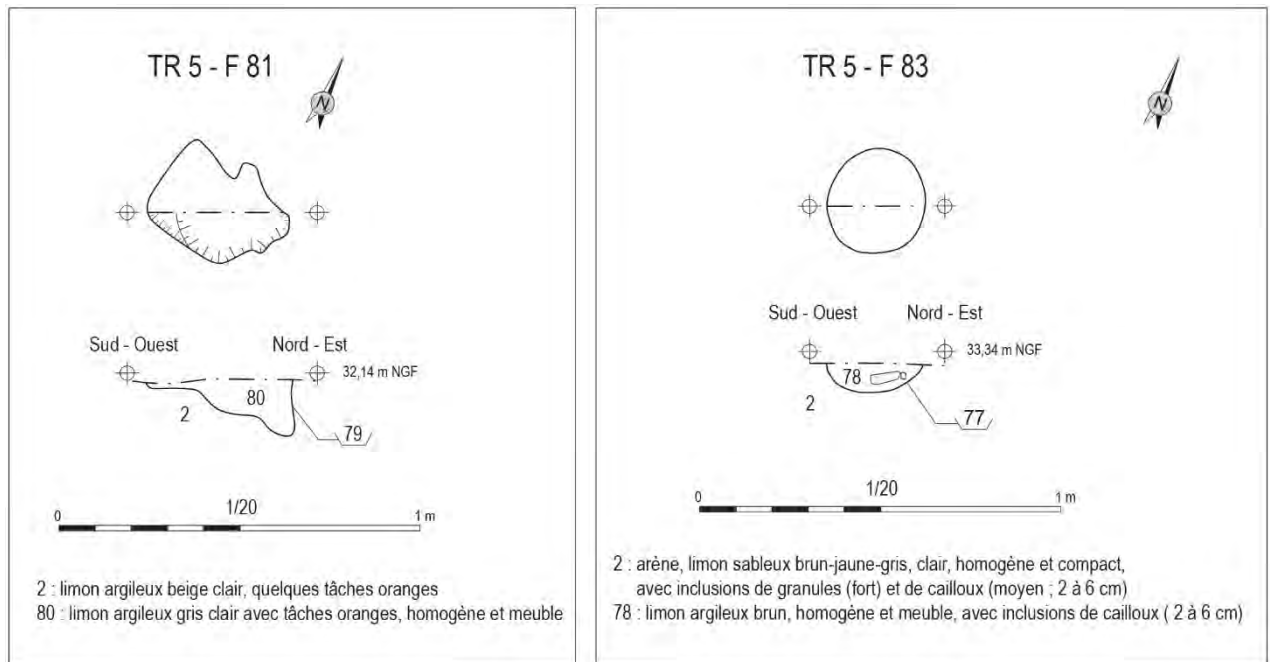


Figure 58 : Tranché 5, relevé en plan et coupe des faits F81 et F83

Il est à noter que l'orientation de cet ensemble de fossés est similaire au parcellaire de l'âge du Bronze identifié sur l'emprise du diagnostic. Elle correspond également à la trame parcellaire récente. Néanmoins, si aucun élément datant n'a été trouvé dans ce petit ensemble fossoyé et dans les structures en creux adjacentes, les éléments mobiliers mis au jour dans l'US 04 et dans un chablis de la tranchée Tr 04, se rapportent à l'Âge du Bronze Ancien et Final (04-CER-19, 04-CER-23, 99-CER-54).

### 3. LES ÉTUDES SPECIALISÉES

#### 3.1 Étude du mobilier céramique (Gwénaëlle Hamon)

##### 3.1.1. Présentation générale

	Age du Bronze			Époque moderne / contemporaine			TOTAL TOUTES PÉRIODES		
	NR	NB Max	Pds en g	NR	NB Max	Pds en g	NR	NB Max	Pds en g
US004				1	1	5,8	1	1	5,8
<b>TR01</b>	<b>77</b>	<b>71</b>	<b>458,2</b>	<b>2</b>	<b>2</b>	<b>20,5</b>	<b>79</b>	<b>73</b>	<b>478,7</b>
F006 (US100)				1	1	17,1	1	1	17,1
F137 (US110)				1	1	3,4	1	1	3,4
F149 (US086)	1	1	7,3				1	1	7,3
F153 (total)	20	20	121,1				20	20	121,1
F153(US048)	7	7	41				7	7	41
F153(US045)	13	13	81,1				13	13	81,1
Total US hors faits	56	50	328,8				56	50	328,8
US000	1	1	2				1	1	2
US001	55	49	326,8				55	49	326,8
<b>TR02</b>	<b>6</b>	<b>6</b>	<b>41,5</b>	<b>1</b>	<b>1</b>	<b>19,3</b>	<b>7</b>	<b>7</b>	<b>60,8</b>
F017 (US098)	2	2	1,3				2	2	1,3
F019 (US049)				1	1	19,3	1	1	19,3
Total US hors faits	4	4	40,2				4	4	40,2
US000	1	1	2,2				1	1	2,2
US001	2	2	9				2	2	9
US004	1	1	29				1	1	29

	Age du Bronze			Époque moderne / contemporaine			TOTAL TOUTES PÉRIODES		
	NR	NB Max	Pds en g	NR	NB Max	Pds en g	NR	NB Max	Pds en g
<b>TR03</b>	<b>25</b>	<b>21</b>	<b>221,1</b>	<b>13</b>	<b>13</b>	<b>57,8</b>	<b>38</b>	<b>34</b>	<b>278,9</b>
F026 (US030)	1	1	14,7				1	1	14,7
F033 (US101)	1	1	8,6				1	1	8,6
F035 (US064)	1	1	1,6				1	1	1,6
Total F037	2	2	16,8				2	2	16,8
F037 (US088)	1	1	7,3				1	1	7,3
F037 (US090)	1	1	9,5				1	1	9,5
F041 (US096)	8	8	71,2				8	8	71,2
F048 (US082)	2	1	10,3				2	1	10,3
F050 (US007)				9	9	48,7	9	9	48,7
F059 (US084)				3	3	4,1	3	3	4,1
Total US hors faits	10	7	97,9	1	1	5	11	12	102,9
US000	3	2	31,9				3	2	31,9
US001				1	1	5	1	5	5
US004	7	5	66				7	5	66
<b>TR04</b>	<b>3</b>	<b>3</b>	<b>55,7</b>				<b>3</b>	<b>3</b>	<b>55,7</b>
F68 (US099)	1	1	16				1	1	16
US004	2	2	39,7				2	2	39,7
<b>TR06</b>	<b>3</b>	<b>3</b>	<b>8,4</b>				<b>3</b>	<b>3</b>	<b>8,4</b>
US014	2	2	3,2				2	2	3,2
US015	1	1	5,2				1	1	5,2
<b>TR07</b>	<b>24</b>	<b>18</b>	<b>144,9</b>	<b>1</b>	<b>1</b>	<b>1</b>	<b>25</b>	<b>19</b>	<b>145,9</b>
F91 (US094)	7	1	40	1	1	1	8	2	41
Total US hors fait	17	17	104,9				17	17	104,9
US004	3	3	11,4				3	3	11,4
US014	14	14	93,5				14	14	93,5
<b>TR08</b>	<b>62</b>	<b>43</b>	<b>443,3</b>				<b>62</b>	<b>43</b>	<b>443,3</b>
F102 (US104)	1	1	11,7				1	1	11,7
F104 (US028)	40	34	165				40	34	165
F107 (US105)	1	1	4,1				1	1	4,1
F93 (US035)	18	5	252,5				18	5	252,5
F95 (US102)	1	1	4,6				1	1	4,6
F98 (US103)	1	1	5,4				1	1	5,4
<b>TR09</b>	<b>3</b>	<b>3</b>	<b>10,8</b>				<b>3</b>	<b>3</b>	<b>10,8</b>
F113 (US106)	1	1	2				1	1	2
US002	2	2	8,8				2	2	8,8
<b>TR11</b>	<b>59</b>	<b>12</b>	<b>488,3</b>				<b>59</b>	<b>12</b>	<b>488,3</b>
<b>F125 (US 107)</b>	<b>17</b>	<b>0</b>	<b>62,3</b>				<b>17</b>	<b>0</b>	<b>62,3</b>
F126 (total)	38	8	406,4				38	8	406,4
US051	3	2	28,9				3	2	28,9
US052	3	1	8				3	1	8
US071	32	5	369,5				32	5	369,5
US004	4	4	19,6				4	4	19,6
<b>TR12</b>	<b>12</b>	<b>12</b>	<b>60,9</b>	<b>1</b>	<b>1</b>	<b>2,6</b>	<b>13</b>	<b>13</b>	<b>63,5</b>
F130 (US108)	2	2	8,7				2	2	8,7
F131 (US109)	1	1	3,9				1	1	3,9
F132 (US097)				1	1	2,6	1	1	2,6
F132 (US097)	1	1	24,6				1	1	24,6
US010	8	8	23,7				8	8	23,7
<b>TR13</b>	<b>6</b>	<b>3</b>	<b>232</b>				<b>6</b>	<b>3</b>	<b>232</b>
US003	6	3	232				6	3	232
<b>Total général</b>	<b>280</b>	<b>192</b>	<b>2165,1</b>	<b>19</b>	<b>19</b>	<b>107</b>	<b>299</b>	<b>210</b>	<b>2272,1</b>

Figure 59 : Décompte et poids des céramiques des tranchées 01, 02, 03, 04, 06, 07, 08, 09, 11, 12 et 13

Ce diagnostic a permis de mettre au jour un total de 299 restes céramiques pour un poids de 2272,1 g (fig. 59), recueillis dans 11 tranchées (les tranchées 5 et 10 ne contenaient pas de mobilier céramique). Après étude et raccords physiques et mentaux, le nombre d'individus maximum s'élève à 218 et le nombre minimum à 13.

Dix-neuf restes sont de facture historique (époque médiévale ou moderne), issus principalement de la tranchée 3 qui a livré 14 tessons (9 dans la structure F050, 3 dans la structure F059 et 1 dans l'US). Seuls deux fragments

ont été prélevés dans la tranchée 1 (un dans les structures F006 et F137), et un tesson dans les tranchées 2 (F019), 7 (F091) et 12 (F132).

Le reste du mobilier, soit 280 fragments représentant 93,7 % du corpus, pour un poids de 2465,1 g, est datable de l'âge du Bronze et est inclus dans les tranchées, faits et US suivants.

Les tranchées Tr 01, Tr 08 et Tr 11 sont celles ayant livré le plus de restes et de poids de céramiques protohistoriques, respectivement 77 et 458,2 g, 62 et 43 g et 59 et 488,3 g. Le mobilier de ces trois sondages constitue ainsi 70,7 % des tessons et 45,7 % du poids de céramiques prélevés.

Près des trois-quarts des fragments de la tranchée 1 (56) ont été mis au jour dans l'US01. Les fossés F153 et 147 ont livré respectivement 20 et un fragment.

Les tessons de la tranchée Tr08 proviennent tous de structures, quatre d'entre elles n'en ayant livré qu'un (F095, F098, F102 et F107). Avec 40 fragments, le fossé F104 est le fait ayant révélé le plus de mobilier dans le cadre de ce diagnostic. Dans la fosse F093 ont été collectés 18 tessons.

La fouille du fossé F125 et de la fosse F126 (18 restes) a produit l'essentiel du mobilier recueilli dans la tranchée 11 (respectivement 17 et 18 éléments), le reste provenant d'une structure dans laquelle n'était inclus qu'un fragment (fossé F132) ou de l'US 04 (4 tessons).

Le nombre de fragments mis au jour dans la tranchée Tr 03 s'élève à 25 pour 221,1 g (dix hors structures). De chaque fait proviennent entre un et trois tessons (fosses F026 et trous de calage de poteau F033, F035, F037, F048), Le fossé F41 ayant quant à lui livré 8 restes.

La tranchée Tr 07 a livré 24 tessons pour 443,3 g, dont plus des deux tiers (17) sont inclus dans des US hors structures. Seul un fait, le Fossé F91 contenait du mobilier (sept tessons).

Sur les 12 restes recueillis dans la tranchée 12, 8 ont été collectés hors structures et le reste a été prélevé dans les fossés F130 et F132 et la fosse F130 (un à trois tessons dans chaque).

De la tranchée Tr 02 proviennent six restes, dont 2 de F017 et le reste hors structures. La tranchée 13 a livré 6 tessons, tous issus de l'US03.

Les tranchées Tr 04, Tr 06 et Tr 09 n'ont permis la collecte que d'un nombre réduit d'éléments (3 dans chaque). Seuls ceux de la tranchée 9 proviennent d'un fait (fossé F113).

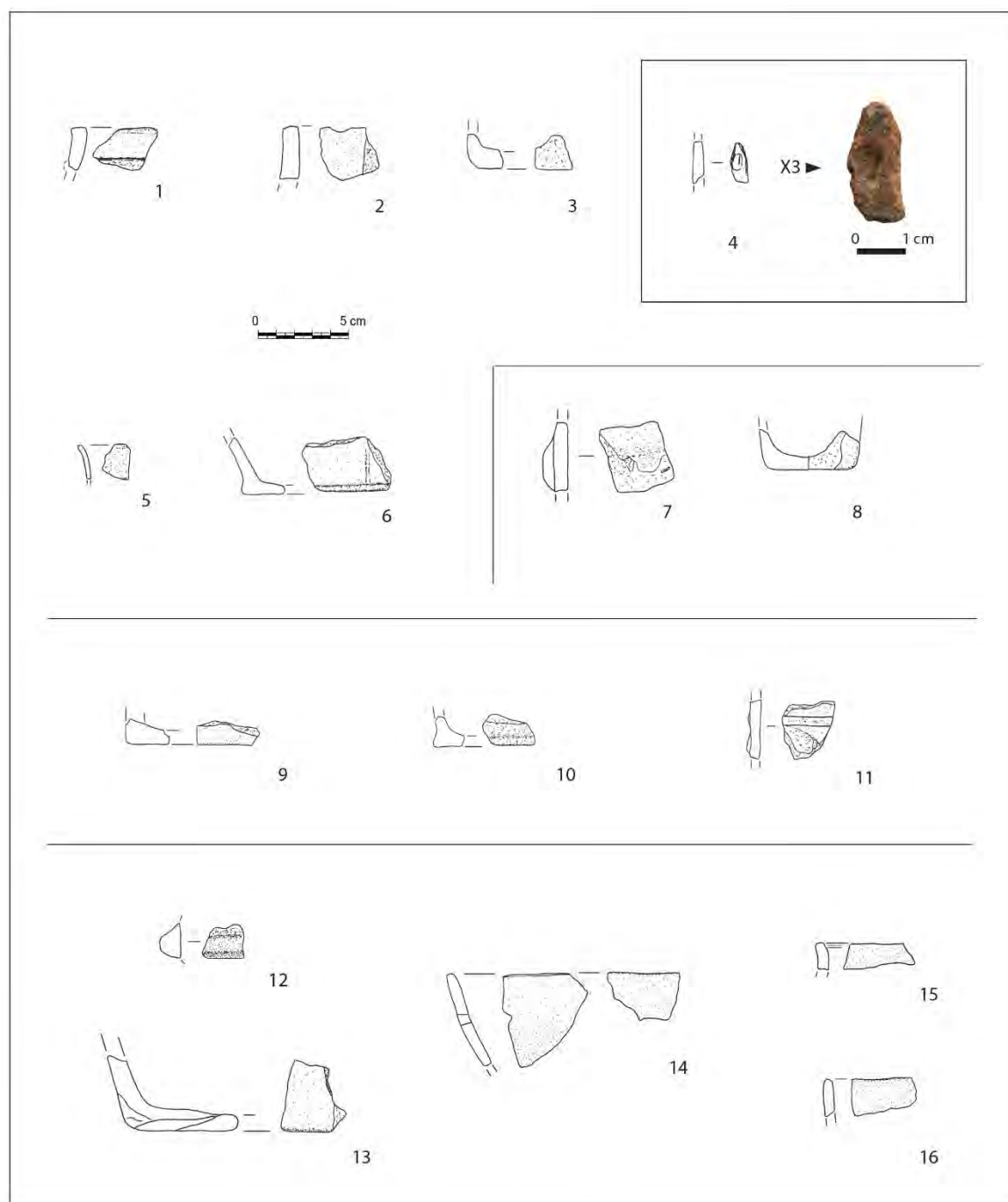
Très peu de raccords physiques ont été réalisés. Le mobilier est généralement fragmentaire, le poids moyen d'un tesson est de 7,7 g.

### 3.1.2. Étude céramologique par tranchées et faits

#### Tranchée 01

##### US 00

Un très petit fragment brun à brun rouge à l'extérieur et gris à cœur, épais et érodé, à inclusions très fines à moyennes de quartz, feldspath, muscovite en plaquettes et fragments de roches granitoïdes a été recueilli dans le niveau de décapage (000-CER-003).



n° 1-6 : tranchée 1 ; n° 7-8 : tranchée 3 ; n° 9-11 : tranchée 7 ; n° 12-16 : tranchée 8

n° 1 : 001-CER-004 ; n° 2-4 : 001-CER-005 ; n° 5 : 001-CER-006 ; n° 6 : 045-CER-034, F153 ; n° 7 : 004-CER-016 ; n° 8 : 030-CER-032, F26  
 n° 9 : 014-CER-027, F091 ; n° 10-11 : 094-CER-049 ; n° 12 : 028-CER-030 ; n° 13 : 028-CER-031 ; n° 14-16 : 035-CER-033, F093

Figure 60 : Mobilier céramique de l'âge du Bronze (tranchées 1, 3, 7 et 8)

### US 01

Un premier ensemble de treize fragments (**001-CER-004**) est constitué d'un individu formé de quatre fragments érodés brun rouge clair en surface et brun foncé à cœur, à inclusions très fines à fines de quartz, feldspath, muscovite et fragments de roches granitoïdes. Deux tessons de très petite taille peuvent lui être associés. Un bord rentrant à lèvres aplanies et épaissies brun rouge clair présente le même type d'inclusions (fig.60 n° 1). Un léger renflement le long de la cassure longitudinale matérialise le décollement d'un cordon pré-oral. Un fragment



brun rouge clair de 5 à 6 mm d'épaisseur comporte des inclusions très fines à moyennes de quartz, feldspath, muscovite en plaquettes et fragments de roches. Trois tessons de 9 à 12 mm d'épaisseur, à inclusions du même type mais de granulométrie différente (très fines à grossières) sont brun rouge clair en surfaces ou rouge clair à l'extérieur et brun à l'intérieur (lissé) et gris à cœur. Un fragment de 5 à 7 mm d'épaisseur bien lissé à l'intérieur est brun foncé et comporte le même type d'éléments minéraux.

Un lot de 4 fragments (**001-CER-005**) a également été collecté, dont un de bord à lèvre digitée de 10 mm d'épaisseur (**fig. 60, n° 2**) à inclusions très fines à moyennes de quartz, feldspath, biotite, muscovite et fragments de roches granitoïdes. Les trois autres, dont un de panse de 11 mm d'épaisseur et un petit fragment de fond plat de 10 mm d'épaisseur à panse rectiligne (**fig. 60, n° 3**) sont constitués d'une pâte présentant des inclusions sensiblement de même nature, mais dénuée de biotite et de granulométrie plus fine (éléments très fins à fins avec quelques éléments moyens). Un très petit élément concave brun rouge et poli, de 7 mm d'épaisseur, comportant le même type d'inclusions et présentant une digitation, complète l'ensemble (**fig. 60, n° 4**).

Cet ensemble de 9 tessons (**001-CER-006**) comprend un élément de bord concave et droit et sans doute éversé à lèvre arrondie de 3 mm d'épaisseur (**fig. 60, n° 4**). Un tesson brun rouge à l'extérieur et brun clair à l'intérieur de 8 et 9 à 12 mm d'épaisseur, poli, à inclusions très fines à moyennes de quartz, feldspath, muscovite (rare) et fragments de roches granitoïdes, deux fragments de 11 mm d'épaisseur, brun rouge clair à l'extérieur et gris foncé à cœur, à inclusions très fines à fines quelques éléments moyens de quartz, feldspath, fine muscovite et roches granitoïdes ont également été prélevés.

D'autres restes présentent le même type d'inclusions parmi lesquels un fragment de panse de 7 à 9 mm d'épaisseur et un autre de lèvre de 4 à 8 mm d'épaisseur, brun rouge à l'extérieur et brun à brun foncé à l'extérieur et gris foncé à cœur, poli, un fragment de 6 à 8 mm d'épaisseur, brun foncé à l'extérieur, lie de vin foncé à l'intérieur.

Un fragment brun rouge en surfaces et gris foncé à cœur, de 8 mm d'épaisseur, à inclusions très fines à fines et quelques éléments moyens de quartz, feldspath, muscovite en fines plaquettes et fragments de roches granitoïdes et un fragment de 9 à 10 mm d'épaisseur, brun foncé à l'intérieur et gris foncé à cœur à inclusions très fines à grossières de quartz, feldspath, muscovite en paillettes peu nombreuses, biotite et roches granitoïde et un fragment de petite taille complètent le lot.

Dix fragments (**001-CER-007**) ont été prélevés au sud-ouest de la tranchée dont deux d'un même vase, de 5 et 8 à 11 mm d'épaisseur, très bien lissés, bruns en surfaces et gris foncé à cœur et incluent des éléments très fines à moyens de quartz, feldspath, biotite, muscovite en plaquettes et fragments de roches granitoïdes et un élément de jonction fond/panse. Un petit fragment brun très foncé de 5 mm d'épaisseur comporte également des inclusions très fines à moyennes de quartz, feldspath, muscovite en plaquettes et fragments de roches granitoïdes. Dans ce lot est également présent un fragment de 8 mm d'épaisseur, brun rouge et poli à cœur gris, à inclusions très fines à fines de quartz, feldspath, roches granitoïdes et très fines muscovites. Cinq très petits tessons ont également été collectés.

Un tesson de panse (**001-CER-008**), de 4 à 5 mm d'épaisseur brun foncé très bien lissé à poli, montre des encroûtements charbonneux. La pâte comporte des inclusions très fines à fines avec quelques éléments moyens de quartz, feldspath, muscovite et fragments de roches granitoïdes.

Six fragments dont deux érodés de 9 mm d'épaisseur, brun rouge en surface et gris foncé à l'intérieur, à inclusions très fines à fines à moyennes de quartz, feldspath, muscovite, biotite et fragments de roches granitoïdes ainsi que quatre fragments de très petite taille ont été prélevés à l'ouest de la tranchée (**001-CER-009**).

Au sein d'un lot de dix tessons (**001-CER-010**) en ont été reconnus trois érodés de 8 mm d'épaisseur, rouges à l'extérieur et brun foncé à l'intérieur, à inclusions très fines à fines à grossières de quartz, feldspath et fragments de roches granitoïdes, deux tessons d'épaisseur indéterminable, à inclusions très fines à moyennes d'éléments opaques et de rares muscovites, deux autres orangés dont un à inclusions de même nature très fines à moyennes, et le second à inclusions très fines à fines et très micacé et pour finir, cinq restes de très petite taille, dont un de 3 mm d'épaisseur.

Sept tessons dont deux fragments érodés de 9 mm d'épaisseur brun rouge en surface et gris foncé à l'intérieur, à inclusions très fines à fines à moyennes de quartz, feldspath, muscovite, biotite et fragments de roches granitoïdes ainsi que 5 fragments de très petite taille composent le lot **001-CER-011**.

Un fragment d'une panse de 5 à 6 mm d'épaisseur, brune en surface et gris foncé à cœur, à inclusions très fines à moyennes de quartz, feldspath, fine muscovite et fragments de roches granitoïdes et un autre de 8 mm d'épaisseur, orangé en surface et gris foncé à cœur, à inclusions très fines à moyennes de quartz, feldspath,

muscovite en plaquettes, biotite et fragments de roches granitoïdes ont également été isolés au sein de cette US (001-CER-013).

### F153

Un premier lot compris dans le remplissage du fossé F153 est constitué de 13 fragments (045-CER-034) dont deux, érodés, de panses de 6 et 13 mm d'épaisseur, brun rouge, à inclusions très fines à fines avec quelques éléments moyens de quartz, muscovite en plaquette et fragments de roches granitoïdes. Un fond plat débordant dont l'épaisseur de la panse et de la plaque basale est identique (6 mm) montre une cannelure à la base de la panse (fig.60, n° 6). La pâte inclut des éléments très fins à fins de quartz, feldspath, rares muscovite en plaquettes et fragments de roche granitoïdes. Un fragment érodé de 7 mm d'épaisseur, brun à l'extérieur, rouge très clair à l'intérieur et gris foncé à cœur, à inclusions très fines à fines (quelques éléments moyens) de quartz, muscovite en plaquette et fragments de roches granitoïdes et huit tessons de très petite taille très érodés (dragéifiés), ont également été prélevés.

Le second lot est constitué de sept fragments érodés (048-CER-035) dont cinq de 8 à 15 mm d'épaisseur, brun rouge, à inclusions très fines à fines à grossières de quartz, biotite, muscovite, feldspath et fragments de roches granitoïdes (un des éléments comporte moins de biotite) et un de 6 mm d'épaisseur, à inclusions très fines à fines à moyennes de quartz, feldspath et fragments de roches. Un tesson de très petite taille était également compris dans ce lot.

### F149

De cette section de fossé est issu un fragment de 13 mm d'épaisseur brun rouge à l'extérieur et brun à l'intérieur à l'intérieur, à inclusions très fines à très grossières de quartz, biotite, muscovite en plaquettes et fragments de roches granitoïdes (086-CER-046).

## Tranchée 02

### US00

Le décapage de la tranchée 2 a livré un très petit fragment érodé de lèvre en pouce, brun rouge, à inclusions très fines à fines avec quelques éléments moyens de quartz et feldspath (000-CER-001).

### US01

De l'US 001 proviennent deux fragments dont un rouge à l'extérieur, brun à l'intérieur et gris foncé à cœur, à inclusions très fines à fines avec quelques éléments moyens de quartz, feldspath, muscovite en plaquettes, biotite et fragments de roches granitoïdes ainsi qu'un fragment de fond brun rouge à inclusions plus fines et de même nature. Sa surface interne est calcinée (001-CER-012).

### US04

Un fragment érodé de possible plaque basale rouge clair montrant un fin cœur gris foncé, de 10 mm d'épaisseur est issu de l'US 004. Les inclusions de quartz, feldspath, muscovite biotite et fragments de roches granitoïdes sont très fines à fines à moyennes (US004-CER020).

### F17

De la structure 17 proviennent deux fragments de très petite taille (098-CER-053).

## Tranchée 03

### US00

Le niveau de terre végétale a livré trois fragments de 7 à 8 mm d'épaisseur (000-CER-002), dont deux de facture identique, brun rouge et érodés, présentant un encroûtement charbonneux à l'intérieur et sur la tranche. La pâte montre des inclusions très fines à fines de quartz et de feldspath. Le troisième, brun rouge, de 10 mm d'épaisseur, comporte inclusions très fines à moyennes de quartz et feldspath, muscovite et fragments de roche.

## US04

Un premier lot de trois fragments est issu de cette US. Brun rouge en surface et gris foncé à cœur, de 5 et 10 à 12 mm d'épaisseur, ils comportent des inclusions très fines à moyennes de quartz, muscovite, biotite et fragments de roches granitoïdes (**004-CER-016**). Le tesson le plus épais est muni un cordon possiblement imprimé de 15 mm de largeur pour 5 mm d'épaisseur (**fig. 2, n° 7**).

Un second lot (**004-CER- 023**) est constitué de quatre tessons à inclusions très fines à grossières de quartz, feldspath, muscovite, biotite et fragments de roches granitoïdes. Deux sont rouges à l'extérieur et gris à cœur (10 et 13 mm d'épaisseur) et un troisième est brun à l'extérieur et gris foncé à l'intérieur et à cœur. Un fragment de très petite taille brun rouge en surface et gris à cœur, de 7 mm d'épaisseur comporte des inclusions très fines à fines de quartz et feldspath.

## La fosse F26

De la fosse F26 provient un élément érodé de fond plat, constitué d'une plaque basale de 8 mm d'épaisseur et d'une panse de 5 mm d'épaisseur (**030-CER-032 ; fig.60, n° 8**), brun rouge à l'extérieur, brun à l'intérieur et gris foncé à cœur, lissé voire poli, à inclusions très fines à fines de quartz et feldspath, et de muscovite en plaquettes. Il appartient à un petit individu d'environ 55 mm de diamètre à la base.

## Les trous de calage de poteau

### F33

Un fragment de 10 mm d'épaisseur brun rouge lissé et brun rouge à l'extérieur et gris foncé à l'intérieur (érodé) et à cœur à inclusions très fines à grossières de quartz, de muscovite très fine, de biotite et de fragments de roches granitoïdes a été collecté dans ce trou de calage de poteau (**101-CER-056**).

### F35

De la structure F35 est issu un fragment de lèvre aplaniée de 7 mm d'épaisseur (**064-CER-039, non figuré**), très bien lissé mais érodé, brun en surface et gris foncé à cœur, constitué d'une pâte incluant des éléments très fins à fins de quartz et de feldspath.

### F37

Deux tessons étaient inclus dans ce trou de calage de poteau, dont un de 6 mm d'épaisseur brun rouge à l'extérieur et brun à l'intérieur et gris foncé à cœur, à inclusions très fines à moyennes de quartz, biotite, muscovite en plaquettes et fragments de roches granitoïdes (**088-CER-047**) ainsi qu'un second, érodé, de 10 à 11 mm d'épaisseur, brun rouge en surface et brun à cœur, à inclusions très fines à moyennes de quartz, biotite, muscovite de feldspath et fragments de roches granitoïdes (**090-CER-048**).

### F41

Dans cette structure ont été collectés huit fragments de 10 à 11 mm d'épaisseur, dont un brun rouge clair à l'extérieur et à cœur et brun rouge foncé à l'intérieur, à inclusions très fines à moyennes de quartz, feldspath, biotite, muscovite dorée en plaquettes et fragments de roches granitoïdes, deux très bien lissés à inclusions très fines à moyennes avec quelques éléments moyens de quartz et de muscovite, un brun rouge foncé à l'extérieur et brun gris à l'intérieur, à inclusions très fines à grossières de quartz, feldspath, muscovite, biotite et fragments de roches granitoïdes et quatre fragments de très petite taille (**096-CER-050**).

### F48

Le niveau de remplissage de ce trou de calage de poteau contenait deux tessons (**082-CER-044**), dont un de 7 à 10 mm d'épaisseur, brun rouge en surface et gris foncé cœur, à inclusions très fines à grossières de quartz, feldspath, muscovite grossières et fragments de roches granitoïdes et un de très petite taille de 5 mm d'épaisseur, brun rouge, à inclusions très fines à fines que quartz opaque et de feldspath.

## Tranchée 04

## US04

Deux fragments ont été collectés dans cette US, l'un érodé et mieux conservé à l'extérieur, de 7 mm d'épaisseur, brun rouge à l'extérieur et brun foncé à l'intérieur, à inclusions très fines à fines de quartz, feldspath, fine muscovite et fragments de roches (**004-CER-019**) et un second de 8 mm d'épaisseur bien conservé et poli, de panse brun rouge en surface et gris foncé à cœur, à inclusions très fines à moyennes de quartz, feldspath, muscovite en plaquettes et fragments de roches granitoïdes (004-CER-023).

#### US99

Un troisième fragment érodé (mieux conservé à l'extérieur) de 8 à 11 mm d'épaisseur, brun rouge à l'extérieur et brun foncé à l'intérieur, à inclusions très fines à moyennes de quartz, feldspath et fragments de roches granitoïdes provient également de cette tranchée (**099-CER-054**).

#### Tranchée 06

##### US14

Deux fragments brun rouge de très petite taille ont été mis au jour dans cette US (014-CER-026).

##### US15

Dans l'US015 a été collecté un fragment érodé de 8 mm d'épaisseur rouge clair, à inclusions très fines indéterminées opaques (015-CER-028).

#### Tranchée 07

L'US04 a livré trois fragments dont un érodé et gris foncé, à inclusions très fines à grossières de quartz, muscovite et fragment de roches granitoïdes de 7 à 10 mm d'épaisseur, un brun rouge à lie de vin en surface et gris foncé à cœur, à inclusions très fines à fines de quartz et feldspath et fragments de roches granitoïdes ainsi qu'un un fragment de très petite taille orangé et dragéfié (**004-CER-017**).

De l'US14 proviennent quatorze fragments de 7 à 10 mm (**014-CER-027**) dont quatre brun rouge d'épaisseur et six rouges à l'extérieur et gris foncé à l'intérieur et à cœur dont un fond plat de 8 mm d'épaisseur (**fig.60, n° 9**). Ils sont érodés, sauf deux de 7 mm d'épaisseur ayant conservé leur polissage. Les inclusions de quartz, biotite, muscovite en plaquette sont très fines à moyennes. Un tesson brun foncé et gris foncé à cœur, un autre orange de 8 mm d'épaisseur à inclusions de fragments de roches granitoïdes et deux de très petite taille complètent le lot.

#### F91

De cette fosse sont issus sept fragments (**094-CER-049**) de 6 à 7 mm d'épaisseur, brun rouge en surface et brun à brun gris à cœur, lissés et érodés, à inclusions très fines à moyennes de quartz, feldspath et fragments de roches, dont un petit fragment de fond plat débordant de 7 mm d'épaisseur au niveau de panse et de la plaque basale (**fig.60, n° 10**) et un autre à surface bien conservée de 5 à 7 mm d'épaisseur, orné d'une nervure horizontale et montrant un renflement juste au-dessous, pouvant matérialiser l'arrachement d'un cordon (**fig.60, n° 11**).

#### Tranchée 08

##### US105

Un petit fragment brun rouge érodé de 7 mm d'épaisseur à inclusions très fines opaques de quartz, feldspath et roches (**105-CER-060**) provient de cette US.

#### F104

Quarante tessons dissociés en quatre lots ont été prélevés dans le comblement de ce fossé (US028).

Un premier est constitué de 12 tessons (**028-CER-029**) dont 9 de très petite taille, deux de panse de 8 mm d'épaisseur brun rouge à l'extérieur, brun orangé à l'intérieur et gris foncé à cœur, et un de fond brun orangé clair en surface et gris à cœur de 10 mm d'épaisseur, érodé, à inclusions très fines opaques de quartz, feldspath, fine muscovite et fragments de roches.

Un autre ensemble de 21 fragments a été collecté (**028-CER-030**), dont 16 de très petite taille. Trois de 8 mm d'épaisseur, sont érodés, bruns à brun rouge en surface et gris à cœur et incluent des éléments très fins à moyens de quartz, muscovite en plaquette et fragments de roches granitoïdes. Un reste mieux conservé, brun rouge à l'extérieur brun foncé à l'intérieur et gris foncé à cœur, de 7 mm d'épaisseur, à inclusions très fines à fines de quartz, feldspath, muscovite et fragments de roches granitoïdes, et un fragment d'un possible cordon lisse (**fig.60, n° 12**) brun rouge clair à l'extérieur et gris foncé à inclusions très fines de quartz et feldspath opaques ont pu être isolés.

Ce troisième lot (**028-CER-031**) est constitué de sept tessons dont un individu formé de trois fragments d'une panse de 8 mm d'épaisseur et trois autres d'un fond plat dont la plaque basale atteint 12 mm d'épaisseur (**fig.60, n° 13**). Brun rouge et poli en surfaces et gris à cœur, sa pâte comporte des inclusions très fines à fines avec quelques éléments moyens de quartz, feldspath et fragments de roches granitoïdes. Un tesson brun orangé poli à l'extérieur et lissé à l'intérieur incluant des éléments minéraux très fins à moyens de même nature a également été collecté.

### F93

Cette fosse a livré 18 tessons (**035-CER-033**) dont un individu représenté par trois bords rectilignes et déversés vers l'extérieur, à lèvre aplanie de 5 à 6 mm d'épaisseur, dont l'un est muni d'une perforation préorale tronconique de 10 à 4 mm de diamètre située à 20 mm sous la lèvre (**fig.60, n° 14**). Ont également été recueillies deux lèvres concaves se raccordant, de 6 mm d'épaisseur présentant un trait cannelé interne, brunes à brun rouge en surface et gris à cœur, polies mais érodées et portant des traces de calcination (**fig.60, n° 15**), un fragment de bord convexe et déversé vers l'extérieur de 5 mm d'épaisseur présentant des traces de calcination (**fig.60, n° 16**) ainsi que deux fragments de panse, à inclusions très fines à fines avec quelques éléments moyens de muscovite, biotite, quartz et fragments de roches granitoïdes. Huit fragments brun rouge clair en surface et gris foncé à cœur, de 5 à 6 mm d'épaisseur dont six moyennement bien conservés, cinq de 11 à 13 mm technologiquement proches et présentant la même nature d'inclusions mais de granulométrie différente (très fines à moyennes) complètent le lot.

### F98

Cette fosse a livré un fragment érodé de 7 mm d'épaisseur, brun clair en surface et gris foncé à cœur, à inclusions très fines à moyennes de quartz, feldspath, muscovite, biotite et fragments de roches granitoïdes (**103-CER-058**).

### F95

Le remplissage de ce trou de calage de poteau incluait un fragment lissé de 9 à 10 mm d'épaisseur, orangé à l'extérieur et à cœur et brun clair à l'intérieur, à inclusions très fines à grossières de quartz, feldspath, muscovite biotite et fragments de roches granitoïdes (**102-CER-057**).

### F102

Dans ce trou de poteau a été collecté un fragment de 12 mm d'épaisseur, brun rouge à lie de vin (surface externe "enfumée") poli, à inclusions très fines à moyennes et quelques éléments grossiers de quartz, muscovite en plaquettes et fragments de roches granitoïdes (**104-CER-059**).

## Tranchée 09

### 002-CER-014

De cette US sont issus deux fragments érodés et informes, potentiellement de fond plat ou d'élément de préhension, de 9 mm d'épaisseur minimum, brun rouge à l'extérieur et brun foncé à l'intérieur, à inclusions très fines à moyennes de quartz, feldspath et fragments de roches granitoïdes.

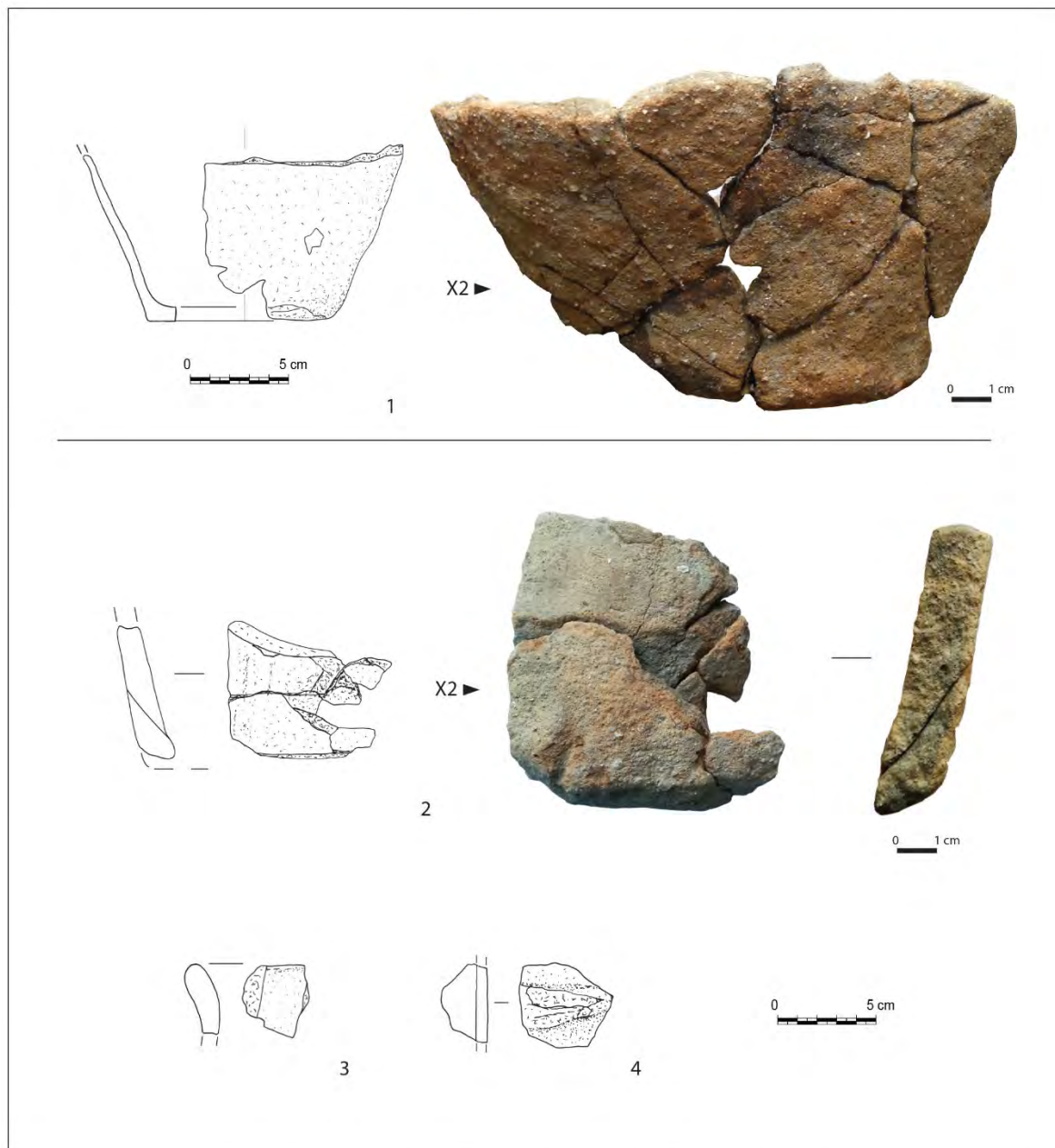
### F113

Le remplissage de ce fossé comprenait un tesson de 8 à 10 mm d'épaisseur, érodé, brun à cœur gris foncé, à inclusions très fines à moyennes de quartz, feldspath, muscovite en plaquettes, biotite et fragments de roches granitoïdes (**106-CER-061**).

## Tranchée 011

**US04**

De l'US04 proviennent quatre fragments de 8 à 9 mm et 6 mm d'épaisseur brun rouge foncé à inclusions très fines à fines de quartz et feldspath et un poli brun gris (enfumé à l'extérieur), brun rouge en marge et brun à cœur et deux de très petite taille (004-CER-021).



n° 1 : tranchée 11, 071-CER-043, F126 ; n° 2-4 : tranchée 13, 003-CER-015

Figure 61 : Mobilier céramique de l'âge du Bronze (tranchées 11 et 13)

**F126**

Cette fosse a livré au total 38 éléments céramiques prélevés en six lots compris dans 3 unités stratigraphiques. De l'US 051 proviennent trois fragments bruns et brun rouge à inclusions très fines à fines de 6 à 10 mm d'épaisseur dont l'un présente de nombreux réseaux de fissures polygonales et un de bord légèrement convexe à lèvre arrondie de très petite taille (051-CER-037).

L'US 052 a livré trois tessons bruns et brun rouge à inclusions très fines à fines de quartz opaque et feldspath, de 6 à 8 mm d'épaisseur, dont un de bord à lèvre arrondie ainsi que deux restes non caractérisables de très petite taille (**051-CER-038**).

De l'US 071 provient le plus grand nombre de restes (32).

Sept fragments d'un fond de vase brun rouge en surface et gris foncé à cœur sont très érodés (**071-CER-043**). Les inclusions de quartz, feldspath, et fragments de roches granitoïdes sont très fines à moyennes. Il ne reste de cet individu que le fond plat constitué d'une plaque basale de 7 mm d'épaisseur et une partie de la panse, rectiligne mais à paroi assez irrégulières, d'épaisseur équivalente à la plaque basale (**fig.61, n° 1**). Quatre fragments dont trois se raccordent, du fond et de la panse de cet individu ont également été prélevés (**071-CER-040**). Dans le deuxième lot sont visibles trois fragments à inclusions très fines à fines de quartz et feldspath, dont un brun rouge de 8 mm d'épaisseur, poli mais légèrement érodé, et deux brun rouge à bruns en surface et gris foncé à cœur, de 5 à 6 mm d'épaisseur pouvant appartenir à un autre individu (**071-CER-041**). Dix-huit fragments (**071-CER-042**) érodés ou bien conservés et polis (3 portent des encroûtements charbonneux), brun rouge foncé, de 4 à 7 mm d'épaisseur, à inclusions très fines à fines et rares éléments moyens de quartz, feldspath, et fragments de roches granitoïdes, dont 6 de très petite taille et 7 dont 3 de très petite taille appartenant à l'individu du lot CER-043.

### F125

Cette portion de fossé a livré dix-sept fragments dont neuf de très petite taille. Six, dont trois se raccordent, brun rouge et érodés, de 8 à 12 mm d'épaisseur, à inclusions très fines à moyennes de quartz, feldspath, rares muscovites et fragments de roche granitoïdes, appartiennent à un même individu. Deux fragments de 5 mm d'épaisseur, brun rouge à l'extérieur, brun à l'intérieur et gris foncé à cœur et possédant le même type d'inclusions complètent le lot (**107-CER-062**).

## Tranchée 12

### US10

Un fragment de panse brun rouge clair érodé de 9 mm d'épaisseur à inclusions de quartz et muscovite provient de cette US (**010-CER-012**).

### F130

De ce fossé proviennent deux fragments érodés (**108-CER-063**). Un premier est brun rouge en surface et gris à cœur, à inclusions très fines à fines de quartz, feldspath et fragments de roches, et le second est un bord à lèvre arrondie et épaissie de 9 mm d'épaisseur, brun rouge à inclusions très fines à grossières de quartz, feldspath, muscovite et biotite et fragments de roches granitoïdes.

### F131

Dans cette fosse a été découvert un fragment érodé mais poli à l'extérieur, de 8 mm d'épaisseur, orangé, à inclusions très fines à moyennes de quartz, feldspath et autres roches indéterminées (**109-CER-064**).

### F132

Un fragment érodé brun rouge foncé à mince cœur gris foncé à inclusions très fines à grossières de quartz opaque, feldspath, biotite, muscovite et fragments de roches granitoïdes a été collecté dans le remplissage de ce fossé (**US-097-CER-051**).

## Tranchée 13

### US03

Le lot six tessons recueillis dans l'US003 (**003-CER-015**) est constitué de deux fragments de panse se raccordant et d'un petit fragment pouvant leur être associé (**fig.61, n° 2**). La partie inférieure est une zone de raccord avec la base, disparue. Des traces de lissages externes, la structure de la pâte et l'organisation des colombins laissent envisager l'apposition de colombin sur un moule en vannerie, quelques microtraces pouvant suggérer des restes d'empreintes d'éléments végétaux. De couleur brun rouge clair en surface et gris foncé à cœur, il inclut des éléments très fins à grossiers de quartz, feldspath, muscovite rares en plaquettes et de fragments de roches. Un fragment de bord concave et déversé vers l'extérieur de 11 mm d'épaisseur, à lèvre

arrondie, comporte le même type d'inclusions (**fig.61, n° 3**). Un fragment de 7 à 12 mm d'épaisseur, brun rouge en surface et gris foncé à cœur dont la surface externe est polie et bien conservée et la surface interne érodée, montre une pâte à inclusions très fines à fines avec quelques éléments moyens de quartz, feldspath, muscovite en plaquette, biotite et fragments de roches granitoïdes. Un tesson de 10 mm d'épaisseur brun rouge, à inclusions très fines à fines de quartz, feldspath et fragments de roches, très compact, dragéifié montre une protubérance mais aussi de forte plage d'érosions sur une largeur d'environ 30 mm, stigmatisant une zone d'arrachement d'un cordon ou d'un élément de préhension (**fig.61, n° 4**). Un petit élément informe présentant la même nature de pâte a également été identifié.

### 3.1.3. Synthèse des ensembles céramiques de l'âge du Bronze ancien 1 et de l'âge du Bronze final 3A

#### 3.1.3.1. L'âge du Bronze ancien 1

Pour ce qui est de l'étape la plus ancienne de l'âge du Bronze, l'élément le mieux calé chronologiquement est le fond du vase inclus dans la fosse 126 de la tranchée 11 (003-CER-015 ; fig. 3, n° 1). Une datation radiocarbone réalisée sur un charbon de cette fosse a donné 3610± BP, soit un intervalle compris entre 2115 et 1886 cal BC, ce qui permet d'envisager la production et l'utilisation de cet individu à l'âge du Bronze ancien 1. Le vase est constitué d'une pâte à inclusions très fines à moyennes de quartz et feldspath et de fine muscovite, ainsi que quelques éléments noirs indéterminés. Une argile d'altération du substrat migmatitique pourrait avoir été utilisée. Elle concerne également des tessons à colorations dans les teintes de rouge, montrant un cœur gris plus ou moins marqué. Ce type de pâte est majoritaire dans la tranchée Tr 11 et rare dans les tranchées 1, 3, 7 et tranchée 8 (présente dans le fossé F104). Dans les tranchées dans lesquelles peu de mobilier a été mis au jour, elle concerne la moitié des tessons (tranchées 2, 6 et 13, F113 dans la tranchée 9) ou deux tessons sur trois (dans la tranchée 4). Les fragments des vases constitués à partir de cette argile sont fréquemment très altérés en surface. C'est notamment le cas de l'individu de la structure 126 qui semble avoir été soumis à une forte érosion d'origine hydrique (battement de nappe ?).

Bien que rares, certains éléments « caractéristiques » rouges à brun rouge montrant ce type de pâte pourraient s'insérer dans la même sphère chrono-culturelle du début de l'âge du Bronze ancien, comme le bord aplani à cordon préoral de la tranchée 01 (001-CER-004 ; fig. 2, n° 1). On se gardera d'être catégorique tant ce type est ubiquiste pour cette étape de l'âge du Bronze mais on pourra mentionner pour comparaison les exemplaires du proche site du Mané Mourin au Bono (Juhel dir., 2018). L'élément à nervure horizontale et renflement de la structure F091 de la tranchée 7 (094-CER-049 ; fig. 2, n° 11) pourrait également s'accorder avec l'âge du Bronze ancien, de même que le petit élément de cordon lisse issu du fossé F104 dans la tranchée 8 (028-CER-130, fig. 2, n° 12). Le mamelon très protubérant sur une panse rectiligne, provenant de la tranchée 13 (003-CER-015 ; fig. 3, n° 4), rappelle un exemplaire du site Bronze ancien de Bel-Air à Lannion dans les Côtes d'Armor (Fait 470, Sd 269 ; Escats, 2013). Le petit et très fin bord de la tranchée 1 (fig. 2, n° 5 ; 001-CER-006) témoigne de la présence de céramique très fine et peut être comparé à des exemplaires de la structure 201 de la ZAC de Kerisac à Plouisy (Côtes d'Armor, Mentélé, 2013) et 478 de Bel-Air (Escats, *ibid.*). La cannelure verticale observée sur le fragment de fond débordant du fossé F153 rappelle ce qui a été mis en évidence sur un fond plat de la structure 205 de Kerisac (Mentélé, *ibid.*). Les individus de petite taille à fonds épais et panses subrectilignes collectés dans les tranchées 1 (001-CER-005 ; fig. 2, n° 3) et 3 (030-CER-032 ; fig. 2, n° 8 - ce dernier présentant une pâte granitique) et ceux de fonds plats débordants existent de manière ubiquiste dans ces contextes Bronze ancien.

#### 3.1.3.2. L'âge du Bronze final 3A

Une étape plus récente de l'âge du Bronze a été mise en évidence par la présence de tessons à pâte montrant une bonne résistance, principalement façonnés à partir d'argile d'altération du granite de Carnac, à inclusions très fines à fines ou très fines à moyennes de quartz, feldspath, muscovite souvent en « plaquettes », biotite et fragments de roches granitoïdes. Ils montrent des surfaces majoritairement brun rouge foncé à cœurs plus ou moins fins gris, ou sont brun rouge à l'extérieur et gris foncé à l'intérieur. Quelques fragments possèdent des surfaces brun foncé et un cœur gris.



Les tessons présentant ce type de pâte ont été préférentiellement collectés dans les tranchées Tr 1, Tr3 et Tr 7 (points ISO) et Tr 8 et plus sporadiquement dans la tranchée 13. Seuls quelques éléments ont été isolés dans les tranchées peu abondantes en mobilier (tranchées Tr2, Tr 4 et « ISO » de la tranchée 6). La pâte de quelques individus montre un classement hétérométrique des minéraux incluant des grains plus grossiers dans la tranchée 3 ou en surface du trou de poteau 095 dans la tranchée 8. Certains restes bien conservés offrent des variations dans les colorations. On notera ainsi la présence de tessons brun foncé dans la tranchée 1 notamment, ou lie de vin dans la tranchée 7. D'une manière générale, les tessons constitués à partir de cette argile offrent des états de surface relativement bons.

De rares éléments typologiques associés à des tessons présentant de telles caractéristiques technologiques concernent la tranchée 1, avec la présence d'un petit fragment à décor digité (001-CER-005, fig. 1, n°4) et d'un bord à lèvre probablement digitée (001-CER-005 ; fig. 1, n° 2).

Le lot mis au jour dans la structure F093 peut permettre de faire référence (035-CER-033). Il y a été prélevé les restes d'une probable écuelle, à lèvre aplatie et perforation préorale. Si la morphologie de ce vase relativement fin et bien traité peut s'accorder avec les productions de la fin de l'âge du Bronze, la présence d'une perforation pré-orale pose plus de questions puisqu'elle n'est connue régionalement que dans les étapes antérieures, notamment au Bronze ancien, ou dans un contexte plus récent sur le site Bronze moyen de pont aux Chèvres (Fait 607, niveau 1111 ; Le Roux, 2013). Le fragment de bord associé, montrant une incision sur la lèvre constituée quant à lui un élément courant pour le Bronze final.

Située à proximité du trou de calage de poteau F093 incluant ces éléments céramiques, la structure F144, a livré un charbon ayant fait l'objet d'une datation par le radiocarbone. La date obtenue, 2880 +/- 30 BP, donne un intervalle de dates compris entre 1197 et 932 cal BC.

Ce résultat vient conforter celui de l'analyse typo-technologique et permet d'envisager l'attribution de l'essentiel des lots de la tranchée 8 au Bronze final IIIa, dont les ensembles céramiques strictement contemporains les mieux connus sont issus des fouilles des enceintes du Val Aubin (Hamon, 2002) et de la Tourelle (Blanchet, 2010) à Lamballe dans les Côtes d'Armor. Le site contemporain de La Rochette à Mauron (Tinévez dir., 2011) n'a livré qu'un mobilier céramique peu abondant.

Ainsi peu d'éléments typologiques discriminants permettent de caractériser cette occupation sur le site et certains fragments mis au jour sur le site présentent des attributs communs aux productions à toutes les étapes de l'âge du Bronze, tel que le possible cordon digité issu de la tranchée 3 (001-CER-005 ; fig.60, n° 7). L'étude des pâtes a permis de distinguer de grandes tendances en matière technologique, mais ne peut permettre de trancher de manière certaine pour ce qui est d'éléments isolés.

Hormis de rares éléments historiques, la totalité du mobilier céramique peut être daté de l'âge du Bronze ancien, et de l'âge du Bronze final. Le mobilier est fragmentaire et à caractère domestique.

### 3.2. Étude du mobilier lithique (Aurélie Crowch)

#### LIT 001 :

Un éclat de silex brun translucide et homogène (très similaire à LIT 004) a été découvert dans la tranchée 01, au sein de l'US 01 (lors du décapage). Cet éclat entier, non patiné, est de très petite dimension (1,5 cm). Il a été inventorié comme 01-LIT-001 et a été géoréférencé sous le numéro d'ISO 3.

#### LIT 004 :

Un éclat de silex brun translucide et homogène (très similaire à LIT 001), non patiné, a été découvert dans la tranchée 10, dans le comblement (US 60) du Fossé 118. Cet éclat entier (3 cm) est semi-cortical. Le cortex observé est particulièrement fin. Il ne s'agit pas d'un silex issu de galet côtier (ni fluvial). Il a été inventorié sous le numéro 60-LIT-004.

## LIT 002 :



Figure 62 : LIT002 vue de la face supérieure

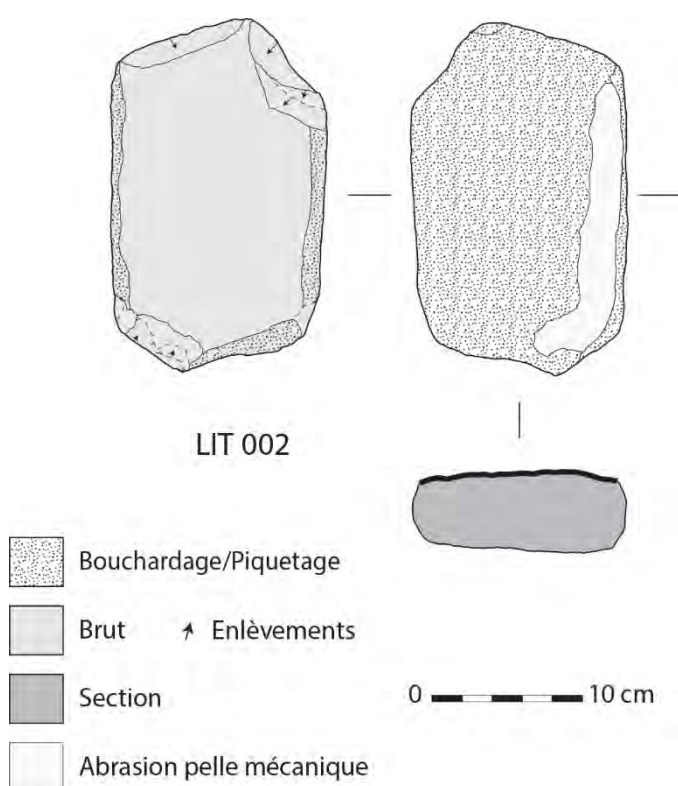


Figure 63 : Dessin de l'élément de mouture LIT002

Un élément de macro-outillage (fig. 62-63), inventorié 004-LIT-002, a été découvert dans la tranchée Tr 5, au sein de l'US naturelle 04 qui correspond à un limon sableux brun clair. Cet élément est en granite assez fin. La partie supérieure de la pièce a été abrasée par la pelle mécanique lors de sa découverte. La pièce mesure 23 cm de long, 14 cm de large et 5 cm d'épaisseur maximale, pour un poids de 2400 g. De forme et de section globalement rectangulaire, la pièce semble quasiment complète. La surface supérieure, très plane tant longitudinalement que transversalement, est soigneusement préparée par piquetage/bouchardage, tout comme le sont les deux bords longitudinaux qui ont été régularisés et partiellement l'un des petits côtés (Fig. 63). Aucune trace de poli, même ponctuelle, n'est visible sur la surface active (figurée par un trait noir sur la section), qui semble « prête à l'emploi », une légère usure est néanmoins perceptible. Seuls les petits côtés sont irréguliers car ils sont partiellement brisés/fragmentés, ou ont fait l'objet d'enlèvements. La face inférieure, bien que globalement plane, n'a quant à elle pas (ou très peu) fait l'objet d'une préparation. L'épaisseur est assez régulière, passant de 3,5 cm à 5 cm d'une extrémité à l'autre de la pièce, qui est donc plutôt fine. Par sa

typologie-morphologie générale cette pièce paraît correspondre à un outil de mouture, soit probablement à une petite meule va-et-vient plane (ou mollette ?), à l'image de celles que l'on retrouve fréquemment à l'âge du Bronze (Hamon et alii, 2017). La présence de vestiges attribués à cette période chronologique sur le site du diagnostic est en cohérence avec cette hypothèse d'interprétation.

**LIT 003 :**



Figure 64 : LIT003, vue de chacune des deux faces

Un bloc en granite assez fin, de taille relativement importante, à savoir de 31 cm de long, 20 cm de large et 7 cm d'épaisseur, pour un poids de 8000 g, a été retrouvé au sein du fait F126, dans l'US 54 (fig. 17). La position du bloc, reposant sur le bord latéral de la fosse, sa morphologie spécifique, et sa présence comme unique élément lithique dans ce fait qui comprenait également un vase (071-CER-043), a motivé son prélèvement. Pour autant, aucune trace anthropique formelle de mise en forme n'est observable sur cet élément inventorié sous le numéro 054-LIT-003. Ce bloc est ovalaire/quadrangulaire : la présence de deux encoches (enlèvements ?) positionnées en vis-à-vis sur chacun des grands côtés interpelle, bien que leur nature anthropique ne soit pas assurée. Les deux grands côtés se rejoignent en un petit côté irrégulier et arrondi. À l'opposé, le second petit côté, qui est rectiligne et plane, constitue comme une base au bloc qui peut tenir en position verticale. Ces encoches, tout comme la base plane, confèrent au bloc des caractéristiques particulières (fig. 64). Légèrement mis en forme ou sélectionné pour cette morphologie naturelle intéressante, la présence de ce bloc au sein des vestiges découverts paraît possiblement répondre à des considérations anthropiques associées à l'occupation du site durant l'âge du Bronze ancien, période chronologique attribuée aux vestiges au sein desquels il a été mis au jour.

**LIT 005 :**



Figure 65 : LIT005, vues de la face supérieure

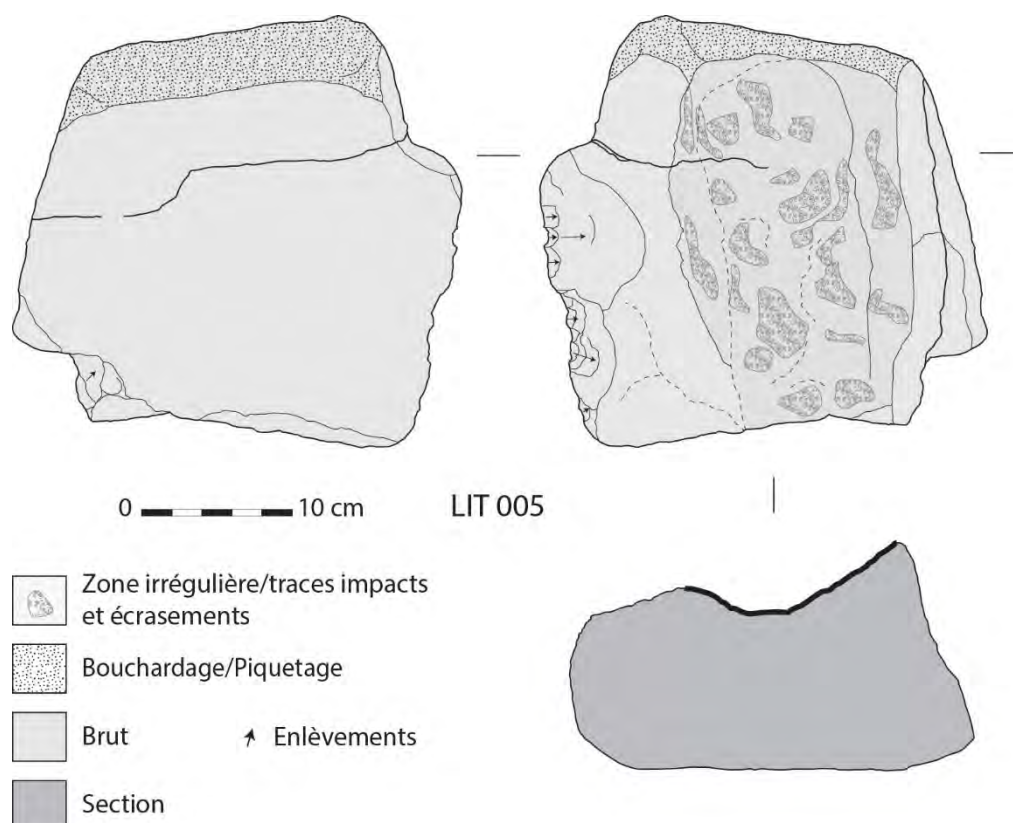


Figure 66 : Dessin de l'élément de macro-outillage LIT005

Un élément de macro-outillage (Fig. X à X), inventorié 107-LIT-005, a été découvert dans la tranchée 11, au sein de l'US 107 du fossé F125. Cette pièce lithique a été géoréférencée au sein du fossé. Cet élément en granite assez fin présente des dimensions importantes. La pièce mesure 29,5 cm de long, 28,5 cm de large et 15 cm d'épaisseur, pour un poids de 14 000 g. De forme quadrangulaire, presque carrée, la pièce semble complète. Elle présente une épaisseur plus importante au niveau du bord droit qui correspond à une fracture naturelle du bloc (diacalse). Le bord gauche de la pièce semble en revanche avoir été régularisé par des enlèvements, tout comme possiblement le bord inférieur de la pièce. Le bord supérieur a, quant à lui, été régularisé par bouchardage/piquetage (fig.65) ce qui lui donne une forme arrondie sur un plan vertical. Le dos de la pièce est brut et plane, tandis que la face supérieure montre une dépression ovale mesurant environ 20 cm de long pour 15 cm de largeur maximale, jouxtant le bord droit naturel et entamant le bord supérieur aménagé. Cette dépression présente une légère concavité longitudinale et une concavité transversale plus marquée (fig.66). Le fond et les bords de la dépression sont très irréguliers et présentent des traces d'impacts (fig.65). Cet élément se rapproche donc, par sa morphologie générale, d'une meule en cuvette ou d'un polissoir à plage. Néanmoins, il se distingue des premières par une absence totale de piquetage de préparation de la surface active, et des seconds, par l'absence de traces de polissage qui n'indique pas un objectif de finition d'objets. La surface active (figurée par un trait noir sur la section) paraît tellement irrégulière que la pièce pourrait éventuellement faire penser à une ébauche, ou alors, l'hypothèse d'une table de broyage est aussi envisagée (Donnart, 2015, p. 377-381).

### 3.3. Rapport anthracologique (Nancy Marcoux)

Cette étude de charbons du site de Baden « Nautiparc 2 » a été lancée suite à une opération de diagnostic archéologique menée par le Service Départemental d'Archéologie du Morbihan à Baden au mois de mai.

Son objectif a été de sélectionner un charbon pour dater une fosse rubéfiée ne contenant pas de mobilier céramique. Par la même occasion, le potentiel et l'intérêt du site pour une étude anthracologique plus poussée dans le cadre d'une fouille préventive est évalué.

Suite à la présentation du matériel et de la méthode, le taxon et le calibre du charbon sélectionné pour une datation sont décrits.

### 3.3.1. Matériel et méthode

La recherche d'un charbon à dater a porté sur un prélèvement du site Baden « Nautiparc 2 », le comblement de la fosse rubéfiée F 135. Il correspond à un volume de huit seaux. Ces sédiments ont été tamisés au SDA du Morbihan et les charbons ont ensuite été livrés au laboratoire Archéosciences de Rennes pour leur étude.

#### Sélection de charbons pour datations

La sélection de charbons pour les datations s'intéresse aux charbons centimétriques, sinon millimétriques des prélèvements. Un minimum de 4 mg est requis pour une datation AMS.

Le charbon idéal comporte du cambium, c'est-à-dire l'assise de la formation des cellules du bois. Son observation assure que l'on est en présence du dernier cerne formé, soit le plus contemporain de l'occupation.

En l'absence de charbons avec cambium, ce sont les taxons à vie courte, les tiges peu âgées ou les charbons provenant de la périphérie de bois plus gros qui sont recherchés.

Pour le chêne, la partie périphérique du tronc, l'aubier, se distingue du cœur, le duramen ; elle est sans thylles, c'est-à-dire exempte d'excroissances cellulaires bouchant les vaisseaux. C'est cette partie qui est recherchée parmi les charbons pour une datation au plus près du moment de l'abattage de l'arbre. Le chêne peut vivre jusqu'à mille ans mais ne comporte que  $19 \pm 15$  cernes d'aubier (Lambert, 2006) ; une datation sur aubier est ainsi relativement précise.

### 3.3.2. Résultats

Les charbons de la fosse F 135 sont très nombreux (>1000), de bonne taille (centimétrique) et dans un très bon état de conservation. Le repérage de charbons bons candidats à datation s'est opéré par un balayage à vue de la totalité des charbons du refus de tamis 4 mm. Au vu de ces observations, le chêne apparaît presque exclusif dans la structure puisqu'au balayage (> 1000 charbons), un seul charbon d'une autre essence a été repéré. Non identifié, ce charbon a été exclu de la sélection.

Aucun charbon porteur de cambium, c'est-à-dire comportant son dernier cerne de croissance, n'a été repéré dans le prélèvement. Le choix s'est donc porté sur un charbon d'aubier de chêne (tab. 1) ; l'absence de thylle assure qu'on est en présence d'un fragment de bois carbonisé provenant de la périphérie de la tige, soit au plus à  $19 \pm 15$  ans de son abattage.

Il s'agit d'une petite branche de chêne de 2 cm de diamètre ; de façon à être au plus précis dans la datation, la partie envoyée à dater ne comporte que les 4 derniers cernes de croissance annuelle.

Taxon	Diamètre	Masse	Nombre de cernes
Chêne, aubier	2 cm	256 mg	4

Figure 67 : Charbon sélectionné pour une datation.

Ce charbon a été pesé puis conditionné par nos soins. Il a été récupéré au laboratoire Archéosciences de Rennes le 30 juin par Aurélie Crowch du SDA du Morbihan.

### 3.3.3. Conclusion

Les charbons extraits du comblement de la fosse rubéfiée F 135 sont nombreux, de bonne taille et dans un très bon état de conservation. Parmi ceux-ci, un charbon a pu être sélectionné pour une datation.

Au vu du nombre de charbons et de leur qualité de conservation, Baden « Nautiparc 2 » présente un très bon potentiel pour une étude plus poussée de ses charbons de bois dans le cadre d'une fouille préventive. Ce site est localisé dans une zone très peu documentée en anthracologie ; son étude apportera des données inédites précieuses à l'appréhension de l'histoire des formations boisées et des usages des bois dans le Morbihan. Ses données pourront également être mises en perspective sur la base entre autres des sites étudiés au sud de Baden, au sein des presqu'îles de Locmariaquer et de Rhuys.

#### 4. SYNTHÈSE

Le diagnostic archéologique réalisé à Baden préalablement à l'extension de la ZAC « Nautiparc » a permis de mettre en évidence une occupation diachronique sur l'emprise prescrite. Treize tranchées ont été réalisées sur les parcelles cadastrées ZE 0473, 0128, 0694, couvrant une superficie de 46 000 m<sup>2</sup>.

Un système parcellaire et viaire récent se retrouve sur l'ensemble de la surface diagnostiquée, à travers un réseau fossoyé et un chemin d'orientation nord-ouest / sud-est. Ils témoignent de la présence de parcelles laniérées présentant deux directions principales, l'une du nord-est au sud-ouest et l'autre du nord-ouest au sud-est, avant le remembrement des années soixante-dix. Ainsi, trois portions de chemin et vingt et un tronçons de fossés (appartenant à une douzaine de fossés) ont été repérés sur l'ensemble de l'emprise du diagnostic.

En partie haute du diagnostic, sur le replat, un large fossé au profil en « V » d'environ un mètre d'épaisseur et deux mètres de large, se développe hors de l'emprise vers le nord-ouest et le nord-est de la tranchée Tr 01. Le comblement de ce fossé d'enclos, bien que présentant quelques éléments céramiques de l'Âge du Bronze, a été daté par le radiocarbone qui donne une date calibrée comprise dans un intervalle entre 702 et 892 de notre ère, soit une utilisation durant le Haut Moyen-Âge. Sa morphologie et son attribution chronologique permettent de le rapprocher d'enclos curvilignes, comme celui fouillé sur le site de Beaugard à Moréac (Peter 2019, Crowch 2016), l'enclos de la Bourdonnaye à Lanouée (56) (Brissoto 2019) ou encore pour le département de l'Ille et Vilaine l'enclos altomédiéval de la Touche Belle à La Guerche de Bretagne (Rio 2016). Cette datation altomédiévale de ce fossé n'est pas incompatible avec l'attribution chronologique du mobilier céramique, puisqu'il recoupe largement une zone d'« épandage » de mobilier céramique de l'Âge du Bronze localisée à l'ouest de la tranchée Tr 01.

Cinq structures de combustions ont été repérées. Trois d'entre-elles, circulaires, se situent dans la partie sud-est de l'emprise, en bas de pente. Deux autres, allongées, se trouvent en haut de la parcelle, côté ouest. Ces structures n'ont livré aucun mobilier archéologique. Un charbon provenant du premier ensemble de fosses a été daté et donne une attribution comprise entre 250 et 410 de notre ère, la plaçant au Bas-Empire. La date obtenue sur une des fosses du secteur nord-ouest donne quant à elle un intervalle compris entre 50 avant et 120 après notre ère. Aucune autre structure n'a pu être rattachée d'un point de vue typologique ou chronologique à ces deux petits ensembles, même si les quelques segments de fossés non datés dans les tranchées Tr 04 et Tr 05 pourraient appartenir cet ensemble du Haut Empire.

La période la plus représentée sur le site de « Nautiparc2 » est incontestablement l'Âge du Bronze, à travers deux zones à forte concentration en mobilier céramique localisées dans les tranchées Tr 01 et Tr 07 et des structures en creux qui se développent sur une grande partie de la surface emprise. Sur les treize tranchées ouvertes, seules deux n'ont pas livré de mobilier céramique attribué à l'Âge du Bronze (la tranchée Tr 05 située la plus à l'ouest de la zone diagnostiquée et la tranchée Tr 10). Un grand enclos, à l'intérieur duquel se trouve un ensemble de trous de poteau appartenant à un ou plusieurs bâtiments (en tranchée Tr 08) et plusieurs autres structures fossoyées attestent d'une occupation du site durant les étapes ancienne et finale de l'Âge du Bronze. Un enclos curviligne situé au nord de la tranchée Tr 11, mais dont l'attribution chronologique n'est pas assurée, pourrait également fonctionner avec ces vestiges.

Bien que fragmentaire, le mobilier céramique récolté atteste du caractère domestique de l'occupation protohistorique du site.

Le site présente donc un indéniable potentiel archéologique. La fouille permettra de préciser les attributions chronologiques et fonctionnelles de cette occupation diachronique perçue au diagnostic.  
En outre, la parcelle ZE 0693 située au nord et hors de l'emprise du projet, recèle un site dont la morphologie du fossé d'enclos mis au jour lors du diagnostic laisse aussi présumer de son importance.

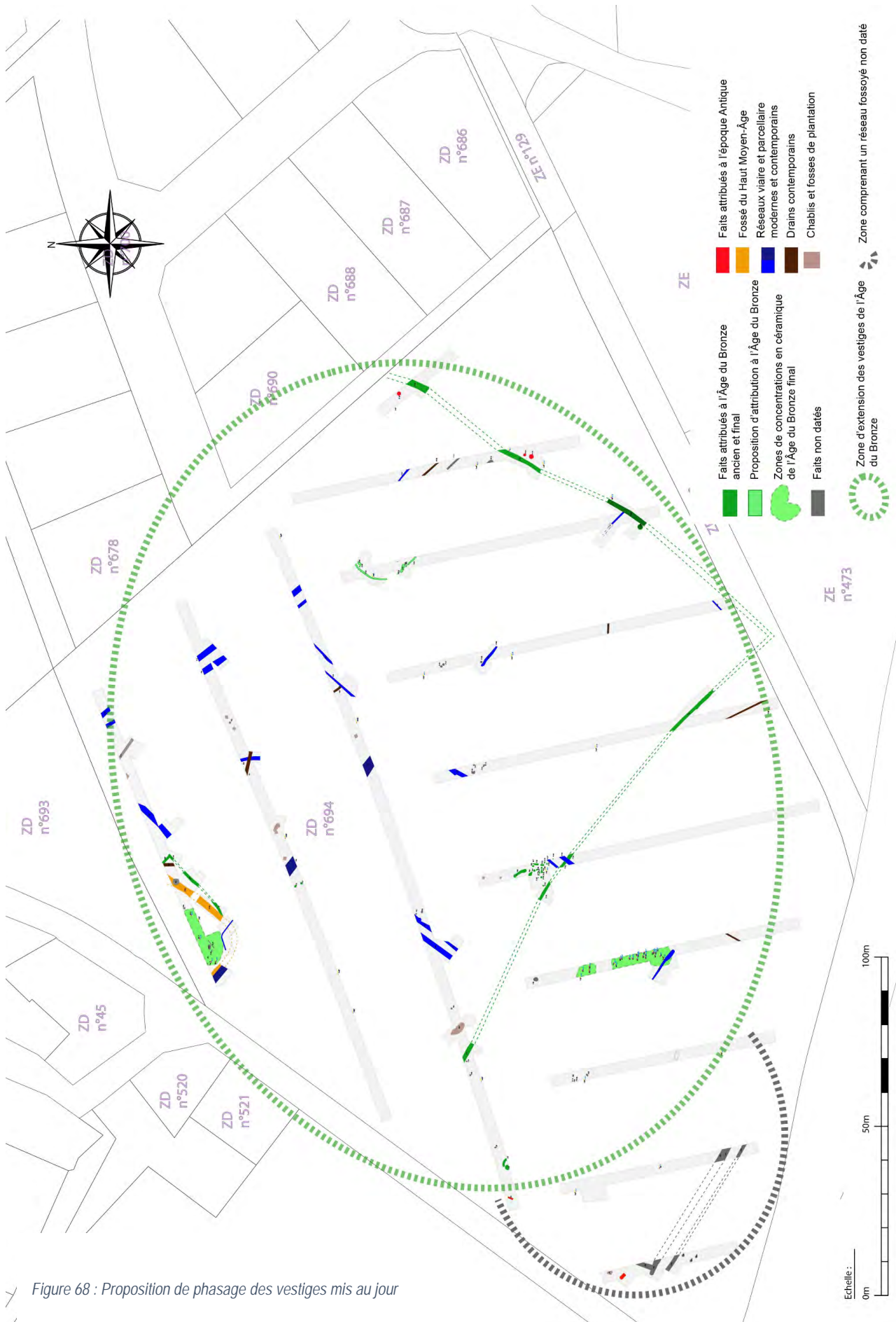


Figure 68 : Proposition de phasage des vestiges mis au jour



## RÉFÉRENCES BIBLIOGRAPHIQUES

AGOGUÉ O, 2017, *Baden (Morbihan) - Port-Blanc Un établissement de l'Antiquité tardive au cœur du Golfe du Morbihan*, Rapport de diagnostic archéologique, service départemental d'archéologie du Morbihan, SRA Bretagne, 63 p.

BLANCHET S., 2010, *Lamballe, Côtes-d'Armor, ZAC de la Tourelle. Une occupation de longue durée sur le plateau de la Tourelle*, Rapport final d'opération, Cesson-Sévigné, Inrap Grand- Ouest-SRA Bretagne, 625 p.

BLANCHET S., 2013, *Plouedern (Finistère) - Leslouc'h. Une longue occupation de la protohistoire au Moyen Âge*, Rapport final d'opération, Cesson-Sévigné, Inrap Grand- Ouest-SRA Bretagne, 470 p.

BRISOTTO V., 2019, *Baden (56). Toulindac*, RFO - Diagnostic archéologique, SRA Bretagne : Inrap Grand-Ouest, 37 p.

BRISOTTO V., 2010, *Lanouée (56). La Bourdonnaie*, RFO - Diagnostic archéologique, SRA Bretagne : Inrap Grand-Ouest, 36 p.

CROWCH A, 2017, *Morbihan. Déviation de la RD767 Locminé. Tranche opérationnelle 2, communes de Moréac et Bignan - Occupations de l'âge du Bronze à nos jours et indices de paléoméallurgie au sein du bassin locminois*, Rapport de diagnostic archéologique, Service départemental d'archéologie du Morbihan, 340 p.

ESCATS Y. dir. 2013, *Lannion, Côtes-d'Armor, Z. A. de Bel Air : une vaste enceinte et deux tumulus de l'âge du Bronze*, rapport final d'opération, Inrap, Rennes, service régional de l'Archéologie de Bretagne, 501 p.

HAMON et alii, 2017 – C. Hamon, V. Brisotto, A. Milleville, C. Monchablon, L. Aubry, S. Cousseran-NÉRÉ, L. Jaccottey, K. Donnart, G. Fronteau et J.-L. Gisclon, *Évolution des meules va-et-vient du Néolithique à l'âge du Fer en France : exploitation de la base de données du PCR Meule*, dans : *Les meules du Néolithique à l'époque médiévale : technique, culture, diffusion*, p. 285-300 (43<sup>e</sup> suppl. à la RAE), © SAE 2017

HAMON, N.-G., 2001, –Sondages de l'enceinte du Val Aubin à Lamballe (Côtes-d'Armor), rapport de sondages d'évaluation, Rennes, SRA de Bretagne, 25p.

JUHEL L. dir., 2018, *Mané Mourin (Le Bono, Morbihan), un cimetière du Bronze ancien*, Rapport final d'opérations, fouille archéologique, 322 p.

LAMBERT G., 2006 – *Dendrochronologie, histoire et archéologie, modélisation du temps, Le logiciel Dendron II et le projet Historic Oaks*, HDR, Vol. 1, 152 p., Vol. 2, 206 p.

LE ROUX G., 2013, *Les occupations de l'âge du Bronze et du haut Moyen-Âge, ZAC du Pont aux Chèvres, Bédée, (Ille-et-Vilaine) : rapport de fouilles Inrap GO*, 318 p.

LEVAN Mélanie, CAUDAN (56). *ZAC de Lenn Sec'h, lot 1 : une succession d'édifices circulaires ; un hameau du Bronze final. Rapport de fouille.opération de sauvegarde par l'étude*, RAP03231, Service régional de l'archéologie de Bretagne, 367 p.

MENTELE S. (dir), 2006 - *Plouedern, Leslouc'h (Finistère), un site d'habitat du Bronze ancien-moyen. Rapport de Diagnostic*, INRAP-SRA de Bretagne, 2 volumes.

MENTELE S. (dir), 2013 – *Plouisy (Côtes-d'Armor) « Z.A.C de Kérisac »*, rapport de fouille archéologique, Inrap, Rennes, service régional de l'Archéologie de Bretagne, 67 p.

PETER Christian, 2019, *Moréac (56). Beauregard : L'occupation ancienne de Moréac - Beauregard Grand enclos protohistorique, établissement rural enclos et atelier de sidérurgie Médiévaux (VII<sup>ème</sup>-XII<sup>ème</sup>)*. Rapport de fouilles, Vol 1, 304 p.

RIO P., 2016, *La Guerche de Bretagne (35), Touche Belle : un enclos Altomédiéval en Bretagne occidentale. Rapport de fouille*, Archéoloire, SRA Bretagne, 187 p.

SICARD S., 2015, *Baden (56), Rue de Lannic. Des structures de l'âge du Bronze et du Gallo-romain*, RFO – Diagnostic archéologique, SRA Bretagne : Inrap Grand-Ouest, 70 p.

TINEVEZ J.-Y., QUESNEL L., MARCOUX N., DONNART K., BARDEL V., GAUTIER M., BERNARD V., FONTUGNE M., VAN DER PLICHT J., OBERLIN C., 2011 – Le site de La Rochette à Mauron (Morbihan) : les multiples occupations d'un promontoire », *Revue archéologique de l'Ouest*, n° 28, p. 71-148.

TORON S., 2017, *Baden, Rue du Lannic, Installation funéraire à l'Âge du Bronze et occupation domestique de La Tène au début de l'époque romaine*, Rapport Final d'Opération de fouille archéologique, Eveha, SRA Bretagne.

## LISTE DES FIGURES

<b>Figure 1 : Situation géographique de l'emprise du projet d'extension de la ZAC « Nautiparc 2 »</b>	<b>20</b>
<b>Figure 2 : Implantation des tranchées du diagnostic sur le plan cadastral</b>	<b>21</b>
<b>Figure 3 : Vue drone vue de l'opération de diagnostic vers le sud-ouest, en arrière-plan, le bourg de Baden</b>	<b>22</b>
<b>Figure 4 : Profils altimétriques des parcelles comprises dans l'emprise du diagnostic</b>	<b>23</b>
<b>Figure 5 : Extrait de la carte géologique, feuille de Vannes au 1/ 80 000 (©BRGM)</b>	<b>23</b>
<b>Figure 6 : Environnement archéologique, d'après la carte archéologique nationale. Source Géobretagne ©, DRAC Bretagne</b>	<b>24</b>
<b>Figure 7 : Illustration de quelques séquences stratigraphiques à travers des LOG des tranchées 1,2,3,4,6,8,10,12 et 13</b>	<b>25</b>
<b>Figure 8 : Tableau récapitulatifs du nombre anomalies pédologiques d'origine anthropique ou naturelle repérées lors du diagnostic.</b>	<b>26</b>
<b>Figure 9 : Plan général des tranchées du diagnostic et des vestiges archéologiques sur fond de cadastre napoléonien de 1852 et sur photo aérienne de 1960</b>	<b>26</b>
<b>Figure 10 : Plan général des vestiges et de l'ensemble des anomalies géoréférencées.</b>	<b>27</b>
<b>Figure 11 : Exemples de structures contemporaines, drains et zone de décharges, de la fin du XXème siècle.</b>	<b>28</b>
<b>Figure 12 : Localisations des zones de concentration en céramique dans les tranchées Tr01 et Tr07</b>	<b>29</b>
<b>Figure 13 : Plan de localisation des structures archéologiques de l'Âge du Bronze</b>	<b>30</b>
<b>Figure 14 : Vues des différentes coupes du fossé F37 (=F104=F113) et relevés des coupes dans les tranchées Tr 03 et Tr 08</b>	<b>31</b>
<b>Figure 15 : F136, Tr13, coupe SE / NO</b>	<b>32</b>
<b>Figure 16 : extrait du RFO de la fouille Leslouc'h à Plouedern (29) (Fouille S. Blanchet INRAP 2008) « Phasage chronologique des fossés » © Inrap, Stéphane Jean. En violet au centre l'enclos 1.</b>	<b>33</b>
<b>Figure 17 : F126, Tranchée Tr13, relevés en plan et coupe ; détail de la céramique de l'US71 ; vue de la coupe nord-sud</b>	<b>33</b>
<b>Figure 18 : Localisation des fossés F07 et F149, dans la tranchée Tr01</b>	<b>34</b>
<b>Figure 19 : Tranchée 8, localisation des structures excavées et vue aérienne de la zone</b>	<b>35</b>
<b>Figure 20 : F93, Tr08 coupe et plan, vue de la coupe nord-ouest / sud-est</b>	<b>36</b>
<b>Figure 21 : F101, Tr08, vue de la coupe sud / nord, coupe et plan</b>	<b>36</b>
<b>Figure 22 : F102 vue de la coupe, vers le nord</b>	<b>37</b>
<b>Figure 23 : F144, vue vers l'ouest et plan et coupe nord / sud.</b>	<b>37</b>
<b>Figure 24 : Tranchée 11, localisation des structures et du fossé d'enclos en arc de cercle et vue aérienne de la zone</b>	<b>38</b>
<b>Figure 25 : Fossé F120 coupe sud-est / nord-est et vue vers le sud-ouest des structures F155, F154 et F120</b>	<b>39</b>
<b>Figure 26 : F159, vue vers le nord-ouest.</b>	<b>39</b>
<b>Figure 27 : F154, plan et coupe sud-est / nord-ouest</b>	<b>39</b>
<b>Figure 28 : Vues des Faits F17 et F18, dans la tranchée Tr02</b>	<b>40</b>
<b>Figure 29 : localisation des vestiges attribués à l'âge du Bronze, dans la tranchée Tr 03</b>	<b>40</b>
<b>Figure 30 : F26, Tr 03 vue de la coupe et relevés en coupe (est-ouest) et en plan</b>	<b>41</b>
<b>Figure 31 : Tranchée Tr 03, F35 et F36 relevés de coupes et plan et vues des coupes sud-est / nord-ouest</b>	<b>41</b>
<b>Figure 32 : Localisation des fosses F25 et F77</b>	<b>42</b>
<b>Figure 33 : Coupe et plan de la fosse F25</b>	<b>43</b>
<b>Figure 34 : Vues de la fosse F77, tranchée05</b>	<b>44</b>
<b>Figure 35 : Localisation des structures de combustion F133, F134 et F135</b>	<b>44</b>
<b>Figure 36 : F135, Tranchée Tr13, vue avant fouille et de l'arrêt sur le niveau de charbon ; relevés en coupe et en plan</b>	<b>45</b>
<b>Figure 37 : F133 La partie nord-est a été entamée lors de la coupe du fossé F132</b>	<b>46</b>
<b>Figure 38 : F134, fosse aux parois rubéfiées similaire à F133 et F135</b>	<b>46</b>
<b>Figure 39 : Localisation du Fossé F153, de l'emplacement des coupes mécaniques et relevés des trois coupes.</b>	<b>47</b>
<b>Figure 40 : F153, coupe mécanique n°2 en cours</b>	<b>48</b>
<b>Figure 41 : Vues des trois coupes pratiquées dans le fossé F153</b>	<b>48</b>
<b>Figure 42 : Vues des différentes étapes de nettoyage et de fouille de F05</b>	<b>49</b>

<b>Figure 43 : Plan général du site, le réseau viaire et parcellaire récent apparaît en bleu</b>	<b>50</b>
<b>Figure 44 : Localisation du chemin F19 sur fond de lever cadastral de 1852</b>	<b>50</b>
<b>Figure 45 : Vue du chemin F19 empierré, en plan dans la tranchée Tr02 et en coupe</b>	<b>51</b>
<b>Figure 46 : Superposition de levers du diagnostic et du plan cadastral de 1852, avec le chemin F19 en rouge</b>	<b>51</b>
<b>Figure 47 : Localisation des faits F08 F13, F14, F50 et F51</b>	<b>52</b>
<b>Figure 48 : Vues vers l'est des fossés F13 et F14. Le fossé F14, est bordé de blocs côté est.</b>	<b>53</b>
<b>Figure 49 : Les Fossés F50 et F51, vue vers le sud-ouest</b>	<b>54</b>
<b>Figure 50 : Vue générale F151 et F152 vue vers l'est</b>	<b>55</b>
<b>Figure 51 : Vue de détail de l'angle de F151, vue vers le sud est</b>	<b>55</b>
<b>Figure 52 : Vue du sondage au sud de F151</b>	<b>56</b>
<b>Figure 53 : Détail du sondage au sud de F151</b>	<b>56</b>
<b>Figure 54 : Localisation de F151 sur le cadastre napoléonien de 1852</b>	<b>56</b>
<b>Figure 55 : Trou de poteau F115, tranchée:Tr 09 plan et coupe et trous de poteau F160 et F116, Tranchée Tr 10</b>	<b>57</b>
<b>Figure 56 : F152, vue générale vers l'ouest et vue rapprochée vers le nord-ouest</b>	<b>58</b>
<b>Figure 57 : Localisations des faits non datés des tranchées Tr 04 et Tr 05</b>	<b>59</b>
<b>Figure 58 : Tranché 5, relevé en plan et coupe des faits F81 et F83</b>	<b>60</b>
<b>Figure 59 : Décompte et poids des céramiques des tranchées 01, 02, 03, 04, 06, 07, 08, 09, 11, 12 et 13</b>	<b>61</b>
<b>Figure 60 : Mobilier céramique de l'âge du Bronze (tranchées 1, 3, 7 et 8)</b>	<b>63</b>
<b>Figure 61 : Mobilier céramique de l'âge du Bronze (tranchées 11 et 13)</b>	<b>69</b>
<b>Figure 62 : LIT002 vue de la face supérieure</b>	<b>73</b>
<b>Figure 63 : Dessin de l'élément de mouture LIT002</b>	<b>73</b>
<b>Figure 64 : LIT003, vue de chacune des deux faces</b>	<b>74</b>
<b>Figure 65 : LIT005, vues de la face supérieure</b>	<b>74</b>
<b>Figure 66 : Dessin de l'élément de macro-outillage LIT005</b>	<b>75</b>
<b>Figure 67 : Charbon sélectionné pour une datation.</b>	<b>76</b>
<b>Figure 68 : Proposition de phasage des vestiges mis au jour</b>	<b>79</b>

## ANNEXES



**Beta Analytic, Inc.**  
4985 SW 74<sup>th</sup> Court  
Miami, FL 33155 USA  
Tel: 305-667-5167  
Fax: 305-663-0964  
[info@betalabservices.com](mailto:info@betalabservices.com)

ISO/IEC 17025:2017-Accredited Testing Laboratory

26 juillet 2021

Miss Astrid Suaud-Preault  
Département du Morbihan  
2 rue de Saint Tropez  
Vannes Cedex, 56000  
France

RE : Résultats de datation au radiocarbone

Cher/Chère collègue

Veuillez trouver en pièce jointe les résultats de datation au radiocarbone pour les cinq échantillons récemment envoyés. Comme d'habitude, la méthode d'analyse est indiquée sur le rapport avec les résultats et les données de calibration sont fournies lorsqu'elles sont disponibles. Les âges radiocarbone conventionnels ont tous été corrigés pour les effets de fractionnement total et le cas échéant, la calibration a été effectuée en utilisant les bases de données de calibration 2020 (citées sur les pages du graphique).

Votre espace en ligne contient le tableau des résultats, une option de téléchargement PDF, des photos, une option de téléchargement au format .csv et un rapport d'assurance qualité indiquant les valeurs attendues par rapport aux valeurs mesurées pour 3-5 échantillons test analysés en même temps que vos échantillons.

Les résultats reportés sont accrédités selon la norme ISO / IEC 17025:2017, PJA # 59423 et toutes les analyses ont été réalisées dans les accélérateurs de notre laboratoire. Beta n'étant pas un laboratoire dédié à l'enseignement, seuls des professionnels diplômés et formés à des protocoles stricts selon la norme ISO / IEC 17025:2017, programme PJA # 59423 ont participé aux analyses.

Les âges radiocarbone conventionnels et les sigmas sont arrondis à la décennie la plus proche selon les conventions de la Conférence internationale sur le radiocarbone de 1977. Lorsque les statistiques de comptage produisent des sigmas inférieurs à +/- 30 ans, une valeur conservative de +/- 30 BP est citée pour le résultat. Les valeurs d13C indiquées ont été mesurées séparément dans un IRMS (spectromètre de masse de rapport isotopique). Les valeurs d13C obtenues par AMS ne comprennent pas les effets de fractionnement naturels, chimiques et induits par l'AMS.

Lors de l'interprétation des résultats, merci de prendre en compte tous les échanges que vous avez eus avec notre équipe au sujet de vos échantillons.

Nous vous remercions pour le prépaiement des analyses. N'hésitez pas à nous contacter pour toute éventuelle question ou tout complément d'informations concernant vos résultats.

Cordialement,

A handwritten signature in black ink that reads "Chris Patrick".

Digital signature on file

Chris Patrick  
Vice President of Laboratory Operations



**Beta Analytic, Inc.**  
 4985 SW 74<sup>th</sup> Court  
 Miami, FL 33155 USA  
 Tel: 305-667-5167  
 Fax: 305-663-0964  
[info@betalabservices.com](mailto:info@betalabservices.com)

ISO/IEC 17025:2017-Accredited Testing Laboratory

## RAPPORT D'ANALYSE DE DATATION AU RADIOCARBONE

Astrid Suaud-Preault

Date du rapport : 26 juillet 2021

Département du Morbihan

Matériau reçu le : 12 juillet 2021

Informations et données échantillon	Code échantillon	Age radiocarbone conventionnel (BP) ou Pourcentage de carbone moderne (pMC) & Isotopes stables
-------------------------------------	------------------	--

Beta - 597383	Baden 2020-357_47PRE03	5980 +/- 30 BP IRMS δ13C: -27.6 ‰
---------------	------------------------	-----------------------------------

(94.6%)	4952 - 4784 cal BC(6901 - 6733 cal BP)
( 0.8%)	4984 - 4974 cal BC(6933 - 6923 cal BP)

Matériau envoyé par le client : Woody Material  
 Prétraitement : (matériau carbonisé) acide/alcali/acide  
 Matériau analysé : Matériau carbonisé  
 Service d'analyse : Service AMS-STANDARD  
 % de carbone moderne : 47.50 +/- 0.18 pMC  
 Fraction de carbone moderne : 0.4750 +/- 0.0018  
 D14C: -525.00 +/- 1.77 ‰  
 Δ14C: -529.06 +/- 1.77 ‰(1950:2021)  
 Age radiocarbone mesuré : (sans correction δ13C): 6020 +/- 30 BP  
 Calibration : BetaCal4.20: HPD method: INTCAL20

Les résultats sont certifiés ISO / IEC-17025: 2005. Nous n'avons eu recours à aucune sous-traitance et aucun travail étudiant. Toutes les analyses ont été réalisées par Beta dans ses 4 spectromètres de masse par accélérateur NEC et 4 spectromètres de masse de rapport isotopique (IRMS) Thermo. L' « âge radiocarbone conventionnel » a été calculé à l'aide de la demi-vie de Libby (5568 ans) ; il est corrigé pour le fractionnement isotopique total et est utilisé pour la calibration, le cas échéant. L'âge est arrondi à la décennie la plus proche et est reporté en années radiocarbone « avant le présent » (BP), où le « présent » = 1950 AD. Les résultats supérieurs à la référence moderne sont reportés comme pourcentage de carbone moderne (pMC). La norme de référence moderne correspond à 95% de la signature C14 du NIST SRM-4990C (acide oxalique). Les erreurs citées correspondent à des statistiques de comptage à 1 sigma. Les sigmas calculés inférieurs à 30 BP sur l'âge radiocarbone conventionnel sont arrondis de façon conservatrice à 30. Les valeurs δ13C correspondent au matériau en lui-même (et non à la valeur δ13C de l'AMS). Les valeurs δ13C et δ15N sont relatives à VPDB-1. Les références pour les calibrations sont citées en bas des pages contenant les graphiques de calibration.



**Beta Analytic**  
TESTING LABORATORY

**Beta Analytic, Inc.**  
4985 SW 74<sup>th</sup> Court  
Miami, FL 33155 USA  
Tel: 305-667-5167  
Fax: 305-663-0964  
[info@betalabservices.com](mailto:info@betalabservices.com)

ISO/IEC 17025:2017-Accredited Testing Laboratory

## RAPPORT D'ANALYSE DE DATATION AU RADIOCARBONE

Astrid Suaud-Preault

Date du rapport : 26 juillet 2021

Département du Morbihan

Matériau reçu le : 12 juillet 2021

Informations et données  
échantillon

Code échantillon

Age radiocarbone conventionnel (BP) ou  
Pourcentage de carbone moderne (pMC) &  
Isotopes stables

Beta - 597384

Baden 2020-357\_52PRE04

3610 +/- 30 BP

IRMS δ13C: -25.7 ‰

(93.1%)  
( 2.3%)

2037 - 1886 cal BC(3986 - 3835 cal BP)  
2115 - 2099 cal BC(4064 - 4048 cal BP)

Matériau envoyé par le client : Woody Material  
Prétraitement : (matériau carbonisé) acide/alcali/acide  
Matériau analysé : Matériau carbonisé  
Service d'analyse : Service AMS-STANDARD  
% de carbone moderne : 63.80 +/- 0.24 pMC  
Fraction de carbone moderne : 0.6380 +/- 0.0024  
D14C: -361.99 +/- 2.38 ‰  
Δ14C: -367.45 +/- 2.38 ‰(1950:2021)  
Age radiocarbone mesuré : (sans correction δ13C): 3620 +/- 30 BP  
Calibration : BetaCal4.20: HPD method: INTCAL20

Les résultats sont certifiés ISO / IEC-17025: 2005. Nous n'avons eu recours à aucune sous-traitance et aucun travail étudiant. Toutes les analyses ont été réalisées par Beta dans ses 4 spectromètres de masse par accélérateur NEC et 4 spectromètres de masse de rapport isotopique (IRMS) Thermo. L' « âge radiocarbone conventionnel » a été calculé à l'aide de la demi-vie de Libby (5568 ans) ; il est corrigé pour le fractionnement isotopique total et est utilisé pour la calibration, le cas échéant. L'âge est arrondi à la décennie la plus proche et est reporté en années radiocarbone « avant le présent » (BP), où le « présent » = 1950 AD. Les résultats supérieurs à la référence moderne sont reportés comme pourcentage de carbone moderne (pMC). La norme de référence moderne correspond à 95% de la signature C14 du NIST SRM-4990C (acide oxalique). Les erreurs citées correspondent à des statistiques de comptage à 1 sigma. Les sigmas calculés inférieurs à 30 BP sur l'âge radiocarbone conventionnel sont arrondis de façon conservatrice à 30. Les valeurs δ13C correspondent au matériau en lui-même (et non à la valeur δ13C de l'AMS). Les valeurs δ13C et δ15N sont relatives à VPDB-1. Les références pour les calibrations sont citées en bas des pages contenant les graphiques de calibration.



**Beta Analytic, Inc.**  
 4985 SW 74<sup>th</sup> Court  
 Miami, FL 33155 USA  
 Tel: 305-667-5167  
 Fax: 305-663-0964  
[info@betalabservices.com](mailto:info@betalabservices.com)

ISO/IEC 17025:2017-Accredited Testing Laboratory

## RAPPORT D'ANALYSE DE DATATION AU RADIOCARBONE

Astrid Suaud-Preault

Date du rapport : 26 juillet 2021

Département du Morbihan

Matériau reçu le : 12 juillet 2021

Informations et données échantillon	Code échantillon	Age radiocarbone conventionnel (BP) ou Pourcentage de carbone moderne (pMC) & Isotopes stables
-------------------------------------	------------------	--

Beta - 597383	Baden 2020-357_47PRE03	5980 +/- 30 BP IRMS δ13C: -27.6 ‰
---------------	------------------------	-----------------------------------

(94.6%)	4952 - 4784 cal BC(6901 - 6733 cal BP)
( 0.8%)	4984 - 4974 cal BC(6933 - 6923 cal BP)

Matériau envoyé par le client : Woody Material  
 Prétraitement : (matériau carbonisé) acide/alcali/acide  
 Matériau analysé : Matériau carbonisé  
 Service d'analyse : Service AMS-STANDARD  
 % de carbone moderne : 47.50 +/- 0.18 pMC  
 Fraction de carbone moderne : 0.4750 +/- 0.0018  
 D14C: -525.00 +/- 1.77 ‰  
 Δ14C: -529.06 +/- 1.77 ‰(1950:2021)  
 Age radiocarbone mesuré : (sans correction δ13C): 6020 +/- 30 BP  
 Calibration : BetaCal4.20: HPD method: INTCAL20

Les résultats sont certifiés ISO / IEC-17025: 2005. Nous n'avons eu recours à aucune sous-traitance et aucun travail étudiant. Toutes les analyses ont été réalisées par Beta dans ses 4 spectromètres de masse par accélérateur NEC et 4 spectromètres de masse de rapport isotopique (IRMS) Thermo. L' « âge radiocarbone conventionnel » a été calculé à l'aide de la demi-vie de Libby (5568 ans) ; il est corrigé pour le fractionnement isotopique total et est utilisé pour la calibration, le cas échéant. L'âge est arrondi à la décennie la plus proche et est reporté en années radiocarbone « avant le présent » (BP), où le « présent » = 1950 AD. Les résultats supérieurs à la référence moderne sont reportés comme pourcentage de carbone moderne (pMC). La norme de référence moderne correspond à 95% de la signature C14 du NIST SRM-4990C (acide oxalique). Les erreurs citées correspondent à des statistiques de comptage à 1 sigma. Les sigmas calculés inférieurs à 30 BP sur l'âge radiocarbone conventionnel sont arrondis de façon conservatrice à 30. Les valeurs δ13C correspondent au matériau en lui-même (et non à la valeur δ13C de l'AMS). Les valeurs δ13C et δ15N sont relatives à VPDB-1. Les références pour les calibrations sont citées en bas des pages contenant les graphiques de calibration.





**Beta Analytic**  
TESTING LABORATORY

**Beta Analytic, Inc.**  
4985 SW 74<sup>th</sup> Court  
Miami, FL 33155 USA  
Tel: 305-667-5167  
Fax: 305-663-0964  
[info@betalabservices.com](mailto:info@betalabservices.com)

ISO/IEC 17025:2017-Accredited Testing Laboratory

## RAPPORT D'ANALYSE DE DATATION AU RADIOCARBONE

Astrid Suaud-Preault

Date du rapport : 26 juillet 2021

Département du Morbihan

Matériau reçu le : 12 juillet 2021

Informations et données échantillon	Code échantillon	Age radiocarbone conventionnel (BP) ou Pourcentage de carbone moderne (pMC) & Isotopes stables
-------------------------------------	------------------	--

Beta - 597385	Baden 2020-357_57PRE06	2880 +/- 30 BP IRMS δ13C: -22.8 ‰
(85.5%)	1130 - 972 cal	BC(3079 - 2921 cal BP)
( 3.6%)	1197 - 1173 cal	BC(3146 - 3122 cal BP)
( 3.5%)	956 - 932 cal	BC(2905 - 2881 cal BP)
( 2.8%)	1161 - 1144 cal	BC(3110 - 3093 cal BP)

Matériau envoyé par le client : Woody Material  
Prétraitement : (matériau carbonisé) acide/alcali/acide  
Matériau analysé : Matériau carbonisé  
Service d'analyse : Service AMS-STANDARD  
% de carbone moderne : 69.87 +/- 0.26 pMC  
Fraction de carbone moderne : 0.6987 +/- 0.0026  
D14C: -301.29 +/- 2.61 ‰  
Δ14C: -307.27 +/- 2.61 ‰(1950:2021)  
Age radiocarbone mesuré : (sans correction d13C): 2840 +/- 30 BP  
Calibration : BetaCal4.20: HPD method: INTCAL20

Les résultats sont certifiés ISO / IEC-17025: 2005. Nous n'avons eu recours à aucune sous-traitance et aucun travail étudiant. Toutes les analyses ont été réalisées par Beta dans ses 4 spectromètres de masse par accélérateur NEC et 4 spectromètres de masse de rapport isotopique (IRMS) Thermo. L' « âge radiocarbone conventionnel » a été calculé à l'aide de la demi-vie de Libby (5568 ans) ; il est corrigé pour le fractionnement isotopique total et est utilisé pour la calibration, le cas échéant. L'âge est arrondi à la décennie la plus proche et est reporté en années radiocarbone « avant le présent » (BP), où le « présent » = 1950 AD. Les résultats supérieurs à la référence moderne sont reportés comme pourcentage de carbone moderne (pMC). La norme de référence moderne correspond à 95% de la signature C14 du NIST SRM-4990C (acide oxalique). Les erreurs citées correspondent à des statistiques de comptage à 1 sigma. Les sigmas calculés inférieurs à 30 BP sur l'âge radiocarbone conventionnel sont arrondis de façon conservatrice à 30. Les valeurs d13C correspondent au matériau en lui-même (et non à la valeur d13C de l'AMS). Les valeurs d13C et d15N sont relatives à VPDB-1. Les références pour les calibrations sont citées en bas des pages contenant les graphiques de calibration.



**Beta Analytic, Inc.**  
 4985 SW 74<sup>th</sup> Court  
 Miami, FL 33155 USA  
 Tel: 305-667-5167  
 Fax: 305-663-0964  
[info@betalabservices.com](mailto:info@betalabservices.com)

ISO/IEC 17025:2017-Accredited Testing Laboratory

## RAPPORT D'ANALYSE DE DATATION AU RADIOCARBONE

Astrid Suaud-Preault

Date du rapport : 26 juillet 2021

Département du Morbihan

Matériau reçu le : 12 juillet 2021

Informations et données échantillon	Code échantillon	Age radiocarbone conventionnel (BP) ou Pourcentage de carbone moderne (pMC) & Isotopes stables
-------------------------------------	------------------	--

Beta - 597386	Baden 2020-357_70PRE07	1720 +/- 30 BP IRMS δ13C: -24.5 o/oo
---------------	------------------------	--------------------------------------

(67.6%)	310 - 411 cal AD(1640 - 1539 cal BP)
(27.8%)	250 - 295 cal AD(1700 - 1655 cal BP)

Matériau envoyé par le client : Woody Material  
 Prétraitement : (matériau carbonisé) acide/alcali/acide  
 Matériau analysé : Matériau carbonisé  
 Service d'analyse : Service AMS-STANDARD  
 % de carbone moderne : 80.73 +/- 0.30 pMC  
 Fraction de carbone moderne : 0.8073 +/- 0.0030  
 D14C: -192.75 +/- 3.01 o/oo  
 Δ14C: -199.65 +/- 3.01 o/oo(1950:2021)  
 Age radiocarbone mesuré : (sans correction d13C): 1710 +/- 30 BP  
 Calibration : BetaCal4.20: HPD method: INTCAL20

Les résultats sont certifiés ISO / IEC-17025: 2005. Nous n'avons eu recours à aucune sous-traitance et aucun travail étudiant. Toutes les analyses ont été réalisées par Beta dans ses 4 spectromètres de masse par accélérateur NEC et 4 spectromètres de masse de rapport isotopique (IRMS) Thermo. L' « âge radiocarbone conventionnel » a été calculé à l'aide de la demi-vie de Libby (5568 ans) ; il est corrigé pour le fractionnement isotopique total et est utilisé pour la calibration, le cas échéant. L'âge est arrondi à la décennie la plus proche et est reporté en années radiocarbone « avant le présent » (BP), où le « présent » = 1950 AD. Les résultats supérieurs à la référence moderne sont reportés comme pourcentage de carbone moderne (pMC). La norme de référence moderne correspond à 95% de la signature C14 du NIST SRM-4990C (acide oxalique). Les erreurs citées correspondent à des statistiques de comptage à 1 sigma. Les sigmas calculés inférieurs à 30 BP sur l'âge radiocarbone conventionnel sont arrondis de façon conservatrice à 30. Les valeurs d13C correspondent au matériau en lui-même (et non à la valeur d13C de l'AMS). Les valeurs d13C et d15N sont relatives à VPDB-1. Les références pour les calibrations sont citées en bas des pages contenant les graphiques de calibration.

BetaCal 4.20

## Âge radiocarbone calibré en années calendaires

(Fourchettes de probabilité les plus élevées : INTCAL20)

(Variables:  $\delta^{13}C = -27.6$  o/oo)

Code laboratoire **Beta-597383**

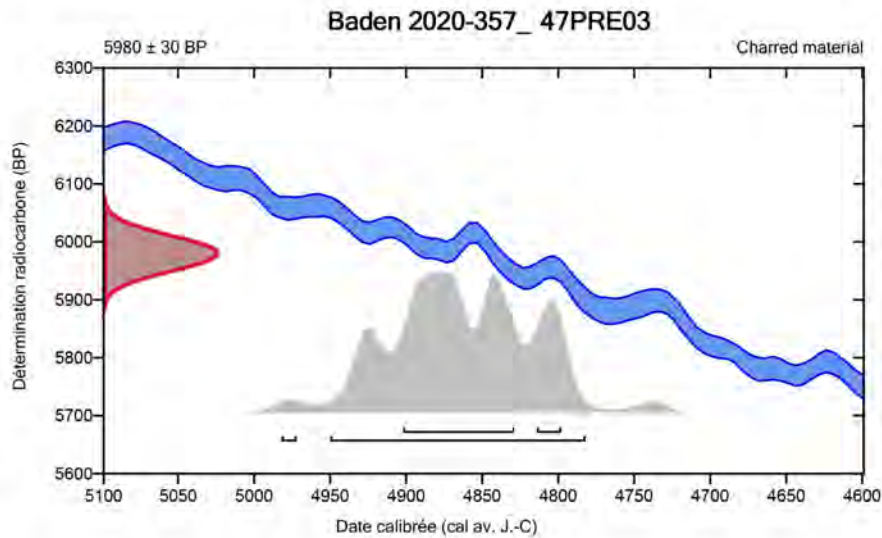
Âge radiocarbone conventionnel **5980 ± 30 BP**

95.4% probabilité

(94.6%) 4952 - 4784 cal av. J.-C (6901 - 6733 cal BP)  
(0.8%) 4984 - 4974 cal av. J.-C (6933 - 6923 cal BP)

68.2% probabilité

(56.7%) 4904 - 4831 cal av. J.-C (6853 - 6780 cal BP)  
(11.5%) 4816 - 4800 cal av. J.-C (6765 - 6749 cal BP)



### Base de données utilisée

INTCAL20

### Références

#### Références à la méthode de probabilité

Bronk Ramsey, C. (2009). Bayesian analysis of radiocarbon dates. *Radiocarbon*, 51(1), 337-360.

#### Références à la base de données INTCAL20

Reimer, et al., 2020, *Radiocarbon* 62(4):725-757.

### Beta Analytic Radiocarbon Dating Laboratory

4985 S.W. 74th Court, Miami, Florida 33155 • Tel: (305)667-5167 • Fax: (305)663-0964 • Email: beta@radiocarbon.com

Page 8 of 11

BetaCal 4.20

**Âge radiocarbone calibré en années calendaires**

(Fourchettes de probabilité les plus élevées : INTCAL20)

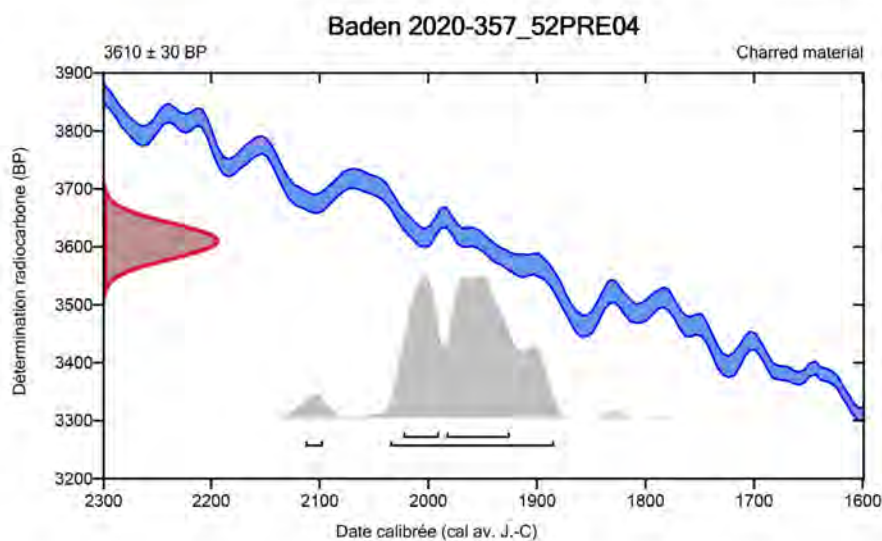
(Variables:  $\delta^{13}\text{C} = -25.7$  o/oo)**Code laboratoire**    **Beta-597384****Âge radiocarbone conventionnel**    **3610  $\pm$  30 BP**

95.4% probabilité

(93.1%)	2037 - 1886 cal av. J.-C	(3986 - 3835 cal BP)
(2.3%)	2115 - 2099 cal av. J.-C	(4064 - 4048 cal BP)

68.2% probabilité

(43.9%)	1985 - 1927 cal av. J.-C	(3934 - 3876 cal BP)
(24.3%)	2025 - 1992 cal av. J.-C	(3974 - 3941 cal BP)

**Base de données utilisée**

INTCAL20

**Références****Références à la méthode de probabilité**Bronk Ramsey, C. (2009). Bayesian analysis of radiocarbon dates. *Radiocarbon*, 51(1), 337-360.**Références à la base de données INTCAL20**Reimer, et al., 2020, *Radiocarbon* 62(4):725-757.**Beta Analytic Radiocarbon Dating Laboratory**

4985 S.W. 74th Court, Miami, Florida 33155 • Tel: (305)667-5167 • Fax: (305)663-0964 • Email: beta@radiocarbon.com

Page 9 of 11

BetaCal 4.20

## Âge radiocarbone calibré en années calendaires

(Fourchettes de probabilité les plus élevées : INTCAL20)

(Variables:  $\delta^{13}C = -27.6$  o/oo)

Code laboratoire **Beta-597383**

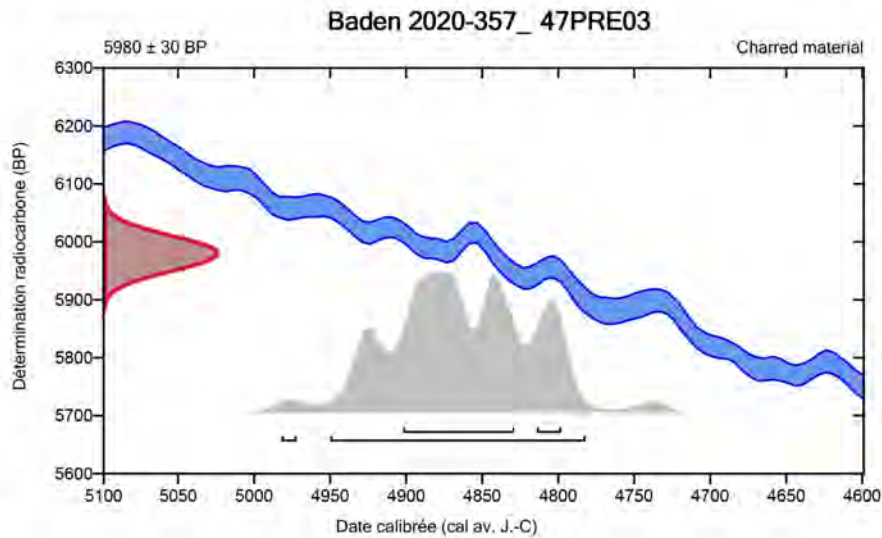
Âge radiocarbone conventionnel **5980 ± 30 BP**

95.4% probabilité

(94.6%) 4952 - 4784 cal av. J.-C (6901 - 6733 cal BP)  
(0.8%) 4984 - 4974 cal av. J.-C (6933 - 6923 cal BP)

68.2% probabilité

(56.7%) 4904 - 4831 cal av. J.-C (6853 - 6780 cal BP)  
(11.5%) 4816 - 4800 cal av. J.-C (6765 - 6749 cal BP)



### Base de données utilisée

INTCAL20

### Références

#### Références à la méthode de probabilité

Bronk Ramsey, C. (2009). Bayesian analysis of radiocarbon dates. *Radiocarbon*, 51(1), 337-360.

#### Références à la base de données INTCAL20

Reimer, et al., 2020, *Radiocarbon* 62(4):725-757.

## Beta Analytic Radiocarbon Dating Laboratory

4985 S.W. 74th Court, Miami, Florida 33155 • Tel: (305)667-5167 • Fax: (305)663-0964 • Email: beta@radiocarbon.com

Page 8 of 11

BetaCal 4.20

**Âge radiocarbone calibré en années calendaires**

(Fourchettes de probabilité les plus élevées : INTCAL20)

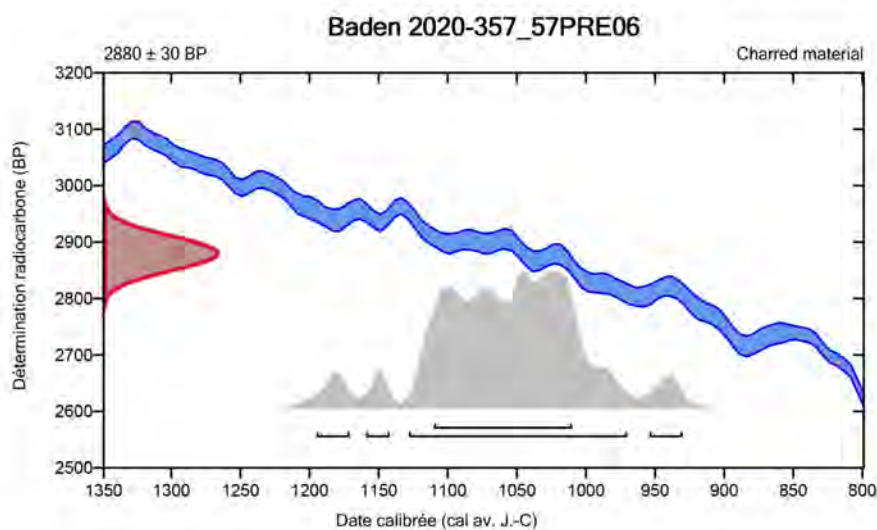
(Variables:  $\delta^{13}\text{C} = -22.8$  o/oo)**Code laboratoire**    **Beta-597385****Âge radiocarbone conventionnel**    **2880  $\pm$  30 BP**

95.4% probabilité

(85.5%)	1130 - 972 cal av. J.-C	(3079 - 2921 cal BP)
(3.6%)	1197 - 1173 cal av. J.-C	(3146 - 3122 cal BP)
(3.5%)	956 - 932 cal av. J.-C	(2905 - 2881 cal BP)
(2.8%)	1161 - 1144 cal av. J.-C	(3110 - 3093 cal BP)

68.2% probabilité

(68.2%) 1112 - 1012 cal av. J.-C (3061 - 2961 cal BP)

**Base de données utilisée**

INTCAL20

**Références****Références à la méthode de probabilité**Bronk Ramsey, C. (2009). Bayesian analysis of radiocarbon dates. *Radiocarbon*, 51(1), 337-360.**Références à la base de données INTCAL20**Reimer, et al., 2020, *Radiocarbon* 62(4):725-757.**Beta Analytic Radiocarbon Dating Laboratory**

4985 S.W. 74th Court, Miami, Florida 33155 • Tel: (305)667-5167 • Fax: (305)663-0964 • Email: beta@radiocarbon.com

Page 10 of 11

BetaCal 4.20

## Âge radiocarbone calibré en années calendaires

(Fourchettes de probabilité les plus élevées : INTCAL20)

(Variables:  $\delta^{13}C = -24.5$  o/oo)

Code laboratoire Beta-597386

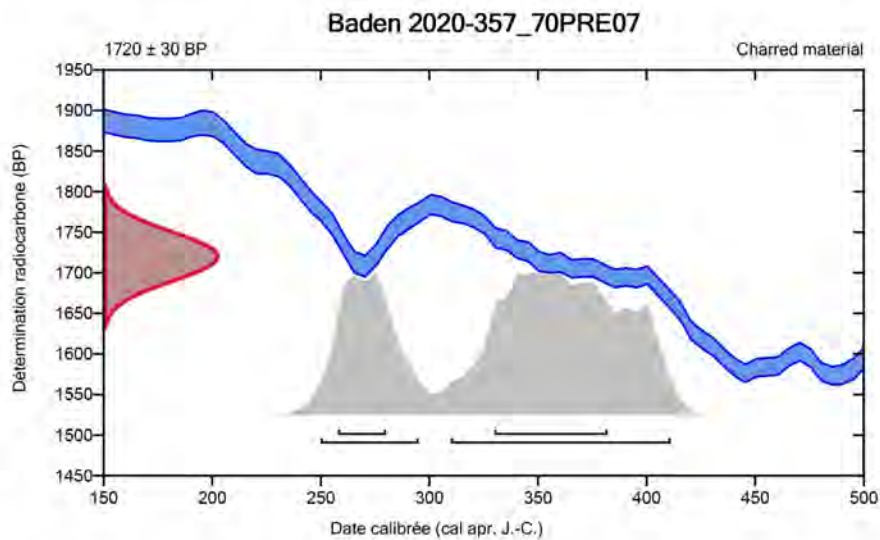
Âge radiocarbone conventionnel  $1720 \pm 30$  BP

95.4% probabilité

(67.6%) 310 - 411 cal apr. J.-C. (1640 - 1539 cal BP)  
(27.8%) 250 - 295 cal apr. J.-C. (1700 - 1655 cal BP)

68.2% probabilité

(48.5%) 330 - 382 cal apr. J.-C. (1620 - 1568 cal BP)  
(19.7%) 258 - 280 cal apr. J.-C. (1692 - 1670 cal BP)



### Base de données utilisée

INTCAL20

### Références

#### Références à la méthode de probabilité

Bronk Ramsey, C. (2009). Bayesian analysis of radiocarbon dates. *Radiocarbon*, 51(1), 337-360.

#### Références à la base de données INTCAL20

Reimer, et al., 2020, *Radiocarbon* 62(4):725-757.

## Beta Analytic Radiocarbon Dating Laboratory

4985 S.W. 74th Court, Miami, Florida 33155 • Tel: (305)667-5167 • Fax: (305)663-0964 • Email: beta@radiocarbon.com

Page 11 of 11



**Beta Analytic Inc**  
4985 SW 74 Court  
Miami, Florida 33155  
Tel: 305-667-5167  
Fax: 305-663-0964  
[info@betalabservices.com](mailto:info@betalabservices.com)

ISO/IEC 17025:2005-Accredited Testing Laboratory

### Quality Assurance Report

This report provides the results of reference materials used to validate radiocarbon analyses prior to reporting. Known-value reference materials were analyzed quasi-simultaneously with the unknowns. Results are reported as expected values vs measured values. Reported values are calculated relative to NISTSRM-1990C and corrected for isotopic fractionation. Results are reported using the direct analytical measure percent modern carbon (pMC) with one relative standard deviation. Agreement between expected and measured values is taken as being within 2 sigma agreement (error x 2) to account for total laboratory error.

**Report Date:** August 03, 2021  
**Submitter:** Miss Astrid Suaud-Preault

#### QA MEASUREMENTS

##### Reference 1

Expected Value: 0.44 +/- 0.10 pMC

Measured Value: 0.44 +/- 0.03 pMC

Agreement: Accepted

##### Reference 2

Expected Value: 96.69 +/- 0.50 pMC

Measured Value: 96.89 +/- 0.31 pMC

Agreement: Accepted

##### Reference 3

Expected Value: 129.41 +/- 0.06 pMC

Measured Value: 129.58 +/- 0.39 pMC

Agreement: Accepted

**COMMENT:** All measurements passed acceptance tests.

**Validation:**

*Chris Patrick*  
Digital signature on file

**Date:** August 03, 2021





**Beta Analytic**  
TESTING LABORATORY

**Beta Analytic, Inc.**  
4985 SW 74<sup>th</sup> Court  
Miami, FL 33155 USA  
Tel: 305-667-5167  
Fax: 305-663-0964  
[info@betalabservices.com](mailto:info@betalabservices.com)

ISO/IEC 17025:2017-Accredited Testing Laboratory

14 octobre 2021

Miss Astrid Suaud-Preault  
Département du Morbihan  
2 rue de Saint Tropez  
Vannes Cedex, 56000  
France

RE : Résultats de datation au radiocarbone

Cher/Chère collègue

Veillez trouver en pièce jointe le résultat de datation au radiocarbone pour l'échantillon récemment envoyé. Comme d'habitude, la méthode d'analyse est indiquée sur le rapport avec le résultat et les données de calibration sont fournies lorsqu'elles sont disponibles. L'âge radiocarbone conventionnel a été corrigé pour les effets de fractionnement et le cas échéant, la calibration a été effectuée en utilisant les bases de données de calibration 2020 (citées sur les pages du graphique).

Votre espace en ligne contient le tableau des résultats, une option de téléchargement PDF, des photos, une option de téléchargement au format .csv et un rapport d'assurance qualité indiquant les valeurs attendues par rapport aux valeurs mesurées pour 3-5 échantillons test analysés en même temps que vos échantillons.

Le résultat reporté est accrédité selon la norme ISO / IEC 17025:2017, PJLA # 59423 et tous les prétraitements et analyses ont été réalisés dans les accélérateurs de notre laboratoire. Beta n'étant pas un laboratoire dédié à l'enseignement, seuls des professionnels diplômés et formés à des protocoles stricts selon la norme ISO / IEC 17025:2017, programme PJLA # 59423 ont participé aux analyses.

Les âges radiocarbone conventionnels et les sigmas sont arrondis à la décennie la plus proche selon les conventions de la Conférence internationale sur le radiocarbone de 1977. Lorsque les statistiques de comptage produisent des sigmas inférieurs à +/- 30 ans, une valeur conservative de +/- 30 BP est citée pour le résultat. Le  $\delta^{13}C$  indiqué a été mesuré séparément dans un IRMS (spectromètre de masse de rapport isotopique). Le  $\delta^{13}C$  obtenu par AMS ne comprend pas les effets de fractionnement naturels, chimiques et induits par l'AMS.

Lors de l'interprétation du résultat, merci de prendre en compte tous les échanges que vous avez eus avec notre équipe au sujet de vos échantillons. N'hésitez pas à nous contacter pour toute éventuelle question ou tout complément d'informations concernant vos analyses.

La facture a été envoyée séparément. Nous vous remercions pour le paiement. N'hésitez pas à nous contacter pour toute éventuelle question ou tout complément d'informations concernant vos résultats.

Cordialement,

Digital signature on file

Chris Patrick  
Vice President of Laboratory Operations



**Beta Analytic, Inc.**  
 4985 SW 74<sup>th</sup> Court  
 Miami, FL 33155 USA  
 Tel: 305-667-5167  
 Fax: 305-663-0964  
[info@betalabservices.com](mailto:info@betalabservices.com)

ISO/IEC 17025:2017-Accredited Testing Laboratory

## RAPPORT D'ANALYSE DE DATATION AU RADIOCARBONE

Astrid Suaud-Preault

Date du rapport : 14 octobre 2021

Département du Morbihan

Matériau reçu le : 30 septembre 2021

Informations et données échantillon	Code échantillon	Age radiocarbone conventionnel (BP) ou Pourcentage de carbone moderne (pMC) & Isotopes stables
-------------------------------------	------------------	--

Beta - 604596	Baden 2020-357_45PRE02	1210 +/- 30 BP IRMS δ13C: -27.4 ‰
---------------	------------------------	-----------------------------------

(85.9%)	770 - 892 cal AD(1180 - 1058 cal BP)
( 9.5%)	702 - 740 cal AD(1248 - 1210 cal BP)

Matériau envoyé par le client : Charcoal  
 Prétraitement : (matériau carbonisé) acide/alcali/acide  
 Matériau analysé : Matériau carbonisé  
 Service d'analyse : Service AMS-STANDARD  
 % de carbone moderne : 86.02 +/- 0.32 pMC  
 Fraction de carbone moderne : 0.8602 +/- 0.0032  
 D14C: -139.83 +/- 3.21 ‰  
 Δ14C: -147.19 +/- 3.21 ‰(1950:2021)  
 Age radiocarbone mesuré : (sans correction δ13C): 1250 +/- 30 BP  
 Calibration : BetaCal4.20: HPD method: INTCAL20

Les résultats sont certifiés ISO / IEC-17025: 2005. Nous n'avons eu recours à aucune sous-traitance et aucun travail étudiant. Toutes les analyses ont été réalisées par Beta dans ses 4 spectromètres de masse par accélérateur NEC et 4 spectromètres de masse de rapport isotopique (IRMS) Thermo. L' « âge radiocarbone conventionnel » a été calculé à l'aide de la demi-vie de Libby (5568 ans) ; il est corrigé pour le fractionnement isotopique total et est utilisé pour la calibration, le cas échéant. L'âge est arrondi à la décennie la plus proche et est reporté en années radiocarbone « avant le présent » (BP), où le « présent » = 1950 AD. Les résultats supérieurs à la référence moderne sont reportés comme pourcentage de carbone moderne (pMC). La norme de référence moderne correspond à 95% de la signature C14 du NIST SRM-4990C (acide oxalique). Les erreurs citées correspondent à des statistiques de comptage à 1 sigma. Les sigmas calculés inférieurs à 30 BP sur l'âge radiocarbone conventionnel sont arrondis de façon conservatrice à 30. Les valeurs δ13C correspondent au matériau en lui-même (et non à la valeur δ13C de l'AMS). Les valeurs δ13C et δ15N sont relatives à VPDB. Les références pour les calibrations sont citées en bas des pages contenant les graphiques de calibration.

BetaCal 4.20

## Âge radiocarbone calibré en années calendaires

(Fourchettes de probabilité les plus élevées : INTCAL20)

(Variables:  $\delta^{13}C = -27.4$  o/oo)

Code laboratoire **Beta-604596**

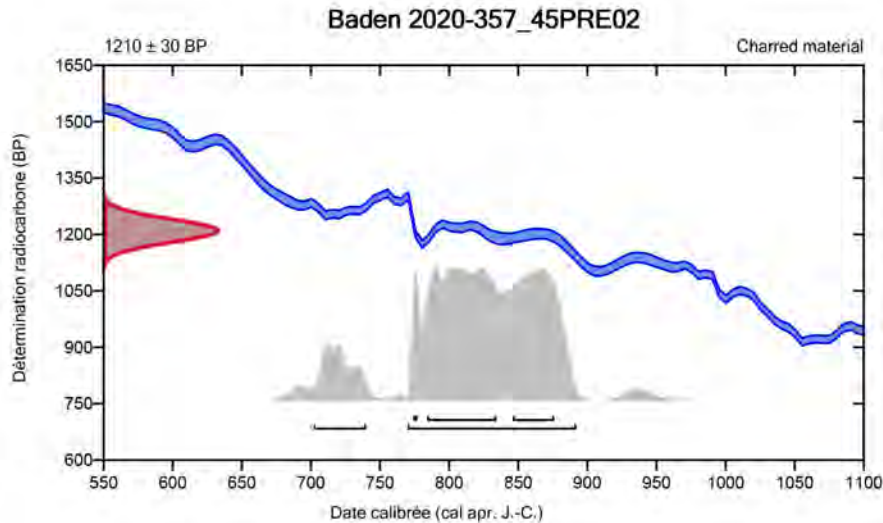
Âge radiocarbone conventionnel **1210 ± 30 BP**

95.4% probabilité

(85.9%) 770 - 892 cal apr. J.-C. (1180 - 1058 cal BP)  
(9.5%) 702 - 740 cal apr. J.-C. (1248 - 1210 cal BP)

68.2% probabilité

(40.6%) 784 - 834 cal apr. J.-C. (1166 - 1116 cal BP)  
(25.1%) 846 - 876 cal apr. J.-C. (1104 - 1074 cal BP)  
(2.4%) 774 - 777 cal apr. J.-C. (1176 - 1173 cal BP)



### Base de données utilisée

INTCAL20

### Références

#### Références à la méthode de probabilité

Bronk Ramsey, C. (2009). Bayesian analysis of radiocarbon dates. *Radiocarbon*, 51(1), 337-360.

#### Références à la base de données INTCAL20

Reimer, et al., 2020, *Radiocarbon* 62(4):725-757.

## Beta Analytic Radiocarbon Dating Laboratory

4985 S.W. 74th Court, Miami, Florida 33155 • Tel: (305)667-5167 • Fax: (305)663-0964 • Email: beta@radiocarbon.com

Page 3 of 3



**Beta Analytic, Inc.**  
4985 SW 74<sup>th</sup> Court  
Miami, FL 33155 USA  
Tel: 305-667-5167  
Fax: 305-663-0964  
[info@betalabservices.com](mailto:info@betalabservices.com)

ISO/IEC 17025:2017-Accredited Testing Laboratory

### Quality Assurance Report

This report provides the results of reference materials used to validate radiocarbon analyses prior to reporting. Known-value reference materials were analyzed quasi-simultaneously with the unknowns. Results are reported as expected values vs measured values. Reported values are calculated relative to NISTSRM-1990C and corrected for isotopic fractionation. Results are reported using the direct analytical measure percent modern carbon (pMC) with one relative standard deviation. Agreement between expected and measured values is taken as being within 2 sigma agreement (error x 2) to account for total laboratory error.

**Report Date:** October 14, 2021  
**Submitter:** Miss Astrid Suzud-Preault

#### QA MEASUREMENTS

##### Reference 1

Expected Value: 0.44 +/- 0.10 pMC

Measured Value: 0.46 +/- 0.03 pMC

Agreement: Accepted

##### Reference 2

Expected Value: 129.41 +/- 0.06 pMC

Measured Value: 129.47 +/- 0.37 pMC

Agreement: Accepted

##### Reference 3

Expected Value: 96.69 +/- 0.50 pMC

Measured Value: 96.88 +/- 0.30 pMC

Agreement: Accepted

**COMMENT:** All measurements passed acceptance tests.

**Validation:**

*Chris Patrick*  
Digital signature on file

**Date:** October 14, 2021

## Section 3 : Inventaires techniques

## Inventaire des tranchées

<b>N°Tranchée</b>	<b>Parcelle</b>	<b>Dimension (m)</b>	<b>Superficie (m<sup>2</sup>)</b>	<b>Prof Min Zone (m)</b>	<b>Prof Max Zone (m)</b>	<b>Type substrat</b>	<b>Epaisseur TV (m)</b>	<b>Commentaire : faits présents dans la tranchée</b>
Tr_01	ZD 694	94,62	474	0,30	0,95	Altérites de granite.	0,20	F1 à F14 et F147 à F153
Tr_02	ZD 694	165	562	0,30	0,63	Granite.	0,25/0,30	F15 à F24
Tr_03	ZD 694	213,40	755	0,30	0,83	Arène granitique.	0,25/0,30	F25 à F62
Tr_04	ZD 694	58,93	209	0,75	0,90	Altérites de granite.	0,30	F63 à F76
Tr_05	ZD 694	40,89	151	0,40	0,70	Limon sableux.	0,22	F77 à F83
Tr_06	ZD 694	67,50	203	0,70	0,96	Altérites de granite.	0,25/0,30	F84 à F88
Tr_07	ZD 694	82,60	294	0,40	0,70	Arène granitique.	0,25/0,30	F89 à F91 et F156
Tr_08	ZD 694	103,14	345	0,40	0,50	Altérites de granite.	0,25	F92 à F108 et F139 à F146
Tr_09	ZD 694	104	344	0,40	0,66	Sable et argile.	0,30	F109 à F115
Tr_10	ZD 694	105	330	0,30	0,50	Altérites de schiste, granite.	0,30	F116 à F 118 ; F136 et F160
Tr_11	ZD 694	95,78	394	0,50	0,80	Altérites de granite.	0,28	F119 à F126 ; F154 ; F155 et F157 à F159
Tr_12	ZD 694	86,53	296	0,50	1,10	Altérites de granite.	0,30	F127 à F134
Tr_13	ZD 694	27,67	95	0,40	0,65	Limon sableux.	0,30	F135 et F136

## Inventaire des Faits

N° Fait	Tranchée	Identification	Long. max (en m)	Largeur max (en m)	Épaisseur max (en m)	US	Périodisation proposée	Minute	Photo
01	01	Machoire				00			oui
02	01	Fosse	1,60	1,00		40,41	Âge du Bronze ?	3	oui
03	01		1,50				annulé		oui
04	01	Fosse ?	0,65	0,40	0,23				oui
05	01	Amas de blocs.	2,15			23	indét.		oui
06	01	Drain		0,97		100	Contemporain.		oui
07	01	Fossé		0,80			Âge du Bronze		oui
08	01	Fossé		1,80			Moderne /contemp		oui
09	01	Fosse ?		0,90			Annulé racine		oui
10	01	Fossé		0,75			indét.		oui
11	01	Fosse ? à moitié dans la berme		1,20			Annulé chablis		oui
12	01	TP ?	0,40				Annulé racine		oui
13	01	Fossé		1,15			Moderne /contemp		oui
14	01	Fossé avec blocs		1,75			Moderne /contemp		oui
15	02			0,76		55,56	Annulé	6	oui
16	02		0,30				Annulé		oui
17	02	TP	0,34			98	Âge du Bronze		oui
18	02	TP	0,30				Âge du Bronze		oui
19	02	Chemin				49	Moderne /contemp	2	oui
20	02	Chablis					Annulé chablis		oui
21	02	Drain		1,00			Contemporain.		oui
22	02	Drain		1,10			Contemporain.		oui
23	02	Fosse ?		0,60			indet		oui
24	02	Fossé		2,15			Moderne /contemp		oui
25	03	Fosse rectangulaire, structure de combustion.	1,60	0,60	0,12	24,25,26	GR	3	oui
26	03	Fosse	1,30		0,64	29,30,31	Âge du Bronze	3	oui
27	03	Fossé ?		0,60			Âge du Bronze ?		oui
28	03	TP	0,50	0,30			indét.		oui
29	03	anomalie nat racines	0,38				Annulé		oui
30	03	anomalie nat racines		1,00			Annulé		oui
31	03	TP	0,36				indét.		oui
32	03	anomalie nat	2,20	1,40			Annulé		oui
33	03	anomalie nat	0,80	0,75		101	Annulé		oui

34	03	anomalie nat	0,90	0,60	Annulé				oui
35	03	TP	0,50			64,65	Âge du Bronze ?	6	oui
36	03	TP	0,45			62,63,87,88,89,90	Âge du Bronze ?	6	oui
37	03	TP	0,60				Âge du Bronze	1	oui
38	03	anomalie nat	0,45	Annulé				oui	
39	03	anomalie nat	0,48	Annulé				oui	
40	03	anomalie nat	0,50	Annulé				oui	
41	03	testé Chablis		2,00		96	Annulé		oui
42	03	TP ?	0,43						oui
43	03	anomalie nat		0,55			Annulé		oui
44	03	anomalie nat	0,50	Annulé				oui	
45	03	TP ?	0,45						oui
46	03	testé annulé racine	0,45	Annulé				oui	
47	03	TP ? testé annulé racine	0,40	Annulé				oui	
48	03	TP ? testé annulé racine	0,40			81,82	Annulé		oui
49	03			Annulé				oui	
50	03	Fossé		1,40	46	06,07	Moderne		oui
51	03	Fossé		1,30	40	08,09	Moderne		oui
52	03		0,35	Annulé				oui	
53	03		0,52	Annulé				oui	
54	03		0,52	Annulé				oui	
55	03		0,40	Annulé				oui	
56	03		0,72	Annulé				oui	
57	03	TP ?	0,32						oui
58	03	Fosse ? Naturel ?		Annulé, dépression					oui
59	03	Drain		0,60		83,84			oui
60	03	Fossé		0,76					oui
61	03	Fossé		0,40					oui
62	03	Fossé		1,05					oui
63	04			Annulé				oui	
64	04			Annulé				oui	
65	04			Annulé				oui	
66	04			Annulé				oui	
67	04			Annulé				oui	
68	04					99	Annulé		oui
69	04			Annulé				oui	
70	04			Annulé				oui	
71	04			Annulé				oui	
72	04			Annulé				oui	
73	04			Annulé				oui	
74	04	Fossé NO-SE		0,95			indét.		oui
75	04	Fossé NO-SE		0,75			indét.		oui



76	04	Fossé NO-SE		0,76			indét.		oui
77	05	Fosse rubéfiée	2,08	1			Antique ?		oui
78	05	Fossé NE-SO		1,10			indét.		oui
79	05	Fossé NO-SE		1,18			indét.		oui
80	05	Fossé NO-SE		0,77		11,12,13	indét.		oui
81	05	TP ?		0,40		79,80	indét.	6	oui
82	05	TP ?		0,48			indét.		oui
83	05	TP ?		0,40		77,78		5	oui
84	06	TP ?		0,40					oui
85	06	TP ?		0,40					oui
86	06	TP ?		0,40					oui
87	06	Fosse ?	0,92	0,47					oui
88	06	Fossé O-E		1,24					oui
89	07	Fosse ?	1,35	1,16					oui
90	07	TP ?	0,53	0,47					oui
91	07	Fossé		1,05		94,95		1	oui
92	08	Fosse -	4,25	0,60			Âge du Bronze		oui
93	08	Fosse	1,16	0,90		34,35	Bronze Final	3	oui
94	08	TP	0,60				Âge du Bronze		oui
95	08	TP	0,44			102	Âge du Bronze		oui
96	08	TP	0,54				Âge du Bronze		oui
97	08	TP	0,30				Âge du Bronze		oui
98	08	Fosse	1,32	0,40		103	Âge du Bronze		oui
99	08	TP	0,35				Âge du Bronze		oui
100	08	TP	0,45	0,36			Âge du Bronze		oui
101	08	Fosse	1,06	0,44		32,33	Âge du Bronze	1	oui
102	08	TP	0,37			104	Âge du Bronze		oui
103	08	Fossé SO-NE		0,70			Contemporain		oui
104	08	Fossé NO-SE		0,70		27,28	Âge du Bronze	3	oui
105	08	Fossé SO-NE		1,25			Contemporain		oui
106	08	TP ?	0,36				Âge du Bronze ?		oui
107	08		0,35			105	Annulé		oui
108	08		0,50				Annulé		oui
109	09	Fossé SO-NE		1,10			Contemporain		oui
110	09	Fosse		1,00					oui
111	09	TP	0,40						oui
112	09		0,24				Annulé		oui
113	09	Fossé		0,82		106	Âge du Bronze		oui
114	09	TP ?	0,30						oui
115	09	TP ?	0,44			66,67		4	oui
116	10	TP ?	0,58				Annulé		oui
117	10	TP ?	0,70	0,60					oui
118	10	Fossé		0,50	0,15	60,61,93		1 et 6	oui

119	11	TP ?	0,40			Annulé			oui
120	11	Fossé SO-NE		0,45		74,75		5	oui
121	11	Fosse		0,85					oui
122	11	Fosse	2,95	0,48					oui
123	11	Fosse	1,11				Contemporain ?		oui
124	11	Fossé					Moderne / contemp		oui
125	11	Fossé SO-NE		1,15		107	Âge du Bronze ancien		oui
126	11	Fosse	1,42			50,51,52,53,54,71	Âge du Bronze ancien	5	oui
127	12	Fossé		0,70					oui
128	12	Fosse		0,70					oui
129	12	Drain		0,50					oui
130	12	Fossé		0,60		108	Contemporain		oui
131	12	Fosse	1,95			109			oui
132	12	Fossé		1,11		97	Âge du Bronze		oui
133	12	Fosse rubéfiée	1,07				Antique		oui
134	12	Fosse rubéfiée	1,36				Antique		oui
135	13	Fosse rubéfiée	1,12		0,20	68,69,70	Antique	4	oui
136	13	Fossé		1,95				4	oui
137	01	Dépression comblée de blocs				110			oui
138	10	TP	0,60		0,16	113,114		1	oui
139	08	TP	0,36	0,26					oui
140	08	TP	0,68	0,54					oui
141	08	TP	0,36						oui
142	08	TP	0,32						oui
143	08	TP	0,56	0,48					oui
144	08	TP rubéfié	0,30			57,58,59		6	oui
145	08	TP	0,32						oui
146	08	TP	0,20						oui
147	01	Sablière ?		0,23		36,37			oui
148	01	Fosse	1,32						oui
149	01	Fossé		0,60	0,24	42,43,85,86	Âge du Bronze	4	oui
150	01	TP ?							oui
151	01	Mur de talus		0,40	0,15	39,76	Contemporain		oui
152	01	Aménagement en pierres				38	Contemporain		oui
153	01	Fossé		2,00	0,95	23,44,45,46,47,48		2;4	oui
154	11	TP ?	0,36			72,73			oui
155	11	Fosse ?	1,30	0,72					oui
156	07	TP ?	0,50	0,40	0,14	111,112		4	oui
157	11	TP ?	0,35	0,30					oui
158	11	TP ?	0,34	0,30					oui
159	11	TP	0,36						oui
160	10	TP	0,36		0,15	91,92			oui

## Inventaire des US

N°US	N° Fait	Identification	Composition géologique de l'US	Morphologie de l'US
00				TV
01		US naturelle.	Limon sableux, gravier et cailloux.	Brun gris, homogène, compact.
02		US naturelle.	Limon sableux, gravier et cailloux.	Jaune brun gris clair, homogène, compact.
03		US naturelle.	Sable, gravier, cailloux, argile.	Orange gris rouge bleu, hétérogène, compact.
04		US naturelle.	Limon sableux, gravier.	Brun clair, homogène, compact.
05		US naturelle.	Roche (granit).	Massif.
06	50	Comblement.	Limon gravillonneux, cailloux, blocs	Gris.
07	50	Creusement.		Creusement.de F50
08	51	Comblement.		
09	51	Creusement.		Creusement.de F51
10		US naturelle.	Limon sableux, gravier, cailloux.	Brun gris clair, traces d'oxydation, homogène, compact.
11	80	Comblement supérieur.		
12	80	Comblement inférieur.		
13	80	Creusement.		Creusement de F80
14		US naturelle.	Limon sableux, gravier.	Brun foncé, homogène, compact.
15		US naturelle.	Limon sableux, gravier.	Brun moyen à clair, homogène, meuble.
16		US naturelle.	Limon sableux, cailloux.	Jaune brun clair, homogène, compact.
17		US naturelle.	Limon sableux, cailloux.	Brun orangé, homogène, meuble.
18		US naturelle.	Cailloux, limon.	Orangé, homogène, meuble.
19		US naturelle.	Limon sableux, gravier et cailloux.	Brun, homogène, compact.
20		US naturelle.	Limon sableux, cailloux.	gris foncé brun, traces d'oxydation, homogène, compact.
21		US naturelle.	Mélange de sable et argile, quelques cailloux.	Brun moucheté de gris clair, homogène, meuble.
22		US naturelle.	Sable limoneux, cailloux.	Brun orangé gris, taches d'oxydation, hétérogène, meuble.
23	5	Comblement.		Amas de blocs en surface de F153.
24	25	Creusement.		Fond plat, bords assez abrupts.
25	25	Comblement.	Limon argileux, sable, quelques cailloux.	brun moyen, homogène, meuble.
26	25	Comblement.	Charbons, mêlés à de l'argile.	Noir, hétérogène, meuble.
27	104	Creusement.		Parois obliques, fond en cuvette/plat.
28	104	Comblement	Limon sableux, gravier et cailloux.	Brun clair, homogène, compact.

29	26	Creusement.		Creusement évasé.
30	26	Comblement.	Limon sableux.	Brun clair, homogène, meuble.
31	26	Comblement.	Argile sableuse.	Gris moyen, avec traces d'oxydation, homogène, compact.
32	101	Creusement.		Fond plat, légèrement irrégulier.
33	101	Comblement.	Limon sableux, gravier, quelques cailloux.	Brun moyen, homogène, meuble.
34	93	Creusement.		Oblongue, irrégulier.
35	93	Comblement.	Argile limoneuse, gravier, quelques cailloux.	Brun gris moyen, hétérogène, compact.
36	147	Creusement.		Fond plat.
37	147	Comblement.	Limon sableux, gravier.	Brun moyen, homogène, compact.
38	152	Démolition.	Limon sableux, moellons de granite.	Jaune brun noir, hétérogène, compact.
39	151	Niveau charbonneux.	Limon, traces charbonneuses en surface.	Bron moyen, homogène, meuble.
40	2	Creusement.		Peu profond, fond légèrement irrégulier.
41	2	Comblement.	Limon sableux, gravier.	Brun foncé, homogène, meuble.
42	149	Creusement.		En cuvette, peu profond, régulier.
43	149	Comblement.	Argile limoneuse.	Gris foncé, traces d'oxydation, homogène, meuble.
44	153	Creusement.		En "V", très régulier.
45	153	Comblement.	Argile limoneuse, nombreux blocs.	Gris foncé, traces d'oxydation, homogène, meuble.
46	153	Creusement.		En "V", très régulier.
47	153	Comblement.	Limon sableux, gravier.	Gris brun foncé, traces d'oxydation, homogène, meuble.
48	153	Comblement.	Limon sableux, gravier, moellons et blocs.	Brun gris moyen, homogène, meuble.
49	19	Chemin.	Cailloux dans une matrice de limon argileux brun.	chaussée du chemin F19
50	126	Creusement.		Parois obliques, fond plat.
51	126	Comblement.	Sable, rares cailloux.	Gris moyen, traces d'oxydation, hétérogène, meuble.
52	126	Comblement.	Sable.	Gris brun moyen, traces d'oxydation, homogène, meuble.
53	126	Comblement.	Argile.	Gris moucheté de brun, moyen, homogène, compact.
54	126	Comblement.	Sable, quelques blocs.	Gris brun, moyen, traces d'oxydation, homogène, compact.
55	15	Comblement.	Limon sableux, argile.	Brun gris, moyen, homogène, meuble.
56	15	Creusement.		Creusement en cuvette.
57	144	Comblement.	Limon.	Brun grisâtre, moyen, meuble, nombreuses traces de rubéfaction.
58	144	Comblement.	Limon, gravier.	Brun moyen, hétérogène, meuble.
59	144	Creusement.		Creusement en cuvette avec bords évasés.
60	118	Comblement.	Limon.	Brun foncé, homogène, meuble.
61	118	Creusement.		Creusement à fond plat.

62	36	Comblement.	Limon sableux.	Brun beige, moyen, homogène, meuble.
63	36	Creusement.		Creusement en "V".
64	35	Comblement.	Limon sableux.	Brun moyen gris, homogène, meuble.
65	35	Creusement.		Creusement en cuvette.
66	115	Creusement.		Creusement en cuvette.
67	115	Comblement.	Limon, gravier, poches sableuses.	Brun moyen, homogène, compact.
68	135	Creusement.		Fond plat, parois de la fosse rubéfiées.
69	135	Comblement.	Argile.	Gris clair, homogène, compact.
70	135	Comblement.	Charbons, mêlés à de l'argile.	Noir et beige (argile), hétérogène, meuble.
71	126	Comblement supérieur.	Argile, Limon, quelques cailloux.	Gris brun, moyen, homogène, compact.
72	154	Creusement.		Creusement en cuvette.
73	154	Comblement.	Limon, sable grossier, gravier.	Brun clair, homogène, compact.
74	120	Comblement.	Limon, sable grossier.	Limon brun clair, homogène, meuble.
75	120	Creusement.		Creusement en cuvette.
76	151	Démolition/Abandon.	Cailloux et blocs, limon.	Brun moyen, hétérogène, meuble.
77	83	Creusement.		Creusement en cuvette.
78	83	Comblement.	Limon argileux, quelques cailloux.	Brun clair, homogène, meuble.
79	81	Creusement.		Circulaire, fond relativement plat.
80	81	Comblement.	Limon argileux.	Gris clair, traces d'oxydation, homogène, meuble.
81	48	Creusement.		Vaguement circulaire, bioturbations.
82	48	Comblement.	Gravier, sable.	Brun foncé, hétérogène, compact.
83	59	Creusement.		Creusement drain contemporain.
84	59	Comblement.	Blocs.	Hétérogène, meuble.
85	149	Creusement.		Creusement en cuvette.
86	149	Comblement.	Argile limoneuse.	Gris moyen, traces d'oxydation, homogène, meuble.
87	37	Creusement.		Creusement en cuvette, fond plat.
88	37	Comblement.	Limon argileux, poches d'arène.	Gris moyen, hétérogène, meuble.
89	37	Comblement.	Limon avec poches d'arène.	Brun moyen, hétérogène, meuble.
90	37	Comblement.	Limon argileux, poches d'arène.	Gris moyen, hétérogène, meuble.
91	160	Comblement.	CF FICHE F118	
92	160	Creusement.		Creusement de F160
93	118	Comblement	Argile	orangée, terrain naturel remanié
94	91	Comblement.	Limon, poches de limon argileux.	Brun moyen, beige moyen, hétérogène, meuble.
95	91	Creusement.		Creusement en cuvette.
96	41	Comblement.	?	
97	132	Comblement.	?	Fossé
98	17	Comblement.	?	
99	68	Chablis.		Chablis.

100	6	Comblement		Drain contemporain.
101	33	Comblement.		
102	95	Comblement.		
103	98	Comblement.		
104	102	Comblement.		
105	107	Comblement.		
106	113	Comblement.		
107	125	Comblement.		
108	130	Comblement.		
109	131	Comblement.		
110	137	Dépression.	Blocs, limon.	Brun moyen, hétérogène, meuble.
111	156	Comblement.	Limon.	Brun foncé, homogène, meuble.
112	156	Creusement.		Vaguement en cuvette, beaucoup de bioturbations.
113	138	Comblement	Limon, rares cailloux, quelques blocs.	Brun foncé, homogène, meuble.
114	138	Creusement.		En cuvette.
115	111	Comblement.	Limon.	brun clair, homogène, avec céramique.
116	111	Creusement.		Paroi oblique, fond en cuvette irrégulier.
117	136	Creusement.		Parois obliques, fond plat.
118	136	Comblement.	Argile.	Grise, tâches oranges, homogène et meuble, présence de cailloux et de blocs
119	136	Comblement.	Terre rubéfiée.	Lentilles de terre rubéfiée
120	136	Comblement.	Argile.	Gris clair, homogène et meuble, tâches oranges d'oxydation, présence de cailloux
121	136	Comblement.	Argile.	Très proche de 120, mais beaucoup moins rouille et plus gris

## Inventaire des documents graphiques

<i>N° Minute</i>	<i>Faits concernés</i>	<i>Type de dessin / orientation / description</i>	<i>Auteur</i>
1	F 37, F 91, F 101, F 118, F 138	Relevés en plan et coupe au 1/20ème.	ASP, CG
2	F19, F 153	Relevés en coupe au 1/20ème.	ASP,CG.
3	F 02, F 25, F 26, F 93, F 104	Relevés en plan et coupe au 1/20ème.	JC.
4	F 115, F 135, F 136, F 149, F 153, F 156	Relevés en plan et coupe au 1/20ème.	ASP, JC.
5	F 83, F 120, F 126, F 152	Relevés en plan et coupe au 1/20ème.	CG.
6	F 15, F 35, F 36, F 81, F 118, F 144	Relevés en plan et coupe au 1/20ème.	MM, JC.

## Inventaire du mobilier

<i>n° d'inventaire</i>					<i>Catégorie</i>	<i>Zone</i>	<i>Fait</i>	<i>NR</i>	<i>Remarques</i>	<i>poids (en g.)</i>	<i>Attribution chronologique</i>
<i>Code opération</i>	<i>N°US</i>	<i>code cat.</i>	<i>n° lot ou isolat</i>								
Baden	2020-357	00	FAU	01	Faune	TR01	F01	65	Entre la TV et US 1.	83,5	
Baden	2020-357	01	LIT	01	Lithique	TR01		1	ISO 3	<0,1	Néolithique
Baden	2020-357	04	LIT	02	Lithique	TR05		1		2400	âge du Bronze ?
Baden	2020-357	54	LIT	03	Lithique	TR11	F126	1		8000	Pré-Protohistoire ?
Baden	2020-357	60	LIT	04	Lithique	TR10	F118	1		2,1	Néolithique
Baden	2020-357	107	LIT	05	Lithique	TR11	F125	1	ISO dans fossé F187	14000	Protohistoire ?

Baden	2020-357	39	MET	01	Métal	TR01	F151	1	Cuillère trouée, trouvée au pied du MR 151.	129	contemp
Baden	2020-357	110	MET	02	Métal	TR01	F137	1	Non Identifié	324	
Baden	2020-357	01	TCA	01	Tegula	TR01	F153 ?	1		129,0	GR
Baden	2020-357	39	TCA	02	Brique	TR01	F152	1		221,7	
Baden	2020-357	110	TCA	03	Brique	TR01	F137	1		54,7	
Baden	2020-357	39	VER	01	Verre	TR01	F152 / F151	5	Goulot de bouteille, bouchon de liège encore en place.	29,1	contemp.
Baden	2020-357	110	VER	01	Verre	TR01	F137	1		1,4	contemp.
Baden	2020-357	26	PRE	01	Prélèvement	TR 03	F25		Charbons.	14	envoi 1 fgt pour 14C
Baden	2020-357	45	PRE	02	Prélèvement	TR 01	F153		Charbons, initialement attribué à F5, mais retrouvé sous l'empierrement, dans ce qui s'avère être le comblement de F153.	3,17	envoi pour 14C
Baden	2020-357	45	PRE	03	Prélèvement	TR 01	F153		Charbon prélevé à 10 cm du fond de la coupe Nord de la section N-S du fossé.	< 1	envoi 1/2 pour 14C
Baden	2020-357	52	PRE	04	Prélèvement	TR 11	F126		Charbons.	1	
Baden	2020-357	54	PRE	05	Prélèvement	TR 11	F126		Charbons.	< 1	
Baden	2020-357	57	PRE	06	Prélèvement	TR 08	F144		Charbons.	1	
Baden	2020-357	70	PRE	07	Prélèvement	TR 13	F135		Charbons, refus tamis maille 4 mm	1151	
Baden	2020-357	70	PRE	08	Prélèvement	TR 13	F135		Charbons, refus tamis maille 2 mm	1411	
Baden	2020-357	70	PRE	09	Prélèvement	TR 13	F135		Charbons, refus tamis maille 0,5 mm	5940	



n° d'inventaire					Catégorie	Zone	Fait	NR	Nb Max après étude	Remarques	NR	poids (en g.)	BF	
Code opération	N° US	code cat.	n° lot ou isolat											
Baden	2020-357	00	CER	01	Céramique	TR02		1	1	Trouvé au SO de la tranchée 02.		2,2	Age du Bronze (ancien ?)	Très petit fragment érodé avec quelques éléments n
Baden	2020-357	00	CER	02	Céramique	TR03		3	2	Moitié Nord de la tranchée 03, -30cm.		31,9	Age du Bronze ancien et final	Fragments dont deux brun l'intérieur et sur la tranchée quartz opaque et feldspat à moyennes de quartz et
Baden	2020-357	00	CER	03	Céramique	TR01		1	1	Entre la TV et US 1.		2	Age du Bronze	Très petit fragment brun à inclusions très fines à moy fragments de roches gran
Baden	2020-357	01	CER	04	Céramique	TR01		13	10			93	Age du Bronze ancien	Fragments dont deux de t érodés brun rouge clair et quartz, feldspath, muscov aplanie et épaissie, prése (décollement d'un cordon d'inclusions ; un brun roug fines à moyennes de quar granitoides ; trois de 9 à 1 à grossières, brun rouge (lissé) et gris à cœur ; un d'inclusions)
Baden	2020-357	01	CER	05	Céramique	TR01		4	4			27,9	Age du Bronze ancien et final	Fragments rouge orangé très fines à moyennes de granitoïde, et trois autres de quartz, feldspath, musc à panse rectiligne (20*21 présentant une digitation
Baden	2020-357	01	CER	06	Céramique	TR01		9	9	ISO 4, entre - 30 et -55 cm.		87,2	Age du Bronze ancien et final	Fragments dont un de bo et un brun rouge à l'extéri à inclusions très fines à m roches granitoïde ; deux à cœur, à inclusions très f de roches granitoïdes e présentant le même type brun rouge à l'extérieur et à 8 mm d'épaisseur, brun en surface et gris foncé quelques éléments moy fragments de roches gran gris foncé à cœur à inclu paillettes peu nombreuses

Baden	2020-357	01	CER	07	Céramique	TR01		10	7	SO de la tranchée 01, - 30 cm.		48	Age du Bronze ancien	Fragments dont deux d'un brun en surface et gris feldspath, biotite, muscovite de jonction fond/panse ; un très fines à fines de quar mm d'épaisseur comport feldspath, muscovite en p très petite taille
Baden	2020-357	01	CER	08	Céramique	TR01		1	1	Trouvé à l'EST du MR 151, provient probablement du F153.		7,7	Age du Bronze final	Fragment de panse brun à 5 mm d'épaisseur, à inc quartz, feldspath, muscov
Baden	2020-357	01	CER	09	Céramique	TR03	30	1	5	Trouvé lors du nettoyage de la berme au dessus de F30.		5	18ème siècle	fragments de bord, jatte,
0	2020-357	01	CER	10	Céramique	TR01		10	10			34	Age du Bronze ancien et final	Fragments dont trois érod l'intérieur, à inclusions très roches granitoides et deu moyennes d'éléments opa inclusions de même nature fines et très micacé ; cinq
Baden	2020-357	01	CER	11	Céramique	TR01		6	6	Début de la tranchée 01.		16,6	Age du Bronze final	Fragments dont deux érod l'intérieur, à inclusions très biotite et fragments de roc
Baden	2020-357	01	CER	12	Céramique	TR02		2	2			9	Age du Bronze (final ?)	Fragments dont un rouge très fines à fines avec que plaquettes, biotite et frag plus fines et de même nat
Baden	2020-357	01	CER	13	Céramique	TR01		2	2			12,4	Age du Bronze final	Fragments de panse l'un à inclusions très fines à moy roches granitoides et l'aut à inclusions très fines à m fragments de roches gran
Baden	2020-357	02	CER	14	Céramique	TR09		2	2	Trouvé à -40 cm.		8,8	Age du Bronze	Fragments érodés et infor de 9 mm d'épaisseur mini inclusions très fines à moy
Baden	2020-357	03	CER	15	Céramique	TR13		6	3	Trouvé entre - 40 et -70 cm.		232	Age du Bronze ancien et final	Fragments de panse dont brun rouge clair en surfac grossiers de quartz, feldsp un de bord concave et dév le même type d'inclusion: foncé à cœur dont la su érodée, montre une pâte à quartz, feldspath, muscov un brun rouge à inclusion: très compact, dragéifié m une largeur d'environ 30 élément de préhension nature de pâte
Baden	2020-357	04	CER	16	Céramique	TR03		3	1	Dans la coupe de F 37.		34,1	Age du Bronze final	Fragments brun rouge en à inclusions très fines à m granitoides. Le plus épais mm)

Baden	2020-357	04	CER	17	Céramique	TR07		3	3	Trouvé à -40 cm.		11,4	Age du Bronze final	Fragments dont un érodé de muscovite et fragments de lie de vin en surface et grès feldspath et fragments de dragéifié
Baden	2020-357	04	CER	18	Céramique	TR03		4	4			31,9	Age du Bronze ancien et final	Fragments à inclusions de fragments de roches granitiques (10 mm d'épaisseur), un brun rouge en surface et fines de quartz et feldspath
Baden	2020-357	04	CER	19	Céramique	TR04		1	1			9,4	Age du Bronze ancien	Fragment érodé (mieux conservé à l'extérieur et brun foncé à fines muscovite et fragments
Baden	2020-357	04	CER	20	Céramique	TR02		1	1	Trouvé à -45 cm au NO de la tranchée 02.		29	Age du Bronze (final ?)	Fragment érodé de plaques (10 mm). Les inclusions de quartz granitoides sont très fines
Baden	2020-357	04	CER	21	Céramique	TR11		4	4	Trouvé à -30 cm.		19,6	Age du Bronze ancien	Fragments dont deux de brun rouge très fines à fines de quartz et brun rouge en marges et brun
Baden	2020-357	04	CER	22	Céramique	?		1	1	Trouvé à -55 cm.		5,8	Bas Moyen Age/Epoque moderne	Fragment de fond rouge de
Baden	2020-357	04	CER	23	Céramique	TR04		1	1	ISO		30,3	Age du Bronze final	Fragment poli bien conservé foncé à cœur, à inclusions de plaquettes et fragments de
Baden	2020-357	07	CER	24	Céramique	TR03	F50	9	9			48,7	19ème siècle	fragments de bol quimper
Baden	2020-357	10	CER	25	Céramique	TR12		8	8	Moitié Sud de la tranchée 12.		23,7	Age du Bronze ancien	Fragment de panse brun rouge muscovite
Baden	2020-357	14	CER	26	Céramique	TR06		2	2			3,2	Age du Bronze	Fragments brun rouge de
Baden	2020-357	14	CER	27	Céramique	TR07		14	14	Zone à ISO		93,5	Age du Bronze ancien et final	Fragments dont 4 brun rouge foncé à l'intérieur et à cœur conservé leur polissage, quartz, biotite, muscovite de 8 mm d'épaisseur frag
Baden	2020-357	15	CER	28	Céramique	TR06		1	1	Tr 06 hors structure ; moins 80 cm		5,2	Age du Bronze ancien	Fragment érodé de 8 mm opaques

Baden	2020-357	28	CER	29	Céramique	TR08	F104	12	12			30,2	Age du Bronze ancien	Fragments dont 9 de très l'extérieur, brun orangé à surface et gris à cœur (21 feldspath, fines muscovite
Baden	2020-357	28	CER	30	Céramique	TR08	F104	21	20			63,4	Age du Bronze ancien et final ?	Fragments dont 16 de très rouge en surface et gris à en plaquette et fragments l'extérieur brun foncé à l'intérieur très fines à fines de quartz fragment d'un cordon lisse de quartz et feldspath opa
Baden	2020-357	28	CER	31	Céramique	TR08	F104	7	2	A priori dans F 104.		71,4	Age du Bronze ancien	Dont de trois fragments d' dont la plaque basale atte rouge et poli en surfaces (moyens) de quartz, feldsp inclut des éléments très fi
Baden	2020-357	30	CER	32	Céramique	TR03	F26	1	1			14,7	Age du Bronze final	Fragment de fond plat (40 l'extérieur, brun à l'intérieur très fines à fines de quartz
Baden	2020-357	35	CER	33	Céramique	TR08	F93	18	5			252,5	Age du Bronze final	Fragments de bords à lev aplanie (37*22*5 mm ; 42 préorale tronconique de concaves se raccordant ( surface et gris à cœur, fragment de bord convexe (33*21*5) ; deux fragment moyens de muscovite, bio rouge clair en surface et g bien conservés ; cinq de nature d'inclusions mais d
Baden	2020-357	45	CER	34	Céramique	TR01	F153	13	13			81,1	Age du Bronze ancien et final	Fragment dont 3 érodés o très fines à fines (quelque fragments de roches gran et de la plaque basale est de la panse (face interne) feldspath, rare muscovite huit mm d'épaisseur, brun inclusions très fines à fine plaquette et fragments de (dragéifiés)
Baden	2020-357	48	CER	35	Céramique	TR01	F153	7	7			41	Age du Bronze final	Fragments érodés de 8 à grossières de quartz, bio de de 6 à 8 mm d'épaisse muscovite feldspath et fra
Baden	2020-357	49	CER	36	Céramique	TR02	F19	1	1	Chemin		19,3	18-19ème	fragments de bord, jatte (
Baden	2020-357	51	CER	37	Céramique	TR11	F126	3	2			28,9	Age du Bronze ancien	Fragments bruns et brun dont dont l'un présente de légèrement convexe à lev
Baden	2020-357	52	CER	38	Céramique	TR11	F126	3	1			8	Age du Bronze ancien	Fragments bruns et brun feldspath, 6 à 8 mm d'épa

Baden	2020-357	64	CER	39	Céramique	TR03	F35	1	1			1,6	Age du Bronze ancien	Fragment de lèvres aplaniés gris foncé à cœur, à inclu
Baden	2020-357	71	CER	40	Céramique	TR11	F126	4	1			48,6	Age du Bronze ancien	Fragments dont trois se ra CER-043
Baden	2020-357	71	CER	41	Céramique	TR11	F126	3	2			9,7	Age du Bronze ancien	Fragments à inclusions tr rouge de 8 mm d'épaisse surface et gris foncé à cœ
Baden	2020-357	71	CER	42	Céramique	TR11	F126	18	1			93,7	Age du Bronze ancien	Fragments érodés ou bien brun rouge foncé, de 4 à éléments moyens de quar petite taille ; et sept dont :
Baden	2020-357	71	CER	43	Céramique	TR11	F126	7	1			217,5	Age du Bronze ancien	Fragment du fond d'un va inclusions de quartz, felds moyennes ; il constitué d' 7 mm d'épaisseur ; les su
Baden	2020-357	82	CER	44	Céramique	TR03	F48	2	1			10,3	Age du Bronze ancien et final ?	Fragments dont un de 7 à inclusions très fines à gro fragments de roches gran à inclusions très fines à fi
Baden	2020-357	84	CER	45	Céramique	TR03	F59	3	3	Trouvé dans le drain.		4,1	Epoque moderne-contemporaine	céramique fine glaçurée r
Baden	2020-357	86	CER	46	Céramique	TR01	F149	1	1			7,3	Age du Bronze	Fragment de 13 mm d'épa inclusions très fines à très fragments de roches gran
Baden	2020-357	88	CER	47	Céramique	TR03	F37	1	1	Trouvé en surface.		7,3	Age du Bronze final	Fragment de 6 mm d'épai gris foncé à cœur, à inclu en plaquettes et fragment
Baden	2020-357	90	CER	48	Céramique	TR03	F37	1	1	Trouvé au fond du fossé.		9,5	Age du Bronze final	Fragment érodé de 10 à inclusions très fines à mo, granitoides
Baden	2020-357	094	CER	49	Céramique	TR07	F91	7	1			40	Age du Bronze ancien	Fragments de 6 à 7 mm d lissés et érodés, à inclusio roches, dont un petit fragr et de la plaque basale) ; u horizontale et montrant ur
Baden	2020-357	96	CER	50	Céramique	TR03	F41	8	8			71,2	Age du Bronze final	Fragments de 10 à 11 mm brun rouge foncé à l'intéri muscovite dorée en plaqu inclusions très fines à mo ; un brun rouge foncé à l' grossières de quartz, felds quatre fragments de très p

Baden	2020-357	97	CER	51	Céramique	TR12	F132	1	1			24,6	Age du Bronze ancien	Fragment érodé de proba mince cœur gris foncé ; biotite, muscovite et fragm
Baden	2020-357	97	CER	52	Céramique	TR12	F132	1				2,6	Epoque moderne	fragments très érodés, pâ
Baden	2020-357	98	CER	53	Céramique	TR02	F17	2	2			1,3	Age du Bronze	Fragments de très petite t
Baden	2020-357	99	CER	54	Céramique	TR04	F68 (annulé)	1	1			16	Age du Bronze ancien	Fragment érodé (mieux co l'extérieur et brun foncé à feldspath et fragments de
Baden	2020-357	100	CER	55	Céramique	TR01	F06	1	1	ISO 5, dans le drain.		17,1	Bas Moyen Age/Epoque moderne	fragment de 5 mm d'épais
Baden	2020-357	101	CER	56	Céramique	TR03	F33	1	1	Trouvé en surface.		8,6	Age du Bronze final	Fragment de 10 mm d'épa (érodé) et à cœur à inclus biotite et de fragments de
Baden	2020-357	102	CER	57	Céramique	TR08	F95	1	1	Trouvé en surface.		4,6	Age du Bronze final	Fragment lissé de 9 à 10 l'intérieur, à inclusions très fragments de roches gran
Baden	2020-357	103	CER	58	Céramique	TR08	F98	1	1	Trouvé en surface.		5,4	Age du Bronze final	Fragment érodé de 7 mm inclusions très fines à mo roches granitoïdes
Baden	2020-357	104	CER	59	Céramique	TR08	F102	1	1			11,7	Age du Bronze final	Fragment de 12 mm d'épa à inclusions très fines à m en plaquettes et fragment

Baden	2020-357	105	CER	60	Céramique	TR08	F107	1	1	Trouvé en surface.		4,1	Age du Bronze final	Fragment brun rouge érodé de quartz, feldspath, éléments
Baden	2020-357	106	CER	61	Céramique	TR09	F113	1	1	Trouvé en surface.		2	Age du Bronze	Fragment de 8 à 10 mm de quartz, feldspath à moyennes de quartz, feldspath et granitoides
Baden	2020-357	107	CER	62	Céramique	TR11	F125	17	11 ?	Trouvé en surface.		62,3	Age du Bronze ancien	Fragments dont 9 de très fins tessons brun rouge érodés de quartz, feldspath, rare de 5 mm d'épaisseur, brun possédant le même type de
Baden	2020-357	108	CER	63	Céramique	TR12	F130	2	2	Trouvé en surface.		8,7	Age du Bronze ancien	Fragments érodés brun rouge de quartz, feldspath et fragments brun rouge, à inclusions de fragments de roches granitoides
Baden	2020-357	109	CER	64	Céramique	TR12	F131	1	1	Trouvé en surface.		3,9	Age du Bronze ancien	Fragment érodé mais poli fines à moyennes de quartz
Baden	2020-357	110	CER	65	Céramique	TR01	F137	1	1			3,4	Bas Moyen Age/Epoque moderne	fragment à pâte orangée
Baden	2020-357	094	CER	66	Céramique	TR07	F91	1	1			1	Bas Moyen Age/Epoque moderne	Fragment fin et beige en surface
Baden	2020-357	01	TCA	001	Céramique	TR01		1	1	Fragment brun rouge foncé		24		
Baden	2020-357	01	TCA	002	Céramique	TR01		1	1	Fragment brun rouge foncé		28		
Baden	2020-357	004	TCR	001	Céramique	TR04		1	1	Fragment beige rose très clair inclusions très fines à moyennes de quartz, feldspath et fragments de roches		30		

## Inventaire des photographies

<b>Listing photos</b>				
numéro	description	ext.	auteur.	N° Fait
Baden_2021-357-0001	F1, vue SO.	.jpg	SDAM	1
Baden_2021-357-0002	F1, vue SO.	.jpg	SDAM	1
Baden_2021-357-0003	Détail de F1, vue SO.	.jpg	SDAM	1
Baden_2021-357-0004	Détail de F1, vue SO.	.jpg	SDAM	1
Baden_2021-357-0005	F1, vue SO.	.jpg	SDAM	1
Baden_2021-357-0006	F2, vue SE.	.jpg	SDAM	2
Baden_2021-357-0007	F2, vue SE.	.jpg	SDAM	2
Baden_2021-357-0008	F2, vue SE.	.jpg	SDAM	2
Baden_2021-357-0009	F2, vue SE.	.jpg	SDAM	2
Baden_2021-357-0010	F2, vue Sud.	.jpg	SDAM	2
Baden_2021-357-0011	F2, coupe SE-NO.	.jpg	SDAM	2
Baden_2021-357-0012	F2, coupe SE-NO.	.jpg	SDAM	2
Baden_2021-357-0013	F2, coupe NE-SO.	.jpg	SDAM	2
Baden_2021-357-0014	F2, vu Ouest.	.jpg	SDAM	2
Baden_2021-357-0015	F2, vu Ouest.	.jpg	SDAM	2
Baden_2021-357-0016	F2, vu Ouest.	.jpg	SDAM	2
Baden_2021-357-0017	F2, vue SE.	.jpg	SDAM	2
Baden_2021-357-0018	F2, vue Zénithale.	.jpg	SDAM	2
Baden_2021-357-0019	F2, vue SE.	.jpg	SDAM	2
Baden_2021-357-0020	F2, vue SE.	.jpg	SDAM	2
Baden_2021-357-0021	F2, vue SE.	.jpg	SDAM	2
Baden_2021-357-0022	F2, vue SE.	.jpg	SDAM	2
Baden_2021-357-0023	F3, vue SO.	.jpg	SDAM	3
Baden_2021-357-0024	F3, vue SO.	.jpg	SDAM	3
Baden_2021-357-0025	F3, vue SO.	.jpg	SDAM	3
Baden_2021-357-0026	F3, vue SO.	.jpg	SDAM	3
Baden_2021-357-0027	F4, vue SO.	.jpg	SDAM	4
Baden_2021-357-0028	F4, vue SO.	.jpg	SDAM	4
Baden_2021-357-0029	F4, vue SO.	.jpg	SDAM	4
Baden_2021-357-0030	F4, vue SO.	.jpg	SDAM	4
Baden_2021-357-0031	F4, vue NO.	.jpg	SDAM	4
Baden_2021-357-0032	F4, vue SO.	.jpg	SDAM	4
Baden_2021-357-0033	F4, vue SE.	.jpg	SDAM	4
Baden_2021-357-0034	F4, vue SO.	.jpg	SDAM	4
Baden_2021-357-0035	F4, vue SO.	.jpg	SDAM	4
Baden_2021-357-0036	F4, vue SO.	.jpg	SDAM	4
Baden_2021-357-0037	F4, vue SO.	.jpg	SDAM	4
Baden_2021-357-0038	F5, vue SO.	.jpg	SDAM	5
Baden_2021-357-0039	F5, vue SO.	.jpg	SDAM	5
Baden_2021-357-0040	F5, vue SO.	.jpg	SDAM	5
Baden_2021-357-0041	F5, vue NO.	.jpg	SDAM	5



Baden_2021-357-0042	F5, vue SE.	.jpg	SDAM	5
Baden_2021-357-0043	F5, vue Ouest.	.jpg	SDAM	5
Baden_2021-357-0044	F5, vue Nord.	.jpg	SDAM	5
Baden_2021-357-0045	F5, vue Nord.	.jpg	SDAM	5
Baden_2021-357-0046	F5, vue Nord.	.jpg	SDAM	5
Baden_2021-357-0047	F5, vue Nord.	.jpg	SDAM	5
Baden_2021-357-0048	F5, vu NE.	.jpg	SDAM	5
Baden_2021-357-0049	F5, vu NE.	.jpg	SDAM	5
Baden_2021-357-0050	F6, vu NE.	.jpg	SDAM	6
Baden_2021-357-0051	F6, vu NE.	.jpg	SDAM	6
Baden_2021-357-0052	F6 et 7, vue NNO.	.jpg	SDAM	6,7
Baden_2021-357-0053	F6 et 7, vue NNO.	.jpg	SDAM	6,7
Baden_2021-357-0054	F6 et 7, vue NNO.	.jpg	SDAM	6,7
Baden_2021-357-0055	F7, vue SO.	.jpg	SDAM	7
Baden_2021-357-0056	F7, vue SO.	.jpg	SDAM	7
Baden_2021-357-0057	F7, vue SO.	.jpg	SDAM	7
Baden_2021-357-0058	F8, vue NE.	.jpg	SDAM	8
Baden_2021-357-0059	F8, vue NE.	.jpg	SDAM	8
Baden_2021-357-0060	F8, vue NNE.	.jpg	SDAM	8
Baden_2021-357-0061	F9, vue SO.	.jpg	SDAM	9
Baden_2021-357-0062	F9, vue SO.	.jpg	SDAM	9
Baden_2021-357-0063	F9, vue SO.	.jpg	SDAM	9
Baden_2021-357-0064	F10, coupe NE-SO.	.jpg	SDAM	10
Baden_2021-357-0065	F10, coupe NE-SO.	.jpg	SDAM	10
Baden_2021-357-0066	F10, coupe NE-SO.	.jpg	SDAM	10
Baden_2021-357-0067	F10, vue NE.	.jpg	SDAM	10
Baden_2021-357-0068	F10, vue NE.	.jpg	SDAM	10
Baden_2021-357-0069	F10, vue NE.	.jpg	SDAM	10
Baden_2021-357-0070	F10, vue SE.	.jpg	SDAM	10
Baden_2021-357-0071	F11, vue SO.	.jpg	SDAM	11
Baden_2021-357-0072	F11, vue SO.	.jpg	SDAM	11
Baden_2021-357-0073	F11, vue SO.	.jpg	SDAM	11
Baden_2021-357-0074	F11, vue NO.	.jpg	SDAM	11
Baden_2021-357-0075	F11, F12, vue Sud.	.jpg	SDAM	11,12
Baden_2021-357-0076	F11, F12, vue Sud.	.jpg	SDAM	11,12
Baden_2021-357-0077	F11, F12, vue Sud.	.jpg	SDAM	11,12
Baden_2021-357-0078	F12, vue SO.	.jpg	SDAM	12
Baden_2021-357-0079	F12, vue SO.	.jpg	SDAM	12
Baden_2021-357-0080	F12, vue SO.	.jpg	SDAM	12
Baden_2021-357-0081	F13, vue NE.	.jpg	SDAM	13
Baden_2021-357-0082	F13, vue NE.	.jpg	SDAM	13
Baden_2021-357-0083	F13, vue NE.	.jpg	SDAM	13
Baden_2021-357-0084	F13, vue SO.	.jpg	SDAM	13
Baden_2021-357-0085	F13, vue NO.	.jpg	SDAM	13
Baden_2021-357-0086	F14, vue SO.	.jpg	SDAM	14

Baden_2021-357-0087	F14, vue SO.	.jpg	SDAM	14
Baden_2021-357-0088	F14, vue Ouest.	.jpg	SDAM	14
Baden_2021-357-0089	F14, vue Ouest.	.jpg	SDAM	14
Baden_2021-357-0090	F14, vue Ouest.	.jpg	SDAM	14
Baden_2021-357-0091	F15, vue NE.	.jpg	SDAM	15
Baden_2021-357-0092	F15, vue NE.	.jpg	SDAM	15
Baden_2021-357-0093	F15, vue NE.	.jpg	SDAM	15
Baden_2021-357-0094	F15, vue Sud.	.jpg	SDAM	15
Baden_2021-357-0095	F15, vue Sud.	.jpg	SDAM	15
Baden_2021-357-0096	F16, vue SO.	.jpg	SDAM	16
Baden_2021-357-0097	F16, vue SO.	.jpg	SDAM	16
Baden_2021-357-0098	F16, vue SO.	.jpg	SDAM	16
Baden_2021-357-0099	F16, vue SO.	.jpg	SDAM	16
Baden_2021-357-0100	F17, vue SO.	.jpg	SDAM	17
Baden_2021-357-0101	F17, vue NO.	.jpg	SDAM	17
Baden_2021-357-0102	F17, vue SO.	.jpg	SDAM	17
Baden_2021-357-0103	F17, vue NO.	.jpg	SDAM	17
Baden_2021-357-0104	F17, vue SO.	.jpg	SDAM	17
Baden_2021-357-0105	F17, vue Sud.	.jpg	SDAM	17
Baden_2021-357-0106	F17, vue Sud.	.jpg	SDAM	17
Baden_2021-357-0107	F17, vue Sud.	.jpg	SDAM	17
Baden_2021-357-0108	F17, F18, vue SO.	.jpg	SDAM	17,18
Baden_2021-357-0109	F18, vue SSO.	.jpg	SDAM	18
Baden_2021-357-0110	F18, vue SSO.	.jpg	SDAM	18
Baden_2021-357-0111	F18, vue NO.	.jpg	SDAM	18
Baden_2021-357-0112	F19, vue NO.	.jpg	SDAM	19
Baden_2021-357-0113	F19, vue SO.	.jpg	SDAM	19
Baden_2021-357-0114	F19, vue SSE.	.jpg	SDAM	19
Baden_2021-357-0115	F19, vue SSE.	.jpg	SDAM	19
Baden_2021-357-0116	F19, vue SSE.	.jpg	SDAM	19
Baden_2021-357-0117	F20, vue SO.	.jpg	SDAM	20
Baden_2021-357-0118	F20, vue SSO.	.jpg	SDAM	20
Baden_2021-357-0119	F20, vue SSO.	.jpg	SDAM	20
Baden_2021-357-0120	F20, vue SSO.	.jpg	SDAM	20
Baden_2021-357-0121	F21, F22, vue SO.	.jpg	SDAM	21,22
Baden_2021-357-0122	F21, F22, vue SSE.	.jpg	SDAM	21,22
Baden_2021-357-0123	F21, F22, vue SSE.	.jpg	SDAM	21,22
Baden_2021-357-0124	F23, vue SO.	.jpg	SDAM	23
Baden_2021-357-0125	F23, vue SSO.	.jpg	SDAM	23
Baden_2021-357-0126	F23, vue SSO.	.jpg	SDAM	23
Baden_2021-357-0127	F23, vue SSO.	.jpg	SDAM	23
Baden_2021-357-0128	F24, vue SO.	.jpg	SDAM	24
Baden_2021-357-0129	F24, vue NE.	.jpg	SDAM	24
Baden_2021-357-0130	F24, vue NE.	.jpg	SDAM	24
Baden_2021-357-0131	F24, vue SSE.	.jpg	SDAM	24

Baden_2021-357-0132	F24, vue NE.	.jpg	SDAM	24
Baden_2021-357-0133	F24, vue NE.	.jpg	SDAM	24
Baden_2021-357-0134	F24, vue SSE.	.jpg	SDAM	24
Baden_2021-357-0135	F25, vue NO.	.jpg	SDAM	25
Baden_2021-357-0136	F25, vue NO.	.jpg	SDAM	25
Baden_2021-357-0137	F25, vue NO.	.jpg	SDAM	25
Baden_2021-357-0138	F25, vue NO.	.jpg	SDAM	25
Baden_2021-357-0139	F25, vue NNO.	.jpg	SDAM	25
Baden_2021-357-0140	F25, vue NNO.	.jpg	SDAM	25
Baden_2021-357-0141	F25, vue Berme.	.jpg	SDAM	25
Baden_2021-357-0142	F25, vue Berme.	.jpg	SDAM	25
Baden_2021-357-0143	F25, vue SO.	.jpg	SDAM	25
Baden_2021-357-0144	F25, vue SO.	.jpg	SDAM	25
Baden_2021-357-0145	F25, vue SE.	.jpg	SDAM	25
Baden_2021-357-0146	F25, vue SE.	.jpg	SDAM	25
Baden_2021-357-0147	F26, vue SSE.	.jpg	SDAM	26
Baden_2021-357-0148	F26, vue SSE.	.jpg	SDAM	26
Baden_2021-357-0149	F26, vue SSE.	.jpg	SDAM	26
Baden_2021-357-0150	F26, vue SSE.	.jpg	SDAM	26
Baden_2021-357-0151	F26, vue SSE.	.jpg	SDAM	26
Baden_2021-357-0152	F26, vue SSE.	.jpg	SDAM	26
Baden_2021-357-0153	F26, vue SSE.	.jpg	SDAM	26
Baden_2021-357-0154	F26, coupe, vue SSE.	.jpg	SDAM	26
Baden_2021-357-0155	F26, vue SO.	.jpg	SDAM	26
Baden_2021-357-0156	F26, vue SO.	.jpg	SDAM	26
Baden_2021-357-0157	F26, vue SO.	.jpg	SDAM	26
Baden_2021-357-0158	F26, vue zénithale.	.jpg	SDAM	26
Baden_2021-357-0159	F26, F27, vue SSE.	.jpg	SDAM	26,27
Baden_2021-357-0160	F 27, vue SO.	.jpg	SDAM	27
Baden_2021-357-0161	F 27, vue SO.	.jpg	SDAM	27
Baden_2021-357-0162	F 27, vue SSO.	.jpg	SDAM	27
Baden_2021-357-0163	F 27, vue SSO.	.jpg	SDAM	27
Baden_2021-357-0164	F28, vue SSO.	.jpg	SDAM	28
Baden_2021-357-0165	F28, vue SSO.	.jpg	SDAM	28
Baden_2021-357-0166	F28, vue SSO.	.jpg	SDAM	28
Baden_2021-357-0167	F28, vue SO.	.jpg	SDAM	28
Baden_2021-357-0168	F29, vue Ouest.	.jpg	SDAM	29
Baden_2021-357-0169	F29, vue Ouest.	.jpg	SDAM	29
Baden_2021-357-0170	F29, vue Ouest.	.jpg	SDAM	29
Baden_2021-357-0171	F29, vue Ouest.	.jpg	SDAM	29
Baden_2021-357-0172	F29, vue Ouest.	.jpg	SDAM	29
Baden_2021-357-0173	F29, F30, vue SO.	.jpg	SDAM	29,3
Baden_2021-357-0174	F29, F30, vue SO.	.jpg	SDAM	29,3
Baden_2021-357-0175	F29, F30, vue SO.	.jpg	SDAM	29,3
Baden_2021-357-0176	F30, vue SO.	.jpg	SDAM	30

Baden_2021-357-0177	F30, vue SO.	.jpg	SDAM	30
Baden_2021-357-0178	F30, vue SO.	.jpg	SDAM	30
Baden_2021-357-0179	F30, vue NO.	.jpg	SDAM	30
Baden_2021-357-0180	F30, vue NO.	.jpg	SDAM	30
Baden_2021-357-0181	F30, vue coupe, NO.	.jpg	SDAM	30
Baden_2021-357-0182	F30, vue coupe, NO.	.jpg	SDAM	30
Baden_2021-357-0183	F30, vue zénithale.	.jpg	SDAM	30
Baden_2021-357-0184	F31, vue SO.	.jpg	SDAM	31
Baden_2021-357-0185	F31, vue SO.	.jpg	SDAM	31
Baden_2021-357-0186	F31, vue SO.	.jpg	SDAM	31
Baden_2021-357-0187	F31, vue SO.	.jpg	SDAM	31
Baden_2021-357-0188	F32, vue SE.	.jpg	SDAM	32
Baden_2021-357-0189	F32, vue SE.	.jpg	SDAM	32
Baden_2021-357-0190	F32, vue SE.	.jpg	SDAM	32
Baden_2021-357-0191	F32, 33, 34, vue SO.	.jpg	SDAM	32,33,34
Baden_2021-357-0192	F32, 33, 34, vue SO.	.jpg	SDAM	32,33,34
Baden_2021-357-0193	F32, 33, 34, vue SO.	.jpg	SDAM	32,33,34
Baden_2021-357-0194	F32, 33, 34, vue SO.	.jpg	SDAM	32,33,34
Baden_2021-357-0195	F33, vue SO.	.jpg	SDAM	33
Baden_2021-357-0196	F33, vue SO.	.jpg	SDAM	33
Baden_2021-357-0197	F33, vue SO.	.jpg	SDAM	33
Baden_2021-357-0198	F34, vue SO.	.jpg	SDAM	34
Baden_2021-357-0199	F34, vue SO.	.jpg	SDAM	34
Baden_2021-357-0200	F34, vue SO.	.jpg	SDAM	34
Baden_2021-357-0201	F35, vue SO.	.jpg	SDAM	35
Baden_2021-357-0202	F35, vue NO.	.jpg	SDAM	35
Baden_2021-357-0203	F35, vue SO.	.jpg	SDAM	35
Baden_2021-357-0204	F35, vue SO.	.jpg	SDAM	35
Baden_2021-357-0205	F35, vue coupe, SO.	.jpg	SDAM	35
Baden_2021-357-0206	F35, vue SO.	.jpg	SDAM	35
Baden_2021-357-0207	F35, vue SO.	.jpg	SDAM	35
Baden_2021-357-0208	F35, vue SO.	.jpg	SDAM	35
Baden_2021-357-0209	F35, vue SSE.	.jpg	SDAM	35
Baden_2021-357-0210	F36, vue SO.	.jpg	SDAM	36
Baden_2021-357-0211	F36, vue SSE.	.jpg	SDAM	36
Baden_2021-357-0212	F36, vue SO.	.jpg	SDAM	36
Baden_2021-357-0213	F36, vue zénithale.	.jpg	SDAM	36
Baden_2021-357-0214	F36, vue coupe, SO.	.jpg	SDAM	36
Baden_2021-357-0215	F36, vue coupe, SO.	.jpg	SDAM	36
Baden_2021-357-0216	F36, vue zénithale.	.jpg	SDAM	36
Baden_2021-357-0217	F36, vue SO.	.jpg	SDAM	36
Baden_2021-357-0218	F36, vue SO.	.jpg	SDAM	36
Baden_2021-357-0219	F36, vue SO.	.jpg	SDAM	36
Baden_2021-357-0220	F36, vue SO.	.jpg	SDAM	36
Baden_2021-357-0221	F37, vue coupe.	.jpg	SDAM	37

Baden_2021-357-0222	F37, vue coupe.	.jpg	SDAM	37
Baden_2021-357-0223	F37, F38, vue SO.	.jpg	SDAM	37,38
Baden_2021-357-0224	F37, F38, vue SO.	.jpg	SDAM	37,38
Baden_2021-357-0225	F37, F38, vue SO.	.jpg	SDAM	37,38
Baden_2021-357-0226	F37, F38, vue NO.	.jpg	SDAM	37,38
Baden_2021-357-0227	F38, vue SO.	.jpg	SDAM	38
Baden_2021-357-0228	F38, vue SO.	.jpg	SDAM	38
Baden_2021-357-0229	F38, vue SO.	.jpg	SDAM	38
Baden_2021-357-0230	F39, vue SO.	.jpg	SDAM	39
Baden_2021-357-0231	F39, vue NO.	.jpg	SDAM	39
Baden_2021-357-0232	F39, vue SO.	.jpg	SDAM	39
Baden_2021-357-0233	F39, vue SO.	.jpg	SDAM	39
Baden_2021-357-0234	F39, vue SO.	.jpg	SDAM	39
Baden_2021-357-0235	F39, vue SO.	.jpg	SDAM	39
Baden_2021-357-0236	F39, vue SO.	.jpg	SDAM	39
Baden_2021-357-0237	F40, vue SO.	.jpg	SDAM	40
Baden_2021-357-0238	F40, vue SO.	.jpg	SDAM	40
Baden_2021-357-0239	F40, vue SE.	.jpg	SDAM	40
Baden_2021-357-0240	F40, vue SO.	.jpg	SDAM	40
Baden_2021-357-0241	F40, vue SO.	.jpg	SDAM	40
Baden_2021-357-0242	F40, vue SO.	.jpg	SDAM	40
Baden_2021-357-0243	F40, vue SO.	.jpg	SDAM	40
Baden_2021-357-0244	F41, vue Sud.	.jpg	SDAM	41
Baden_2021-357-0245	F41, vue Sud.	.jpg	SDAM	41
Baden_2021-357-0246	F41, vue SO.	.jpg	SDAM	41
Baden_2021-357-0247	F41, vue SO.	.jpg	SDAM	41
Baden_2021-357-0248	F41, vue NO.	.jpg	SDAM	41
Baden_2021-357-0249	F41, vue NO.	.jpg	SDAM	41
Baden_2021-357-0250	F42, vue SO.	.jpg	SDAM	42
Baden_2021-357-0251	F42, vue SO.	.jpg	SDAM	42
Baden_2021-357-0252	F42, vue SO.	.jpg	SDAM	42
Baden_2021-357-0253	F42, vue SO.	.jpg	SDAM	42
Baden_2021-357-0254	F43, vue SE.	.jpg	SDAM	43
Baden_2021-357-0255	F43, vue SE.	.jpg	SDAM	43
Baden_2021-357-0256	F43, vue SE.	.jpg	SDAM	43
Baden_2021-357-0257	F43, vue SE.	.jpg	SDAM	43
Baden_2021-357-0258	F43, vue SE.	.jpg	SDAM	43
Baden_2021-357-0259	F43, vue SE.	.jpg	SDAM	43
Baden_2021-357-0260	F43, vue SE.	.jpg	SDAM	43
Baden_2021-357-0261	F43, vue coupe, SE.	.jpg	SDAM	43
Baden_2021-357-0262	F43, vue coupe, SE.	.jpg	SDAM	43
Baden_2021-357-0263	F44, vue SO.	.jpg	SDAM	44
Baden_2021-357-0264	F44, vue NO.	.jpg	SDAM	44
Baden_2021-357-0265	F44, vue SO.	.jpg	SDAM	44
Baden_2021-357-0266	F44, vue SO.	.jpg	SDAM	44

Baden_2021-357-0267	F44, vue SO.	.jpg	SDAM	44
Baden_2021-357-0268	F44, vue SO.	.jpg	SDAM	44
Baden_2021-357-0269	F44, vue SO.	.jpg	SDAM	44
Baden_2021-357-0270	F44, vue SO.	.jpg	SDAM	44
Baden_2021-357-0271	F45, vue SO.	.jpg	SDAM	45
Baden_2021-357-0272	F45, vue SO.	.jpg	SDAM	45
Baden_2021-357-0273	F45, vue SO.	.jpg	SDAM	45
Baden_2021-357-0274	F45, vue SO.	.jpg	SDAM	45
Baden_2021-357-0275	F46, vue SO.	.jpg	SDAM	46
Baden_2021-357-0276	F46, vue coupe SO.	.jpg	SDAM	46
Baden_2021-357-0277	F46, vue coupe SO.	.jpg	SDAM	46
Baden_2021-357-0278	F46, vue SO.	.jpg	SDAM	46
Baden_2021-357-0279	F46, vue SO.	.jpg	SDAM	46
Baden_2021-357-0280	F46, vue SO.	.jpg	SDAM	46
Baden_2021-357-0281	F46, vue SO.	.jpg	SDAM	46
Baden_2021-357-0282	F47, F48, vue NO.	.jpg	SDAM	47,48
Baden_2021-357-0283	F47, F48, vue NO.	.jpg	SDAM	47,48
Baden_2021-357-0284	F47, F48, vue NO.	.jpg	SDAM	47,48
Baden_2021-357-0285	F48, vue Nord.	.jpg	SDAM	48
Baden_2021-357-0286	F48, vue Nord.	.jpg	SDAM	48
Baden_2021-357-0287	F49, vue SO.	.jpg	SDAM	49
Baden_2021-357-0288	F49, vue SO.	.jpg	SDAM	49
Baden_2021-357-0289	F49, vue SO.	.jpg	SDAM	49
Baden_2021-357-0290	F49, vue SO.	.jpg	SDAM	49
Baden_2021-357-0291	F50, coupe SE-NO.	.jpg	SDAM	50
Baden_2021-357-0292	F50, coupe SE-NO.	.jpg	SDAM	50
Baden_2021-357-0293	F50, coupe SE-NO.	.jpg	SDAM	50
Baden_2021-357-0294	F50, coupe SE-NO.	.jpg	SDAM	50
Baden_2021-357-0295	F50, coupe SE-NO.	.jpg	SDAM	50
Baden_2021-357-0296	F50, F51, vue Sud.	.jpg	SDAM	50,51
Baden_2021-357-0297	F50, F51, vue Sud.	.jpg	SDAM	50,51
Baden_2021-357-0298	F50, F51, vue Sud.	.jpg	SDAM	50,51
Baden_2021-357-0299	F51, coupe SE-NO.	.jpg	SDAM	51
Baden_2021-357-0300	F51, coupe SE-NO.	.jpg	SDAM	51
Baden_2021-357-0301	F52, vue SO.	.jpg	SDAM	52
Baden_2021-357-0302	F52, vue SO.	.jpg	SDAM	52
Baden_2021-357-0303	F52, vue SO.	.jpg	SDAM	52
Baden_2021-357-0304	F52, vue SO.	.jpg	SDAM	52
Baden_2021-357-0305	F52, vue NE.	.jpg	SDAM	52
Baden_2021-357-0306	F53, vue NE.	.jpg	SDAM	53
Baden_2021-357-0307	F53, vue NE.	.jpg	SDAM	53
Baden_2021-357-0308	F53, vue NE.	.jpg	SDAM	53
Baden_2021-357-0309	F53, vue NE.	.jpg	SDAM	53
Baden_2021-357-0310	F53, vue SO.	.jpg	SDAM	53
Baden_2021-357-0311	F53, vue SO.	.jpg	SDAM	53

Baden_2021-357-0312	F53, vue SO.	.jpg	SDAM	53
Baden_2021-357-0313	F53, vue SO.	.jpg	SDAM	53
Baden_2021-357-0314	F54, vue NE.	.jpg	SDAM	54
Baden_2021-357-0315	F54, vue NE.	.jpg	SDAM	54
Baden_2021-357-0316	F54, vue NE.	.jpg	SDAM	54
Baden_2021-357-0317	F54, vue NE.	.jpg	SDAM	54
Baden_2021-357-0318	F54, vue SO.	.jpg	SDAM	54
Baden_2021-357-0319	F55, vue SO.	.jpg	SDAM	55
Baden_2021-357-0320	F55, vue SO.	.jpg	SDAM	55
Baden_2021-357-0321	F55, vue SO.	.jpg	SDAM	55
Baden_2021-357-0322	F55, vue SO.	.jpg	SDAM	55
Baden_2021-357-0323	F55, vue SO.	.jpg	SDAM	55
Baden_2021-357-0324	F56, vue SE.	.jpg	SDAM	56
Baden_2021-357-0325	F56, vue SE.	.jpg	SDAM	56
Baden_2021-357-0326	F56, vue SE.	.jpg	SDAM	56
Baden_2021-357-0327	F56, vue SE.	.jpg	SDAM	56
Baden_2021-357-0328	F56, vue coupe, SE.	.jpg	SDAM	56
Baden_2021-357-0329	F56, vue coupe, SE.	.jpg	SDAM	56
Baden_2021-357-0330	F56, vue SO.	.jpg	SDAM	56
Baden_2021-357-0331	F57, vue SO.	.jpg	SDAM	57
Baden_2021-357-0332	F57, vue SO.	.jpg	SDAM	57
Baden_2021-357-0333	F57, vue SO.	.jpg	SDAM	57
Baden_2021-357-0334	F57, vue SO.	.jpg	SDAM	57
Baden_2021-357-0335	F58, vue SO.	.jpg	SDAM	58
Baden_2021-357-0336	F58, vue SO.	.jpg	SDAM	58
Baden_2021-357-0337	F58, vue SO.	.jpg	SDAM	58
Baden_2021-357-0338	F59, F60, vue SO.	.jpg	SDAM	59,60
Baden_2021-357-0339	F59, F60, vue SO.	.jpg	SDAM	59,60
Baden_2021-357-0340	F59, F60, vue SSE.	.jpg	SDAM	59,60
Baden_2021-357-0341	F59, F60, vue SSE.	.jpg	SDAM	59,60
Baden_2021-357-0342	F59, F60, vue SSE.	.jpg	SDAM	59,60
Baden_2021-357-0343	F59, F60, vue Est.	.jpg	SDAM	59,60
Baden_2021-357-0344	F61, vue SO.	.jpg	SDAM	61
Baden_2021-357-0345	F61, vue SO.	.jpg	SDAM	61
Baden_2021-357-0346	F61, vue SSO.	.jpg	SDAM	61
Baden_2021-357-0347	F61, vue NNE.	.jpg	SDAM	61
Baden_2021-357-0348	F61, vue NNE.	.jpg	SDAM	61
Baden_2021-357-0349	F61, vue NNE.	.jpg	SDAM	61
Baden_2021-357-0350	F62, vue SO.	.jpg	SDAM	62
Baden_2021-357-0351	F62, vue SO.	.jpg	SDAM	62
Baden_2021-357-0352	F62, vue SO.	.jpg	SDAM	62
Baden_2021-357-0353	F62, vue SE.	.jpg	SDAM	62
Baden_2021-357-0354	F63, vue NO.	.jpg	SDAM	63
Baden_2021-357-0355	F63, vue NO.	.jpg	SDAM	63
Baden_2021-357-0356	F63, vue NO.	.jpg	SDAM	63

Baden_2021-357-0357	F63, vue NO.	.jpg	SDAM	63
Baden_2021-357-0358	F64, vue NE.	.jpg	SDAM	64
Baden_2021-357-0359	F64, vue NE.	.jpg	SDAM	64
Baden_2021-357-0360	F64, vue NE.	.jpg	SDAM	64
Baden_2021-357-0361	F64, vue NE.	.jpg	SDAM	64
Baden_2021-357-0362	F65, vue SO.	.jpg	SDAM	65
Baden_2021-357-0363	F65, vue SO.	.jpg	SDAM	65
Baden_2021-357-0364	F65, vue SO.	.jpg	SDAM	65
Baden_2021-357-0365	F65, vue SO.	.jpg	SDAM	65
Baden_2021-357-0366	F65, vue NE.	.jpg	SDAM	65
Baden_2021-357-0367	F66, vue OSO.	.jpg	SDAM	66
Baden_2021-357-0368	F66, vue OSO.	.jpg	SDAM	66
Baden_2021-357-0369	F66, vue OSO.	.jpg	SDAM	66
Baden_2021-357-0370	F66, vue Nord.	.jpg	SDAM	66
Baden_2021-357-0371	F67, F68, F69, vue NNO.	.jpg	SDAM	67,68,69
Baden_2021-357-0372	F67, F68, F69, vue NNO.	.jpg	SDAM	67,68,69
Baden_2021-357-0373	F67, F68, F69, vue NNE.	.jpg	SDAM	67,68,69
Baden_2021-357-0374	F67, F68, F69, vue NNE.	.jpg	SDAM	67,68,69
Baden_2021-357-0375	F67, F68, F69, vue SO.	.jpg	SDAM	67,68,69
Baden_2021-357-0376	F67, F68, F69, vue SO.	.jpg	SDAM	67,68,69
Baden_2021-357-0377	F67, F68, F69, vue NNO.	.jpg	SDAM	67,68,69
Baden_2021-357-0378	F67, F68, F69, vue NNO.	.jpg	SDAM	67,68,69
Baden_2021-357-0379	F67, F68, F69, vue NNO.	.jpg	SDAM	67,68,69
Baden_2021-357-0380	F67, F68, F69, vue NNO.	.jpg	SDAM	67,68,69
Baden_2021-357-0381	F67, F68, F69, vue NNO.	.jpg	SDAM	67,68,69
Baden_2021-357-0382	F68, vue SE.	.jpg	SDAM	68
Baden_2021-357-0383	F68, vue SE.	.jpg	SDAM	68
Baden_2021-357-0384	F68, vue SE.	.jpg	SDAM	68
Baden_2021-357-0385	F69, vue NNO.	.jpg	SDAM	69
Baden_2021-357-0386	F69, vue NNO.	.jpg	SDAM	69
Baden_2021-357-0387	F69, vue zénithale.	.jpg	SDAM	69
Baden_2021-357-0388	F70, vue NNO.	.jpg	SDAM	70
Baden_2021-357-0389	F70, vue NNO.	.jpg	SDAM	70
Baden_2021-357-0390	F70, vue zénithale.	.jpg	SDAM	70
Baden_2021-357-0391	F70, F71, F72, vue NO.	.jpg	SDAM	70,71,72
Baden_2021-357-0392	F71, vue Nord.	.jpg	SDAM	71
Baden_2021-357-0393	F71, vue Nord.	.jpg	SDAM	71
Baden_2021-357-0394	F71, vue Nord.	.jpg	SDAM	71
Baden_2021-357-0395	F71, vue Ouest.	.jpg	SDAM	71
Baden_2021-357-0396	F72, vue NNO.	.jpg	SDAM	72
Baden_2021-357-0397	F72, vue NNO.	.jpg	SDAM	72
Baden_2021-357-0398	F72, vue NNO.	.jpg	SDAM	72
Baden_2021-357-0399	F72, vue zénithale.	.jpg	SDAM	72
Baden_2021-357-0400	F73, vue Nord.	.jpg	SDAM	73
Baden_2021-357-0401	F73, vue Nord.	.jpg	SDAM	73



Baden_2021-357-0402	F73, vue Nord.	.jpg	SDAM	73
Baden_2021-357-0403	F73, vue Nord.	.jpg	SDAM	73
Baden_2021-357-0404	F74, F75, vue Nord.	.jpg	SDAM	74,75
Baden_2021-357-0405	F74, F75, vue Nord.	.jpg	SDAM	74,75
Baden_2021-357-0406	F74, F75, vue Nord.	.jpg	SDAM	74,75
Baden_2021-357-0407	F74, F75, vue SE.	.jpg	SDAM	74,75
Baden_2021-357-0408	F76, vue Nord.	.jpg	SDAM	76
Baden_2021-357-0409	F76, vue Nord.	.jpg	SDAM	76
Baden_2021-357-0410	F76, vue Nord.	.jpg	SDAM	76
Baden_2021-357-0411	F76, vue NO.	.jpg	SDAM	76
Baden_2021-357-0412	F76, vue NO.	.jpg	SDAM	76
Baden_2021-357-0413	F77, vue SO.	.jpg	SDAM	77
Baden_2021-357-0414	F77, vue SO.	.jpg	SDAM	77
Baden_2021-357-0415	F77, vue SO.	.jpg	SDAM	77
Baden_2021-357-0416	F77, vue NO.	.jpg	SDAM	77
Baden_2021-357-0417	F77, vue NO.	.jpg	SDAM	77
Baden_2021-357-0418	F77, vue SE.	.jpg	SDAM	77
Baden_2021-357-0419	F77, vue NNE.	.jpg	SDAM	77
Baden_2021-357-0420	F77, vue NNE.	.jpg	SDAM	77
Baden_2021-357-0421	F77, vue SSO.	.jpg	SDAM	77
Baden_2021-357-0422	F77, vue SSO.	.jpg	SDAM	77
Baden_2021-357-0423	F78, 79, vue Nord.	.jpg	SDAM	78,79
Baden_2021-357-0424	F78, 79, vue Nord.	.jpg	SDAM	78,79
Baden_2021-357-0425	F78, 79, vue Nord.	.jpg	SDAM	78,79
Baden_2021-357-0426	F78, F79, vue Ouest.	.jpg	SDAM	78,79
Baden_2021-357-0427	F78, F79, vue Ouest.	.jpg	SDAM	78,79
Baden_2021-357-0428	F78, F79, vue Ouest.	.jpg	SDAM	78,79
Baden_2021-357-0429	F78, F79, vue Ouest.	.jpg	SDAM	78,79
Baden_2021-357-0430	F80, vue NO.	.jpg	SDAM	80
Baden_2021-357-0431	F80, vue NO.	.jpg	SDAM	80
Baden_2021-357-0432	F80, vue NO.	.jpg	SDAM	80
Baden_2021-357-0433	F80, vue coupe SO-NE.	.jpg	SDAM	80
Baden_2021-357-0434	F80, vue coupe SO-NE.	.jpg	SDAM	80
Baden_2021-357-0435	F80, vue coupe SO-NE.	.jpg	SDAM	80
Baden_2021-357-0436	F80, vue coupe SO-NE.	.jpg	SDAM	80
Baden_2021-357-0437	F81, vue Nord.	.jpg	SDAM	81
Baden_2021-357-0438	F81, vue Nord.	.jpg	SDAM	81
Baden_2021-357-0439	F81, vue Nord.	.jpg	SDAM	81
Baden_2021-357-0440	F81, vue Nord.	.jpg	SDAM	81
Baden_2021-357-0441	F81, vue Est.	.jpg	SDAM	81
Baden_2021-357-0442	F81, vue NE.	.jpg	SDAM	81
Baden_2021-357-0443	F81, vue NE.	.jpg	SDAM	81
Baden_2021-357-0444	F81, vue NE.	.jpg	SDAM	81
Baden_2021-357-0445	F81, vue NE.	.jpg	SDAM	81
Baden_2021-357-0446	F82, vue Nord.	.jpg	SDAM	82

Baden_2021-357-0447	F82, vue Nord.	.jpg	SDAM	82
Baden_2021-357-0448	F82, vue Nord.	.jpg	SDAM	82
Baden_2021-357-0449	F82, vue Ouest.	.jpg	SDAM	82
Baden_2021-357-0450	F83, vue Nord.	.jpg	SDAM	83
Baden_2021-357-0451	F83, vue Nord.	.jpg	SDAM	83
Baden_2021-357-0452	F83, vue Nord.	.jpg	SDAM	83
Baden_2021-357-0453	F83, vue Sud.	.jpg	SDAM	83
Baden_2021-357-0454	F83, vue Nord.	.jpg	SDAM	83
Baden_2021-357-0455	F83, vue Nord.	.jpg	SDAM	83
Baden_2021-357-0456	F83, vue zénithale.	.jpg	SDAM	83
Baden_2021-357-0457	F83, vue coupe.	.jpg	SDAM	83
Baden_2021-357-0458	F83, vue coupe.	.jpg	SDAM	83
Baden_2021-357-0459	F84, vue Nord.	.jpg	SDAM	84
Baden_2021-357-0460	F84, vue SO.	.jpg	SDAM	84
Baden_2021-357-0461	F84, vue SE.	.jpg	SDAM	84
Baden_2021-357-0462	F84, vue SE.	.jpg	SDAM	84
Baden_2021-357-0463	F84, F85, F86, vue NO.	.jpg	SDAM	84,85,86
Baden_2021-357-0464	F84, F85, F86, vue NO.	.jpg	SDAM	84,85,86
Baden_2021-357-0465	F84, F85, F86, vue NNO.	.jpg	SDAM	84,85,86
Baden_2021-357-0466	F84, F85, F86, vue NO.	.jpg	SDAM	84,85,86
Baden_2021-357-0467	F84, F85, F86, vue NO.	.jpg	SDAM	84,85,86
Baden_2021-357-0468	F84, F85, F86, vue SE.	.jpg	SDAM	84,85,86
Baden_2021-357-0469	F85, vue NO.	.jpg	SDAM	85
Baden_2021-357-0470	F85, vue NO.	.jpg	SDAM	85
Baden_2021-357-0471	F85, vue SO.	.jpg	SDAM	85
Baden_2021-357-0472	F85, vue SO.	.jpg	SDAM	85
Baden_2021-357-0473	F85, vue SO.	.jpg	SDAM	85
Baden_2021-357-0474	F86, vue NE.	.jpg	SDAM	86
Baden_2021-357-0475	F86, vue NO.	.jpg	SDAM	86
Baden_2021-357-0476	F86, vue SE.	.jpg	SDAM	86
Baden_2021-357-0477	F86, vue NE.	.jpg	SDAM	86
Baden_2021-357-0478	F86, vue SE.	.jpg	SDAM	86
Baden_2021-357-0479	F87, vue NNO.	.jpg	SDAM	87
Baden_2021-357-0480	F87, vue NNO.	.jpg	SDAM	87
Baden_2021-357-0481	F87, vue NNO.	.jpg	SDAM	87
Baden_2021-357-0482	F88, vue NNO.	.jpg	SDAM	88
Baden_2021-357-0483	F88, vue NNO.	.jpg	SDAM	88
Baden_2021-357-0484	F88, vue NNO.	.jpg	SDAM	88
Baden_2021-357-0485	F88, vue SSO.	.jpg	SDAM	88
Baden_2021-357-0486	F89, vue SE.	.jpg	SDAM	89
Baden_2021-357-0487	F89, vue SE.	.jpg	SDAM	89
Baden_2021-357-0488	F89, vue SE.	.jpg	SDAM	89
Baden_2021-357-0489	F89, F90, vue NNO.	.jpg	SDAM	89,90
Baden_2021-357-0490	F90, vue Nord.	.jpg	SDAM	90
Baden_2021-357-0491	F90, vue Nord.	.jpg	SDAM	90

Baden_2021-357-0492	F90, vue zénithale.	.jpg	SDAM	90
Baden_2021-357-0493	F90, vue NNO.	.jpg	SDAM	90
Baden_2021-357-0494	F90, vue NNO.	.jpg	SDAM	90
Baden_2021-357-0495	F91, vue SSO.	.jpg	SDAM	91
Baden_2021-357-0496	F91, vue SSO.	.jpg	SDAM	91
Baden_2021-357-0497	F91, vue SSO.	.jpg	SDAM	91
Baden_2021-357-0498	F91, vue SSO.	.jpg	SDAM	91
Baden_2021-357-0499	F91, vue coupe NO-SE.	.jpg	SDAM	91
Baden_2021-357-0500	F91, vue coupe NO-SE.	.jpg	SDAM	91
Baden_2021-357-0501	F91, vue coupe NO-SE.	.jpg	SDAM	91
Baden_2021-357-0502	F91, vue NO.	.jpg	SDAM	91
Baden_2021-357-0503	F91, vue NO.	.jpg	SDAM	91
Baden_2021-357-0504	F91, vue coupe.	.jpg	SDAM	91
Baden_2021-357-0505	F92, vue Nord.	.jpg	SDAM	92
Baden_2021-357-0506	F92, vue Nord.	.jpg	SDAM	92
Baden_2021-357-0507	F92, vue Nord.	.jpg	SDAM	92
Baden_2021-357-0508	F92, vue Nord.	.jpg	SDAM	92
Baden_2021-357-0509	F92, vue NE.	.jpg	SDAM	92
Baden_2021-357-0510	F93, vue NE.	.jpg	SDAM	93
Baden_2021-357-0511	F93, vue NE.	.jpg	SDAM	93
Baden_2021-357-0512	F93, vue NE.	.jpg	SDAM	93
Baden_2021-357-0513	F93, vue NE.	.jpg	SDAM	93
Baden_2021-357-0514	F93, vue Nord.	.jpg	SDAM	93
Baden_2021-357-0515	F93, vue Nord.	.jpg	SDAM	93
Baden_2021-357-0516	F93, vue Nord.	.jpg	SDAM	93
Baden_2021-357-0517	F93, vue Nord.	.jpg	SDAM	93
Baden_2021-357-0518	F93, vue SSO.	.jpg	SDAM	93
Baden_2021-357-0519	F93, vue SSO.	.jpg	SDAM	93
Baden_2021-357-0520	F93, vue SSO.	.jpg	SDAM	93
Baden_2021-357-0521	F93, vue SSO.	.jpg	SDAM	93
Baden_2021-357-0522	F93, vue SE.	.jpg	SDAM	93
Baden_2021-357-0523	F94, F95, vue NE.	.jpg	SDAM	94,95
Baden_2021-357-0524	F94, F95, vue NE.	.jpg	SDAM	94,95
Baden_2021-357-0525	F94, F95, vue NE.	.jpg	SDAM	94,95
Baden_2021-357-0526	F94, F95, vue NE.	.jpg	SDAM	
Baden_2021-357-0527	F94, F95, F96, F97, F98, vue NE.	.jpg	SDAM	94,95,96,97,98
Baden_2021-357-0528	F96, vue SSO.	.jpg	SDAM	96
Baden_2021-357-0529	F96, vue SSE.	.jpg	SDAM	96
Baden_2021-357-0530	F96, vue SSE.	.jpg	SDAM	96
Baden_2021-357-0531	F96, F97, F98, vue Sud.	.jpg	SDAM	96,97,98
Baden_2021-357-0532	F96, F97, F98, vue Sud.	.jpg	SDAM	96,97,98
Baden_2021-357-0533	F96, F97, F98, vue Sud.	.jpg	SDAM	96,97,98
Baden_2021-357-0534	F97, vue Sud.	.jpg	SDAM	97
Baden_2021-357-0535	F97, vue Est.	.jpg	SDAM	97
Baden_2021-357-0536	F97, vue Est.	.jpg	SDAM	97

Baden_2021-357-0537	F98, vue Est.	.jpg	SDAM	98
Baden_2021-357-0538	F98, vue Est.	.jpg	SDAM	98
Baden_2021-357-0539	F98, vue Est.	.jpg	SDAM	98
Baden_2021-357-0540	F99, F100, vue Nord.	.jpg	SDAM	99,100
Baden_2021-357-0541	F99, F100, vue Nord.	.jpg	SDAM	99,100
Baden_2021-357-0542	F99, F100, vue Nord.	.jpg	SDAM	99,100
Baden_2021-357-0543	F99, F100, vue Nord.	.jpg	SDAM	99,100
Baden_2021-357-0544	F101, vue Est.	.jpg	SDAM	101
Baden_2021-357-0545	F101, vue Est.	.jpg	SDAM	101
Baden_2021-357-0546	F101, vue Est.	.jpg	SDAM	101
Baden_2021-357-0547	F101, vue Ouest.	.jpg	SDAM	101
Baden_2021-357-0548	F101, vue Ouest.	.jpg	SDAM	101
Baden_2021-357-0549	F101, vue Ouest.	.jpg	SDAM	101
Baden_2021-357-0550	F101, vue Ouest.	.jpg	SDAM	101
Baden_2021-357-0551	F102, vue Nord.	.jpg	SDAM	102
Baden_2021-357-0552	F102, vue Nord.	.jpg	SDAM	102
Baden_2021-357-0553	F102, vue Nord.	.jpg	SDAM	102
Baden_2021-357-0554	F102, vue NNO.	.jpg	SDAM	102
Baden_2021-357-0555	F102, vue NNO.	.jpg	SDAM	102
Baden_2021-357-0556	F102, vue coupe.	.jpg	SDAM	102
Baden_2021-357-0557	F102, vue coupe.	.jpg	SDAM	102
Baden_2021-357-0558	F103, vue Nord.	.jpg	SDAM	103
Baden_2021-357-0559	F103, vue Nord.	.jpg	SDAM	103
Baden_2021-357-0560	F103, vue Nord.	.jpg	SDAM	103
Baden_2021-357-0561	F103, vue NE.	.jpg	SDAM	103
Baden_2021-357-0562	F104, coupe SO-NE.	.jpg	SDAM	104
Baden_2021-357-0563	F104, coupe SO-NE.	.jpg	SDAM	104
Baden_2021-357-0564	F104, coupe SO-NE.	.jpg	SDAM	104
Baden_2021-357-0565	F104, coupe SO-NE.	.jpg	SDAM	104
Baden_2021-357-0566	F104, coupe SO-NE.	.jpg	SDAM	104
Baden_2021-357-0567	F104, coupe SO-NE.	.jpg	SDAM	104
Baden_2021-357-0568	F104, coupe SO-NE.	.jpg	SDAM	104
Baden_2021-357-0569	F104, F105, vue Nord.	.jpg	SDAM	104,105
Baden_2021-357-0570	F104, F105, vue Nord.	.jpg	SDAM	104,105
Baden_2021-357-0571	F104, F105, vue Nord.	.jpg	SDAM	104,105
Baden_2021-357-0572	F104, F105, vue Nord.	.jpg	SDAM	104,105
Baden_2021-357-0573	F104, F105, vue Est.	.jpg	SDAM	104,105
Baden_2021-357-0574	F104, F105, vue Est.	.jpg	SDAM	104,105
Baden_2021-357-0575	F104, F105, vue Nord.	.jpg	SDAM	104,105
Baden_2021-357-0576	F106, vue Nord.	.jpg	SDAM	106
Baden_2021-357-0577	F106, vue Nord.	.jpg	SDAM	106
Baden_2021-357-0578	F106, vue Nord.	.jpg	SDAM	106
Baden_2021-357-0579	F106, vue zénithale.	.jpg	SDAM	106
Baden_2021-357-0580	F107, vue NO.	.jpg	SDAM	107
Baden_2021-357-0581	F107, vue NO.	.jpg	SDAM	107

Baden_2021-357-0582	F107, vue NO.	.jpg	SDAM	107
Baden_2021-357-0583	F107, vue NO.	.jpg	SDAM	107
Baden_2021-357-0584	F108, vue Nord.	.jpg	SDAM	108
Baden_2021-357-0585	F108, vue Nord.	.jpg	SDAM	108
Baden_2021-357-0586	F108, vue Nord.	.jpg	SDAM	108
Baden_2021-357-0587	F108, vue Nord.	.jpg	SDAM	108
Baden_2021-357-0588	F108, vue Nord.	.jpg	SDAM	108
Baden_2021-357-0589	F109, vue NO.	.jpg	SDAM	109
Baden_2021-357-0590	F109, vue NO.	.jpg	SDAM	109
Baden_2021-357-0591	F109, vue NO.	.jpg	SDAM	109
Baden_2021-357-0592	F110, vue Nord.	.jpg	SDAM	110
Baden_2021-357-0593	F110, vue Nord.	.jpg	SDAM	110
Baden_2021-357-0594	F110, vue Nord.	.jpg	SDAM	110
Baden_2021-357-0595	F111, vue Nord.	.jpg	SDAM	111
Baden_2021-357-0596	F111, vue Nord.	.jpg	SDAM	111
Baden_2021-357-0597	F111, vue Est.	.jpg	SDAM	111
Baden_2021-357-0598	F111, vue Sud.	.jpg	SDAM	111
Baden_2021-357-0599	F111, vue Sud.	.jpg	SDAM	111
Baden_2021-357-0600	F111, vue Sud.	.jpg	SDAM	111
Baden_2021-357-0601	F111, vue Sud.	.jpg	SDAM	111
Baden_2021-357-0602	F112, vue NNO.	.jpg	SDAM	112
Baden_2021-357-0603	F112, vue NNO.	.jpg	SDAM	112
Baden_2021-357-0604	F112, vue NNO.	.jpg	SDAM	112
Baden_2021-357-0605	F112, vue NNO.	.jpg	SDAM	112
Baden_2021-357-0606	F113, vue Nord.	.jpg	SDAM	113
Baden_2021-357-0607	F113, vue Nord.	.jpg	SDAM	113
Baden_2021-357-0608	F113, vue Nord.	.jpg	SDAM	113
Baden_2021-357-0609	F113, vue Nord.	.jpg	SDAM	113
Baden_2021-357-0610	F113, vue NO.	.jpg	SDAM	113
Baden_2021-357-0611	F113, vue NO.	.jpg	SDAM	113
Baden_2021-357-0612	F113, vue Sud.	.jpg	SDAM	113
Baden_2021-357-0613	F113, vue Sud.	.jpg	SDAM	113
Baden_2021-357-0614	F113, vue Sud.	.jpg	SDAM	113
Baden_2021-357-0615	F113, coupe E-O.	.jpg	SDAM	113
Baden_2021-357-0616	F113, coupe E-O.	.jpg	SDAM	113
Baden_2021-357-0617	F113, coupe E-O.	.jpg	SDAM	113
Baden_2021-357-0618	F113, coupe E-O.	.jpg	SDAM	113
Baden_2021-357-0619	F113, coupe E-O.	.jpg	SDAM	113
Baden_2021-357-0620	F114, F115, vue NO.	.jpg	SDAM	114,115
Baden_2021-357-0621	F114, F115, vue NO.	.jpg	SDAM	114,115
Baden_2021-357-0622	F114, F115, vue Nord.	.jpg	SDAM	114,115
Baden_2021-357-0623	F115, vue SO.	.jpg	SDAM	115
Baden_2021-357-0624	F115, vue SO.	.jpg	SDAM	115
Baden_2021-357-0625	F115, vue SO.	.jpg	SDAM	115
Baden_2021-357-0626	F116, vue ONO.	.jpg	SDAM	116

Baden_2021-357-0627	F116, vue zénithale.	.jpg	SDAM	116
Baden_2021-357-0628	F116, vue coupe.	.jpg	SDAM	116
Baden_2021-357-0629	F116, F117, vue NE.	.jpg	SDAM	116,117
Baden_2021-357-0630	F116, F117, vue NE.	.jpg	SDAM	116,117
Baden_2021-357-0631	F116, F117, vue NE.	.jpg	SDAM	116,117
Baden_2021-357-0632	F116, F117, vue Nord.	.jpg	SDAM	116,117
Baden_2021-357-0633	F116, F117, vue Nord.	.jpg	SDAM	116,117
Baden_2021-357-0634	F118, vue Nord.	.jpg	SDAM	118
Baden_2021-357-0635	F118, vue Nord.	.jpg	SDAM	118
Baden_2021-357-0636	F118, vue Nord.	.jpg	SDAM	118
Baden_2021-357-0637	F118, vue Nord.	.jpg	SDAM	118
Baden_2021-357-0638	F118, vue NO.	.jpg	SDAM	118
Baden_2021-357-0639	F118, vue Ouest.	.jpg	SDAM	118
Baden_2021-357-0640	F118, vue Ouest.	.jpg	SDAM	118
Baden_2021-357-0641	F118, vue Ouest.	.jpg	SDAM	118
Baden_2021-357-0642	F118, vue Coupe S-N.	.jpg	SDAM	118
Baden_2021-357-0643	F118, vue Coupe S-N.	.jpg	SDAM	118
Baden_2021-357-0644	F118, vue Coupe S-N.	.jpg	SDAM	118
Baden_2021-357-0645	F119, vue Nord.	.jpg	SDAM	119
Baden_2021-357-0646	F119, vue Nord.	.jpg	SDAM	119
Baden_2021-357-0647	F119, vue Nord.	.jpg	SDAM	119
Baden_2021-357-0648	F119, vue Ouest.	.jpg	SDAM	119
Baden_2021-357-0649	F119, vue Sud.	.jpg	SDAM	119
Baden_2021-357-0650	F119, vue Sud.	.jpg	SDAM	119
Baden_2021-357-0651	F120, vue NNO.	.jpg	SDAM	120
Baden_2021-357-0652	F120, vue NNO.	.jpg	SDAM	120
Baden_2021-357-0653	F120, vue NNO.	.jpg	SDAM	120
Baden_2021-357-0654	F120, vue NNE.	.jpg	SDAM	120
Baden_2021-357-0655	F120, vue SSE.	.jpg	SDAM	120
Baden_2021-357-0656	F120, vue SO.	.jpg	SDAM	120
Baden_2021-357-0657	F120, vue SO.	.jpg	SDAM	120
Baden_2021-357-0658	F120, vue SO.	.jpg	SDAM	120
Baden_2021-357-0659	F120, vue SO.	.jpg	SDAM	120
Baden_2021-357-0660	F120, vue Nord.	.jpg	SDAM	120
Baden_2021-357-0661	F120, vue Nord.	.jpg	SDAM	120
Baden_2021-357-0662	F120, vue Nord.	.jpg	SDAM	120
Baden_2021-357-0663	F120, vue coupe, SE-NO.	.jpg	SDAM	120
Baden_2021-357-0664	F120, vue coupe, SE-NO.	.jpg	SDAM	120
Baden_2021-357-0665	F120, vue coupe, SE-NO.	.jpg	SDAM	120
Baden_2021-357-0666	F121, vue Nord.	.jpg	SDAM	121
Baden_2021-357-0667	F121, vue Nord.	.jpg	SDAM	121
Baden_2021-357-0668	F121, vue NO.	.jpg	SDAM	121
Baden_2021-357-0669	F121, vue NO.	.jpg	SDAM	121
Baden_2021-357-0670	F121, vue Sud.	.jpg	SDAM	121
Baden_2021-357-0671	F121, vue Sud.	.jpg	SDAM	121

Baden_2021-357-0672	F121, vue Sud.	.jpg	SDAM	121
Baden_2021-357-0673	F121, vue NNE.	.jpg	SDAM	121
Baden_2021-357-0674	F121, vue NNE.	.jpg	SDAM	121
Baden_2021-357-0675	F122, vue NO.	.jpg	SDAM	122
Baden_2021-357-0676	F122, vue NO.	.jpg	SDAM	122
Baden_2021-357-0677	F122, vue NO.	.jpg	SDAM	122
Baden_2021-357-0678	F122, vue NO.	.jpg	SDAM	122
Baden_2021-357-0679	F122, vue SO.	.jpg	SDAM	122
Baden_2021-357-0680	F122, vue Nord.	.jpg	SDAM	122
Baden_2021-357-0681	F122, vue Nord.	.jpg	SDAM	122
Baden_2021-357-0682	F123, vue Ouest.	.jpg	SDAM	123
Baden_2021-357-0683	F123, vue Ouest.	.jpg	SDAM	123
Baden_2021-357-0684	F123, vue Ouest.	.jpg	SDAM	123
Baden_2021-357-0685	F123, vue Ouest.	.jpg	SDAM	123
Baden_2021-357-0686	F123, vue Ouest.	.jpg	SDAM	123
Baden_2021-357-0687	F123, vue Ouest.	.jpg	SDAM	123
Baden_2021-357-0688	F123, vue Ouest.	.jpg	SDAM	123
Baden_2021-357-0689	F125, vue Nord.	.jpg	SDAM	125
Baden_2021-357-0690	F125, vue NE.	.jpg	SDAM	125
Baden_2021-357-0691	F125, vue NO.	.jpg	SDAM	125
Baden_2021-357-0692	F126, vue SO.	.jpg	SDAM	126
Baden_2021-357-0693	F126, vue SO.	.jpg	SDAM	126
Baden_2021-357-0694	F126, vue SO.	.jpg	SDAM	126
Baden_2021-357-0695	F126, vue SE.	.jpg	SDAM	126
Baden_2021-357-0696	F126, vue Sud	.jpg	SDAM	126
Baden_2021-357-0697	F126, vue Sud.	.jpg	SDAM	126
Baden_2021-357-0698	F126, vue Sud.	.jpg	SDAM	126
Baden_2021-357-0699	F126, vue Sud.	.jpg	SDAM	126
Baden_2021-357-0700	F126, vue NNE.	.jpg	SDAM	126
Baden_2021-357-0701	F126, vue NNE.	.jpg	SDAM	126
Baden_2021-357-0702	F126, vue Sud.	.jpg	SDAM	126
Baden_2021-357-0703	F126, vue NNE.	.jpg	SDAM	126
Baden_2021-357-0704	F126, vue Est.	.jpg	SDAM	126
Baden_2021-357-0705	F126, vue Est.	.jpg	SDAM	126
Baden_2021-357-0706	F126, vue Est.	.jpg	SDAM	126
Baden_2021-357-0707	F126, vue Est.	.jpg	SDAM	126
Baden_2021-357-0708	F126, vue Est.	.jpg	SDAM	126
Baden_2021-357-0709	F126, vue Ouest.	.jpg	SDAM	126
Baden_2021-357-0710	F126, vue Est.	.jpg	SDAM	126
Baden_2021-357-0711	F126, vue Est.	.jpg	SDAM	126
Baden_2021-357-0712	F126, vue Est.	.jpg	SDAM	126
Baden_2021-357-0713	F126, vue Est.	.jpg	SDAM	126
Baden_2021-357-0714	F126, vue Ouest.	.jpg	SDAM	126
Baden_2021-357-0715	F126, vue Nord.	.jpg	SDAM	126
Baden_2021-357-0716	F126, vue Sud.	.jpg	SDAM	126

Baden_2021-357-0717	F126, vue Sud.	.jpg	SDAM	126
Baden_2021-357-0718	F126, détail céramique.	.jpg	SDAM	126
Baden_2021-357-0719	F126, détail céramique.	.jpg	SDAM	126
Baden_2021-357-0720	F126, détail céramique.	.jpg	SDAM	126
Baden_2021-357-0721	F126, détail céramique.	.jpg	SDAM	126
Baden_2021-357-0722	F127, vue Sud.	.jpg	SDAM	127
Baden_2021-357-0723	F127, vue Sud.	.jpg	SDAM	127
Baden_2021-357-0724	F127, vue NO.	.jpg	SDAM	127
Baden_2021-357-0725	F127, vue NO.	.jpg	SDAM	127
Baden_2021-357-0726	F128, vue Nord.	.jpg	SDAM	128
Baden_2021-357-0727	F128, vue Nord.	.jpg	SDAM	128
Baden_2021-357-0728	F128, vue Nord.	.jpg	SDAM	128
Baden_2021-357-0729	F128, vue Nord.	.jpg	SDAM	128
Baden_2021-357-0730	F128, vue NO.	.jpg	SDAM	128
Baden_2021-357-0731	F129, vue Nord.	.jpg	SDAM	129
Baden_2021-357-0732	F129, vue Nord.	.jpg	SDAM	129
Baden_2021-357-0733	F129, vue Nord.	.jpg	SDAM	129
Baden_2021-357-0734	F129, vue Nord.	.jpg	SDAM	129
Baden_2021-357-0735	F129, vue Nord.	.jpg	SDAM	129
Baden_2021-357-0736	F129, vue Nord.	.jpg	SDAM	129
Baden_2021-357-0737	F129, vue SE.	.jpg	SDAM	129
Baden_2021-357-0738	F129, vue SE.	.jpg	SDAM	129
Baden_2021-357-0739	F129, vue NE.	.jpg	SDAM	129
Baden_2021-357-0740	F129, vue coupe O-E.	.jpg	SDAM	129
Baden_2021-357-0741	F129, vue coupe O-E.	.jpg	SDAM	129
Baden_2021-357-0742	F129, vue coupe O-E.	.jpg	SDAM	129
Baden_2021-357-0743	F130, vue Nord.	.jpg	SDAM	130
Baden_2021-357-0744	F130, vue Nord.	.jpg	SDAM	130
Baden_2021-357-0745	F130, vue Nord.	.jpg	SDAM	130
Baden_2021-357-0746	F130, vue Nord.	.jpg	SDAM	130
Baden_2021-357-0747	F130, vue NO.	.jpg	SDAM	130
Baden_2021-357-0748	F130, vue NO.	.jpg	SDAM	130
Baden_2021-357-0749	F131, vue OSO.	.jpg	SDAM	131
Baden_2021-357-0750	F131, vue OSO.	.jpg	SDAM	131
Baden_2021-357-0751	F131, vue OSO.	.jpg	SDAM	131
Baden_2021-357-0752	F131, vue Nord.	.jpg	SDAM	131
Baden_2021-357-0753	F131, vue Nord.	.jpg	SDAM	131
Baden_2021-357-0754	F132, vue Sud.	.jpg	SDAM	132
Baden_2021-357-0755	F132, vue Sud.	.jpg	SDAM	132
Baden_2021-357-0756	F132, vue SSO.	.jpg	SDAM	132
Baden_2021-357-0757	F132, vue SSO.	.jpg	SDAM	132
Baden_2021-357-0758	F132, vue SSO.	.jpg	SDAM	132
Baden_2021-357-0759	F132, vue Nord.	.jpg	SDAM	132
Baden_2021-357-0760	F132, vue Nord.	.jpg	SDAM	132
Baden_2021-357-0761	F132, vue Nord.	.jpg	SDAM	132



Baden_2021-357-0762	F132, coupe SE-NO.	.jpg	SDAM	132
Baden_2021-357-0763	F132, coupe SE-NO.	.jpg	SDAM	132
Baden_2021-357-0764	F133, vue NO.	.jpg	SDAM	133
Baden_2021-357-0765	F133, vue NO.	.jpg	SDAM	133
Baden_2021-357-0766	F133, vue NO.	.jpg	SDAM	133
Baden_2021-357-0767	F133, vue NO.	.jpg	SDAM	133
Baden_2021-357-0768	F133, vue NO.	.jpg	SDAM	133
Baden_2021-357-0769	F133, vue SE.	.jpg	SDAM	133
Baden_2021-357-0770	F133, vue SE.	.jpg	SDAM	133
Baden_2021-357-0771	F133, vue SE.	.jpg	SDAM	133
Baden_2021-357-0772	F133, vue SE.	.jpg	SDAM	133
Baden_2021-357-0773	F133, vue SE.	.jpg	SDAM	133
Baden_2021-357-0774	F133, vue NNE.	.jpg	SDAM	133
Baden_2021-357-0775	F133, vue SE.	.jpg	SDAM	133
Baden_2021-357-0776	F133, vue SE.	.jpg	SDAM	133
Baden_2021-357-0777	F134, vue Nord.	.jpg	SDAM	134
Baden_2021-357-0778	F134, vue Nord.	.jpg	SDAM	134
Baden_2021-357-0779	F134, vue Nord.	.jpg	SDAM	134
Baden_2021-357-0780	F134, vue Nord.	.jpg	SDAM	134
Baden_2021-357-0781	F134, vue Nord.	.jpg	SDAM	134
Baden_2021-357-0782	F134, vue Nord.	.jpg	SDAM	134
Baden_2021-357-0783	F134, vue NNO.	.jpg	SDAM	134
Baden_2021-357-0784	F134, vue NNO.	.jpg	SDAM	134
Baden_2021-357-0785	F134, vue NNO.	.jpg	SDAM	134
Baden_2021-357-0786	F135, vue Nord.	.jpg	SDAM	135
Baden_2021-357-0787	F135, vue Nord.	.jpg	SDAM	135
Baden_2021-357-0788	F135, vue Nord.	.jpg	SDAM	135
Baden_2021-357-0789	F135, vue Nord.	.jpg	SDAM	135
Baden_2021-357-0790	F135, vue Nord.	.jpg	SDAM	135
Baden_2021-357-0791	F135, vue Ouest.	.jpg	SDAM	135
Baden_2021-357-0792	F135, vue Ouest.	.jpg	SDAM	135
Baden_2021-357-0793	F135, vue Nord.	.jpg	SDAM	135
Baden_2021-357-0794	F135, vue Nord.	.jpg	SDAM	135
Baden_2021-357-0795	F135, vue Nord.	.jpg	SDAM	135
Baden_2021-357-0796	F135, vue Nord.	.jpg	SDAM	135
Baden_2021-357-0797	F135, vue Sud.	.jpg	SDAM	135
Baden_2021-357-0798	F135, vue Sud.	.jpg	SDAM	135
Baden_2021-357-0799	F135, vue Nord.	.jpg	SDAM	135
Baden_2021-357-0800	F135, vue Sud.	.jpg	SDAM	135
Baden_2021-357-0801	F135, vue Nord.	.jpg	SDAM	135
Baden_2021-357-0802	F135, vue Nord.	.jpg	SDAM	135
Baden_2021-357-0803	F135, vue Sud.	.jpg	SDAM	135
Baden_2021-357-0804	F136, vue Nord.	.jpg	SDAM	136
Baden_2021-357-0805	F136, vue Nord.	.jpg	SDAM	136
Baden_2021-357-0806	F136, vue Nord.	.jpg	SDAM	136

Baden_2021-357-0807	F136, vue ESE.	.jpg	SDAM	136
Baden_2021-357-0808	F136, vue ESE.	.jpg	SDAM	136
Baden_2021-357-0809	F136, coupe NO-SE.	.jpg	SDAM	136
Baden_2021-357-0810	F136, coupe NO-SE.	.jpg	SDAM	136
Baden_2021-357-0811	F136, coupe NO-SE.	.jpg	SDAM	136
Baden_2021-357-0812	F137, vue SE.	.jpg	SDAM	137
Baden_2021-357-0813	F137, coupe SE-NO.	.jpg	SDAM	137
Baden_2021-357-0814	F137, coupe SE-NO.	.jpg	SDAM	137
Baden_2021-357-0815	F137, coupe SE-NO.	.jpg	SDAM	137
Baden_2021-357-0816	F137, coupe SE-NO.	.jpg	SDAM	137
Baden_2021-357-0817	F137, coupe SE-NO.	.jpg	SDAM	137
Baden_2021-357-0818	F137, coupe SE-NO.	.jpg	SDAM	137
Baden_2021-357-0819	F137, coupe SE-NO.	.jpg	SDAM	137
Baden_2021-357-0820	F138, vue Ouest.	.jpg	SDAM	138
Baden_2021-357-0821	F138, vue Ouest.	.jpg	SDAM	138
Baden_2021-357-0822	F138, vue coupe, Ouest.	.jpg	SDAM	138
Baden_2021-357-0823	F138, vue coupe, Ouest.	.jpg	SDAM	138
Baden_2021-357-0824	F139, vue Sud.	.jpg	SDAM	139
Baden_2021-357-0825	F139, vue Sud.	.jpg	SDAM	139
Baden_2021-357-0826	F139, vue Sud.	.jpg	SDAM	139
Baden_2021-357-0827	F139, vue Sud.	.jpg	SDAM	139
Baden_2021-357-0828	F139, vue Sud.	.jpg	SDAM	139
Baden_2021-357-0829	F144, vue Sud.	.jpg	SDAM	144
Baden_2021-357-0830	F144, vue Sud.	.jpg	SDAM	144
Baden_2021-357-0831	F144, vue Est.	.jpg	SDAM	144
Baden_2021-357-0832	F144, vue NO.	.jpg	SDAM	144
Baden_2021-357-0833	F144, vue NO.	.jpg	SDAM	144
Baden_2021-357-0834	F144, vue NO.	.jpg	SDAM	144
Baden_2021-357-0835	F144, vue zénithale.	.jpg	SDAM	144
Baden_2021-357-0836	F144, vue NO.	.jpg	SDAM	144
Baden_2021-357-0837	F144, vue NO.	.jpg	SDAM	144
Baden_2021-357-0838	F145, vue ENE.	.jpg	SDAM	145
Baden_2021-357-0839	F145, vue Nord.	.jpg	SDAM	145
Baden_2021-357-0840	F145, vue Nord.	.jpg	SDAM	145
Baden_2021-357-0841	F145, vue Nord.	.jpg	SDAM	145
Baden_2021-357-0842	F147, vue NE.	.jpg	SDAM	147
Baden_2021-357-0843	F147, vue NE.	.jpg	SDAM	147
Baden_2021-357-0844	F147, vue NE.	.jpg	SDAM	147
Baden_2021-357-0845	F147, vue coupe, NE.	.jpg	SDAM	147
Baden_2021-357-0846	F147, vue SE.	.jpg	SDAM	147
Baden_2021-357-0847	F147, vue NO.	.jpg	SDAM	147
Baden_2021-357-0848	F147, vue coupe, NE.	.jpg	SDAM	147
Baden_2021-357-0849	F148, vue NE.	.jpg	SDAM	148
Baden_2021-357-0850	F148, vue NE.	.jpg	SDAM	148
Baden_2021-357-0851	F148, vue NE.	.jpg	SDAM	148

Baden_2021-357-0852	F148, vue NO.	.jpg	SDAM	148
Baden_2021-357-0853	F148, vue NO.	.jpg	SDAM	148
Baden_2021-357-0854	F149, vue NO-SE.	.jpg	SDAM	149
Baden_2021-357-0855	F149, vue NO-SE.	.jpg	SDAM	149
Baden_2021-357-0856	F149, vue NO-SE.	.jpg	SDAM	149
Baden_2021-357-0857	F149, F17, vue Nord.	.jpg	SDAM	149,17
Baden_2021-357-0858	F149, F17, vue Nord.	.jpg	SDAM	149,17
Baden_2021-357-0859	F149, F17, vue Nord.	.jpg	SDAM	149,17
Baden_2021-357-0860	F149, vue Ouest.	.jpg	SDAM	149
Baden_2021-357-0861	F149, vue Ouest.	.jpg	SDAM	149
Baden_2021-357-0862	F149, F153, coupe SE-NO.	.jpg	SDAM	149,153
Baden_2021-357-0863	F151, vue Ouest.	.jpg	SDAM	151
Baden_2021-357-0864	F151, vue SO.	.jpg	SDAM	151
Baden_2021-357-0865	F151, vue SO.	.jpg	SDAM	151
Baden_2021-357-0866	F151, vue SO.	.jpg	SDAM	151
Baden_2021-357-0867	F151, vue SO.	.jpg	SDAM	151
Baden_2021-357-0868	F151, vue SO.	.jpg	SDAM	151
Baden_2021-357-0869	F151, vue Est.	.jpg	SDAM	151
Baden_2021-357-0870	F151, vue Est.	.jpg	SDAM	151
Baden_2021-357-0871	F151, vue NNE.	.jpg	SDAM	151
Baden_2021-357-0872	F151, vue NNE.	.jpg	SDAM	151
Baden_2021-357-0873	F151, vue SSO.	.jpg	SDAM	151
Baden_2021-357-0874	F151, vue SSO.	.jpg	SDAM	151
Baden_2021-357-0875	F151, vue SSO.	.jpg	SDAM	151
Baden_2021-357-0876	F151, vue SSO.	.jpg	SDAM	151
Baden_2021-357-0877	F151, vue Nord.	.jpg	SDAM	151
Baden_2021-357-0878	F151, vue Nord.	.jpg	SDAM	151
Baden_2021-357-0879	F151, vue berme.	.jpg	SDAM	151
Baden_2021-357-0880	F151, vue berme.	.jpg	SDAM	151
Baden_2021-357-0881	F151, vue Nord.	.jpg	SDAM	151
Baden_2021-357-0882	F151, sondage, vue NO.	.jpg	SDAM	151
Baden_2021-357-0883	F151, sondage, vue NO.	.jpg	SDAM	151
Baden_2021-357-0884	F151, sondage, vue NO.	.jpg	SDAM	151
Baden_2021-357-0885	F151, sondage, vue NO.	.jpg	SDAM	151
Baden_2021-357-0886	F151, sondage, vue NO.	.jpg	SDAM	151
Baden_2021-357-0887	F151, sondage, vue NO.	.jpg	SDAM	151
Baden_2021-357-0888	F151, sondage, détail cuillère.	.jpg	SDAM	151
Baden_2021-357-0889	F151, sondage, détail cuillère.	.jpg	SDAM	151
Baden_2021-357-0890	F151, sondage, détail cuillère.	.jpg	SDAM	151
Baden_2021-357-0891	F151, sondage, détail cuillère.	.jpg	SDAM	151
Baden_2021-357-0892	F151, sondage, vue NO.	.jpg	SDAM	151
Baden_2021-357-0893	F151, sondage, vue NO.	.jpg	SDAM	151
Baden_2021-357-0894	F151, sondage, vue NO.	.jpg	SDAM	151
Baden_2021-357-0895	F151, sondage, vue NO.	.jpg	SDAM	151
Baden_2021-357-0896	F151, sondage, vue NO.	.jpg	SDAM	151

Baden_2021-357-0897	F151, sondage, vue NO.	.jpg	SDAM	151
Baden_2021-357-0898	F151, F152, vue NO.	.jpg	SDAM	151,152
Baden_2021-357-0899	F151, F152, vue NO.	.jpg	SDAM	151,152
Baden_2021-357-0900	F151, F 152, vue Nord.	.jpg	SDAM	151,152
Baden_2021-357-0901	F151, F 152, vue Nord.	.jpg	SDAM	151,152
Baden_2021-357-0902	F151, F152, vue NE.	.jpg	SDAM	151,152
Baden_2021-357-0903	F151, F152, vue NO.	.jpg	SDAM	151,152
Baden_2021-357-0904	F151, F152, vue NO.	.jpg	SDAM	151,152
Baden_2021-357-0905	F151, F152, vue SE.	.jpg	SDAM	151,152
Baden_2021-357-0906	F151, F152, vue SO.	.jpg	SDAM	151,152
Baden_2021-357-0907	F151, F152, vue NO.	.jpg	SDAM	151,152
Baden_2021-357-0908	F151, F152, vue NO.	.jpg	SDAM	151,152
Baden_2021-357-0909	F151, F152, vue NO.	.jpg	SDAM	151,152
Baden_2021-357-0910	F151, F152, vue NO.	.jpg	SDAM	151,152
Baden_2021-357-0911	F151, F152, vue NE.	.jpg	SDAM	151,152
Baden_2021-357-0912	F151, F152, vue NE.	.jpg	SDAM	151,152
Baden_2021-357-0913	F151, F152, vue NE.	.jpg	SDAM	151,152
Baden_2021-357-0914	F151, F152, vue NE.	.jpg	SDAM	151,152
Baden_2021-357-0915	F151, F152, vue NE.	.jpg	SDAM	151,152
Baden_2021-357-0916	F151, F152, vue NE.	.jpg	SDAM	151,152
Baden_2021-357-0917	F151, F152, vue SE.	.jpg	SDAM	151,152
Baden_2021-357-0918	F151, F152, vue SE.	.jpg	SDAM	151,152
Baden_2021-357-0919	F151, F152, vue SE.	.jpg	SDAM	151,152
Baden_2021-357-0920	F151, F152, vue NE.	.jpg	SDAM	151,152
Baden_2021-357-0921	F151, F152, vue Est.	.jpg	SDAM	151,152
Baden_2021-357-0922	F151, F152, vue Est.	.jpg	SDAM	151,152
Baden_2021-357-0923	F151, F152, vue Est.	.jpg	SDAM	151,152
Baden_2021-357-0924	F151, F152, vue NE.	.jpg	SDAM	151,152
Baden_2021-357-0925	F151, F152, vue NE.	.jpg	SDAM	151,152
Baden_2021-357-0926	F151, F152, vue NE.	.jpg	SDAM	151,152
Baden_2021-357-0927	F151, F152, vue NE.	.jpg	SDAM	151,152
Baden_2021-357-0928	F151, F152, vue Sud.	.jpg	SDAM	151,152
Baden_2021-357-0929	F151, F152, vue Sud.	.jpg	SDAM	151,152
Baden_2021-357-0930	F153, coupe SE-NO.	.jpg	SDAM	153
Baden_2021-357-0931	F153, coupe SE-NO.	.jpg	SDAM	153
Baden_2021-357-0932	F153, vue SSO.	.jpg	SDAM	153
Baden_2021-357-0933	F153, vue SSO.	.jpg	SDAM	153
Baden_2021-357-0934	F153, vue SSO.	.jpg	SDAM	153
Baden_2021-357-0935	F153, vue SSO.	.jpg	SDAM	153
Baden_2021-357-0936	F153, vue SSO.	.jpg	SDAM	153
Baden_2021-357-0937	F153, coupe SO-NE.	.jpg	SDAM	153
Baden_2021-357-0938	F153, coupe SO-NE.	.jpg	SDAM	153
Baden_2021-357-0939	F153, coupe NE-SO.	.jpg	SDAM	153
Baden_2021-357-0940	F153, coupe NE-SO.	.jpg	SDAM	153
Baden_2021-357-0941	F153, coupe NE-SO.	.jpg	SDAM	153

Baden_2021-357-0942	F154, vue NE.	.jpg	SDAM	154
Baden_2021-357-0943	F154, vue NE.	.jpg	SDAM	154
Baden_2021-357-0944	F154, vue NE.	.jpg	SDAM	154
Baden_2021-357-0945	F154, vue NE.	.jpg	SDAM	154
Baden_2021-357-0946	F154, coupe SE-NO.	.jpg	SDAM	154
Baden_2021-357-0947	F154, coupe SE-NO.	.jpg	SDAM	154
Baden_2021-357-0948	F154, coupe SE-NO.	.jpg	SDAM	154
Baden_2021-357-0949	F154, coupe SE-NO.	.jpg	SDAM	154
Baden_2021-357-0950	F154, coupe SE-NO.	.jpg	SDAM	154
Baden_2021-357-0951	F154, coupe SE-NO.	.jpg	SDAM	154
Baden_2021-357-0952	F155, vue NO.	.jpg	SDAM	155
Baden_2021-357-0953	F155, vue NO.	.jpg	SDAM	155
Baden_2021-357-0954	F155, vue NO.	.jpg	SDAM	155
Baden_2021-357-0955	F155, vue NO.	.jpg	SDAM	155
Baden_2021-357-0956	F155, vue NO.	.jpg	SDAM	155
Baden_2021-357-0957	F156, vue SE.	.jpg	SDAM	156
Baden_2021-357-0958	F156, vue SE.	.jpg	SDAM	156
Baden_2021-357-0959	F156, vue SE.	.jpg	SDAM	156
Baden_2021-357-0960	F158, F157, vue NE.	.jpg	SDAM	157,158
Baden_2021-357-0961	F158, F157, vue NE.	.jpg	SDAM	157,158
Baden_2021-357-0962	F158, F157, vue NE.	.jpg	SDAM	157,158
Baden_2021-357-0963	F158, F157, vue NE.	.jpg	SDAM	157,158
Baden_2021-357-0964	F158, F157, vue NE.	.jpg	SDAM	157,158
Baden_2021-357-0965	F159, vue NE.	.jpg	SDAM	159
Baden_2021-357-0966	F159, vue NE.	.jpg	SDAM	159
Baden_2021-357-0967	F159, vue NE.	.jpg	SDAM	159
Baden_2021-357-0968	F159, vue NE.	.jpg	SDAM	159
Baden_2021-357-0969	F159, vue NE.	.jpg	SDAM	159
Baden_2021-357-0970	F159, vue NE.	.jpg	SDAM	159
Baden_2021-357-0971	F159, vue NE.	.jpg	SDAM	159
Baden_2021-357-0972	TR1, Log1.	.jpg	SDAM	
Baden_2021-357-0973	TR1, Log1.	.jpg	SDAM	
Baden_2021-357-0974	TR1, Log2.	.jpg	SDAM	
Baden_2021-357-0975	TR1, Log2.	.jpg	SDAM	
Baden_2021-357-0976	TR1, Log2.	.jpg	SDAM	
Baden_2021-357-0977	TR1, Log2.	.jpg	SDAM	
Baden_2021-357-0978	TR2, Log1.	.jpg	SDAM	
Baden_2021-357-0979	TR2, Log1.	.jpg	SDAM	
Baden_2021-357-0980	TR2, Log1.	.jpg	SDAM	
Baden_2021-357-0981	TR2, Log1.	.jpg	SDAM	
Baden_2021-357-0982	TR2, Log2.	.jpg	SDAM	
Baden_2021-357-0983	TR2, Log2.	.jpg	SDAM	
Baden_2021-357-0984	TR2, Log2.	.jpg	SDAM	
Baden_2021-357-0985	TR2, Log3.	.jpg	SDAM	
Baden_2021-357-0986	TR2, Log3.	.jpg	SDAM	

Baden_2021-357-0987	TR2, Log3.	.jpg	SDAM	
Baden_2021-357-0988	TR2, Log3.	.jpg	SDAM	
Baden_2021-357-0989	TR3, Log2.	.jpg	SDAM	
Baden_2021-357-0990	TR3, Log2.	.jpg	SDAM	
Baden_2021-357-0991	TR3, Log2.	.jpg	SDAM	
Baden_2021-357-0992	TR3, Log 3.	.jpg	SDAM	
Baden_2021-357-0993	TR3, Log 3.	.jpg	SDAM	
Baden_2021-357-0994	TR3, Log 3.	.jpg	SDAM	
Baden_2021-357-0995	TR3, Log 3.	.jpg	SDAM	
Baden_2021-357-0996	TR3, Log1.	.jpg	SDAM	
Baden_2021-357-0997	TR3, Log1.	.jpg	SDAM	
Baden_2021-357-0998	TR3, Log1.	.jpg	SDAM	
Baden_2021-357-0999	TR3, Log1.	.jpg	SDAM	
Baden_2021-357-1000	TR4, Log1.	.jpg	SDAM	
Baden_2021-357-1001	TR4, Log1.	.jpg	SDAM	
Baden_2021-357-1002	TR4, Log1.	.jpg	SDAM	
Baden_2021-357-1003	TR6, Log1.	.jpg	SDAM	
Baden_2021-357-1004	TR6, Log1.	.jpg	SDAM	
Baden_2021-357-1005	TR6, Log1.	.jpg	SDAM	
Baden_2021-357-1006	TR6, Log1.	.jpg	SDAM	
Baden_2021-357-1007	TR6, Log2.	.jpg	SDAM	
Baden_2021-357-1008	TR6, Log2.	.jpg	SDAM	
Baden_2021-357-1009	TR6, Log2.	.jpg	SDAM	
Baden_2021-357-1010	TR7, Log1.	.jpg	SDAM	
Baden_2021-357-1011	TR7, Log1.	.jpg	SDAM	
Baden_2021-357-1012	TR7, Log1.	.jpg	SDAM	
Baden_2021-357-1013	TR7, Log1.	.jpg	SDAM	
Baden_2021-357-1014	TR7, Log2.	.jpg	SDAM	
Baden_2021-357-1015	TR7, Log2.	.jpg	SDAM	
Baden_2021-357-1016	TR7, Log2.	.jpg	SDAM	
Baden_2021-357-1017	TR8, Log.	.jpg	SDAM	
Baden_2021-357-1018	TR8, Log.	.jpg	SDAM	
Baden_2021-357-1019	TR8, Log.	.jpg	SDAM	
Baden_2021-357-1020	TR8, Log.	.jpg	SDAM	
Baden_2021-357-1021	TR9, Log1.	.jpg	SDAM	
Baden_2021-357-1022	TR9, Log1.	.jpg	SDAM	
Baden_2021-357-1023	TR9, Log1.	.jpg	SDAM	
Baden_2021-357-1024	TR9, Log2.	.jpg	SDAM	
Baden_2021-357-1025	TR9, Log2.	.jpg	SDAM	
Baden_2021-357-1026	TR9, Log2.	.jpg	SDAM	
Baden_2021-357-1027	TR9, Log2.	.jpg	SDAM	
Baden_2021-357-1028	TR10, Log1.	.jpg	SDAM	
Baden_2021-357-1029	TR10, Log1.	.jpg	SDAM	
Baden_2021-357-1030	TR10, Log1.	.jpg	SDAM	
Baden_2021-357-1031	TR10, Log1.	.jpg	SDAM	

Baden_2021-357-1032	TR10, Log1.	.jpg	SDAM	
Baden_2021-357-1033	TR10, Log2.	.jpg	SDAM	
Baden_2021-357-1034	TR10, Log2.	.jpg	SDAM	
Baden_2021-357-1035	TR10, Log2.	.jpg	SDAM	
Baden_2021-357-1036	TR10, Log2.	.jpg	SDAM	
Baden_2021-357-1037	TR11, Log1.	.jpg	SDAM	
Baden_2021-357-1038	TR11, Log1.	.jpg	SDAM	
Baden_2021-357-1039	TR11, Log1.	.jpg	SDAM	
Baden_2021-357-1040	TR12, Log1.	.jpg	SDAM	
Baden_2021-357-1041	TR12, Log1.	.jpg	SDAM	
Baden_2021-357-1042	TR12, Log1.	.jpg	SDAM	
Baden_2021-357-1043	TR12, Log1.	.jpg	SDAM	
Baden_2021-357-1044	TR12, Log2.	.jpg	SDAM	
Baden_2021-357-1045	TR12, Log2.	.jpg	SDAM	
Baden_2021-357-1046	TR12, Log2.	.jpg	SDAM	
Baden_2021-357-1047	TR12, Log2.	.jpg	SDAM	
Baden_2021-357-1048	TR12, Log2.	.jpg	SDAM	
Baden_2021-357-1049	TR12, Log3.	.jpg	SDAM	
Baden_2021-357-1050	TR12, Log3.	.jpg	SDAM	
Baden_2021-357-1051	TR12, Log3.	.jpg	SDAM	
Baden_2021-357-1052	TR12, Log3.	.jpg	SDAM	
Baden_2021-357-1053	TR13, Log.	.jpg	SDAM	
Baden_2021-357-1054	TR13, Log.	.jpg	SDAM	
Baden_2021-357-1055	TR13, Log.	.jpg	SDAM	
Baden_2021-357-1058	Parcelle avant ouverture, vue SSO.	.jpg	SDAM	
Baden_2021-357-1059	Parcelle avant ouverture, vue Sud.	.jpg	SDAM	
Baden_2021-357-1060	Parcelle avant ouverture, vue ESE.	.jpg	SDAM	
Baden_2021-357-1061	Tranchée en cours d'ouverture.	.jpg	SDAM	
Baden_2021-357-1062	Tranchée 1, vue NE.	.jpg	SDAM	
Baden_2021-357-1063	Tranchée 1, vue NE.	.jpg	SDAM	
Baden_2021-357-1064	Tranchée 1, détail plastique.	.jpg	SDAM	
Baden_2021-357-1065	Tranchée 1, vue NE.	.jpg	SDAM	
Baden_2021-357-1066	Tranchée 1, détail plastique.	.jpg	SDAM	
Baden_2021-357-1067	Tranchée 1, détail plastique.	.jpg	SDAM	
Baden_2021-357-1068	Tranchée 7, vue SE.	.jpg	SDAM	
Baden_2021-357-1069	Tranchée 7, vue Sud.	.jpg	SDAM	
Baden_2021-357-1070	Tranchée 7, vue Sud.	.jpg	SDAM	
Baden_2021-357-1071	Tranchée 7, vue NO.	.jpg	SDAM	
Baden_2021-357-1072	Tranchée 8, vue Nord.	.jpg	SDAM	
Baden_2021-357-1073	Tranchée 8, vue Nord.	.jpg	SDAM	
Baden_2021-357-1074	Tranchée 8, vue Nord.	.jpg	SDAM	
Baden_2021-357-1075	Tranchée 8, vue Nord.	.jpg	SDAM	
Baden_2021-357-1076	Tranchée 8, vue NO.	.jpg	SDAM	
Baden_2021-357-1077	Tranchée 8, vue NO.	.jpg	SDAM	
Baden_2021-357-1078	Tranchée 8, vue Nord.	.jpg	SDAM	

Baden_2021-357-1079	Tranchée 8, vue NO.	.jpg	SDAM	
Baden_2021-357-1080	Tranchée 10, vue NNO.	.jpg	SDAM	
Baden_2021-357-1081	Tranchée 10, vue NNO.	.jpg	SDAM	
Baden_2021-357-1082	Tranchée 12, vue NNO.	.jpg	SDAM	
Baden_2021-357-1083	Tranchée 12, blocs sous TV.	.jpg	SDAM	
Baden_2021-357-1084	Tranchée 12, blocs sous TV.	.jpg	SDAM	
Baden_2021-357-1085	Tranchée 12, blocs sous TV.	.jpg	SDAM	
Baden_2021-357-1086	Tranchée 3, vue SO.	.jpg	SDAM	
Baden_2021-357-1087	Tranchée 3, vue SO.	.jpg	SDAM	
Baden_2021-357-1088	Tranchée 1 et 2, vue générale.	.jpg	SDAM	
Baden_2021-357-1089	Tranchée 3, vue SE.	.jpg	SDAM	
Baden_2021-357-1090	Tranchée 3, vue NE.	.jpg	SDAM	
Baden_2021-357-1091	Tranchée 3, vue NE.	.jpg	SDAM	
Baden_2021-357-1092	Tranchée 4, vue Sud.	.jpg	SDAM	
Baden_2021-357-1093	Tranchée 4, vue Nord.	.jpg	SDAM	
Baden_2021-357-1094	Tranchée 5, vue Nord.	.jpg	SDAM	
Baden_2021-357-1095	Tranchée 6, vue Nord.	.jpg	SDAM	
Baden_2021-357-1096	Tranchée 9, vue Sud.	.jpg	SDAM	
Baden_2021-357-1097	Tranchée 9, vue Nord.	.jpg	SDAM	
Baden_2021-357-1098	Tranchée 1, vue SO.	.jpg	SDAM	
Baden_2021-357-1099	Tranchée 1, vue Ouest.	.jpg	SDAM	
Baden_2021-357-1100	Tranchée 1, vue Ouest.	.jpg	SDAM	
Baden_2021-357-1101	Tranchée 2, vue NE.	.jpg	SDAM	
Baden_2021-357-1102	Tranchée 2, vue NE.	.jpg	SDAM	
Baden_2021-357-1103	Exstension tranchée 8, vue ENE.	.jpg	SDAM	
Baden_2021-357-1104	Exstension tranchée 8, vue NO.	.jpg	SDAM	
Baden_2021-357-1105	Exstension tranchée 8, vue NO.	.jpg	SDAM	
Baden_2021-357-1106	Exstension tranchée 8, vue NE.	.jpg	SDAM	
Baden_2021-357-1107	Exstension tranchée 8, vue NE.	.jpg	SDAM	
Baden_2021-357-1108	Exstension tranchée 8, vue NE.	.jpg	SDAM	
Baden_2021-357-1109	Disposition de la protection pour F151, F152.	.jpg	SDAM	
Baden_2021-357-1110	Disposition de la protection pour F151, F152.	.jpg	SDAM	